

UNIVERSIDAD NACIONAL DE INGENIERIA Facultad de Tecnología de la Construcción

Monografía

DISEÑO DE LA RED DE ALCANTARILLADO SANITARIO Y DIMENSIONAMIENTO DEL SISTEMA DE TRATAMIENTO DE AGUA RESIDUAL PARA EL MUNICIPIO DE COMALAPA, DEPARTAMENTO DE CHONTALES

Para optar al título de ingeniero civil

Elaborado por

Br. Guillermo José Barquero Sevilla Br. Lester Emilio Marín Duarte Br. Melvin Antonio Tercero Tablada

Tutor

Ing. María Elena Baldizón Aguilar

Managua, septiembre 2020



UNIVERSIDAD NACIONAL DE INGENIERIA

FACULTAD DE TECNOLOGÍA DE LA CONSTRUCCIÓN DEPARTAMENTO DE HIDRÁULICA Y MEDIO AMBIENTE

Managua, 24 de Agosto de 2020

Dr. Oscar Gutiérrez S. Decano de FTC. Su despacho.

Estimado Dr. Gutiérrez:

Tengo el agrado dirigirme a usted, para informarle que que he revisado el Trabajo Monográfico titulado "Diseño de la red de alcantarillado sanitario y dimensionamiento del sistema de tratamiento de agua residual para el municipio de Comalapa, Departamento de Chontales", desarrollado por los bachilleres, Guillermo José Barquero Sevilla, Lester Emilio Marín Duarte y Melvin Antonio Tercero Tablada, para optar al título de Ingeniero Civil.

Considero que el trabajo monográfico esta listo para ser defendido, ya que en el Documento se han incorparado todas las observaciones realizadas en predefensa, por lo que este puede ser presentado ante el el Jurado calificador.

Sin más a que referir y deseándole éxitos en sus funciones, le saludo.

Atentamente.

Ing. Maria Elena Baldizon Aguilar.

Tutora.

cc. Ing Saúl Pérez Arróliga – J. Dpto de Culminación de Estudios.
Ing. Ricardo Javier Fajardo - J. Dpto. de Hidráulica y Medio Ambiente.
Sustentantes (3).

Archivo.



UNIVERSIDAD NACIONAL DE INGENIERIA FACULTAD DE TECNOLOGIA DE LA CONSTRUCCION DECANATURA

DEC-FTC-REF-No.211 Managua, 24 Septiembre del 2019

Bachilleres
LESTER EMILIO MARIN DUARTE
GUILLERMO JOSE BARQUERO SEVILLA
MELVIN ANTONIO TERCERO TABLADA
Estimados (as) Bachilleres:

Es de mi agrado informarles que el PROTOCOLO de su Tema MONOGRAFICO, titulado "DISEÑO DE LA RED DE ALCANTARILLADO SANITARIO Y DIMENSIONAMIENTO DEL SISTEMA DE TRATAMIENTO DE AGUA RESIDUAL PARA EL MUNICIPIO DE COMALAPA, DEPARTAMENTO DE CHONTALES "Ha sido aprobado por esta Decanatura.

Asimismo les comunico estar totalmente de acuerdo, que el (la) Ing. Maria Elena Baldizon Aguilar, sea el (la) tutor (a) de su trabajo final.

La fecha limite, para que presenten concluido su documento, debidamente revisado por el tutor guía será el 23 de Marzo del 2020

Esperando puntualidad en la entrega de la Tesis, me despido.

Atentamente.

Dr. Ing. Oscar Gutterrez Somarriba

Decano

CC: Protocolo
Tutor – Ing. Maria Elena Baldizon Aguilar
Archivo*Consecutivo



UNIVERSIDAD NACIONAL DE INGENIERIA FACULTAD DE TECNOLOGIA DE LA CONSTRUCCION DECANATURA

DEC.FTC.REF No. 041 Managua, 25 Marzo del 2020.

Bachilleres
LESTER EMILIO MARIN DUARTE
GUILLERMO JOSE BARQUERO SEVILLA
MELVIN ANTONIO TERCERO TABLADA
Estimados (as) Bachilleres:

Estimados (as) Bachilleres:

En atención a su carta de solicitud de PRORROGA, para efectuar la pre-defensa de su trabajo de Monografía titulado "DISEÑO DE LA RED DE ALCANTARILLADO SANITARIO Y DIMENSIONAMIENTO DEL SISTEMA DE TRATAMIENTO DE AGUA RESIDUAL PARA EL MUNICIPIO DE COMALAPA, DEPARTAMENTO DE CHONTALES" Esta Decanatura le aprueba 3 MESES DE PRORROGA, considerando los problemas planteados en su comunicación.

La fecha límite, para que presenten concluido su documento, debidamente revisado por el tutor guía será el 25 de Mayo del 2020. Para la programación de su fecha de pre-defensa.

Esperando de ustedes puntualidad en la entrega de su trabajo final, me despido.

Atentamente,

Dr. Ing. Oscar Gutterrez Somarriba

CC: Tutor – Ing. Maria Elena Baldizon Aguilar Archivo-Consecutivo

Agradecimientos

A **Dios** que nos dio la vida, nos dota de conocimiento y fuerzas para continuar, logrando cumplir nuestros sueños, tomados de su mano con fe, Sabiduría y entendimiento.

A **nuestros padres** y **hermanos** que han dado todo su esfuerzo, para que ahora estemos culminando esta etapa de nuestras vidas; por apoyarnos en todos los momentos difíciles, ayudándonos a seguir adelante con sus consejos sabios y su confianza plena; al concluir esta meta propuesta.

Agradecemos a **nuestros maestros**, que, con nobleza y entusiasmo, vertieron toda su enseñanza en nuestra mente. En especial queremos agradecer al Ing. Noé Hernández Duran por dedicar su tiempo, para guiarnos y brindarnos sus conocimientos, en la elaboración del presente trabajo.

Agradecemos a la Alcaldía de **Acoyapa** y a los habitantes de este municipio, por brindarnos su hospitalidad y proporcionarnos información con respecto a nuestro tema monográfico.

A todas aquellas personas que de una u otra manera contribuyeron a la realización de este trabajo, ya que sin ellos y las personas e instituciones antes mencionadas; no hubiese sido posible la culminación de nuestros estudios profesionales.

Dedicatoria

A **Dios**, quien como guía estuvo presente en el caminar de mi vida, bendiciéndome y dándome fuerzas para continuar con mis metas trazadas sin desfallecer.

A mis padres: **Flor Tablada** y **Melvin Tercero** que, con apoyo incondicional, amor y confianza permitieron que logre culminar mi carrera profesional.

A mis hermanos **Juan Tercero** y **Karolina Tercero** que han sido el apoyo fundamental para lograr los objetivos propuestos, y siempre tuvieron fe en mí.

Agradezco a los docentes de mi carrera, en especial al **Ingeniero Mario Castellón Zelaya, al Ingeniero Henry Vilchez y al Ingeniero y amigo Johnny Calero** por su ayuda en mi tema monográfico y a mi tutor(a) de tesis, el(la) **Ing. María Elena Baldizón A.** por guiar esta investigación y formar parte de este objetivo alcanzado.

Dedicatoria

A **Dios**, que me dió fuerzas, superando así los obstaculos de la vida para continuar con mis estudios y metas.

A mis padres: **Magaly Sevilla** y **Guillermo Barquero** quienes me apoyaron incondicionalmente en el caminar de mi vida.

A mis hermanas **Amanda Barquero** y **Anamery Barquero** que han estado al lado mío enseñándome a no darme por vencido.

Agradezco a los docentes de mi carrera, en especial a los **ingenieros Mario Castellón** y **Rubel Mendoza** por su ayuda en mi tema monográfico y a mi tutor(a) de tesis, el(la) **Ing. María Elena Baldizón** por guiar esta investigación y formar parte de este objetivo alcanzado.

Dedicatoria

A **Dios**, el apoyo espiritual en toda mi vida, el ser que nos ayuda a levantarnos después de cada caída.

A mi madre: **Hannia Duartes Campos** que me apoyó en cada momento de mi vida personal y profesional.

A mi abuela **Aura Lila Campos** quien me cuido y estuvo al pendiente de mi para no perder el buen camino.

Agradezco a los docentes de mi carrera, en especial a los ingenieros **Mario Castellón y Rubel Mendoza** por su ayuda en mi tema monográfico y a mi tutor(a) de tesis, el(la) **Ing. María Elena Baldizón** por guiar esta investigación y formar parte de este objetivo alcanzado.

Índice

l.	Generalidades 1
1.1.	Introducción1
1.2.	Antecedentes3
1.3.	Justificación10
1.4.	Objetivos12
1.4.1.	Objetivo general12
1.4.2.	Objetivos específicos 12
II.	Descripción del área en estudio13
2.1.	Ubicación del área en estudio13
2.2.	Reseña histórica14
2.3.	Población14
2.4.	Aspectos socio-económicos15
2.5.	Características físicas y naturales del área16
2.5.1.	Clima y precipitación16
2.5.2.	Flora y fauna del municipio 17
2.5.3.	Recursos geológicos existentes 18
2.5.4.	Topografía19
2.6.	Servicios básicos19
2.6.1.	Alcantarillado sanitario 20
2.6.2.	Alcantarillado pluvial20
2.6.3.	Salud 20
2.6.4.	Educación21
2.6.5.	Energía eléctrica 21
2.6.6.	Vialidad y transporte22
2.6.7.	Telecomunicaciones23
2.6.8.	Servicios municipales23
2.6.9.	Cultura y deporte23
III.	Marco teórico
3.1.	Estudios básicos24
3.2.	Estudios geotécnicos24
3.3.	Estudios topográficos24

3.4.	Estudios de obras existentes	25
3.5.	Aguas residuales	25
3.5.1.	Características organolépticas de las aguas residuales	25
3.5.2.	Características físicas de las aguas residuales	26
3.5.3.	Características químicas de las aguas residuales	27
3.5.4.	Características microbiológicas	29
3.5.5.	Organismos indicadores de contaminación	30
3.6.	Estudio de población	30
3.6.1.	Período de diseño	30
3.6.2.	Proyección de población	31
3.6.3.	Método geométrico	31
3.7.	Sistema de alcantarillado sanitario	32
3.8.	Conceptos de aguas residuales	32
3.9.	Clasificación de aguas residuales	32
3.9.1.	Aguas residuales domesticas	32
3.9.2.	Aguas comerciales	33
3.9.5.	Aguas e infiltración y conexiones incontroladas	33
3.9.6.	Aguas pluviales	33
3.10.	Caudal de aguas residuales (Qd)	34
3.11.	Red de alcantarillado sanitario	34
3.12.	Hidráulica de las alcantarillas	34
3.13.	Tipos de sistemas de alcantarillado	37
3.13.1.	Redes de alcantarillado convencional	37
3.14.	Tratamiento de aguas residuales	39
3.14.1.	Tratamientos preliminares	39
3.14.2.	Tratamientos primarios	40
3.14.3.	Tratamientos secundarios	42
3.15.	Criterios de ubicación del sistema de tratamiento	44
IV.	Diseño metodológico	47
4.1.	Trabajo de campo	47
4.1.1.	Levantamiento topográfico	47
4.1.2.	Censo de la población	47

4.1.3.	Estudio de suelos	47
4.2.	Trabajo de gabinete	48
4.2.1.	Población de diseño	48
4.2.2.	Dotación y caudales de aguas residuales	48
4.2.3.	Dotación	48
4.2.4.	Caudales de aguas residuales	49
4.2.5.	Trazado de la red	49
4.2.6.	Tratamiento de aguas residuales	49
4.2.7.	Costos y presupuesto del proyecto	49
4.2.8.	Documentos finales y Planos	49
4.3.	Parámetros de diseño	50
4.3.1.	Proyección de la población	50
4.3.2.	Caudal de diseño	50
4.3.3.	Periodos de diseño	51
4.3.4.	Red de alcantarillado sanitario	52
4.3.5.	Sistema de tratamiento de aguas residuales	53
4.3.6.	Ubicación del Sistema de tratamiento	53
4.3.7.	Calidad de vertido	66
4.3.8.	Realización del presupuesto	66
V A	nálisis de alternativas y presentación de resultados	67
5.1.	Proyección de población	67
5.1.1.	Tasa de crecimiento poblacional	67
5.1.2.	Población de diseño	67
5.2.	Aportes y caudal de diseño	68
5.2.1.	Aporte doméstico de aguas residuales	68
5.2.2.	Caudales de aguas residuales	68
5.3.	Red de Recolección	69
5.4.	Sistema de tratamiento	74
5.4.1.	Sistema de tratamiento preliminar	74
5.4.1.1.	Rejas	74
5.4.1.2.	Desarenador	75
5.4.1.3.	Medidor Parshall	76

5.4.2.	Calidad de agua	. 77
5.4.3.	Alternativas de tratamiento	. 78
5.4.4.	Alternativa nº1. Tanque Imhoff + Biofiltros	. 78
5.4.5.	Alternativa nº2 Tanque Imhoff + Lagunas facultativas secundarias Laguna Aerobia terciaria	
5.4.6.	Selección de Alternativas de tratamiento	. 82
VI.	Conclusiones y recomendaciones	. 74
6.1.	Conclusiones	. 74
6.2.	Recomendaciones	. 85
VII.	Bibliografía	. 86

Índice de tablas

Tabla 1. Cobertura de saneamiento en Nicaragua	3
Tabla 2. Volumen de aguas residuales	5
Tabla 3. Sistemas de tratamiento de aguas residuales en Nicaragua	6
Tabla 4. Sistemas de tratamiento de aguas residuales en Nicaragua	7
Tabla 5 Sistemas de tratamiento de aguas residuales en Nicaragua	8
Tabla 6. Distribución de casos por patología del 2019	11
Tabla 7. Microrregiones del municipio de Comalapa	15
Tabla 8.Clasificación de los sólidos totales	27
Tabla 9.Dotaciones de agua	32
Tabla 10.Tipos de consumo y dotación	
Tabla 11. Factor de capacidad relativa	60
Tabla 12.Tiempo requerido para la digestión	61
Tabla 13.Calidad del efluente	
Tabla 14.Cálculo de la tasa de crecimiento	67
Tabla 15.Resultados de población de diseño	68
Tabla 16. Resultados de red de recolección	68
Tabla 17. Caudales de aguas residuales en la red y colectora principal	70
Tabla 18. Caudales de aguas residuales en colectora principal	71
Tabla 19. Cálculos hidráulicos en colectora principal	
Tabla 20. Cálculos topográficos de colectora principal	73
Tabla 21. Resultados de canal de entradas y rejas	75
Tabla 22. Resultados de desarenador	75
Tabla 23. Resultados de medidor Parshall	76
Tabla 24. Caracterización de aguas residuales	78
Tabla 25.Resultados tanque Imhoff	78
Tabla 26. Resultados de lecho de secado	79
Tabla 27. Resultados de biofiltro nº1	
Tabla 28. Resultados de biofiltro nº2	
Tabla 29. Resultados de laguna facultativa secundaria	81
Tabla 30. Resultados de laguna aerobia terciaria	81
Tabla 31. Resultados de laguna aerobia terciaria	81
Tabla 32 Parámetros de selección de alternativas de tratamiento	82

Índice de figuras

Figura 1. Macro y micro localización del proyecto	13
Figura 2. Estructura del tanque Imhoff	41
Figura 3.Ubicación de planta de tratamiento	54
Figura 4. Alternativa 1 de tratamiento	55
Figura 5. Alternativa 2 de tratamiento	55
Figura 6. Nomenclatura canaleta Parshall	77

Resumen ejecutivo

El presente documento contiene una propuesta de diseño de un sistema de alcantarillado sanitario y planta de tratamiento de aguas residuales para el municipio de Comalapa, departamento de Chontales. En él se muestran, específicamente, los cálculos hidráulicos y topográficos de la alternativa propuesta para la recolección de aguas residuales y dos alternativas de tratamiento. Además, se presenta un estudio de las etapas de construcción y operación del proyecto y los costos totales del mismo.

Se determinó la población actual, la cual corresponde a 1,272 habitantes, con base al último censo realizado en el año 2005 por el Instituto Nacional de Información de Desarrollo (INIDE).

El área total de la obra es de 23.77 Ha. cubriendo en un 96.10% la población del casco urbano del municipio, la cual se proyecta a 5,176 habitantes con un caudal de diseño de 15.975 l/s para un período de 20 años.

El proyecto comprende la instalación de 5,601.16 m de tubería de PVC corrugado - Novafort y 111 pozos de visita sanitarios. La cobertura del sistema es del 96.10%, correspondiente a 5,176 habitantes calculadas para un periodo de 20 años, las que producirán un caudal de 15.975 L/s.

Los diámetros comprendidos en la red de recolección oscilan entre 150 mm (6") y 200 mm (8"), distribuidas de la siguiente manera 4889.82 m de tubería de 150 mm (6"), 711.34 m de tubería de 200 mm (8").

Para el sistema de tratamiento se analizaron dos alternativas, la primera comprendió el diseño de pretratamiento + Tanque Imhoff + Humedales de Flujo sub superficial y en la segunda opción Pretratamiento+ Tanque Imhoff + Lagunas de Estabilización de estas se recomendó la utilización de la primera alternativa al determinarse como la más viable basado en sus costos de construcción, operación, mantenimiento y eficiencias de remoción del sistema de acuerdo al decreto 21-2017.

La calidad del efluente resultante será de 1.00 mg/L de DBO5 (<30 mg/L). y 9.00E+01 de coliformes fecales ($<10^3$ NMP/100ml), valores que se encuentran dentro de los límites establecidos por el Decreto 21-2017 del MARENA para vertidos en cuerpos receptores naturales.



Introducción

"Convertid un árbol en leña y podrá arder para vosotros; pero ya no producirá flores ni frutos" Rabindranath Tagore

I. Generalidades

1.1. Introducción

Más de 2,500 millones de personas, equivalentes al 41% de la población mundial, no tienen acceso a la calidad de vida saludable que sólo el saneamiento puede ofrecerles. Son aún más de 120 millones de latinoamericanos que carecen de acceso a sistemas mejorados de saneamiento y únicamente menos del 15% de las aguas residuales son tratadas en el continente (OMS, 2014).

La mayoría de municipios de nuestro país, no cuentan con un sistema de recolección y tratamiento de aguas residuales, siendo este uno de los grandes problemas del sector salud, ya que las personas se encuentran expuestas a contacto con coliformes fecales encontrados en las fuentes de abastecimiento de agua, que provocan muchas enfermedades.

El desarrollo de zonas urbanas implica la dotación de servicios acordes con la magnitud, importancia y auge que vaya adquiriendo una región, ya sea en forma planificada o espontánea. Esto supone que muchos servicios están interrelacionados de tal manera que la existencia de uno trae consigo la necesidad de otro, como es el caso del abastecimiento de agua para consumo humano que genera aguas residuales que necesitaran una red de alcantarillado, que a su vez demandara otro servicio como es el sistema de tratamiento de aguas residuales.

En Comalapa las aguas residuales domésticas corren por las cunetas sin ningún tipo de control, provocando la mayoría de las veces olores desagradables (en el mejor de los casos) y descontento general en la población. Las consecuencias que conlleva esta práctica pueden llegar a ser tan peligrosos que van desde una epidemia de enfermedades hídrico-entéricas hasta la contaminación total de las fuentes hídricas.

Dicho lo anterior, se presenta una propuesta de diseño del sistema de alcantarillado sanitario para el municipio de Comalapa, Chontales y el diseño del sistema de tratamiento de aguas residuales, el cual tiene como objetivo principal reducir la contaminación al ambiente a cuerpos receptores de manera que cumpla

con el decreto 21-2017 del MARENA. Toda la propuesta de diseño se realizó haciendo de lo contemplado en las normas técnicas nacionales, así como, en la Guía técnica para el diseño de alcantarillado sanitario y sistemas de tratamiento de aguas residuales que ha elaborado el Instituto Nicaragüense de Acueductos y Alcantarillado (INAA).

1.2. Antecedentes

En el municipio de Comalapa, Chontales, ha habido un notable incremento poblacional lo cual ha provocado que se generen mayores demandas de infraestructuras de desarrollo, pero el casco urbano de la ciudad no cuenta con un plan de ordenamiento municipal, por ende, no se ha tomado en cuenta ningún tipo de estudio que contemple el diseño o construcción de un sistema de recolección, evacuación y tratamiento de las aguas residuales.

Anteriormente la primera prioridad que demandaba Comalapa fue el suministro del agua, con calidad adecuada y cantidad suficiente. Ya logrado este objetivo, surge otro no menos importante que consiste en la adecuada eliminación de las aguas ya utilizadas que se convierten en potenciales vehículos de muchas enfermedades y trastorno del medioambiente.

El VIII Censo de Población y IV Censo de Vivienda 2005 refleja que a nivel nacional el 84.8% de la población (4,993,826 personas) cuenta con acceso a saneamiento. El 97.5% de la población que recibe este servicio (3,150,368 personas) se ubican en la zona urbana; mientas que el 69.5% (1,804,933 personas) se ubican en la zona rural. El 15.2% de los hogares (895,120 personas) no disponen de servicio sanitario (4.3% en la zona urbana y 30.5% en la zona rural). En la tabla 1, se presenta la distribución de la cobertura en saneamiento, donde se refleja la brecha existente entre la zona urbana y rural sin acceso a saneamiento.¹

Tabla 1. Cobertura de saneamiento en Nicaragua

Nicaragua	Cobertura	total	Cobertura urbana		Cobertura rural	
	Personas	%	Personas	%	Personas	%
Alcantarillado	1,124,789.00	19.18	1,124,789.00	34.17	0.00	0.00
Letrina/Tanque séptico	3,843,497.00	65.55	2,025,579.00	61.53	1,817,918.00	70.00
no tiene/no reportada	895,120.00	15.27	141,553.00	4.30	779,108.00	30.00
Total	5,863,406.00		3,291,921.00		2,597,026.00	

Fuente: Censo de población de 2005

3

¹ Gestión de excretas y Aguas residuales. Situación Actual y perspectivas Nicaragua. 2013.

De los 153 municipios con que cuenta Nicaragua², solamente en 31 de ellos (20.26%), existe alcantarillado sanitario, concentrado en las zonas urbanas donde se cuenta con 41 sistemas de tratamiento de aguas residuales administrados por ENACAL (en algunos municipios hay más de un sistema de alcantarillado sanitario). También existen 21 pequeños sistemas de alcantarillado sanitario, con sus respectivos sistemas de tratamiento de aguas residuales, en urbanizaciones recientemente construidas que son administrados por empresas privadas. Entre los sistemas administrados por ENACAL y los pequeños sistemas administrados por empresas privadas, se atiende aproximadamente al 33.1% de la población urbana (1,124,789 personas).

La población que cuenta con sistemas individuales (letrinas y/o tanques sépticos) representa el 65.4% de la población total del país (3,851,371 personas). A nivel de la población urbana el 62.6% de la población (1,966,145 personas) cuenta son sistemas individuales, y en la zona rural es el 69.5% de la población (1,804,932 personas).

El tratamiento de aguas grises se realiza en su mayoría por medio de pequeños pozos; donde comúnmente, dichas aguas son utilizadas para riego en pequeña escala. Aunque no existen cifras oficiales, se estima que el 60% de las viviendas descarga las aguas grises al patio o a la calle

Es importante señalar que uno de los grandes problemas del sector es la falta de una fuente de información oficial específica para agua potable y saneamiento, sobre todo para el área rural. Sin embargo, ENACAL reporta que opera 41 plantas de tratamiento las cuales tienen la capacidad de dar tratamiento a 71.03 millones de m³/año de los 72.03 m³ /año de las aguas residuales que se producen en los sistemas de alcantarillado (esto implica una cobertura del 98.19%).

_

² Gestión de excretas y Aguas residuales. Situación Actual y perspectivas Nicaragua. 2013.

A nivel nacional ENACAL estima que se producen 123.3 millones de m3/año de aguas residuales y la infraestructura existente tiene capacidad de dar tratamiento al 57.63% de las mismas a nivel nacional. En la siguiente tabla 2, se presentan la información del volumen de aguas residuales que se producen en el país.

Tabla 2. Volumen de aguas residuales

Descripción	m³/año	%
Volumen de aguas residuales a nivel nacional	123,267,566.00	
Volumen de aguas residuales por los sistemas de alcantarillado	72,348,145.00	
Capacidad de las plantas de tratamiento de aguas residuales de los sistemas de alcantarillado	71,036,125.00	98.19
Volumen de aguas residuales descargados a un cuerpo receptor sin ningún tratamiento	52,231,441.00	42.37

Ref. Gestión de excretas y Aguas residuales. Situación Actual y perspectivas Nicaragua. 2013.

De los sistemas Sanitario en Nicaragua que funcionan operados por La Empresa Nicaragüense de Acueductos y Alcantarillados a nivel nacional, el 55% de este tratamiento consiste en Lagunas de Estabilización, los demás sistemas de tratamiento consisten en Fosas Sépticas, Filtros Anaerobios de Flujo Ascendente, UASB, Filtro biológico, Tanques Imhoff y Biofiltros, de las cuales se pueden mencionar en tabla 3. los siguiente

Tabla 3. Sistemas de tratamiento de aguas residuales en Nicaragua

Departamento	Localidad	Sistemas	No. Unidades	Población servida AS	Caudal m3/d	Cuerpo receptor
	1. Chinandega/Cementerio	Lagunas de estabilizacion	2 Modulos (Prim. + Secund.)	56,810	7,101.00	Rio Acome
Chinandega	2. Chinandega/Hospital	Lagunas de estabilizacion	2 Modulos (Prim. + Secund.)			Rio Acome
	3. Chichigalpa	T. Imhoff + Biofiltro	1 Modulo (Imhoff + Biofiltro)	2,085	-	Rio La Zopilotera
	4. El viejo	T. Imhoff + FAFA	2 Modulos	17,696	1,143.00	Rio Viejo
	5. Leon/Sutiava	Lagunas de estabilizacion	2 Modulos (Prim. + Secund.)	93,042	8,986.00	Rio Chiquito
	6. Leon/San Isidro	Lagunas de estabilizacion	2 Modulos (Prim.+Secund.+ adurac)	11,883	2,765.00	Río Pochote
	7. Leon/El Cocal	Lagunas de estabilizacion + macrófitas	2 Prim + 1 Secund + 2 macrofitas		3,535.00	Rio Chiquito
Leon	8. Leon/ San Carlos	Fosa Sept. + FAFA + zanja de infiltración	1 Modulo	2,000	260.00	Rio Pochote
	9. La Paz Centro	Fosa Sept. + FAFA	4 Modulos	6,804	384.00	Cauce Natural /Infiltracion
	10. Nagarote/Santa Elena	Lagunas de estabilización	1 Modulo (Prim + Secund)	11,879	273.00	Rio Obraje
	11. Nagarote/El Patriarca	Lagunas de estabilización	1 Modulo (Prim + Secund)		1,106.00	Rio Obraje

Tabla 4. Sistemas de tratamiento de aguas residuales en Nicaragua

Departamento	Localidad	Sistemas	No. Unidades	Población servida AS	Caudal m3/d	Cuerpo receptor
	Acoyapa	Rafa + Biofiltros	1 Modulo (Prim + Secund)			
Chontales	Santo Tomas	Rafa + Biofiltros	1 Modulo (Prim + Secund)			
	Juigalpa (en construcción)	Sedimentadores y Biodiscos				
Madriz	12. Somoto	Lagunas de estabilización	1 Modulo (Prim + Secund)	7,033	1,165.00	Cauce/Rio Coco
Esteli	13. Esteli	Lagunas de estabilización	3 Modulo (Prim + Secund)	49,560	8,260.00	Rio Esteli
Nueva Segovia	14. Ocotal	Fosa Sept. + FAFA	9 Modulos	5,266	1,984.00	Cauce/Rio Coco
Nueva Segovia	15. Jalapa	UASB+Biofiltros +desinfección		31043	3745	
Managua	16. Managua	Sedimentadore y filtro percolador	A sedimentadores primaries+ 6 filtros de goteo +4 sed. Secundarios+4 digestores de lodos		182000	Lago Xolotlán
	17. Tipitapa	Lagunas de estabilizacion	2 Modulos (Prim. + Secund.)	16,725		Rio Tipitapa
Managua	18.Ciudad Sandino	UASB	4 módulos de UASB, Cloración y Lecho de lodos	38870	7776	Cauce que descarga al lago de Managua
	19. San Rafael del Sur	Lagunas de estabilizacion	1 Modulo (Prim + Secund)	2,646	752	Quebrada El Retiro
Granada	20. Granada	Lagunas de estabilizacion	1 Modulo (Prim + Secund)	19,428	3,139.00	Lago Cocibolca
	21. Diriá y Diriomo					

Tabla 5 Sistemas de tratamiento de aguas residuales en Nicaragua

Masaya	22. Masaya	Lagunas de estabilizacion	3 Modulos	51,968	5,953.00	Laguna de Masaya
Departamento	Localidad	Sistemas	No. Unidades	Población servida AS	Caudal m3/d	Cuerpo receptor
	23. Masatepe	T. Imhoff + Biofiltro	1 Modulo	1,087	41.00	Infiltración / Laguna de Masaya
Carazo	24. San Marcos	Lagunas de estabilizacion	1 Modulo (Prim + Secund)	9,943	742.00	Cauce/Laguna de Masaya
	25. Jinotepe	T. Imhoff + FAFA	2 Modulos	1,191	731.00	Quebrada El Tigre
Rivas	26. Rivas	Lagunas de estabilizacion	2 Modulos (Prim. + Secund.)	12,722	2,982.00	Rio de Oro/Lago Cocibolca
- Turas	27. San Juan del Sur	Lagunas de estabilizacion	1 Primaria	2,050	422.00	Océano Pacífico
	28. Boaco					
Воасо	29. Camoapa	T. Imhoff + FAFA	1 Modulo (Imhoff + FAFA)	1,200	110.00	Quebrada La Chingastosa
Jinotega	30.Jinotega	Lagunas de estabilizacion	2 Lag. Anaerobia + 2 facultativa + 1 de maduracion	43,700	3,916.00	Río Viejo
	31. Matagalpa	Lagunas de estabilizacion	2 Lag. Anaerobia + 2 facultativa + 1 de maduracion	32,288	6,826.00	Río Grande Matagalpa
Matagalpa	32. Ciudad Dario	Fosa Septicas	3 Modulos	3,000	375.00	Río Grande Matagalpa
	33. Sébaco	Lagunas de estabilizacion	2 lag Fac+2 lag sec aerobia +1 laguna de madyuración	12068		Río Grande Matagalpa

En el municipio de Juigalpa actualmente se está instalando el Alcantarillado sanitario y en Comalapa no existe y no cuentan con ningún tipo de obra que permita realizar un manejo adecuado de las aguas residuales pues la población se ha visto obligada a desecharlas en las calles de la ciudad lo que ha provocado creación de charcos y daños a la salud pública.

Históricamente la población emplea como medio de saneamiento la utilización de sumideros, letrinas y otros métodos artesanales sin ningún conocimiento ya que puede afectar directamente al manto freático y por consiguiente la contaminación de las aguas subterráneas, razón por la cual el municipio de Comalapa debe contar con un Sistema de Alcantarillado Sanitario, que permita desechar sus aguas servidas y saber que serán tratadas y evacuadas a un receptor natural sin recurrir a alterar negativamente su medio ambiente.

1.3. Justificación

Dentro de la problemática de saneamiento básico del municipio, tiene una enorme importancia el suministro de agua potable, la recolección del agua residual y el tratamiento de estas. Cualquier población, por pequeña que sea, deberá contar como mínimo con los servicios de acueducto y alcantarillado sanitario, si se espera de ella un desarrollo social y económico, y, ante todo, una reducción de las altas tasas de morbilidad y mortalidad en especial dentro de la población infantil.

Una de las necesidades que se presenta en la zona urbana del municipio de Comalapa es una adecuada evacuación de las aguas residuales producidas por cada una de las actividades diarias de la población, siendo estas un foco de contaminación directa debido a un sin número de enfermedades; donde quiera que hay alimento adecuado, suficiente humedad y una temperatura idónea, los microorganismos tienden a desarrollarse.

Contar con un sistema de recolección, evacuación y tratamiento de aguas residuales, que pueda prevenir en un futuro no lejano los peligros que conlleva el agua contaminada, evidencia la importancia del diseño y construcción de dicho sistema.

El acceso a agua, saneamiento e higiene es un derecho humano, y sin embargo, miles de millones de personas siguen enfrentándose a diario a enormes dificultades para acceder a los servicios más elementales. Aproximadamente 1.800 millones de personas en todo el mundo utilizan una fuente de agua potable que está contaminada por restos fecales. Unos2.400 millones de personas carecen de acceso a servicios básicos de saneamiento, como retretes y letrinas. La escasez de agua afecta a más del 40% de la población mundial y este porcentaje podría aumentar. Más del 80% de las aguas residuales resultantes de la actividad humana se vierte en los ríos o en el mar sin ningún tratamiento, lo que provoca su contaminación.

Las enfermedades relacionadas con el agua y el saneamiento siguen estando entre las principales causas de fallecimiento de niños menores de 5 años; más de 800 niños mueren cada día por enfermedades diarreicas asociadas a la falta de higiene (Tabla 5).

La prestación de servicios adecuados de agua y saneamiento es esencial para lograr los Objetivos de Desarrollo Sostenible, incluidos los relativos a la salud y a la igualdad de género.

Tabla 6. Distribución de casos por patología del 2019

Enfermedades	% Pacientes 2019	
EDA (Síndrome diarreico Agudo)	21	
Malaria y dengue	a y dengue 13	
IRA (Síndrome respiratorio agudo)	23	
Parasitosis 14		

Fuente: Centro de Salud Comalapa

La conveniencia de un sistema de alcantarillado sanitario y su tratamiento para el casco urbano de la ciudad de Comalapa, radica en la prevención de transmisión de enfermedades relacionadas con el agua y una mejor calidad de vida.

El manejo adecuado de las aguas residuales a través de un sistema de alcantarillado beneficiara la salud y bienestar de los ciudadanos del casco urbano de Comalapa.

El diseño y construcción de un sistema de alcantarillado sanitario traería soluciones a la problemática del saneamiento y contaminación ambiental, contribuyendo directamente a la salud humana, reducción de daños en la infraestructura vial, generaría beneficios económicos, fortaleciendo la dignidad humana y el desarrollo social de la población.

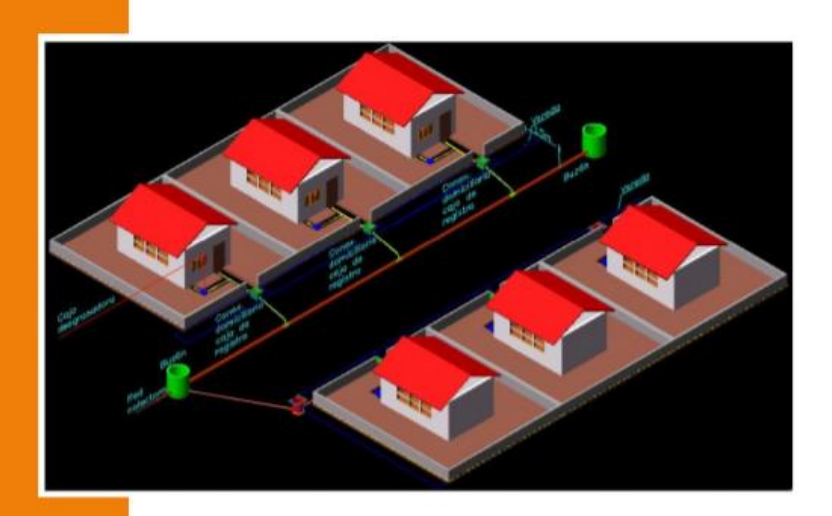
1.4. Objetivos

1.4.1. Objetivo general

Diseñar la red de alcantarillado sanitario y dimensionamiento del sistema de tratamiento de agua residual para el municipio de Comalapa, departamento de Chontales.

1.4.2. Objetivos específicos

- Realizar un censo poblacional en el casco urbano de la ciudad para la determinación de la población de diseño.
- Determinar las dotaciones de agua potable para el cálculo de caudal de aguas residuales.
- 3. Efectuar el levantamiento topográfico del área de estudio especificando así el curso de las aguas residuales.
- 4. Realizar trazado y cálculo hidráulico de la red de alcantarillado sanitario que cumpla con los parámetros de diseño del INAA, a la vez que se adapte a las condiciones topográficas del sitio.
- 5. Dimensionar el sistema de tratamiento del agua residual, técnica y económicamente más adecuado.
- 6. Estimar costos para la elaboración del proyecto.



Descripción del área en estudio

"Quien planta árboles está al lado de la eternidad. Nuestra codicia legítima de más bosques es la búsqueda de una humanidad más humana"

Joaquín Araújo

II. Descripción del área en estudio

2.1. Ubicación del área en estudio

El municipio de Comalapa, del departamento de Chontales, está ubicado en la zona central del territorio nicaragüense, entre la parte nororiental del lago Cocibolca. La ciudad fue fundada el 27 de enero de 1879 y está localizada a 137 km de la capital Managua; cuenta con un área urbana de 6.3 km2 o 630 ha (INIFOM, 2015).

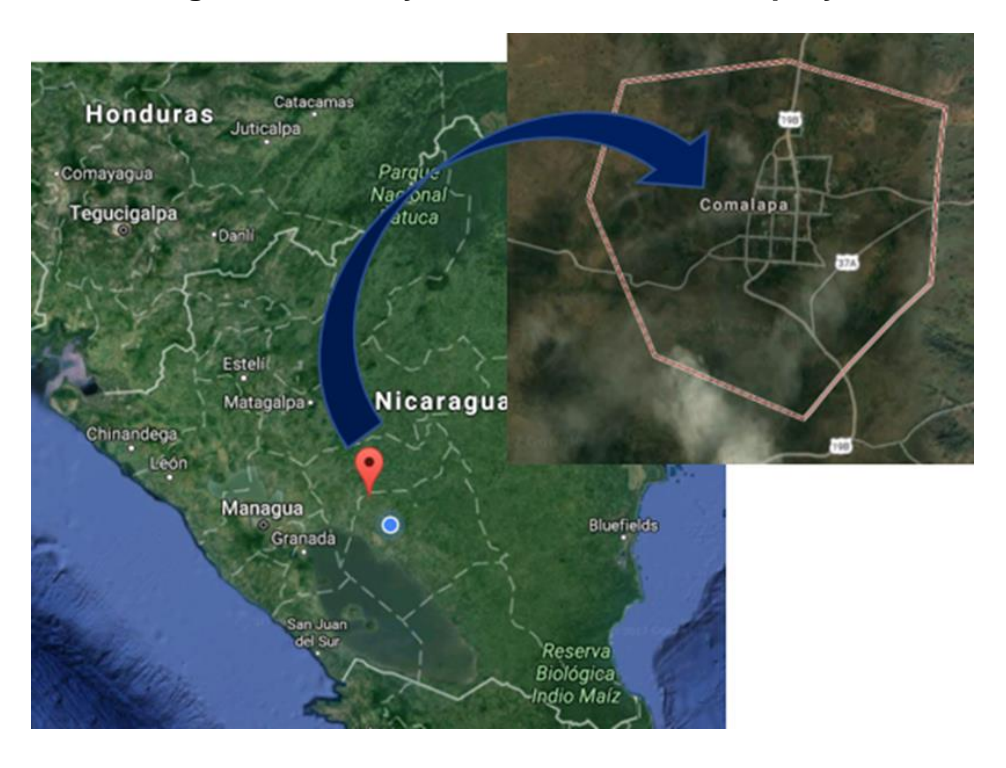


Figura 1. Macro y micro localización del proyecto

Fuente: Adaptado de Google earth, 2019

Los límites del municipio son los siguientes

Al norte con el Municipio de Camoapa departamento de Boaco, al sur el lago de Nicaragua o Cocibolca, al este Municipio de Cuapa y Juigalpa del departamento de Chontales y al oeste con el municipio de San Lorenzo, departamento de Boaco.

Se encuentra a 37 kilómetros de la Ciudad de Juigalpa, cabecera departamental de Chontales y a 130 Km. al sureste de Managua, capital de la República de

Nicaragua. Su posición geográfica esta entre las coordenadas 12º 16' latitud Norte y 85º 30' longitud Oeste.

2.2. Reseña histórica

De acuerdo a INIFOM (2014) Comalapa es uno de los pueblos más antiguo de la república, su fundación se remonta a la época aborigen; no se ha logrado encontrar ninguna ley relacionada con la creación del Municipio que lleva su nombre, ni con su jurisdicción rural, menos aun con la del otorgamiento de título de pueblo.

El nombre original fue COMALAGALPAN, cambiado por los españoles a Comalapan y posterior a Comalapa. Esta población ha tenido dos asientos, el primero en el sitio el Limón y el segundo en el lugar que hoy ocupa. Según el lingüista nicaragüense Alfonso Valle, el nombre es de origen mexicano y significa en la lengua antigua náhuatl "En el agua de los cómales", de las voces: "Comali", Comal; "Atl.", Agua; y "pan", adverbio de lugar y fue fundada en el año 1975.

2.3. Población

El municipio de Comalapa consta de 14,388 del cual 55% son mujeres y el 45% son hombres aproximadamente y están distribuidos en 26 comunidades rurales siendo el 90% de la población rural y 4 comunidades urbanas siendo esta el 10% de la población del casco urbano aproximadamente. La densidad de población es de 22.35 por kilómetros cuadrados.

2.4. Aspectos socio-económicos

Según la alcaldía del municipio, En Comalapa encontramos 3028 hombres, esto equivale al 17.22 % y 533 mujeres equivalente al 3.03 % sumando esto nos da que el 20.25 % de la población cuentan con algún tipo de trabajo.

Distribuidos de la siguiente manera:

Comalapa casco urbano, zona 1,2,3 y 4 se encontraron a 195 hombres y 114 mujeres con diferentes tipos de empleos.

En la zona rural (Tabla 6):

Microrregión I: 593 hombres y 131 mujeres con diferentes tipos de empleos.

Microrregión II: 704 hombres y 50 mujeres con diferentes tipos de empleos.

Microrregión III: 965 hombres y 198 mujeres con diferentes tipos de empleos.

Microrregión IV: 571 hombres y 40 mujeres con diferentes tipos de empleos.

La ganadería, como principal actividad involucra un 42% de la población económicamente activa del municipio, en segundo lugar, se ubica la agricultura, con aproximadamente el 30% y un 15% de la población se dedican a la actividad comercial.

Tabla 7. Microrregiones del municipio de Comalapa

Micro región 1	Micro región 2	Micro región 3	Micro región 4
Comarcas	Comarcas	Comarcas	Comarcas
El Cebollín.	Comalapa (Centro Urbano)	San Patricio.	Santa Clara.
Espíritu Santo.	San Francisco	Santa Rosa.	Jicotepe.
Los Brasiles.	Miragua	La Concha.	Piedra Pintada.
El Pochote.	El Cangrejal.	El Coyol.	La Pitahaya.
Talpetate.	El Jocote.	Cuisalá.	
Montañita Abajo.	El Naranjo.	Moralito.	
Los Potrerillos.	Concepción.	La Ermita	
	El Avispero		
	Montañita Arriba		

Fuente: Alcaldía municipal, 2017

2.5. Características físicas y naturales del área

2.5.1. Clima y precipitación

La mayor parte del territorio de Comalapa pertenece a la zona seca del departamento de Chontales. En el municipio de Comalapa la temperatura media anual fluctúa entre los 25 a 27°C. La humedad relativa varía entre el 71 y el 80%. El viento predominante proviene del noreste, a una velocidad de 2.2 a 3.6 m/seg. La precipitación media anual se encuentra entre los 1000 a 1200 milímetros. El municipio presenta 2 zonas climáticas definidas.

Zona 1

Con precipitaciones anuales entre 1100 y 1400 mm, con elevaciones menores de 200 metros sobre el nivel del mar y con canícula bien definida.

Corresponde a la zona más plana del municipio, ubicada a ambos lados de la carretera de Managua-El Rama y en el borde costero del Gran Lago. Constituyen esta zona las siguientes comarcas: Santa Clara, Jicotepe, Cuisalá, El Llanito, Santa Rosa, San Patricio, Moralito, La Pitahaya, La Concha y El Naranjo.

El periodo de lluvias varía entre cinco y seis meses.

- Zona 2

Con precipitaciones anuales entre 1100 y 1400mm, con elevaciones superiores a los 200msnm y con canícula bien definida. Constituye esta zona las siguientes comarcas: Piedra Pintada, La Ermita, El Embudo, Espinas Blancas, Los Brasiles, Montañita Arriba, Montañita Abajo, concepción, El Cangrejal, El Jocote, Talpetate, Espíritu Santo, El Cebollin, El Pochote, Jiñocuabo, Potrerillos y el casco urbano. El periodo de lluvias varía entre cinco y seis meses.

- Zona 3

Con precipitaciones anules entre 1400 y 1700 mm, con elevaciones menores de 200 metros sobre el nivel del mar, salvo en algunas microzonas, con canículas benignas. A esta zona solo le pertenece la comarca de Miraguas (1 y 2). El de lluvias varía entre 7 y 8 meses.

2.5.2. Flora y fauna del municipio

- Flora

Bosques medianos o bajos subcaducifolios de zonas cálidas y semihumedas Especies: Cedro (Cedrela odorata), Cedro macho (Carapa Squianensis Aubl), pochote (Bonbacop quinata), caoba (S witenia macrophylla King) Ceiba (pentandra (L) Gaerh) Come negro, Tamarindo (Dialum guianense (Aubl), Aceituno (Simarouba glauco D.C.), Almendro (Dicteryx panamensis (pitt) Rec.& Mell), Brazón (Hirtella sp.) Canelo (Ocotea veraguensis (Meis) Mez) ochracea ssp. Neochrisantha A.gently), Coyote Cortés (Tabubeia (Platymiscium pinnatum (Jacq) Dugan) Gavilán (Pentanclethra (Willd) Kuntze.), Genizaro (Pithecellobium saman (Jacq) Granadillo (Dalbergia tucurensis J. D. Smiht), Guaba (Inga sp), Guácimo colorado (Machaerium sp.), Guanascaste oreja (Enterolobium cyclocarpum (jacqu) Grised) de Guanascaste blanco (Albizea caribea(Urban) Britt,&Rose) Guapinol L.), Guayaba, Espavel (Anacardium exelsum (Hymenea coubaril (bert.&balb)Skeeestos) Jiñocuabo (Bursera simarouba (L.) Sar), Joco mico edulis Pluttr.) Lagarto Zanthoxylum (Rheedia (seem). larga/ZopiloteVochysia ferruginia Mart., Laurel (Cordia elliodora (Ruiz & Pav) Oke,), Mora (Chlophora tinectoria (L) Guad), Muñeco (Cordia bicolor A DC) Bysonima crassifolia (L).DC, Nancitón Hyeronima alchorneodes Nancite Allemao, Níspero Manilkara zapota(L) mango (Manguifera indica L), nacascolo (Caesalpinea corarea (Jacq.)Willd), carao (Cassia GrandisL.f.), casa amarillo (Senna siamea (Lam.) Iwi, & Barneby) capulin (Mutingia calabura. L), almendro de rio (Andira inermis (W. Wright) D.C.), madero negro (Glliricidia Sepium (Jacq) Steud), talalate (Gyrocarpus americanus Jacq), paraiso (Melia azedaraach L) leucaena (Leucaena leucocefala 8Lam.) Dewit), ojoche (Brosimium Sw), guiliguieste(Karwinskia calderonii Standl) madroño (Calycuthyllum candidissimun (Vahl) D.C), panamá(Sterculia apetala(Jacq.) Karst.) escobillo, guayacan, marañón, jicaro sabanero tigüilote, malinche brasil hoja tostada, hojachique, chocollo Elegueme, palo de plomo, aromo o cachito de aromo. Quebracho, espino de playa, guayaba común, chicharron blanco,

Tempisque (*Mastichodendrun capiri*) y otras especies de pastizales naturales como zacate jaragua, zacatón, zacate de llano, aceitillo, y como malezas.

- Fauna

En el municipio existen las siguientes: venado, iguana negra e iguana verde, Coyotes, Zorro cola pelada, zorro de espinas o cuerpoespin, Zorrillo, gato ostoche, conejo, Venado, guatuzas, caucelo, ardilla, lagartijas, culebra de varias especies: coral voladora, boa constrictora, montabuey, cascabel, bejuquilla, sabanera, peses, etc.

2.5.3. Recursos geológicos existentes

También se cuenta con cinco bancos de material selecto los cuales se utilizan para carpeta de rodamiento de caminos y carreteras, ellos se encuentran localizados sobre el tramo de camino Santa Rosa – Comalapa – Camoapa; en los siguientes lugares:

- Banco No. 1 El Pilón ubicado en la Comarca de Moralito.
- Banco No. 2 Paso de laja ubicado en la Comarca de Concepción.
- Banco No. 3 El Pique a 400 metros del casco urbano.
- Banco No. 4 Gildo Sequeira, a 300 metros del casco urbano.
- Banco No. 5 Helidoro Sándigo, en el lugar conocido como san Vicente Carretera al municipio de Camoapa.

Banco de Piedra bolón ubicado en la Comarca de los Braciles.

Barro: Es una mezcla semilíquida de agua y tierra compuesta por sedimentos, partículas de polvo y arcilla. Este material se encuentra ubicado en la comarca de El Naranjo y se utilizan para elaborar todo tipo de artesanía de forma artesanal dicho producto es comercializado en el casco urbano y el municipio de Camoapa.

Arcilla (tierra lanilla) este tipo de material es encontrado en las comunidades de Cuisala, Los Llanitos y el Naranjo; siendo más explotado en las dos primeras comunidades mencionadas anteriormente ya que se utiliza para la construcción

de ladrillos en sus diferentes tamaños y formas los cuales son comercializados en el municipio de Juigalpa y todo el departamento de Chontales, también es utilizado para la construcción de casa de adobes en las comunidades del municipio.

2.5.4. Topografía

Comalapa se encuentra sentado sobre un terreno bastante ondulado. Comprende las montañas de Oluma, San Francisco, las Cruces y El Chombón y con altura importante el Cerro de Miraguas. Los niveles de elevación sobre el nivel del mar están concentrados en una escala que van de 0 a 200 y de 200 a 400 metros, clasificados como moderadamente bajos y llegando hasta terrenos bajos en lo que corresponde a la zona costera con el Lago de Nicaragua. En términos generales la altitud sobre el nivel del mar es de 270 metros.

En relación con las unidades topográficas y pendientes, en el municipio se distinguen seis tipos de pendientes clasificadas cada 5%. Las pendientes menores se encuentran localizadas a orillas del Gran Lago y a ambos lados de la carretera Managua-El Rama

2.6. Servicios básicos

La población de Comalapa cuenta con servicios de agua potable, cuya administración está a cargo de la Empresa Nacional de Acueductos y Alcantarillados (ENACAL).

ENACAL reporta que existe un total de 390 viviendas con servicios de agua potable, las cuales se abastecen a través de conexiones domiciliares y se encuentran ubicadas en el sector urbano.

En el poblado de Comalapa existen 3 pozos perforados con máquinas, de los cuales uno está funcionando y cuenta con una bomba sumergible que funciona a través de energía eléctrica con capacidad de 75 galones por minuto, abasteciendo al poblado durante 12 horas diarias de agua.

El sistema de distribución es por medio de bombeo del pozo a las conexiones domiciliares y después llena las pilas de abastecimiento. Para el mejor

funcionamiento del sistema lo correcto es primero llenar la pila de abastecimiento y después abastecer los servicios domiciliares.

2.6.1. Alcantarillado sanitario

El municipio de Comalapa actualmente no cuenta con un sistema de alcantarillado sanitario por lo que las aguas servidas corren por medio del sistema de drenaje superficial (cunetas).

2.6.2. Alcantarillado pluvial

Comalapa cuenta con una red de cunetas en las principales calles del municipio donde estas dirigen sus aguas a diferentes arroyos que pasan por el municipio.

2.6.3. Salud

En el Municipio de Comalapa existen 3 puestos de salud en función, en las Comarcas El Pochote, La Pitahaya, San Patricio. En la cabecera Municipal existe un centro de salud tipo C.

En general el MINSA de Comalapa da cobertura a todas las comarcas del municipio

Las enfermedades más frecuentes en el Municipio son las siguientes:

- Infecciones renales
- Catarro común
- Artritis
- Asma
- Bronquitis
- Amigdalitis
- Diarreas
- Laringitis
- Parasitosis

En los programas de vacunación se atienden anualmente aproximadamente a más de 2,500 niños menores de 5 años. Además de las vacunaciones, el Centro de Salud de la cabecera municipal Comalapa no ofrece servicios de laboratorios para realizar distintas pruebas de exámenes tales como orina, sangre, excremento y otros. Este Centro de Salud, actualmente consta con sala de partos y servicios de odontología.

Los centros de Salud mencionados anteriormente se ubican dentro de las micro regiones siguientes:

Micro región I: 1 Puesto de Salud. (Comarca El Pochote)

Micro región II: 1 Centro de Salud (Casco Urbano centro Tipo C)

Micro región III: 1 Puesto de Salud. (Comarca San Patricio)

Micro región IV: 1 Puesto de Salud. (Comarca La Pitahaya)

2.6.4. Educación

El municipio cuenta con 1 centro educativo el cual funciona en un edificio propio del ministerio de educación. Es clasificado como un municipio deficiente, ocupa el puesto diez dentro del departamento y el puesto 158 dentro de la clasificación general del país. El municipio tiene baja repetición de primaria, aceptable retención de preescolar y primaria. Sus retos, baja cobertura, baja retención de secundaria, baja aprobación de primaria y secundaria.

2.6.5. Energía eléctrica

El municipio de Comalapa cuenta con servicios públicos de Energía eléctrica domiciliar, la cual está a cargo de la empresa Unión FENOSA DISSUR. La infraestructura de la energía eléctrica en general comprende circuitos independientes para el servicio domiciliar y para el alumbrado público, además circuitos especiales para riego e industria en el sector urbano existen 185 conexiones domiciliares.

2.6.6. Vialidad y transporte

El municipio de COMALAPA cuenta con 7 comunidades que poseen transporte colectivo de forma irregular, lo que trae problemas a la población que inciden en la producción.

Se cuenta con tres unidades de buses para transporte colectivo, los que poseen solo dos itinerarios, sale por la mañana y retornan al pueblo por la tarde, llevando a los pobladores con destino a Managua, Juigalpa y Camoapa. Existe también transporte Inter local que efectúa la ruta Comalapa-Santa Rosa y viceversa, con una frecuencia de 8 veces en el día.

El Municipio a lo interno cuenta con carreteras y caminos rurales que están en regular estado todo el tiempo y se comunica con sus comunidades a través de caminos reales, callejones y veredas.

Las principales vías de comunicación son:

- Carretera pavimentada al Rama que cruza 20 km. En la parte Sur, de Oriente a Occidente EL Cedral.
- San Nicolás, 5 km. de carretera pavimentada. En la parte Norte del Municipio ubicados en el centro de la carretera Camoapa empalme San Francisco que sirve de comunicación para la comarca el Pochote y el Cebollín.
- Carretera que sirve de conexión entre la cabecera Municipal y la carretera al Rama, es de tipo macadán y tiene 15 Km de longitud.
- Carretera COMALAPA-CAMOAPA con 12 Km de longitud.
- Carretera del tipo terciario que conduce COMALAPA-CUAPA 16 KM.
- Carretera la Mata Piedra Pintada 13 Km. también del tipo terciario.
- Camino rural la Concepción El Pochote 16 Km. y algunos caminos de penetración en época seca como Concepción Montañita arriba 4 Km., Cofradía Quilile 10 Km. En cuanto a la infraestructura vial del Municipio, en el área urbana existe 8,000 mts² de adoquinado de calles, 1,200 mts lineales de cunetas y 2,300 mts² de calles de tierra.

2.6.7. Telecomunicaciones

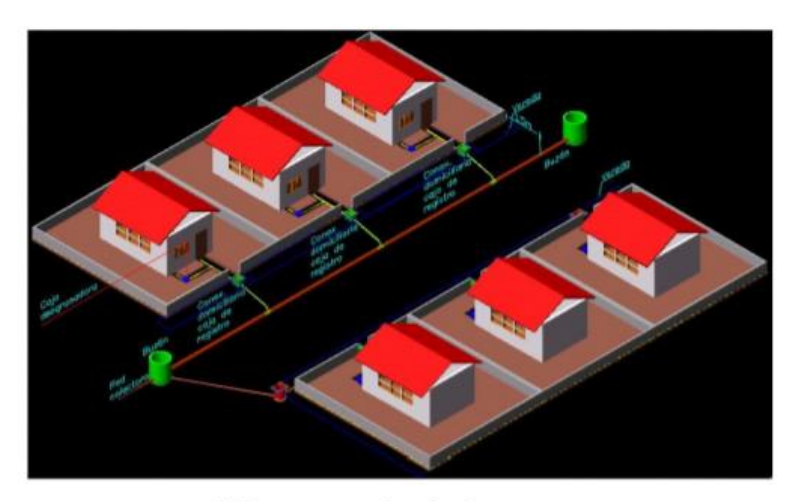
El municipio cuenta con servicios de teléfono, administradas por las empresas de Claro y Movistar. Existen 66 líneas de teléfonos directos y un tele centro llamado "Tele centro Comalapa" que brinda el servicio de conectividad a internet ubicado en el parque central frente a las instalaciones de la alcaldía municipal financiado por el gobierno concurrente, Alcaldía y Banco Mundial En las comarcas de Cuisalá tiene una línea de teléfono directo. La población es atendida con el servicio de telefonía celular.

2.6.8. Servicios municipales

En cuanto a la infraestructura de los servicios municipales, se cuenta con recolección de los desechos sólidos, cementerio, parques, mercado, un rastro municipal, viveros y registro de bienes inmuebles, sin embargo, carece totalmente de un sistema de Alcantarillado para aguas negras y cuenta con un sistema de agua potable deficiente.

2.6.9. Cultura y deporte

Para la recreación el municipio cuenta con un parque central donde se puede apreciar los hermosos cerros que le rodean, cuenta con un restaurante y un pequeño centro nocturno. Existe una liga deportiva de baseball donde se reúnen muchos equipos conformados por personas de cada comunidad rural del municipio. Existe una plaza donde se celebran las fiestas patronales que se celebran en el mes de febrero.



Marco teórico

"Destruir un bosque tropical para obtener beneficios económicos es como quemar una pintura del Renacimiento para cocinar" Edward O. Wilson (1929)

III. Marco teórico

A continuación, se presentan los conceptos en los que se fundamenta el de diseño de la propuesta de saneamiento para Comalapa. Estos obedecen a las guías técnicas para el diseño de alcantarillado Sanitario y sistemas de tratamiento de aguas residuales en proceso de elaboración por parte del Instituto Nicaragüense de Acueductos y Alcantarillados (INAA, 2012).

3.1. Estudios básicos

Antes de iniciar el diseño de un sistema de alcantarillado sanitario, se deberá tener un buen conocimiento del área donde se pretenderá implantar el sistema, para esto es necesario realizar investigaciones de todas las condiciones que pueden significar aporte de datos para un diseño equilibrado, de costo razonable y capaz de llenar las necesidades bases de la obra que se desea construir. Dentro de los estudios básicos se mencionan los siguientes.

3.2. Estudios geotécnicos

Estos estudios deberán incluir la determinación de las siguientes características de los suelos: Tipo de suelos, Granulometría, módulo de elasticidad, valor soporte, límites de Atterberg, cohesión y peso específico.

3.3. Estudios topográficos

Una vez reconocida el área perimetral de la población y preseleccionado los sitios convenientes para estaciones de bombeo, planta de tratamiento, y lugar para descarga de las aguas residuales, se procederá a efectuar los levantamientos topográficos de conjunto y tener detalles suficientes para una ejecución posterior bien ubicada.

Se utilizará como punto de partida la red geodésica, tanto en el levantamiento planimétrico como el altimétrico y deberá cumplir con las recomendaciones que al respecto indique el Instituto Nicaragüense de Estudios Territoriales (INETER). El levantamiento topográfico deberá ser amarrado a la Red Geodésica Nacional de por lo menos dos puntos o mojones aprobados por el INETER, convenientemente referenciados y protegidos de tal manera que pueda reconstruir a través de ellos

el levantamiento de campo realizado, presentándose los resultados en coordenadas UTM (Control Geodésico de la Red Nacional).

3.4. Estudios de obras existentes

Se deberá determinar mediante sondeos la localización de horizontal, profundidad y diámetro de tuberías existentes de agua potable y drenaje de aguas pluviales, si las hubiere; así como las instalaciones telefónicas o cualquier otro servicio existente, con el propósito de evitar interferencias o daños, causadas por las instalaciones de alcantarillado sanitario.

3.5. Aguas residuales

De acuerdo a Metcalf & Eddy (1998) las aguas residuales son materiales derivados de residuos domésticos o de procesos industriales, los cuales por razones de salud pública y por consideraciones de recreación económica y estética, no pueden desecharse vertiéndolos sin tratamiento en cuerpos de agua convencionales. El conocimiento de la naturaleza del agua residual es fundamental para el proyecto y explotación de las infraestructuras, tanto de recolección como de tratamiento y evacuación de las aguas residuales, así como para la gestión de la calidad del medio ambiente.

Las características de las aguas residuales de una localidad en particular deben averiguarse, por medio de pruebas de laboratorio, para determinar cuál será el tratamiento necesario y aplicar los métodos más efectivos.

3.5.1. Características organolépticas de las aguas residuales1. Olor

Causado normalmente por los gases liberados durante la descomposición de la materia orgánica. Las aguas residuales pueden contener compuestos que pueden producir olores por sí mismos o compuestos con tendencia a producir olores durante los procesos de tratamiento.

2. Turbidez

Se define como la propiedad óptica de una suspensión la cual hace que la luz se disperse. En el agua residual, se debe a la presencia de partículas de material suspendido (arcilla, materia orgánica e inorgánica, etc.) finamente dividida y desechos humanos entre otros.

3. Color

Los colores oscuros de las aguas residuales, se deben a la formación de sulfuros metálicos, por reacción del sulfuro liberado en condiciones anaerobias con los metales presentes en el agua residual.

3.5.2. Características físicas de las aguas residuales

Las características físicas más importantes del agua residual es su contenido total de sólidos, los cuales están compuestos de materia flotante y materia en suspensión, en dispersión coloidal y en disolución. Otras características son la temperatura, color y olor.

✓ Sólidos

Los sólidos son la materia suspendida o disuelta que a su vez puede brindar información de la cantidad de materia orgánica e inorgánica que contiene el agua (Estándar Methods, 2000).

- Sólidos totales: Incluyen los sólidos suspendidos y los sólidos disueltos (tabla 5) y son la materia que se obtiene como residuo después de someter el agua a un proceso de evaporación entre 103°C y los 105°C (Estándar Methods, 2000).
- ✓ Sólidos suspendidos: Son aquellos que están en suspensión y que son perceptibles a simple vista en el agua.
- ✓ Sólidos disueltos: Es la materia que queda después de haber filtrado y evaporado un volumen de muestra a 103°C y 105°C.
- ✓ Sólidos sedimentables: Son aquellos que sedimentan en el fondo de un recipiente de forma cónica en el transcurso de 60 minutos.

Tabla 8. Clasificación de los sólidos totales

Clasificación de los Sólidos Totales				
Sólidos Totales	Suspendidos (30%)	Sedimentables (50%)	Orgánicos Volátiles (75%)	
			Orgánicos fijos (25%)	
		No Sedimentables (50%)	Orgánico (75%)	
			Inorgánico (25%)	
	Sólidos disueltos (70%)	Coloidal (10-20%)	Orgánico (80%)	
			Inorgánico (20%)	
		Disuelto (80-90%)	Orgánico (40%)	
			Inorgánico (60%)	

Fuente: Metcalf & Eddy (1998)

✓ Temperatura

Es una propiedad muy importante debido a su influencia en el desarrollo de muchos procesos físicos, químicos y biológicos. Las variaciones de temperatura tienen efectos positivos y negativos en la dinámica de los ecosistemas acuáticos. Al aumentar la temperatura tienden a acelerarse las reacciones químicas y bioquímicas, el oxígeno disuelto disminuye y otras veces da lugar a la proliferación de las plantas acuáticas y hongos (Metcalf & Eddy, 1998). La temperatura óptima para el desarrollo de la actividad bacteriana se sitúa entre 25°C y los 35°C.

✓ Densidad

De ésta depende la formación de corrientes de densidad en fangos de sedimentación y otras instalaciones de tratamiento (Metcalf & Eddy, 2003). Es muy importante para un correcto diseño de las unidades de bombeo.

3.5.3. Características químicas de las aguas residuales

El agua residual contiene tanto químicos inorgánicos como orgánicos. Los constituyentes inorgánicos están presentes en el agua transportada y se incrementan a causa del uso del agua. De hecho, el tratamiento del agua residual no tiene el objetivo de alterar la concentración de contaminantes inorgánicos,

aunque las concentraciones de fósforo y nitrógeno son algunas veces importantes en procesos de tratamiento biológico.

✓ Demanda bioquímica de oxígeno (DBO₅)

Se define como la cantidad de oxígeno requerido por las bacterias para oxidar la materia orgánica existente en las aguas residuales. Los ensayos de DBO5 se deben realizar bajo las siguientes condiciones:

- Ausencia de tóxico
- Presencia de Nutrientes (Fósforo, Nitrógeno), cultivos de bacterias fuertes
 y bien aclimatadas
- pH y temperatura adecuada, etc.
 Con el valor de la DBO5, se puede calcular el efecto de los residuos sobre el contenido de oxígeno disuelto, evaluar la efectividad de las plantas de tratamiento en la remoción de materia orgánica, desarrollo y diseño de plantas de tratamiento de aguas (Metcalf & Eddy, 2003).

✓ Demanda química de oxígeno (DQO)

Es un parámetro que determina el contenido de materia orgánica susceptible de oxidarla a dióxido de carbono y agua. Los ensayos de DQO se realizan en corto tiempo (3 horas), si los ensayos de DQO son más altos que los de la DBO5, ello indica la presencia de materia orgánica biológicamente residente. La relación de estos dos parámetros puede utilizarse como criterio de selección para el tratamiento de aguas residuales.

Las aguas residuales de baja carga se caracterizan por tener una DQO menor de 1000 mg/l (Metcalf & Eddy 1998). La DQO de un agua residual suele ser mayor que su respectiva DBO5, debido al mayor número de compuestos cuya oxidación se da químicamente frente a los que se oxidan biológicamente (Winkler, 1986).

√ Relación DBO₅ / DQO

La relación DBO5/DQO es otra forma de evaluar la biodegradabilidad aerobia de los procesos biológicos. El mayor valor obtenido de esta relación suele ser típico en cada proceso, por lo que una variación imprevista de este valor es indicativa de la presencia de contaminantes no habituales. Para sustancias biodegradables la relación oscila en torno a los 0.70, valor que se reduce a un rango de 0.3-0.7 para sustancias parcialmente biodegradables (Romero, 1999). A mayor DQO, mayor capacidad de contaminación de un residuo líquido, ya que se requiere mayor cantidad de oxígeno para su oxidación.

✓ Nitrógeno en las aguas residuales

Puede estar presente en el agua residual tanto en forma inorgánica como orgánica y tanto en estado reducido como oxidado. En aguas residuales puede estar presente principalmente como amonio o como un constituyente de proteínas (Nitrógeno orgánico).

√ Fosforo

Está presente principalmente en forma de fosfatos es uno de los principales elementos para el crecimiento de la flora acuática, puede estar como compuesto de materia orgánica.

✓ Alcalinidad del agua residual

La alcalinidad del agua residual es importante, ya que suministra un amortiguador contra ácidos producidos por acción bacteriana en sistemas anaeróbicos o de nitrificación. De cualquier manera, que las aguas residuales se deterioren, su PH tiende a disminuir a causa de la producción de ácidos orgánicos por metabolismo bacteriano. Los ácidos orgánicos generados por actividad biológica son ácidos fuertes, similares en características al ácido carbónico, y pueden producir un evidente incremento en la alcalinidad.

3.5.4. Características microbiológicas

Muchas formas de vida microbianas pueden existir en las aguas en tanto se satisfagan las necesidades físicas y nutricionales apropiadas para su crecimiento, las bacterias aerobias y los protozoarios necesitan oxígeno disuelto para crecer. El nitrógeno y el fósforo, así como la luz, son indispensables para las algas. El número y tipo de microorganismos presentes constituyen un indicio de la calidad del agua.

Estos microorganismos constituyen la parte viva natural de la materia orgánica que se encuentra en estas aguas y su presencia es de suma importancia porque son uno de los motivos para su tratamiento.

3.5.5. Organismos indicadores de contaminación

La detección de agentes patógenos en el agua es difícil, económicamente costosa y poco práctica en los análisis rutinarios del agua. En su lugar, ésta se valora empleando un sustituto, que actúa como un indicador de contaminación fecal. Puesto que los organismos no patógenos también habitan en gran número en el intestino y están siempre presentes en las heces, junto con los agentes patógenos que pudiera haber, pueden servir como indicadores de contaminación fecal. Las principales características de un buen organismo indicador son:

- Su ausencia implica la inexistencia de patógenos entéricos.
- La densidad de los organismos indicadores está relacionada con probabilidad de la presencia de patógenos.
- En el medio los organismos indicadores sobreviven un poco más que los patógenos.

Sin embargo, la presencia de coliformes totales, coliformes fecales y estreptococos fecales se considera como indicio de contaminación por heces, y por muchos años se ha empleado para valorar la calidad del agua.

3.6. Estudio de población

3.6.1. Período de diseño

El período de diseño se estima en base a factores que inciden en la capacidad y buen funcionamiento del sistema, estos factores son:

- Vida útil de los elementos que componen el sistema.
- Planes de desarrollo futuro.

- Tasa de crecimiento de la población
- Funcionamiento del sistema en sus primeros años de vida
- Capacidad de población del área de estudio.
- Población de saturación.

En la práctica varía de 20, 30 hasta 50 años y depende de factores tales como: economía, fondos disponibles, criterio del diseñador, etc. En nuestro país se considera razonable diseñar el proyecto para un período de 20 años.

3.6.2. Proyección de población

Una proyección de población es un cálculo que refiere el crecimiento aproximado previsto en el número de habitantes de un lugar para un año futuro dado. Con el fin de determinar la cantidad de aguas residuales a eliminar de una comunidad y definir el tipo de tratamiento de la población existente y futuras extensiones del servicio es necesario predecir la población para un número de años, que será fijado por los períodos económicos del diseño, es decir, para un periodo económico de diseño. Existen diferentes métodos para el cálculo de la proyección futura de la población a partir de modelos de crecimiento y lo recomendable es emplearlos según el modelo al que se ajusta el comportamiento de la población respecto del tiempo.

3.6.3. Método geométrico

Este método es más aplicable a ciudades que no han alcanzado su desarrollo y que se mantienen creciendo a una tasa fija y es el de mayor uso en Nicaragua. Se recomienda usar las siguientes tasas en base al crecimiento histórico.

- 1) Ninguna de las localidades tendrá una tasa de crecimiento urbano mayor de 4%.
- 2) Ninguna de las localidades tendrá una tasa de crecimiento urbano menor del 2.5%.
- 3) Si el promedio de la proyección de población por los dos métodos adoptados presenta una tasa de crecimiento:

- a) Mayor del 4%, la población se proyectará en base al 4%, de crecimiento anual.
- b) Menor del 2.5%, la proyección final se hará basada en una tasa de crecimiento del 2.5%.
- c) No menor del 2.5%, ni mayor del 4%, la proyección final se hará basada en el promedio obtenido.

3.7. Sistema de alcantarillado sanitario

El Sistema de Alcantarillado está constituido por el conjunto de estructuras e instalaciones destinadas a recoger, evacuar, acondicionar y descargar las aguas residuales provenientes de un sistema de suministro de agua.

3.8. Conceptos de aguas residuales

Aguas residuales se define como un tipo de agua que está contaminada con desechos originados por actividades domésticas, industriales y por agua que se filtran por la tubería (aguas subterráneas y pluviales).

3.9. Clasificación de aguas residuales

3.9.1. Aguas residuales domesticas

Se conoce como aguas residuales domesticas a todas las aguas provenientes de las viviendas, edificios públicos y otras instalaciones de las actividades netamente domésticas como inodoros, fregaderos, baños, trituradores de basura, etc. Las dotaciones de agua doméstica se presentan en tabla 8.

Tabla 9. Dotaciones de agua

Rango de población	Dotación (L/hab/día)
0 - 5,000	100
5,000 - 10,000	105
10,000 - 15,000	110
15,000 - 20,000	120
20,000 - 30,000	130
30,000 - 50,000	155
50,000 – 100,000 y mas	160

Fuente: NTON 09003-99

3.9.2. Aguas comerciales

Son las aguas que provienen de locales comerciales como mataderos, pequeñas industrias y otras instalaciones públicas y que suelen estar conectadas a un sistema de alcantarillado común (tabla 7).

3.9.3. Aguas industriales

Son las aguas de todo tipo producidas por grandes plantas industriales (tabla7).

3.9.4. Aguas de origen público

Es la cantidad de agua utilizada por instituciones gubernamentales, hospitales, escuelas, etc. (tabla 8).

Tabla 10. Tipos de consumo y dotación

Consumo	Porcentaje	
Comercial	7	
Publico o industrial	7	
Industrial	2	

Fuente: (NTON 09003-99)

3.9.5. Aguas e infiltración y conexiones incontroladas

Aguas que penetran de forma no controlada en la red de alcantarillado procedente del subsuelo, y agua pluvial que es descargada a la red a partir de fuentes tales como como bajantes de edificios, drenes de cimentaciones y alcantarillas pluviales.

3.9.6. Aguas pluviales

Es el flujo derivado de eventos de precipitación, el cual es introducido deliberadamente dentro de las alcantarillas con el propósito de ser transportado. (McGhee, 1999).

3.10. Caudal de aguas residuales (Qd)

El caudal de diseño para alcantarillas es el caudal máximo, para el caso de alcantarillado con un adecuado control en las conexiones domiciliarias será caudal máximo más caudales adicionales como Caudal de infiltración y caudales especiales que pueden ser, comerciales, industriales, institucionales u otros.

3.11. Red de alcantarillado sanitario

Geometría de la red de alcantarillado

La disposición de los tramos y de las cámaras que conforman la red constituye uno de los parámetros básicos del diseño. Dicha disposición define la geometría de la red y con esta sus características topológicas, las cuales permanecen invariables durante el diseño. Estas características incluyen el número de tramos y cámaras, la unión de los mismos, la longitud de los tramos y la sectorización de los caudales que se presentan para cada punto de descarga. También, se debe determinar las áreas tributarias a cada tramo, las cuales se utilizan en el cálculo del caudal de aguas residuales y/o lluvias.

Partiendo del punto de descarga, el cual puede ser un cuerpo de agua (previa aprobación), un colector existente o una planta de tratamiento (existente) se trata de definir el posible trazado del colector principal siguiendo hacia arriba por las calles de menor pendiente, pero procurando que este cubra toda el área a ser servida.

El colector principal debe estar a una elevación tal que sea capaz de recibir las descargas de todos los colectores secundarios, evitando las excesivas excavaciones.

3.12. Hidráulica de las alcantarillas

Fórmula y coeficiente de rugosidad

El cálculo hidráulico de las alcantarillas se deberá hacer en base al criterio de la tensión de arrastre y a la fórmula de Manning.

Diámetro mínimo

El diámetro mínimo de las tuberías deberá ser de 150 mm. (6 in).

Pendiente longitudinal mínima

La pendiente longitudinal mínima deberá ser aquella que produzca una velocidad de auto lavado, la cual se podrá determinar aplicando el criterio de la tensión de arrastre.

Pérdida de carga adicional

Para todo cambio de alineación sea horizontal o vertical se incluirá una pérdida de carga igual a 0.25 (Vm)²/2g entre la entrada y la salida del pozo de visita sanitario (PVS) correspondiente, no pudiendo ser en ninguno de los casos, menor de 3cm.

Cambio de diámetro

El diámetro de cualquier tramo de tubería deberá ser igual o mayor, que el diámetro del tramo aguas arriba, por ningún motivo podrá ser menor. En el caso de que en un pozo de visita descarguen dos o más tuberías, el diámetro de la tubería de salida deberá ser igual o mayor que el de la tubería de entrada de mayor diámetro.

Angulo entre tuberías

En todos los pozos de visita o cajas de registro, el ángulo formado por la tubería de entrada y la tubería de salida deberá tener un valor mínimo de 90º y máximo de 270º medido en sentido del movimiento de las agujas del reloj y partiendo de la tubería de entrada.

Cobertura sobre tuberías

En el diseño se deberá mantener una cobertura mínima sobre la corona de la tubería en toda su longitud de acuerdo con su resistencia estructural y que facilite el drenaje de las viviendas hacia las recolectoras. Si por salvar obstáculos o por circunstancias muy especiales se hace necesario colocar la tubería a pequeñas profundidades, la tubería será encajonada en concreto simple con un espesor mínimo de 0.15 m alrededor de la pared exterior del tubo.

Ubicación de las alcantarillas

En las vías de circulación dirigidas de Este a Oeste, las tuberías se deberán ubicar al Norte de la línea central de la vía. En las vías de circulación dirigidas de Norte a Sur, las tuberías se deberán ubicar al Oeste de la línea central de la vía. En caso de pistas de gran anchura se deberán colocar dos líneas, una en cada banda de la pista.

En general, las alcantarillas deberán colocarse debajo de las tuberías de agua potable y con una separación mínima horizontal de 1.50 m. con el fin de evitar cualquier contaminación en el agua potable en las actividades de operación y mantenimiento.

Conexiones domiciliares

Las tuberías que conectan las descargas de agua residual de las edificaciones, desde la caja de registro, hasta las tuberías recolectoras del alcantarillado sanitario, son denominadas conexiones domiciliares. Ellas deberán instalarse por debajo de las tuberías del acueducto, inclusive de las tuberías interdomiciliares. Su diámetro mínimo deberá ser de 100 mm (4 pulgadas), para viviendas unifamiliares. Para el caso de hoteles, hospitales, colegios, etc., su diámetro se podrá determinar considerando la cantidad de artefactos sanitarios y aplicando el método de Hunter para obtener el caudal de descarga. La pendiente mínima podrá estar entre 1 y 2% dependiendo de la profundidad de la recolectora. Cuando la recolectora se encuentre a gran profundidad se puede utilizar una tubería vertical envuelta en concreto, llamada chimenea, que termina a una profundidad adecuada por debajo de la superficie y la domiciliar de la edificación se conectará al ramal por la parte superior de la chimenea.

Pozos de visitas sanitarios (P.V.S)

Se deberán ubicar pozos de visita (PVS) o cámaras de inspección, en todo cambio de alineación horizontal o vertical, en todo cambio de diámetro; en las intersecciones de dos o más alcantarillas, en el extremo de cada línea cuando se prevean futuras ampliaciones aguas arriba, en caso contrario se deberán instalar "Registros terminales" (cleanout).

La distancia máxima entre pozos de visitas sanitarios será de 100 metros para alcantarillas que varían entre 150 mm (6") y 375 mm (15"). La forma de los pozos de visita sanitarios (PVS), serán cilíndricos en su parte inferior y cónica truncada en la parte superior o entrada. El diámetro interno mínimo del cilindro será de 1.20 metros, y la entrada del cono tendrá un diámetro de 0.60 metros como mínimo.

La profundidad de los pozos de visita sanitarios (PVS) será variable según las condiciones topográficas del proyecto, siendo en ningún caso menor de 1.20 metros sobre la corona del tubo.

No se podrán ubicar pozos de visitas sanitarios (PVS), en cauces naturales de agua, zanjas, cunetas y demás lugares donde el agua escurra o se estanque, para evitar la filtración de agua a través del cuerpo y tapa. Si por circunstancias sumamente especiales, se tiene que ubicar uno o más pozos en zonas inundables, estos deberán ser totalmente herméticos.

Los pozos de visita de caída, se utilizarán cuando la altura entre el fondo del pozo de visita y el fondo de la tubería de entrada sea mayor de 0.60 m.

3.13. Tipos de sistemas de alcantarillado

Comprende el conjunto de estructuras de registro y tuberías o alcantarillas que transportan las aguas residuales al sistema de tratamiento. Según las estructuras de registro, tipo de conexión domiciliar, diámetros, coberturas y ubicación de tuberías, en los sistemas de redes se conocen cuatro tipos:

- Sistema Convencional.
- Redes de Alcantarillado Simplificado.
- Sistema de Alcantarillado en régimen de condominio.
- Redes de Alcantarillado sin arrastre de sólidos.

Por ser las más utilizada y que más experiencia se tiene en Nicaragua, se describirá únicamente la primera.

3.13.1. Redes de alcantarillado convencional

Este sistema es el más usado debido a su fácil diseño y a sus características especiales como disponibilidad de materiales en el mercado local, fácil colocación,

flexibilidad de acuerdo al área geográfica, disponibilidad en cualquier diámetro, etc. Sin embargo, debido a los altos costos constructivos del mismo, se han venido empleando distintos métodos de transporte de aguas negras que resultan en menores costos. Las componentes de un sistema de alcantarillado sanitario son:

- Conexión domiciliar (albañales): se denominan así a los componentes que recolectan las aportaciones de aguas residuales de una casa o edificio y las entregan a la red municipal.
- Conductos (atarjeas, subcolectoras, colectoras principales, interceptoras y evacuadoras), atarjeas o cabeceros: son las tuberías de diámetro mínimo dentro de la red que se instalan a lo largo de los ejes de las calles de una localidad y sirven para recibir las aportaciones de los albañales.
- **Subcolectores:** Son los conductos que reciben las aportaciones de aguas residuales provenientes de las atarjeas y, por lo tanto, un diámetro mayor. Sirven también como líneas auxiliares de los colectores.
- Colectores: Son líneas o conductos que se localizan en las partes bajas de la localidad, su función es capturar todas las aportaciones provenientes de subcolectores, atarjeas y descargas domiciliares.
- Emisor: Es un conducto comprendido entre el final de la zona de una localidad y el sitio de vertido o en este caso, planta de tratamiento. Su función es transportar la totalidad de las aguas captadas por el resto de la red de alcantarillas.
- Pozos de visita: Estructura compuesta de un cono excéntrico y base cilíndrica que permiten acceso a los colectores para labores de mantenimiento.
- Estaciones de bombeo: Estas se requieren cuando se necesita elevar el agua residual que se encuentra en una cota inferior a otra superior, siempre y cuando sea estrictamente necesario, ya que por lo general generan altos costos económicos.

3.14. Tratamiento de aguas residuales

La disposición de las aguas residuales crudas en cuerpos receptores produce contaminación que puede ser peligrosa para la salud humana y cuerpos receptores porque imposibilita su posterior uso, ya que estos son fuentes potenciales de agua potable, riego de cultivos agrícolas o recreación. Por tanto es de suma importancia la preservación de los cuerpos de agua y la aplicación de tecnologías adecuadas para el sistema de tratamiento de las aguas residuales, de manera que sean eficientes en remoción de contaminantes y a un costo favorable.

Dependiendo de las características de las aguas residuales y el nivel en que se apliquen los tratamientos pueden clasificarse como: Tratamientos preliminares, primarios, secundarios y terciarios.

3.14.1. Tratamientos preliminares

Estos tratamientos son destinados a preparar las aguas residuales para que reciban los tratamientos subsiguientes, sin perjudicar los equipos mecánicos y sin obstruir tuberías y causar depósitos permanentes en tanques. Las unidades de tratamiento preliminares más importantes son:

- Separación de solidos gruesos: rejas, rejillas, tamices, filtros gruesos.
- Separación de solidos suspendidos y sedimentables: desarenadores, sedimentadores, centrifugadores, filtros finos. Separación de grasas: retenedores de grasas.
- Separación de gases: aireación tanque de compensación y/u homogenización.

- Rejas

Son universalmente usadas en la remoción de sólidos y cuerpos flotantes y constituyen la primera unidad de tratamiento. Son un conjunto de barras colocadas una al lado de la otra, éstas pueden ser rectangulares o circulares y con un determinado grado de inclinación. Tienen como función el atrapar solidos mayores tales como papeles, envases, trozos de madera, etc.

Desarenadores

Un desarenador convencional es un tanque construido con el propósito de sedimentar partículas en suspensión por la acción de la gravedad. Este elemento constituye un tratamiento preliminar y en algunos casos es necesario realizar un tratamiento convencional de purificación de aguas.

Existen dos tipos generales de desarenadores: de flujo horizontal y aireado.

Los desarenadores de flujo horizontal, para aguas residuales, se diseñan para una velocidad horizontal de flujo aproximadamente igual a 30 cm/s. dicha velocidad permite el transporte de la mayor parte de las partículas orgánicas del agua residual a través de la cámara y tiende a suspender el material orgánico sedimentado, pero permite el asentamiento del material inorgánico pesado. En la práctica, para facilidad de construcción se usan desarenadores de sección trapecial, aproximada a la sección de diseño parabólica. Generalmente los desarenadores para aguas residuales se diseñan para remover todas las partículas de diámetro mayor de 0.20 mm.

3.14.2. Tratamientos primarios

Proceso físico o físico-químico que incluya la sedimentación de sólidos en suspensión u otros procesos en los que la DBO5 de las aguas residuales que entren se reduzca por lo menos en un 20% antes del vertido, y el total de sólidos en suspensión en las aguas residuales de entrada se reduzca por lo menos en un 50%.

- Tanques sépticos

sistemas convencionales de tratamiento de agua residuales ampliamente utilizados en las áreas rurales por su costo relativamente bajo y el limitado mantenimiento que requieren, largos periodos de detención de 12 a 24 horas ocasionando su estado séptico

Decantadores comunes y separadores

Tanques donde se verifica apenas la sedimentación, los lodos son removidos periódicamente.

Tanques Imhoff

El tanque Imhoff, análogo a las fosas sépticas, es un sistema de tratamiento anaerobio de dos pisos, en el que la sedimentación se produce en el compartimiento superior y la digestión de los sólidos sedimentados en el inferior.

Los tanques Imhoff tienen una operación muy simple y no requiere de partes mecánicas; sin embargo, para su uso concreto es necesario que las aguas residuales pasen por los procesos de tratamiento preliminar de cribado y remoción de arena. El tanque Imhoff típico es de forma rectangular y se divide en tres compartimentos:

- Cámara de sedimentación.
- Cámara de digestión de lodos.
- Área de ventilación y acumulación de natas.

El Tanque Imhoff se emplea como tratamiento previo a sistemas de aplicación al terreno, y como Tratamiento Primario, previo a Humedales Artificiales, Contactores Biológicos Rotativos o Lechos Bacterianos. El límite de aplicación suele fijarse en los 300-500 habitantes, si bien, pueden implantarse varios módulos con los que se incrementa el rango de aplicación. Por otro lado, y dado que no constituyen un sistema de tratamiento de aguas residuales urbanas en sí mismo, conviene complementarlos con otras tecnologías de tratamiento.

Cámara de sedimentaci

Tubo de salida para

Cámara de digestión

Figura 2. Estructura del tanque Imhoff

Fuente: Guías para el diseño de tanques Sépticos, Tanques Imhoff y lagunas de estabilización. CEPIS.

3.14.3. Tratamientos secundarios

Los tratamientos secundarios eliminan la materia orgánica biodegradable de las aguas, que no ha sido retirada por el tratamiento primario. Este puede ser de tipo aeróbico o anaeróbico, eliminados de un 40 a un 60 % de los sólidos en suspensión y reducida de un 20 a un 40 % la DBO5 en el tratamiento primario, el tratamiento secundario reduce la cantidad de materia orgánica en el agua. En el tratamiento secundario se aceleran los procesos naturales de eliminación de residuos. En presencia de oxígeno, las bacterias aeróbicas convierten la materia orgánica en formas estables, como dióxido de carbono, agua, nitratos y fosfatos, así como otros materiales orgánicos.

Mientas que el tratamiento biológico de aguas residuales consiste en a climatizar una flora bacteriana (biomasa) que utilice la materia orgánica como alimento (sustrato), convirtiéndola en gases (Co2) que escapan a la atmosfera y en tejido celular de las bacterias, que puede ser removido por sedimentación.

Los sistemas de tratamientos pueden clasificarse en convencionales y no convencionales.

Los procesos convencionales abarcan aquellos que involucran mecanización de los sistemas, en tanto que los no convencionales no involucran mecanización, pero requieren grandes áreas de terreno y están enfocados mayormente al tratamiento de aguas servidas domésticas.

Entre estos sistemas se encuentran las lagunas de estabilización, lagunas anaeróbicas y "Wetlands" (lagunas de baja profundidad con presencia de plantas acuáticas). El diseño de estas unidades está en general basado en el tiempo de retención y en la carga orgánica aplicada por unidad de superficie, lo que conlleva grandes requerimientos de superficie para la generalidad de los casos.

Lagunas de estabilización

El tratamiento de aguas residuales por el método de lagunas de estabilización, es el más simple que existe. Las lagunas están constituidas por excavaciones poco profundas, cercadas por taludes de tierra. Generalmente tienen forma rectangular

o cuadrada. Las lagunas de estabilización son fundamentales reservorios artificiales que comprenden una o varias series de lagunas facultativas, anaerobias, aireadas y de maduración.

- Lagunas facultativas

Las características principales de este tipo de lagunas son: el comensalismo entre algas y bacterias en el estrato superior, y la descomposición anaeróbica de los sólidos sedimentados en el fondo.

Lagunas anaerobias

La laguna anaeróbica o laguna anaerobia es un biorreactor que combina la sedimentación de sólidos y su acumulación en el fondo, con la flotación de materiales del agua residual en la superficie y con biomasa activa suspendida en el agua residual o adherida a los lodos sedimentados y a la nata flotante.

Una laguna anaerobia puede considerarse un proceso anaerobio a tasa baja en el cual la materia orgánica es estabilizada mediante su transformación en dióxido de carbono (CO2) y metano (CH4) principalmente.

Lagunas de maduración

Las lagunas de maduración tienen como objetivo principal la de reducir la concentración de bacterias patógenas. Estas lagunas generalmente son el último paso del tratamiento antes de volcar las aguas tratadas en los receptores finales o de ser reutilizadas en la agricultura.

A veces se construyen lagunas de maduración como etapa final del tratamiento de otros sistemas de depuración, como fangos activados, con lo que sustituyen a la cloración, que suele ser el método más común de desinfección en estos sistemas.

Humedales artificiales (Biofiltros)

Los humedales, naturales o artificiales, son sistemas de tratamiento acuático en los cuales se usan plantas y animales para el tratamiento de aguas residuales.

Los humedales artificiales son de superficie libre de agua, es decir, con espejo de agua o de flujo sub-superficial sin espejo de agua.

Los humedales artificiales, también llamados Biofiltro, se han utilizado en el tratamiento de aguas residuales municipales, para tratamiento secundario y avanzado, tratamiento de aguas de irrigación, para tratar lixiviados de rellenos sanitarios, tratamiento de efluentes de tanques sépticos, etc. Los humedales construidos tienen ventajas respecto de los sistemas de tratamiento alternativos, debido a que requieren poca o ninguna energía para operar. Estos humedales proporcionan un hábitat para vida silvestre, y son estéticamente, agradables a la vista.

En la región centroamericana, los biofiltros comenzaron a ser utilizados en el año 1996, con la construcción de una planta piloto en la ciudad de Masaya, Nicaragua. La tecnología del biofiltro fue introducida en Nicaragua por la Cooperación Austriaca para el Desarrollo (CAD), la que tuvo como contraparte a la Universidad Nacional de Ingeniería (UNI). Como parte del proyecto, se construyó una planta piloto para tratar las aguas residuales generadas por aproximadamente 1,000 personas en un barrio de la ciudad de Masaya. Las investigaciones efectuadas en esta planta piloto permitieron obtener los criterios técnicos para el diseño, construcción, operación y mantenimiento de este tipo de sistema.

Durante su paso a través de las diferentes zonas del lecho filtrante, el agua residual es depurada por la acción de microorganismos que se adhieren a la superficie del lecho y otros procesos físicos tales como filtración y la sedimentación.

3.15. Criterios de ubicación del sistema de tratamiento

Según la NTON 05 027-05 es exigido cumplir con todos estos criterios para un buen funcionamiento de la STAR.

 La ubicación de las STAR debe tomar en cuenta los planes de desarrollo urbano de la Municipalidad o Localidad.

- El terreno donde se construya la STAR no debe ser un área inundable. No se permite la construcción en lugares en pantanales, humedales (swampoo), marisma y similares.
- El área del terreno donde se ubique o se instale un STAR debe tener una pendiente menor de 5 %.
- la instalación o construcción de los STAR deben estar ubicados a sotavento de cualquier actividad donde haya permanencia de personas por más de 8 horas, de tal manera que el aire circule de las actividades hacia el sitio de la ubicación del STAR y no lo contrario.
- La distancia mínima entre los STAR y campos de pozos de abastecimiento de agua potable debe ser en un radio de 1000 metros medidos desde el pozo más cercano.
- Todo STAR que se ubique en áreas protegidas debe solicitar la autorización o permiso ambiental al MARENA según corresponda. En el caso de áreas protegidas con planes de manejo, el sitio de ubicación de los STAR deberá regirse según la zonificación y su normativa correspondiente.
- Cuando la descarga o disposición final del efluente de un STAR se requiera en Aguas superficiales, debe ser autorizad por el MARENA según el tipo de corriente, uso del recurso y actividades que se realicen en el punto de descarga. En el caso de los ríos y quebradas se debe tomar en cuenta el uso y las actividades que se realicen aguas abajo.
- La distancia entre un STAR y un aeropuerto, aeródromo o una terminal aérea,
 debe ser establecida por el Ministerio de Transporte e Infraestructura.
- La instalación de un STAR con respecto a la profundidad del manto freático debe ser como mínimo de 2m a partir del fondo del STAR y cumplir con las especificaciones siguientes.
- Para suelos limosos y limo arenoso se debe proceder a impermeabilizar y compactar el área al 95% próctor standard.
- En aquellos casos en que la profundidad del nivel freático sea menor de 2 metros MARENA e INAA, según su competencia autorizará la viabilidad del sistema.

 En aquellos casos en que la profundidad del nivel freático sea menor de 2 metros MARENA e INAA, según su competencia autorizará la viabilidad del sistema.

Arto.22: los límites máximos permisibles de Coliformes fecales medidos como número más probable no deberán exceder de 1000 por cada 100 en el 80 % de una serie de muestras consecutivas y en ningún caso superior a 5000 por cada 100 ml.

Arto 23: los parámetros de calidad de vertido provienen de los sistemas de tratamiento de los alcantarillados que sean descargados directa e indirectamente a los cuerpos receptores, deberán cumplir en los rangos y límites máximos permisibles.



Diseño metodológico

"Una ecología saludable es la base para una economía saludable"

Claudine Schneider (1947)

IV. Diseño metodológico

El desarrollo del diseño de la red de Alcantarillado Sanitario, se basó principalmente en las guías técnicas para el diseño de alcantarillado Sanitario y Sistemas de Tratamiento de aguas residuales del Instituto Nicaragüense de Acueductos y Alcantarillados (INAA – ENTE REGULADOR), en los criterios de Hidráulica y en los conocimientos básicos de Ingeniería Sanitaria permitiendo el cumplimiento de cada uno de los objetivos planteados. Con la metodología empleada se desarrollaron las siguientes actividades:

4.1. Trabajo de campo

4.1.1. Levantamiento topográfico

Se verificó el área perimetral y se realizó el levantamiento topográfico del casco urbano, que permitió determinar la ubicación de tuberías, dirección del flujo, ubicación de pozos de visita y planta de tratamiento adaptándose a la topografía del sitio lo que permitió reducir los costos del proyecto.

Se realizó un levantamiento topográfico del emisario de descarga de las aguas y el dibujo del relieve topográfico y perfiles longitudinales de las calles de los barrios en AutoCAD Civil 3D.

4.1.2. Censo de la población

Se recopilaron los censos Nacionales realizados por INIDE y los censos realizados por MINSA y alcaldía y se establecieron los estudios de población.

Se efectuó un censo poblacional en cada una de las viviendas del casco urbano de la ciudad con el propósito de obtener una exacta proyección y determinación del caudal de diseño de la red de alcantarillado y planta de tratamiento.

4.1.3. Estudio de suelos

Se realizaron muestreos de suelo (sondeos manuales) en el sitio donde se seleccionó para ubicar la planta de tratamiento con el fin de definir aproximadamente el valor y la variación de las propiedades físicas y mecánicas de los materiales del suelo que intervienen en la determinación de la capacidad

de carga admisible, hundimientos probables y métodos generales de excavación para la estructura del proyecto.

4.2. Trabajo de gabinete

4.2.1. Población de diseño

El municipio de Comalapa, Chontales fue elevado a la categoría de municipio el 20 de octubre de 1752, históricamente se han realizado dos censos en la localidad en el año 2005 por el instituto Nacional de Estadísticas y Censos, INEC (actual INIDE) y también en el año 2012 por el Ministerio de Salud (MINSA).

Para el diseño se realizó un censo poblacional en el casco urbano de Comalapa, Chontales; el cual presentó grandes dificultades ya que hubo mucho rechazo de la población por lo que no se pudo realizar un censo confiable y no se tomó en cuenta y se calculó de acuerdo a los censos poblacionales realizados históricamente.

Se calculó la tasa de crecimiento en base a censos oficiales y se proyectó la población utilizando el método geométrico, se hizo una comparación de la tasa de crecimiento poblacional departamental, municipal y local, a fin de determinar la tasa de crecimiento para la cual se proyectó la población de diseño.

4.2.2. Dotación y caudales de aguas residuales

4.2.3. Dotación

Con los datos de las guías técnicas para el diseño de alcantarillados sanitarios y sistemas de tratamiento de aguas residuales del INAA se estableció la dotación de agua utilizada y los caudales de diseño de aguas residuales para la población de diseño. Según el rango poblacional entre 5000-10000 habitantes la dotación correspondiente es de 105 lppd, misma que se utilizó en el diseño.

Se utilizaron únicamente los datos anteriores, ya que no se pudo obtener información de los registros históricos del ENACAL.

4.2.4. Caudales de aguas residuales

El Caudal (Gasto) medio, máximo, de Infiltración y caudal mínimo de aguas residuales de se calcularon con las ecuaciones definidas en el marco teórico según criterios de INAA.

4.2.5. Trazado de la red

Conforme al levantamiento topográfico, se realizaron las propuestas de trazado de la red de alcantarillado sanitario para que drene completamente por gravedad. El diseñó de la red de alcantarillado sanitario y emisor se realizó a través de hojas de cálculo en el programa Microsoft Excel. Los cálculos de caudales por tramo de tubería de la red, hidráulicos y topográficos se muestran en Anexo A, B y C.

4.2.6. Tratamiento de aguas residuales

- ✓ Se dimensionaron y diseñaron los diferentes componentes del sistema de tratamiento de aguas residuales.
- Se evaluó la línea de tratamiento para determinar factibilidad técnicaeconómica de éste mediante un estudio socio económico.

4.2.7. Costos y presupuesto del proyecto

Se estimaron los costos y presupuesto del proyecto.

4.2.8. Documentos finales y Planos

Se escribió el informe y memoria de cálculo y se elaboraron los planos de la red de alcantarillado sanitario y de la planta de tratamiento con la ayuda del software AutoCAD.

4.3. Parámetros de diseño

4.3.1. Proyección de la población

La información base se obtuvo del Censo que se realizó en el municipio de Comalapa por el MINSA en el año 2012, haciendo la proyección de la población con el método de cálculo geométrico.

Pf = (1+i)

Dónde:

Pf = población al final del periodo de diseño

Po = población Inicial

i = tasa de crecimiento geométrico

n = periodo en años.

4.3.2. Caudal de diseño

Para la determinación de los caudales se usaron las ecuaciones y parámetros de diseño contempladas en la Guía técnica para diseño de alcantarillado sanitario de INAA.

Qd= Qcom+ Qint+ Qind+ Qinf+ Qmax

Dónde:

Qcom = Caudal comercial

Qint = Caudal público o institucional

Qind = Caudal industrial

Qinf = Caudal de infiltración

Qmax = Caudal máximo

Caudal comercial

Para la determinación del caudal comercial se usó el 7 % de la dotación doméstica.

- Caudal público o institucional

Para la determinación del caudal público o institucional se usó el 7 % de la dotación doméstica.

Caudal industrial

Para la determinación del caudal industrial se usó el 2 % de la dotación doméstica.

Caudal de infiltración

Para tuberías plásticas 2L/hora/ 100 m de tubería y por cada 25 mm de diámetro.

Caudal máximo

El caudal máximo de aguas residuales domésticas se determinó utilizando el factor de relación de Harmon

$$FH = 1 * + \frac{14}{4 + \sqrt{P}}$$

Qmax= Qprom+FH

Donde:

P=Es la poblacion y esta dada en miles

Caudal medio (Qm)

Se aplicó la siguiente fórmula

$$0m = 0.8 \times dot$$

Caudal mínimo de aguas residuales (Qmin)

Se aplicó la siguiente formula:

$$Qmin=1/5Qm$$

4.3.3. Periodos de diseño

Para este proyecto se tomó un periodo de diseño económico de 20 años.

4.3.4. Red de alcantarillado sanitario

4.3.4.1. Trazado de la red de alcantarillado sanitario

Se realizó el trazado de la red de acuerdo a las elevaciones del terreno que se

obtuvieron en el levantamiento topográfico. Partiendo del punto más bajo donde

se ubicó la planta de tratamiento y se definió el trazado del colector principal.

Las tuberías se proyectaron de modo que sus pendientes estuvieran, en lo

posible, en el mismo sentido que la pendiente natural del terreno, para así lograr

una mínima de excavación y un drenaje por gravedad.

Los pozos de visita se ubicaron de acuerdo a las normas especificadas por el

INAA. El diseño se realizó mediante la elaboración de tablas de cálculos en

Microsoft Excel.

En base a las condiciones Económicas y técnicas del sitio se realizó la selección

del tipo de sistema más conveniente.

4.3.4.2. Hidráulica de las alcantarillas

El cálculo hidráulico de las alcantarillas se hizo en base al criterio de la tensión de

arrastre y a la fórmula de Manning por su sencillez y resultados satisfactorios en

su aplicación en alcantarillas, colectores, canales de dimensiones grandes y

pequeñas.

$$V = \frac{1}{n} R^{\frac{2}{3}} S^{\frac{1}{2}}$$

Ecuación de continuidad

$$O = V.A$$

Dónde:

Q: caudal a tubo lleno en m3/s

V: velocidad de escurrimiento a tubo lleno en m/s

n: coeficiente de rugosidad del material (cuadro 10.1)

R: radio hidráulico

52

S: pendiente hidráulica.

$$ES = \frac{V^2}{2g} + d$$

Pendiente= H / L

H: Diferencia de elevación

L: Longitud

Pendiente longitudinal mínima

Se determinó aplicando el criterio de la Tensión de Arrastre, según la siguiente ecuación obteniendo dicha información en las guías técnicas de INAA:

f=W*R*S

Dónde:

f = Tensión de arrastre en Pascales

 $W = \text{Peso específico del líquido en } N/m^3$

R = Radio hidráulico a gasto mínimo en m

S = Pendiente mínima en m/m

Se recomienda un valor mínimo de f = 1 Pa.

4.3.5. Sistema de tratamiento de aguas residuales

4.3.6. Ubicación del Sistema de tratamiento

El sitio donde se propuso la ubicación del sistema de tratamiento de aguas residuales (STAR) cumple con todos los criterios establecidos en el Acápite 6 de la Norma técnica Obligatoria Nicaragüense para regular los sistemas de tratamientos de aguas residuales y su reúso. (NTON 05 027-05). Ver figura 3.



Figura 3. Ubicación de planta de tratamiento

4.3.6.1. Selección del proceso de tratamiento

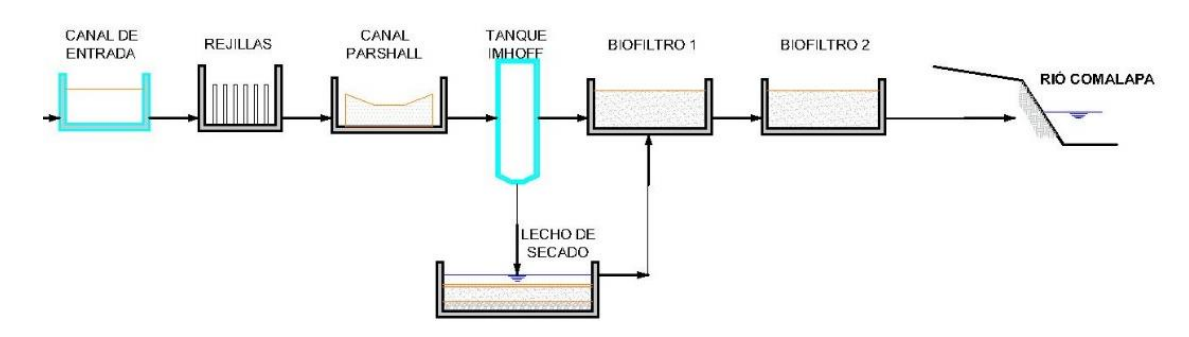
La selección del proceso de tratamiento de aguas residuales se hizo según las características del agua cruda, la calidad requerida del efluente, disponibilidad del terreno y costos de construcción.

Las alternativas tomadas en consideración fueron dos, para la planta de tratamiento constarán de Rejas finas de limpieza manual como pre-tratamiento, medidor de flujo tipo Parshall.

Se evaluaron dos líneas de tratamiento:

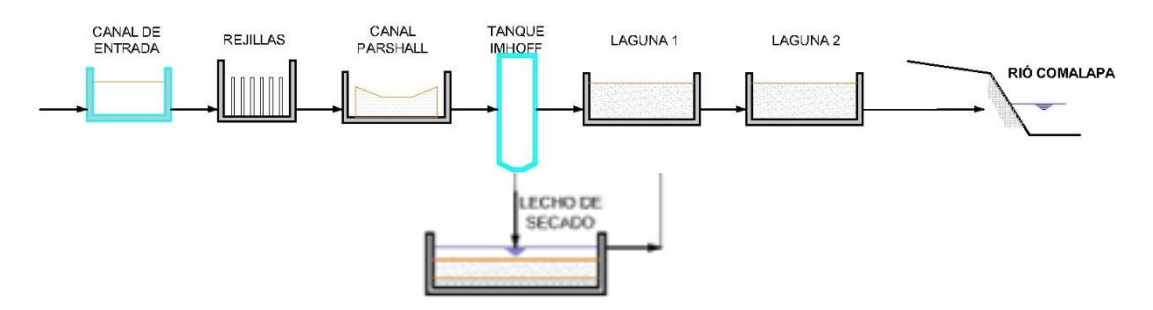
1). Rejas + Desarenador + Tanque Imhoff + Biofiltro. (Figura 4)

Figura 4. Alternativa 1 de tratamiento



2) Rejas + Desarenador + Tanque Imhoff + Laguna facultativa secundaria + Laguna aerobia terciaria. (Figura 5)

Figura 5. Alternativa 2 de tratamiento



Por ser un poblado de escasos recursos se optó por sistemas de tratamiento que no implicaran ningún consumo de energía eléctrica, para su operación, sino más bien que fueran de procesos biológicos que no incurran en gastos cuantiosos que encarezcan el proyecto.

4.3.6.2. Canal de entrada y rejas

La altura máxima (Hmáx) y media (Hm) de agua en el canal y la Reja se despejan de la igualdad de las siguientes ecuaciones respectivamente:

✓ Altura máxima

$$\frac{Q_d * n}{\sqrt{S}} = H_{m\acute{a}x} * b \left[\frac{H_{m\acute{a}x} * b}{b + 2H_{m\acute{a}x}} \right]^{2/3}$$

✓ Altura media

$$\frac{Q_d * n}{\sqrt{S}} = H_m * b \left[\frac{H_m * b}{b + 2H_m} \right]^{2/3}$$

Dónde:

Qd=Caudal de diseño

Qm= Caudal Medio

n=0.013 (Coeficiente Concreto)

S= Pendiente del Canal, B=Ancho del Canal

✓ Área Útil

El área libre o de escurrimiento entre barras se calculó utilizando la siguiente ecuación:

$$A_u = \frac{Q_d}{V_{max}}$$

Dónde:

 $Au = Area \ util \ efectiva \ (m2)$

 $Qd = Caudal \ de \ diseño \ (m3/seg)$

 $Vmax = Velocidad\ maxima\ (m/seg)$

√ Área total de la reja

Esta área incluye tanto las barras como los espacios libres entre ellas, y se calculó utilizando la siguiente ecuación:

$$A_t = \frac{A_u}{E}$$

Dónde:

At = Area total de la rejilla (m2)

 $Au = Area \ util \ efectiva \ (m2)$

E = Eficiencia de la rejilla adimensional

✓ Verificación del ancho de la reja

Para la verificación del ancho de la reja, se utilizó la siguiente ecuación:

$$b = \frac{A_t}{H_{m\acute{a}x}}$$

Dónde:

b=ancho de la rejilla (m)

 $At = Area total de la rejilla (m^2)$

Hmax= Altura máxima de agua antes de la reja (m)

- ✓ Verificación de la velocidad media
- √ Área total por velocidad media

$$A'_t = b * H_{med}$$

Dónde:

 $A't = Area total por velocidad media (m^2)$

b=verificancion ancho de la reja (m)

Hmax= Altura media de agua antes de la reja (m).

√ Área útil por velocidad media

$$A'_{u} = A'_{t} * E$$

Dónde:

A'u = Area util por velocidad media (m²)

 $A't = Area total por velocidad media (m^2)$

 $E=Eficiencia\ de\ la\ rejilla\ adimensional.$

✓ Velocidad media

$$V'_m = \left. Q_m \, / \, A'_u \right.$$

Dónde:

V'm = Velocidad media (m/seg)

 $Qm=Caudal\ medio\ (m^3/seg)$

 $A'u = Area util por velocidad media (m^2)$

g=aceleracion de la gravedad (9.81m/ seg²).

✓ Pérdida de Carga en Rejas (Parcialmente Obstruida):

$$h_{fo} = \left(\frac{E}{E_o}\right)^2 * H_f$$

Dónde:

hfo = Perdida de carga en rejas parcialmente obstruida

E = Eficiencia de la rejilla adimensional con barras limpias

Eo = Eficiencia de la rejilla con 75 % de obstruccion (Eo = 0.75E)

hf = *Perdidas de carga en rejas limpias (m)*

✓ Altura del canal

Para calcular la altura total del canal en la rejilla se utilizó la siguiente fórmula:

$$H_{canal} = H_{max} + h_{fo} + BL$$

Dónde:

 H_{max} = Altura máxima del agua antes de la reja (m)

 h_{fo} = Pèrdida de Carga en Rejas (Parcialmente Obstruída al 75%)(m)

BL = Borde Libre (m).

4.3.6.3. **Desarenador**

✓ Diámetro de partículas

Mayores de 0.20 mm con una velocidad de sedimentación de 0.021 m/s, valor utilizado según el cuadro de Velocidades de Sedimentación de Partículas de La OPS/CEPIS.

✓ Altura de la lámina de agua canal de llegada (Hagua)

$$H_{agua} = \left(\frac{Q_d}{V * B}\right)$$

✓ Largo del desarenador (L)

$$L = \frac{V * H_{agua} * 86400}{C_s}$$

Donde Cs es la carga superficial de agua residual aplicada al desarenador con un valor de 1500 m³/m²*día, el cual se encuentra entre los rangos sugeridos por INAA, 700 – 1600 m³/m²*día.

Volumen sedimentado

$$V_{sed} = Q_d * C_{ret} * t$$

Donde:

C_{ret} es la cantidad de material retenido y t el tiempo de retención del sedimento en tolva.

✓ Volumen propuesto de tolva (Vtolva)

$$V_{tolva} = H_{tolva} * B * L$$

Donde H_{tolva} es la altura de la tolva propuesta con el fin de que el volumen propuesto de tolva fuera mayor que el sedimentado.

4.3.6.4. Tanque Imhoff

Se diseño en base a la guía para el diseño de tanques sépticos, Tanques Imhoff y lagunas de estabilización, según las normativas CEPIS.

El tanque Imhoff típico es de forma rectangular y se divide en tres compartimientos:

✓ Cámara de sedimentación

El diseño del sedimentador se hará en base a las Especificaciones Técnicas para el diseño de tanque séptico. UNATSABAR-CEPIS/OPS.

Caudal de diseño (m³/ hr)

$$Q_{d} = \frac{Poblaciòn*Dotaciòn}{1000}*\%Contribuciòn$$

√ Área del sedimentador (m2)

$$A_{s} = \frac{Q_{d}}{C_{s}}$$

Donde:

C_s: Es la carga superficial, igual a 1 $m^3/(m^2 * hora)$.

✓ Volumen del sedimentador (m3)

$$Vs = Qp * Pr$$

Donde:

Pr: Período de retención hidráulica, entre 1.5 a 2.5 horas (recomendable 2 horas).

✓ Cámara de digestión de lodos

$$V_d = \frac{70 * Poblacion * fcr}{1000}$$

Donde:

V_d: Volumen de almacenamiento y digestión (m^3)

Para el compartimiento de almacenamiento y digestión de lodos (cámara inferior) se tomó en cuenta la siguiente tabla 10:

Tabla 11. Factor de capacidad relativa

Temperatura	Factor de capacidad relativa
°C	Fcr
5	2.0
10	1.4
15	1.0
20	0.7
>25	0.5

Fuente: CEPIS

Tiempo requerido para digestión de lodos

El tiempo requerido para la digestión de lodos varia con la temperatura, para esto se empleó la tabla 11.

Tabla 12. Tiempo requerido para la digestión

Temperatura	Tiempo de digestión
°C	Días
5	110
10	76
15	55
20	40
>25	30

Fuente: CEPIS

- Área de ventilación y cámara de natas

Para el diseño de la superficie libre entre las paredes del digestor y el sedimentador (zona de espuma o natas) se tomó en cuenta los siguientes criterios

- El espaciamiento libre será de 1.0 m como mínimo.
- La superficie libre total será por lo menos 30% de la superficie total del tanque.
- El borde libre será como mínimo de 0.30 cm.

4.3.6.5. Lechos de secado

Los lechos de secado de lodos son generalmente el método más simple y económico de deshidratar los lodos estabilizados (lodos digeridos), lo cual resulto lo ideal para pequeñas comunidades.

✓ Carga de sólidos que ingresa al sedimentador (Kg de SS/día)

$$C = Qm * SS * 0.0864$$

Donde:

SS: Sólidos en suspensión en el agua cruda ($^{mg}/_{l)}$

Qm: Caudal promedio de aguas residuales

Cuando la localidad no cuenta con alcantarillado se utiliza una contribución per cápita promedio de 90 gr.SS/ (hab*día)

✓ Masa de solidos que conforman los lodos (Kg de SS/dia)

$$Msd = (0.5 * 0.7 * 0.5 * C) + (0.5 * 0.3 * C)$$

✓ Volumen diario de lodos digeridos (lt/dia)

$$Vld = \frac{Msd}{\rho lodo * (\% de solidos)}$$

Donde:

Densidad de los lodos: 1.04 Kg/lt

Porcentaje de solidos: Es el porcentaje de solido contenido en los lodos, varía entre 8 a 12 %

√ Volumen de lodos a extraerse del tanque (m3)

$$Vel = \frac{Vld * Td}{1000}$$

Dónde

Td: Tiempo de digestión en días

Área del lecho de secado (m2)

$$Als = \frac{Vel}{Ha}$$

Dónde:

Ha: Profundidad de aplicación, entre 0,20 a 0,40m.

El ancho de los lechos de secado es generalmente de 3 a 6 m., pero para instalaciones grandes puede sobrepasar los 10 m.

4.3.6.6. Diseño de lagunas de estabilización

Los parámetros más utilizados para evaluar el comportamiento de las lagunas de estabilización de aguas residuales y la calidad de sus efluentes son la demanda bioquímica de oxígeno (DBO5), que caracteriza la carga orgánica; y el número

más probable de Coliformes fecales (NMP CF/100ml), que define la contaminación microbiológica. Además tienen importancia los sólidos totales sedimentables, en suspensión y disueltos.

La calidad del Efluente Norma DBO5 Coliformes Fecales Decreto 21-2017 30 mg/l 1x10⁴ NMP/100ml OMS 30 mg/l 1x10³ NMP/100ml (tabla 12)

Tabla 13. Calidad del efluente

Norma	DBO ₅	Coliformes Fecales
Decreto 21-2017	30 mg/l	1x10 ⁴ NMP/100ml
OMS	30 mg/l	1x10 ³ NMP/100ml

Fuente: Normas Nacionales y OMS

Localización de lagunas

La ubicación de un sistema de lagunas debe estar aguas abajo de la cuenca hidrográfica, en un área extensa y fuera de la influencia de cauces sujetos a inundaciones y avenidas. En el caso de no ser posible, deben proyectarse obras de protección. El área debe estar lo más alejada posible de urbanizaciones existentes; se deberán localizar a las siguientes distancias mínimas:

- Para lagunas anaeróbicas: 1000 m
- Para lagunas facultativas: 500 m
- Para sistemas con lagunas aireadas: 100 m. 5.3.13.5.2 Profundidad Se establece una profundidad entre 1.5 y 2.5 m para lagunas facultativas. Para lagunas aerobias de 1 a 1.5 m.

Lagunas facultativas

Consideraciones generales de diseño de las Lagunas de Estabilización tenemos:

- ✓ Caudal de Diseño: Qm
- ✓ No. de Unidades: Mínimo dos unidades en paralelo
- ✓ serie.
- ✓ Geometría de la laguna: Relación largo ancho 2-4.
- ✓ Diques: suelo estable Talud 1:2; suelo poco estable Talud 1:3.

- ✓ Datos climatológicos: Temperatura del mes más frío, radiación solar, dirección del viento, precipitación y evaporación.
- ✓ Carga orgánica per cápita (q).
- ✓ Características del agua residual: DBO5 y Coliformes fecales.
- ✓ Eficiencia deseada.

Parámetros generales de diseño

✓ Caudal de diseño (Qm)

$$Qm = P * Dot * 0.8$$

✓ Temperatura del agua

$$Ta = 10.443 + 0.668T_{ai}$$

Donde:

Ta: Temperatura del Agua.

Tai: Temperatura del Aire en el mes más frio.

✓ Concentración de la DBO5

$$So = \frac{(P * q)}{Om}$$

✓ Carga total aplicada (CTA)

$$CTA = P * q = Qm * S$$

✓ Carga superficial máxima

$$Csmax = 357.4 \ x \ 1.085 \ (Ta-20o)$$

✓ Carga superficial aplicada

$$CSA = 80\% Csmax$$

√ Área total de la laguna

$$AT = CTA/CSA(Ha)$$

√ Número de unidades (N)

2 mínimos.

✓ Área de cada laguna

$$A = \frac{AT}{N}$$

✓ Volumen de laguna

$$V = A \times H$$

$$H(1.5 - 2.5)$$

✓ Periodo de retención

$$P r = V/Qm$$
 (De cada laguna)

Período de retención de 7 a 15 días

Relación largo ancho 2-4

- Remoción de coliformes fecales
- ✓ Marais Show

$$\frac{N}{No} = \frac{1}{1 + Kb * Pr}$$

Dónde:

Kb: Constante de mortalidad de Coliformes fecales (NMP/100ml).

N: concentración de Coliformes fecales en el efluente (NMP/100ml).

No: concentración de Coliformes fecales en el afluente (NMP/100ml).

$$Kb = 0.84 \ x \ 1.07 \ (Ta-20^{\circ})$$

✓ Thirimurthy

$$N/No=4(1-a) 2d/(1 + a)2$$

- Lagunas secundarias aerobias
- ✓ Carga superficial aplicada

CSA<150 kg/Hab-día.

✓ Relación, largo/ancho

1-1.5 m.

Área de la laguna secundaria será igual al de la laguna primaria.

✓ Volumen

Área x H.

✓ Periodo de retención

 $Pr = V/, \ge 7 \ dias.$

✓ Carga total aplicada

 $CTA = Qm \times S$

✓ Comprobar el CSA

CSA = CTA/A.

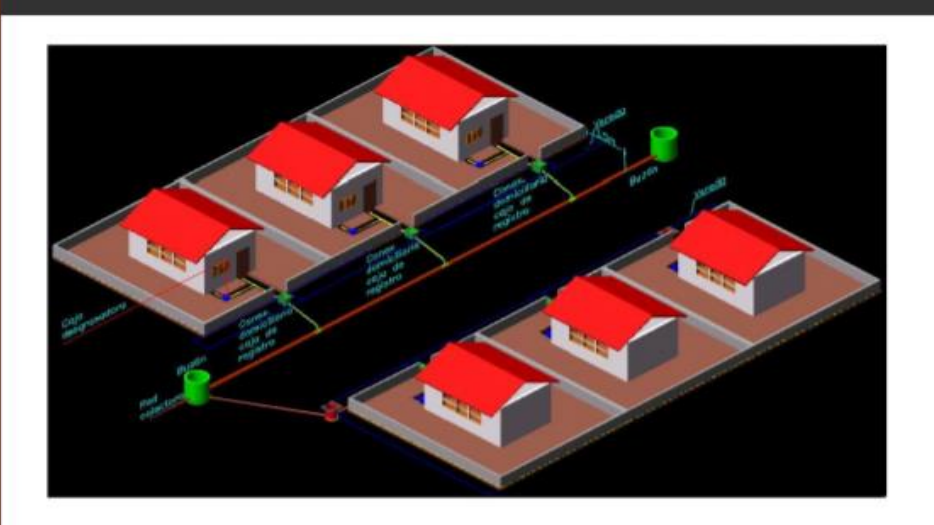
4.3.7. Calidad de vertido

En Nicaragua la Calidad de los Efluentes vertidos a un cuerpo receptor provenientes de un sistema de tratamiento están regidos en **DECRETO EJECUTIVO N°. 21-2017**, aprobado el 28 de noviembre de 2017 "Disposiciones para el control contaminación provenientes descargas de aguas residuales domésticas, industriales y agropecuarias".

4.3.8. Realización del presupuesto

- Cálculo los costos directos.
- Cálculo los costos indirectos.
- Cálculo costo total

Se elaboró una tabla de Excel que contiene la descripción de las actividades realizadas en la obra, las unidades de medida, cantidades, costos unitarios y costos totales tanto de materiales como de mano de obra, utilizando el listado del Maestro de Precios del FISE (Fondo de Inversión social de emergencia)



Análisis de alternativas y presentación de resultados

"Nunca sabremos el valor del agua hasta que el pozo esté seco"

Thomas Fuller (1608-1661)

V. Análisis de alternativas y presentación de resultados

5.1. Proyección de población

5.1.1. Tasa de crecimiento poblacional

Se realizó una comparación entre los datos de crecimiento municipal y departamental para determinar la tasa con la cual se proyectó la población de diseño correspondiente al promedio de la tasa municipal urbana (Tabla 13)

Tabla 14. Cálculo de la tasa de crecimiento

	Con	nalapa	Chor	itales						
Año y período	Población (habitantes)									
	Total	Urbana	Total	Urbana						
1971	5058	512	68802	20047						
1995	10940	772	144635	71650						
2005	11253	1272	182020	107288						
2010	11830	1402	201320	125279						
2012		1726								
	Tasa de Cr	ecimiento geom	étrica %							
1971-1995	3,27	1,73	3,14	5,45						
1995-2005	0,28	5,12	2,33	4,12						
2005-2010	1,01	1,97	2,04	3,15						
2010,-2012		10,95								
Promedio total al 2010		2,94	2,50	4,24						
Promedio total al 2012		4.94								

Tomando en consideración el comportamiento histórico del crecimiento urbano de la poblacional de la ciudad y del departamento se optó por utilizar una tasa del **4%** para todo el período de diseño. (Rango INAA, del 2.5-al 4%).

5.1.2. Población de diseño

Con la tasa de crecimiento anual del 4%, la población proyectada por quinquenio al año 2040 resultó de 5176 habitantes (tabla 14).

Tabla 15.Resultados de población de diseño

Año	Población (habitantes)
2005	1272
2012	1726
2020	2362
2025	2874
2030	3497
2035	4254
2040	5176

5.2. Aportes y caudal de diseño

5.2.2. Aporte doméstico de aguas residuales

Se tomó el 80% de la dotación correspondiente a 105 lppd según lo establecido por las normas de INAA, que corresponde a 84 lppd

5.2.3. Caudales de aguas residuales

El caudal total de diseño resultó de 15.9750 lt/seg para una población de diseño proyectada a 20 años de 5176 habitantes. Tabla 15 y Anexo A

Tabla 16. Resultados de red de recolección

	T	
Descripción	Resultados	Unidades
	5,176	Hab
Población		
CPD	6.29	Lps
Factor de retorno	0.8	Lps
Q medio	5.0322	Lps
Q medio unitario	0.00002586	l/s/m²
Factor de Harmon	3.23	
	3	
Q máx.	15.0966	Lps
Q comercial (7% Qm)	0.35	Lps
№ comercios	11	
Q com. Unitario	0.032	lps
Q institucional (7%Qm)	0.35	lps
№ Instituciones	7	
Q inst. unitario	0.05	lps
Q diseño	15.9750	Lps

5.3. Red de Recolección

El diseño de la red de alcantarillado del municipio de Comalapa, Chontales es de tipo convencional utilizando tubería PVC corrugado-Novafort, con diámetros de 150 mm y 200 mm, con una cobertura del 96.10%.

Todas las aguas residuales escurren por gravedad hacia un punto en común a la planta de tratamiento. Los cálculos, hidráulicos y topográficos correspondientes se presentan en Anexo A, B y C y a continuación en tabla 14, 15, 16 y 17 se presenta un resumen de la colectora principal

Tabla 17. Caudales de aguas residuales en la red y colectora principal

Pozo de	Visita	Eleva Terr (n	eno	Lon. Tram o	Area acumul ada	Q medi o Dom. Tram o	Q medio dom. Acum	Q máx	Q comer c acum	Q instit acum				Q infil	Qdiseño
Desde	Hasta	Inicial	Final	(m)	(m2)	(lps)	(lps)	(lps)	(lps)	(lps)	(lps)	(lps)	(lps)		
					21768,7	0,051					0,02				
PVS-7	PVS-6	185,79	185,16	93,59	9	4	0,563	1,689	0,0640	0	0	1,773	1,773		
					73624,6	0,049	1,904	5,712		0,1006	0,06				
PVS-6	PVS-5	185,16	184,49	52,74	3	5	2	6	0,2561	4	4	6,133	6,133		
					75602,7	0,051	1,955	5,865		0,1006	0,06				
PVS-5	PVS-4	184,49	184,54	53,61	6	2	3	9	0,2561	4	5	6,289	6,289		
					89336,6	0,052	2,310	6,931			0,07				
PVS-4	PVS-3	184,54	184,70	54,74	4	9	5	5	0,2882	0,1510	9	7,450	7,450		
					91896,2	0,066	2,376	7,130			0,08				
PVS-3	PVS-2	184,70	181,77	62,63	5	2	7	1	0,2882	0,1510	1	7,651	7,651		
		181,77	180,00		194570,	0,059	5,032	15,09			0,16				
PVS-2	PVS-1	O O	0	29,88	08	4	2	6	0,3522	0,3523	4	15,965	15,965		
		180,00	179,39		194570,		5,032	15,09			0,16				
PVS-1	PVS-1.1	0	0	39,15	08	0	2	6	0,3522	0,3523	5	15,966	15,966		

Tabla 18. Caudales de aguas residuales en colectora principal

Pozo de	visita		ión de eno	Lon. Tram o	Area acumul ada	Q medi o Dom. Tram o	Q medio dom. Acum	Q máx	Q comer c acum	Q instit acum		Q infil	Qdiseño
Desde	Hasta	Inicial	Final	(m)	(m2)	(lps)	(lps)	(lps)	(lps)	(lps)	(lps)	(lps)	(lps)
PVS-1.1	PVS-1.2	179,39 0	178,62 0	43,11	194570, 08	0	5,032 2	15,09 6	0,3522	0,3523	0,16 6	15,968	15,968
PVS-1.2	PVS-1.3	178,62 0	177,80	51,02	194570, 08	0	5,032 2	15,09 6	0,3522	0,3523	0,16 8	15,970	15,970
PVS-1.3	PVS-1.4	177,86 0	177,37 0	53,10	194570, 08	0	5,032 2	15,09 6	0,3522	0,3523	0,17 0	15,971	15,971
PVS-1.4	PVS-1.5	177,37 0	177,12 0	52,41	194570, 08	0	5,032 2	15,09 6	0,3522	0,3523	0,17 1	15,973	15,973
PVS-1.5	CRS-1.6	177,12 0	176,70	51,39	194570, 08	0	5,032 2	15,09 6	0,3522	0,3523	0,17 3	15,9748	15,975
PVS-1.6	CR-E	176,79 0	176,60	5,00	194570, 08	0	5,032 2	15,09 6	0,3522	0,3522 6	0,17	15,9749	15,975
Total				5214, 88	0,00	5,032							

Tabla 19. Cálculos hidráulicos en colectora principal

TRA	MO		Pend	iente	P	arámet	ros de Di	seño	Velocidad		Tensión arrastre	Tirante
DE PV	A PV	Long.	terreno	tuberia	Diár	netro	Caudal Diseño	Caudal Lleno	Llena	Diseño		d
		m	%	%	Pulg	mm	l/s	l/s	m/s	m/s		mm
PVS-7	PVS-6	93,59	0,67	0,50	6	150	1,77	15,55	0,88	0,59	1,84	34,50
PVS-6	PVS-5	52,74	1,27	1,00	6	150	6,13	22,00	1,24	1,07	3,41	54,00
PVS-5	PVS-4	53,61	-0,09	0,50	6	150	6,29	15,55	0,88	0,84	2,30	66,75
PVS-4	PVS-3	54,74	-0,29	0,40	6	150	7,45	13,91	0,79	0,81	1,15	78,00
PVS-3	PVS-2	62,63	4,68	0,40	6	150	7,65	13,91	0,79	0,81	1,91	79,50
PVS-2	PVS-1	29,88	5,92	1,50	8	200	15,97	58,02	1,85	1,89	5,73	104,00
PVS-1	PVS-1.1	39,15	1,56	1,50	8	200	15,97	58,02	1,85	1,89	5,73	104,00
PVS-1.1	PVS-1.2	43,11	1,79	1,50	8	200	15,97	58,02	1,85	1,89	5,73	104,00
PVS-1.2	PVS-1.3	51,02	1,49	1,00	8	200	15,97	47,38	1,51	1,54	3,82	104,00
PVS-1.3	PVS-1.4	53,10	0,92	0,50	8	200	15,97	33,50	1,07	1,09	1,91	104,00
PVS-1.4	PVS-1.5	52,41	0,48	0,40	8	200	15,97	29,96	0,95	0,97	1,53	104,00
PVS-1.5	CRS-1.6	51,39	0,64	0,40	8	200	15,97	29,96	0,95	0,97	1,53	104,00
PVS-1.6	CR-E	5,00	3,60	0,40	8	200	15,97	29,96	0,95	0,97	1,53	104,00

Tabla 20. Cálculos topográficos de colectora principal

Pozo d	e Visita	L. Tramo	Diámetro	Elev.	Тара	Pendiente del tramo	Elev de	Invert	Profundidad de PVS		Pérdi	da (m)
Desde	Hasta	(m)	(m)	Inicial	Final	(%)	Arriba	Abajo				
PVS-7	PVS-6	93,59	0,15	185,79	185,16	0,50	182,154	181,686	3,64	3,47	0,004	0,030
PVS-6	PVS-5	52,74	0,15	185,16	184,49	1,00	181,656	181,129	3,50	3,36	0,015	
PVS-5	PVS-4	53,61	0,15	184,49	184,54	0,50	181,099	180,831	3,39	3,71	0,009	
PVS-4	PVS-3	54,74	0,15	184,54	184,70	0,40	180,801	180,582	3,74	4,12	0,008	
PVS-3	PVS-2	62,63	0,15	·	181,77	0,40	180,552	180,301	4,15	1,47	0,008	0,030
PVS-2	PVS-1	29,88	0,20	181,77	180,00	1,50	178,832	178,384	2,94	2,94	0,046	
PVS-1	PVS-1.1	39,15	0,20	180,00	179,39	1,50	178,338	177,751	1,66	1,66	0,046	0,046
PVS-1.1	PVS-1.2	43,11	0,20	179,39	178,62	1,50	177,705	177,058	1,69	1,69	0,046	0,046
PVS-1.2	PVS-1.3	51,02	0,20	178,62		1,00	177,028	176,518	1,59	1,59	0,03	
PVS-1.3	PVS-1.4	53,10	0,20	177,86	177,37	0,50	176,488	176,222	1,37	1,37	0,015	
PVS-1.4	PVS-1.5	52,41	0,20	177,37	177,12	0,40	176,192	175,983	1,18	1,18	0,012	
PVS-1.5	CRS-1.6	51,39	0,20	177,12	176,79	0,40	175,953	175,747	1,17	1,17	0,012	
PVS-1.6	CR-E	5,00	0,20	176,79	176,61	0,40	175,717	175,697	1,07	1,07	0,012	0,030

En los cuadros anteriores, la velocidad a tubo lleno mínima es de 0.79 m/s y la máxima de 1.85 m/s, la velocidad mínima de diseño es de 0.59 m/s y máxima de 1.89 m/s, cumpliendo con los rangos recomendados en las Normas del INAA.

Los diámetros de la red y colectora principal son de 6" y 8" y este último es con el que llega a la planta de tratamiento y el que lleva el total de las aguas residuales.

5.4. Sistema de tratamiento

5.4.1. Sistema de tratamiento preliminar

Para lograr los parámetros de vertidos establecidos en la normativa, se propuso el uso de dos alternativas de tratamiento, la primera mediante tanque Imhoff+ Biofiltro y la segunda Tanques Imhoff + Lagunas facultativa secundaria + Laguna facultativa terciaria

5.4.1.1. Rejas

Las rejas serán instaladas en un canal de concreto de 30 cm de ancho y estará formada por varillas lisas de acero con un diámetro de 0.75 centímetros inclinadas a 45° con respecto a la horizontal. (Ver cálculos en tabla 20 y en Anexo D cálculo de sistema de tratamiento de aguas residuales)

La velocidad de diseño de acuerdo a las Guías del INAA está comprendida desde 0.3 m/s hasta un máximo de 0.6 m/s, siendo el parámetro normal de 0.45 m/s. Las dimensiones calculadas en este diseño garantizan el cumplimiento de este rango, produciéndose una velocidad en el sistema de 0.55 m/s.

Tabla 21. Resultados de canal de entradas y rejas

Canal de entrada								
Parámetros	Datos	Unidades						
Ancho	0.3	m						
Altura	0.50	m						
Pendientes	0.005	m/m						
Rejas								
Parámetros								
Eficiencia	0.8							
Velocidad de paso	0.6830	m/s						
Velocidad media	0.6875	m/s						
Perdida de cargas en rejas limpia	0.0093	m						
Perdidas de cargas en rejas (Parcialmente obstruida)	0.0166	m						
Altura del canal	0.5	m						
Cantidad de barras	8	Unidades						
Longitud de barras	0.42	m						

5.4.1.2. Desarenador

Los resultados obtenidos satisfacen los criterios de diseño permitidos por el INAA. El sistema garantiza una velocidad de flujo de 0.30 m/s de tal forma que las partículas de arena puedan sedimentarse por gravedad. (Ver cálculos en tabla 21 y Anexo D cálculo de sistema de tratamiento de aguas residuales)

Tabla 22. Resultados de desarenador

Desarenador							
Parámetros	Datos	Unidades					
Borde Libre	0.20	m					
Tiempo de retención de sedimento en tolva	15	dias					
Ancho	0.20	m					
Altura calculada del desarenador	1.10	m					
Largo	3.83	m					
ZONA DE SEDIMENTACION							
Parámetros	Datos	Unidades					
Velocidad de sedimentación	0.021	m/s					
Altura del agua en zona de sedimentación	0.268	m					
ZONA DE LODOS							
Parámetros	Datos	Unidades					
Cantidad de material retenido	0.029	lts/m3					
Altura de tolva propuesta	0.6	m					
Volumen sedimentado	600.404	Its					
Altura total de desarenador	0.98	m					

5.4.1.3. Medidor Parshall

Se diseñó un medidor de caudal tipo Parshall, con un ancho de garganta 3" de 7.6 cm. Se muestra en la Tabla Nº17 las dimensiones de la canaleta y en la Figura Nº 6 la ubicación de cada componente. (Ver cálculos en tabla 22, y en Anexo D cálculo de sistema de tratamiento de aguas residuales)

Tabla 23. Resultados de medidor Parshall

Canaleta Parshall		
Descripción	Valor (cm)	
W (CM)=	7.6	
A (CM)=	46.7	
2/3 A (CM)=	31.1	
B (CM)=	45.7	
C (CM)=	17.8	
D (CM)=	25.9	
E (CM)=	45.7	
F (CM)=	15.2	
G (CM)=	30.5	
H (CM)=	30.9	
K (CM)=	2.5	
M (CM)=	30.5	
N (CM)=	5.7	
P (CM)=	76.8	
X (CM)=	2.5	
Y (CM)=	3.8	

Figura 6. Nomenclatura de canaleta Parshall

5.4.2. Calidad de agua

Los valores de referencia para los parámetros de calidad del agua cruda se tomaron a partir de la caracterización de las aguas residuales de Santo Tomas Chontales (Ver Tabla 23 y en Anexo H), un municipio con muchas similitudes a Comalapa, Chontales.

Tabla 24. Caracterización de aguas residuales

Calidad de afluente para planta de tratamiento			
Parámetros	Simbología	Datos	Unidades
Sólidos en suspensión	SS	435	mg/lt
DBO ₅	S0	411	mg/lt
Coliformes fecales	CFA	7,670,000.00	NMP/100 ml

Fuente: Enacal

5.4.3. Alternativas de tratamiento

5.4.4. Alternativa nº1. Tanque Imhoff + Biofiltros

Se diseñó un tanque Imhoff de 9.15 metros de longitud y un ancho total de 4.33 m. (Ver tabla 24 y 25); así mismo se diseñaron dos Biofiltro de flujo horizontal. resultando de las mismas dimensiones, con esta cantidad de biofiltro se garantizó la calidad adecuada de los efluentes para posteriormente ser depositados en los cuerpos receptores. (Ver tabla 26 y 27 y en Anexo D cálculo de sistema de tratamiento de aguas residuales).

Tabla 25.Resultados tanque Imhoff

Tanque Imhoff		
Cantidad	1	Unid
Altura total	9.15	m
Ancho total	4.33	m
Longitud total	7.33	m
Tiempo de retención	2	horas
Numero de cámaras de sedimentación	1	Unid
Numero de cámaras de digestión	1	Unid
Calidad del efluente		
Eficiencia de remoción DBO ₅	50	%
Calidad	205.5	mg /lt
Eficiencia de remoción de coliformes fecales	50	%
Calidad	3,835,000.00	NMP / 100 ml

Tabla 26. Resultados de lecho de secado

Lecho de secado		
Parámetros	Datos	Unidades
Área requerida (Ar)	44.33	m^2
Ancho (B)	6	m
Longitud (L)	7.39	m
Número de unidades (N)	1	c/u

Tabla 27. Resultados de biofiltro nº1

Biofiltro 1		
Parametros	Datos	Unidades
Caudal medio	434.78	m³/día
Largo	90	m
Ancho	100	m
Profundidad	0.72	m
Área	0.9	ha
Tiempo de retención	5.05	días
Capas de filtros	·	
Espesor de capa vegetal	0.1	m
Piedra volcánica	0.57	m
Calidad del efluente		
Eficiencia de remoción de DBO ₅	99.51	%
Calidad (mg/l)	1	mg/l
Eficiencia de remoción de coliformes fecales	99.51	%
Calidad (nmp/100ml)	1.87E+04	NMP/100 ml
Superficie requerida	·	
Superficie unitaria	8972	m ²
Tiempo de retención	5.05	días
Carga orgánica	99.58	KgDBO/ha*día
Carga hidráulica	484.59	m³/ha*d

Tabla 28. Resultados de biofiltro nº2

Biofiltro 2		
Parametros	Datos	Unidades
Caudal medio	434.78	m³/día
Largo	90	m
Ancho	100	m
Profundidad	0.72	m
Área	0.9	ha
Tiempo de retención	5.05	días
Capas de filtros	'	
Espesor de capa vegetal	0.1	m
Piedra volcánica	0.57	m
Calidad del efluente	'	
Eficiencia de remoción de DBO ₅	99.51	%
Calidad (mg/l)	1	mg/l
Eficiencia de remoción de coliformes fecales	99.51	%
Calidad (nmp/100ml)	9.08E+01	NMP/100 ml
Superficie requerida	1	1
Superficie unitaria	89.72	m ²
Tiempo de retención	5.05	días
Carga orgánica	99.58	KgDBO/ha*día
Carga hidráulica	484.59	m³/ha*d

5.4.5. Alternativa nº2 Tanque Imhoff + Lagunas facultativas secundarias + Laguna Aerobia terciaria

Se ubicaron a la salida del sistema de pretratamiento y está conformada por un tanque Imhoff más dos lagunas facultativas secundarias en paralelo (tablas 28 y 29.)

Tabla 29. Resultados de laguna facultativa secundaria

Lagunas facultativas secundarias		
Parámetros	Datos	Unidades
Caudal medio	434.784	m3/día
Ancho interior	23.359	m
Longitud interior	57.518	m
Longitud total	70.318	m
Ancho total	36.159	m
Talud interno	1/3	
Altura total	2.133	m
Numero de lagunas	2	
Relación larga/ancho	2	
Área requerida por laguna	2333.661	m2
Área total	4667.322	m2

Tabla 30. Resultados de laguna aerobia terciaria

Lagunas aerobias terciarias		
Parámetros	Datos	Unidades
Caudal medio	434.784	m3/día
Ancho interior	39.308	m
Longitud interior	87.616	m
Longitud total	98.616	m

Tabla 31. Resultados de laguna aerobia terciaria

Lagunas aerobias terciarias		
Parámetros	Datos	Unidades
Ancho total	50.308	М
Talud interno	1/3	
Altura total	1.833	m
Numero de lagunas	1	Unidad
Relación larga/ancho	2	Unidad
Área requerida por laguna	4667.322	m2
Área total	4667.322	m2

5.4.6. Selección de Alternativas de tratamiento

Para la selección de la alternativa más factible se tomaron los parámetros mostrados en la Tabla N.º 30.

Tabla 32. Parámetros de selección de alternativas de tratamiento

Parámetros	Alternativa 1	Alternativa 2
Área a ocupar (Ha)	1.99	1.13
DBO en efluente mg/l	1	3.318
Coliformes fecales (NMP/100 ml) en efluente	1.02E+02	5.309E-01
Eficiencia de remoción DBO (%)	99.57	99.118
Eficiencia de remoción de coliformes fecales (%)	99.57	100
Costo de construcción del sistema	C\$41,543,101.3	C\$48,286,817.6
Complejidad y requisitos de capacitación y monitoreo	Baja	Baja

Fuente: Elaboración propia

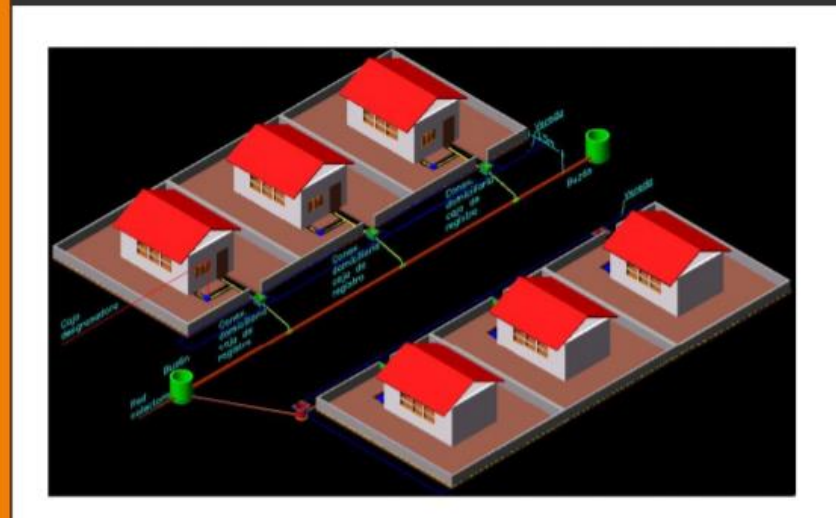
En la tabla anterior, se logra apreciar que para ambos sistemas la calidad del efluente obtenida logra cumplir con los parámetros establecidos para el vertido en cuerpos receptores y para re uso.

Se aprecia también que las diferencias del área destinada para la ubicación de la planta de tratamiento corresponden a 0.9 Ha, empleándose mayor área para la alternativa N° 1.

Dada la similitud en los resultados de los parámetros antes descritos, el grado de complejidad en el proceso de mantenimiento y operación y el requerimiento de capacitación al personal en ambos sistemas son bajos, el parámetro que representa mayor peso en la selección de la alternativa corresponde al costo de construcción del sistema.

Por lo tanto, debido a los parámetros antes expuestos y al observarse que la diferencia en el proceso constructivo entre ambos sistemas corresponde a C\$ 6,743,716.32 ("Seis millones setecientos cuarenta y tres mil setecientos dieciséis con treinta y dos centavos córdobas"), siendo el de mayor costo constructivo la Alternativa Nº 2: Sistema Lagunas facultativas secundarias+ Laguna aerobia

terciaria, por lo tanto se propone la selección del sistema de tratamiento a la Alternativa Nº1 compuesta por Tanque Imhoff + Biofiltros.



Conclusiones y recomendaciones

"Nunca sabremos el valor del agua hasta que el pozo esté seco"

Thomas Fuller (1608-1661)

VI. Conclusiones y recomendaciones

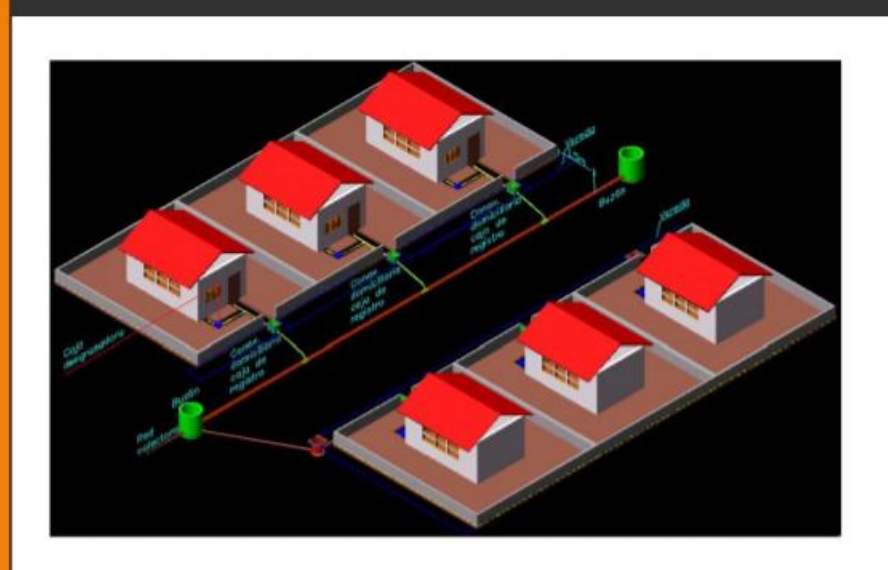
6.1. Conclusiones

Las principales conclusiones obtenidas por el estudio en cuestión se enuncian a continuación:

- El Sistema de alcantarillado sanitario tendrá una cobertura del 96.10% del casco urbano del municipio de Comalapa, Chontales y drenará completamente por gravedad.
- El estudio socio-económico permitió conocer la densidad demográfica de la ciudad, así como también sus características económicas las cuales permiten la realización del proyecto en un futuro.
- 3. La red de alcantarillado sanitario se diseñó de acuerdo a las elevaciones del terreno de tipo convencional, con tubería PVC Corrugado - Novafort de 6" y 8" funcionando totalmente por gravedad; para el trazo de las mismas, se trató de preservar en lo posible la pendiente natural del terreno, reduciendo así los volúmenes de excavación.
- 4. Los pozos de visitas sanitarios son de tipo convencional con un total de 109 unidades. La pendiente mínima en las tuberías es de 0.4 % y el valor máximo es de 20 % respectivamente permitiendo velocidades de diseños y tensión de arrastre recomendados en las Normas del INNA.
- 5. Se diseñaron 2 opciones con un tren de tratamiento (la 1era consistiendo en pre tratamiento + tanque Imhoff + biofiltro y la segunda formada por pre tratamiento + tanque Imhoff + laguna facultativa secundaria + laguna aerobia Terciaria) ambas alternativas cumplen con los parámetros de vertido en los cuerpos receptores naturales, pero se optó por seleccionar la primera alternativa.

6.2. Recomendaciones

- Se recomienda a la institución competente, en este caso la Alcaldía de Comalapa, Chontales buscar financiamiento para la pronta construcción del proyecto, así como para asegurarse que toda la población de Comalapa pueda conectarse eficazmente a la red de alcantarillado sanitario, con el objetivo de mejorar las condiciones de vida y ambientales de la zona.
- Brindar toda la información y capacitación necesaria a la población, acerca de la importancia de conectarse al sistema como también el buen uso y funcionamiento de la red de alcantarillado sanitario.
- Elaborar un estudio de impacto ambiental (EIA) Para determinar el grado de afectación del proyecto y las medidas de mitigación del mismo, de tal forma que no afecte la calidad de vida de los habitantes.
- Una vez construido el proyecto se deben monitorear periódicamente las actividades de operación y mantenimiento para la red de alcantarillado y de los sistemas de tratamiento de forma que se garantice el correcto funcionamiento del sistema a lo largo de su vida útil.
- Construir barreras vivas rompe vientos en los sectores aledaños a las plantas de tratamiento para evitar la erosión del suelo y la perturbación a la población con malos olores provenientes de los sistemas de tratamiento.



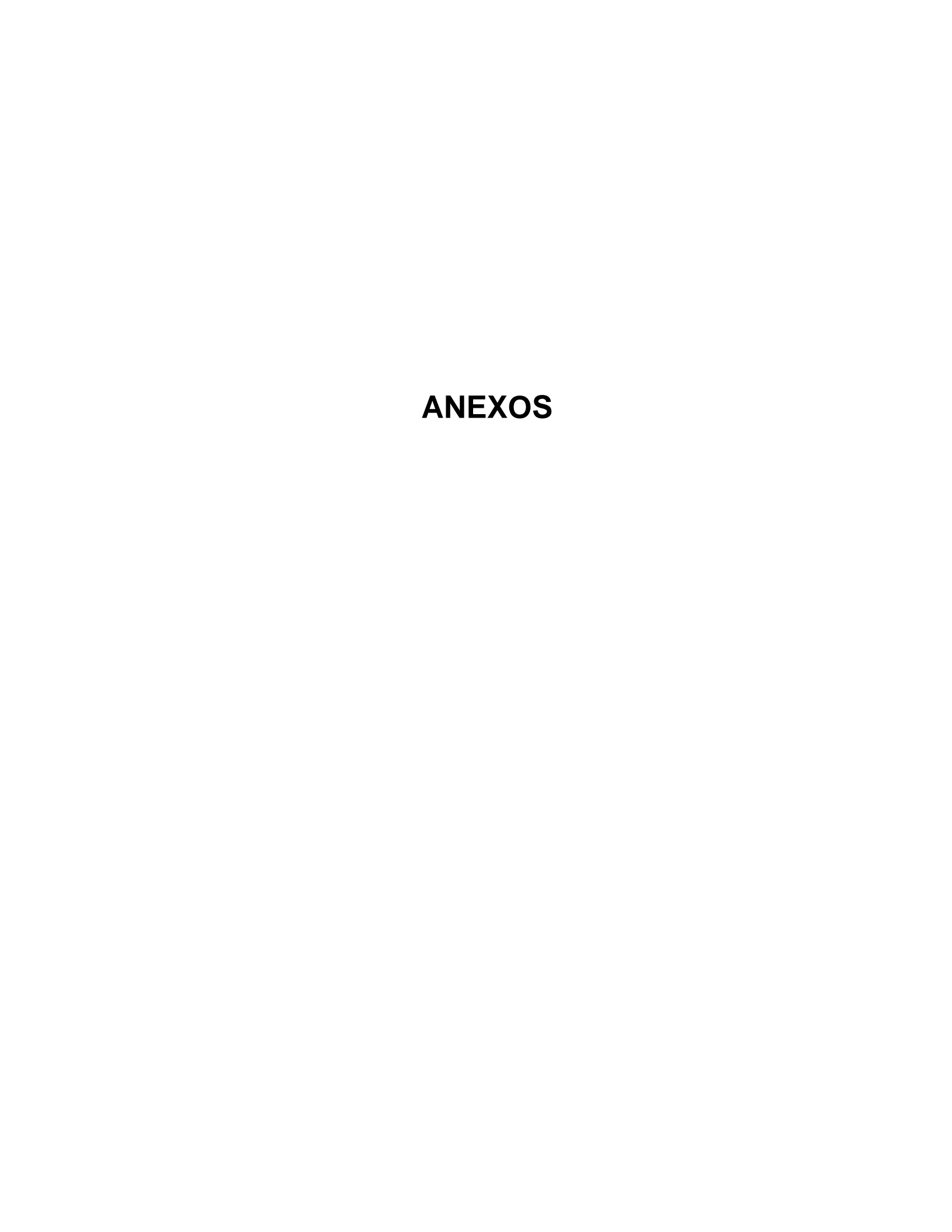
Bibliografía

"Nunca sabremos el valor del agua hasta que el pozo esté seco"

Thomas Fuller (1608-1661)

VII. Bibliografía

- Alcantarillado, I. N. (s.f.). Guías Técnicas para el Diseño de Alcantarillado Sanitario y Sistemas de Tratamiento de Aguas Residuales. Managua, Nicaragua.
- Baldizon, I. M. (s.f.). Apuntes de Ingeniería Sanitaria I, Alcantarillado Sanitario;
 Departamento de Hidráulica y Medio Ambiente de la Universidad Nacional de Ingeniería. Managua, Nicaragua.
- 3. Baldizon, I. M. (s.f.). Apuntes de Ingeniería Sanitaria II, Tratamiento de aguas residuales; Departamento de Hidráulica y Medio Ambiente de la Universidad Nacional de Ingeniería. Managua, Nicaragua.
- Centro Panamericano de Ingeniera Sanitaria y Ciencias del Ambiente, C. (2005).
 Guia para el diseño de tanques sépticos, tanques Imhoff y lagunas de estabilización. Peru, Lima.
- Francisco Noel Santamaria, G. G. (2012). Protocolo Monográfico "Diseño del sistema de Alcantarillado sanitario y planta de tratamiento en la localidad de Tonala, Cabecera Municipal de Puerto Morazán, Chinandega. Managua, Nicaragua"
- 6. INIFOM. (2012). Ficha Técnica Municipal. Comalapa, Chontales.
- 7. UNI, U. N. (2001). Normativa de Culminación de Estudios (FTC). Managua, Nicaragua.



Índice de tablas de anexo a

Tabla a1: Cálculos de línea de recolección	II
Tabla a2: Cálculos de línea de recolección	II
Tabla a3: Cálculos de caudales	III
Tabla a4: Cálculos de caudales	IV
Tabla a5: Cálculos de caudales	V
Tabla a6: Cálculos de caudales	VI
Tabla a7: Cálculos de caudales	VII
Tabla a8: Cálculos de caudales	VIII
Tabla a9:Distribución de caudales	IX
Tabla a10: Distribución de caudales	X
Tabla a11: Distribución de caudales	XI
Tabla a12: Distribución de caudales	XII
Tabla a13: Distribución de caudales	
Tabla a14: Distribución de caudales	XIV
Índice de tablas de anexo b	
Tabla b1: Cálculo de diseño hidráulico	XVI
Tabla b2: Cálculo de diseño hidráulico	XVII
Tabla b3: Cálculo de diseño hidráulico	XVIII
Tabla b4: Cálculo de diseño hidráulico	XIX
Tabla b5: Cálculo de diseño hidráulico	XX
Tabla b6: Cálculo de diseño hidráulico	XXI
Tabla b7: Cálculo de diseño hidráulico	XXII
Tabla b8: Cálculo de diseño hidráulico	XXIII
Tabla b9: Cálculo de diseño hidráulico	
Tabla b10: Cálculo de diseño hidráulico	XXV
Índice de tablas de anexo c	
Tabla c1: Cálculos de diseño topográfico	
Tabla c2: Cálculos de diseño topográfico	
Tabla c3: Cálculos de diseño topográfico	XXIX
Tabla c4: Cálculos de diseño topográfico	XXX
Tabla c5: Cálculos de diseño topográfico	
Tabla c6: Cálculos de diseño topográfico	XXXII

Índice de tablas de anexo d

Tabla d1: Cálculos de canal de entrada	XXXIV
Tabla d2: Cálculos de canal de entrada	XXXIV
Tabla d3: Cálculos de rejas	XXXVI
Tabla d4: Cálculos de rejas	XXXVII
Tabla d5: Cálculos de rejas	XXXVIII
Tabla d 6: Cálculos de desarenador	XXXIX
Tabla d 7: Cálculos de desarenador	XL
Tabla d8: Cálculos de desarenador	XLI
Tabla d 9: Selección de canaleta Parshall	XLII
Tabla d10: Selección de canaleta Parshall	XLIII
Tabla d11: Selección de canaleta Parshall	XLIV
Tabla d12: Selección de canaleta Parshall	XLV
Tabla d13: Selección de canaleta Parshall	XLVI
Tabla d14: Cálculo de tanque Imhoff	XLVII
Tabla d15: Cálculos de tanque Imhoff	XLVIII
Tabla d16: Cálculos de tanque Imhoff	XLIX
Tabla d17: Cálculos de tanque Imhoff	L
Tabla d18: Cálculos de tanque Imhoff	Ll
Tabla d19: Cálculos de lecho de Secado	LII
Tabla d20: Cálculos de lecho de Secado	LIII
Tabla d21: Cálculos de biofiltro #1	LIII
Tabla d22: Cálculos de biofiltro #1	LIV
Tabla d23: Cálculos de biofiltro #1	
Tabla d24: Cálculos de biofiltro #1	LVI
Tabla d25: Cálculos de biofiltro #2	
Tabla d26: Cálculos de biofiltro #2	LVIII
Tabla d27: Cálculos de laguna facultativa secundaria	LIX
Tabla d28: Cálculos de laguna facultativa secundaria	LX
Tabla d29: Cálculos de laguna facultativa secundaria	LXI
Tabla d30: Cálculos de laguna facultativa secundaria	LXII
Tabla d31: Cálculos de laguna facultativa secundaria	LXIII
Tabla d32: Cálculos de laguna facultativa secundaria	LXIV
Tabla d33: Cálculos de laguna facultativa terciaria	LXV
Tabla d34: Cálculos de laguna facultativa terciaria	LXVI
Tabla d35: Cálculos de laguna facultativa terciaria	LXVII
Tabla d 36: Cálculos de laguna facultativa terciaria	LXVIII
Tabla d37: Cálculos de laguna facultativa terciaria	LXIX
Tabla d38: Cálculos de laguna facultativa terciaria	LXX

Índice de tablas de anexo e

Tabla e1: Costo de alcantarillado sanitario	LXXII
Tabla e2: Costo de alcantarillado sanitario	LXXIII
Tabla e3: Costo de alcantarillado sanitario	LXXIV
Tabla e4: Costo de alcantarillado sanitario	LXXV
Tabla e5: Preliminares	LXXV
Tabla e6: Preliminares	LXXVI
Tabla e7: Preliminares	LXXVII
Tabla e8: Preliminares	LXXVIII
Tabla e9: Preliminares	LXXIX
Tabla e10: Tanque Imhoff	LXXIX
Tabla e11: Tanque Imhoff	LXXX
Tabla e12: Tanque Imhoff	LXXX
Tabla e13: Tanque Imhoff	LXXXI
Tabla e14: Lecho de secado	LXXXI
Tabla e 15: Lecho de secado	LXXXII
Tabla e16: Lecho de secado	LXXXII
Tabla e17: Biofiltro	LXXXIII
Tabla e 18: Biofiltro	LXXXIV
Tabla e19: Laguna facultativa	LXXXV
Tabla e20: Laguna facultativa	LXXXVI
Tabla e21: Laguna facultativa	LXXXVI
Tabla e22: Laguna aerobia terciaria	LXXXVI
Tabla e23: Laguna aerobia terciaria	LXXXVII
Tabla e24: Laguna aerobia terciaria	LXXXVII
faultas da tablas da accesa	
Indice de tablas de anexo g	
Tabla g1: Contenido de humedad	XCVII
Tabla g2: Contenido de humedad	XCVIII
Tabla g3: Contenido de humedad	XCVIII
Tabla g4: Contenido de humedad	XCIX
Tabla g5: Análisis granulométrico	C
Tabla g6: Análisis granulométrico	CI
Tabla g7: Análisis granulométrico	CI
Tabla g8: Análisis granulométrico	CI
Tabla g9: Análisis granulométrico	CII
Tabla g10: Análisis granulométrico	CII
Tabla g11: Análisis granulométrico	CIII
Tabla g12: Análisis granulométrico	CIII

Tabla g13: Análisis granulométrico	CIII
Tabla g14: Análisis granulométrico	CIV
Tabla g15: Límite líquido de las muestras	CVI
Tabla g16: Límite líquido	CVII
Tabla g17: Límite líquido	CVII
Tabla g18: Límite líquido	CVIII
Tabla g19: Límite plástico de las muestras	CIX
Tabla g20: Límite plástico	CX
Tabla g21: Límite plástico	CX
Tabla g22: Límite plástico	CX
Tabla g23: Índice de plasticidad muestra M-1	CXI
Tabla g24: Índice de plasticidad M-189	CXI
Tabla g25: Índice de plasticidad M-X	CXI
Tabla g 26: Clasificación de suelos (SUCS)	CXII
Tabla g27: Clasificación general del suelo (SUCS)	CXII
Índice de gráficos de anexo g	
Gráfico g1: Curva Granulométrica Muestra-1	CIV
Gráfico g2: Curva Granulométrica –Muestra 2	CV
Gráfico g3: Curva Granulométrica –Muestra 3	CV
Gráfico g4: Curva Granulométrica –Muestra 4	CV

ANEXO A: Cálculo de Caudales

Tabla a1: Cálculos de línea de recolección

Población	5176	Hab.
CPD	6.290	lps
Factor de retorno	0.8	lps
Qmedio	5.0322	lps
Qmedio unitario	0.00002586	l/s/m2
Factor Harmon	3.2310	3
Qmax	15.09667	lps
Qcomercial	0.35225556	lps
N° comercios	11	
Qcom. unitario	0.03202323	lps
Qinstitucional	0.35225556	lps
N° instituciones	7	
Q inst. unitario	0.0503222	lps
Q diseño	15.9750	lps

Tabla a2: Cálculos de línea de recolección

Q infiltración PVC	lt /ł	nr /100 mts x 25 mm de diametro	2	
Diámetro mínimo			150	mm
Q infiltración			0.17383	l/sg
q infiltración			3.3333E-05	l/sg /mt
Dotacion	105	lppd		
(ENACAL)				

Tabla a3: Cálculos de caudales

Pozo d	Pozo de visita Elevación de terreno (m)						
Desde	Hasta	Inicial	Final	Long. tramo (m)	Long. tránsito(m)	Área local (m2)	Área acumulada (m2)
PVS-7.9	PVS-7.8	203,76	203,64	8,77	8,77	1232,34	1232,34
PVS-7.8	PVS-7.7	203,64	203,10	9,97	18,74	169,45	1401,79
PVS-7.7	PVS-7.6	203,10	202,20	15,86	34,60	273,68	1675,47
PVS-7.6	PVS-7.5	202,20	201,96	25,85	60,45	402,78	2078,25
PVS-7.5	PVS-7.4	201,96	201,68	20,61	81,06	382,25	2460,50
PVS-7.4	PVS-7.3	201,68	199,06	31,49	112,55	604,98	3065,48
PVS-7.3	PVS-7.2	199,06	195,50	34,89	147,44	604,86	3670,34
PVS-7.2.1	PVS-7.2	195,74	195,50	15,87	15,87	1503,07	1503,07
PVS-7.2	PVS-7.1	195,50	189,29	99,8	263,11	3434,44	8607,85
PVS-7.1.2	PVS-7.1.1	189,25	189,24	27,51	27,51	2677,21	2677,21
PVS-7.1.1	PVS-7.1	189,24	189,29	35,70	63,21	1181,70	3858,91
PVS-6.14	PVS-7.1	190,70	189,29	95,23	95,23	3957,65	3957,65
PVS-7.1	PVS-7	189,29	180,79	95,08	516,63	3358,32	19782,73
PVS-7	PVS-6	185,79	185,16	93,59	610,22	1986,06	21768,79
PVS-7.9	PVS-6.25	203,76	203,62	18,61	18,61	464,20	464,20
PVS-6.25	PVS-6.24	203,62	203,50	15,59	34,20	220,92	685,12
PVS-6.24	PVS-6.23	203,50	203,26	29,89	64,09	388,73	1073,85
PVS-6.23	PVS-6.22	203,26	202,78	16,58	80,67	313,74	1387,59
PVS-6.22	PVS-6.21	202,78	201,77	11,69	92,36	301,83	1689,42

Tabla a4: Cálculos de caudales

Pozo d	le visita	Elevación de	e terreno (m)				
Desde	Hasta	Inicial	Final	Long. tramo (m)	Long. tránsito(m)	Área local (m2)	Área acumulada (m2)
PVS-6.21	PVS-6.20	201,77	200,78	20,43	112,79	515,37	2204,79
PVS-6.20	PVS-6.19	200,78	199,21	32,27	145,06	1124,84	3329,63
PVS-6.19	PVS-6.18	199,21	195,79	50,90	195,96	1509,87	4839,50
PVS-6.18	PVS-6.17	195,79	194,38	55,62	251,58	1652,03	6491,53
PVS-7.6	PVS-6.17	202,20	194,38	76,13	76,13	3316,77	3316,77
PVS-6.17	PVS-6.16	194,38	194,50	57,36	385,07	2145,00	11953,30
PVS-6.16	PVS-6.15	194,50	193,65	52,61	437,68	1914,77	13868,07
PVS-7.2	PVS-6.15	195,50	193,65	90,49	90,49	3956,57	3956,57
PVS-2.6.2	PVS-6.15	199,93	193,65	96,34	96,34	4037,90	4037,90
PVS-6.15	PVS-6.14	193,65	190,05	97,76	722,27	4000,41	25862,95
PVS-4.2	PVS-6.14	191,78	190,05	94,50	94,50	4176,21	4176,21
PVS-6.14	PVS-6.13	190,70	187,18	48,36	865,13	2044,66	32083,82
PVS-6.13	PVS-6	187,18	185,16	50,37	915,50	2135,13	34218,95
PVS-6.12	PVS-6.11	194,75	192,87	55,96	55,96	2277,75	2277,75
PVS-6.11	PVS-6.10	192,87	190,64	52,96	108,92	2312,31	4590,06
PVS-6.10	PVS-6.9	190,64	188,75	38,13	147,05	1750,53	6340,59
PVS-6.9	PVS-6.8	188,75	185,05	26,65	173,70	1280,85	7621,44
PVS-6.8	PVS-6.7	185,05	185,78	10,74	184,44	834,74	8456,18
PVS-6.7	PVS-6.6	185,78	185,45	15,93	200,37	1151,19	9607,37
PVS-6.6	PVS-6.5	185,45	185,51	9,79	210,16	829,92	10437,29
PVS-6.5	PVS-6.4	185,51	185,46	10,64	220,80	756,93	11194,22
PVS-6.4	PVS-6.3	185,46	185,38	38,84	259,64	2022,70	13216,92

Tabla a5: Cálculos de caudales

Pozo de visita		Elevación de terreno (m)		1 ()			Área acumulada
Desde	Hasta	Inicial	Final	Long. tramo (m)	Long. tránsito(m)	Area local (m2)	(m2)
PVS-6.3	PVS-6.2	185,38	185,17	29,19	288,83	878,51	14095,43
PVS-6.2	PVS-6.1	185,17	185,92	21,96	310,79	653,68	14749,11
PVS-6.1	PVS-6	185,92	185,16	30,44	341,23	971,99	15721,1
PVS-6	PVS-5	185,16	184,49	52,74	1919,69	1919,69 1915,79	
PVS-5	PVS-4	184,49	184,54	53,61	1973,30	1978,13	75602,76
PVS-2.6.1	PVS-4.4	197,74	194,77	55,75	55,75	966,13	966,13
PVS-4.4	PVS-4.3	194,77	192,85	48,71	104,46	916,79	1882,92
PVS-4.3	PVS-4.2	192,85	191,78	49,69	154,15 2066,16		3949,08
PVS-2.6.2	PVS-4.2.1	199,93	196,12	48,21	48,21	1475,13	1475,13
PVS-4.2.1	PVS-4.2	196,12	191,78	55,00	103,21 1666,57		3141,70
PVS-4.2	PVS-4.1	191,78	186,42	67,84	325,20	3105,25	10196,03
PVS-4.1	PVS-4	186,42	184,54	30,92	356,12	1491,29	11687,32

Tabla a6: Cálculos de caudales

Pozo de visita		Elevación de terreno (m)		Lon. tramo (m)	Long. tránsito(m)	Área local (m2)	Área acumulada	
Desde	Hasta	Inicial	Final	Lon. traino (iii)	Long. transito(iii)	Area local (IIIZ)	(m2)	
PVS-4	PVS-3	184,54	184,70	54,74	2384,16	2046,56	89336,64	
PVS-3	PVS-2	184,70	181,77	62,63	2446,79	2559,61	91896,25	
PVS-2.13.2	PVS-2.13.1	192,97	189,47	63,87	63,87	1066,33	1066,33	
PVS-2.13.1	PVS-2.13	189,47	190,99	86,01	149,88	2628,87	3695,20	
PVS-2.14	PVS-2.13	192,14	190,99	38,52	38,52	1669,69	1669,69	
PVS-2.13	PVS-2.12	190,99	189,95	52,20	240,60	2130,46	7495,35	
PVS-2.12	PVS-2.11	189,95	189,17	49,17	289,77	2006,77	9502,12	
PVS-2.13.2	PVS-2.11.1	192,97	192,77	46,03	46,03	915,74	915,74	
PVS-2.11.1	PVS-2.11	192,77	189,17	94,91	140,94	6805,89	7721,63	
PVS-2.11	PVS-2.10	189,17	188,90	38,40	469,11	1477,69	18701,44	
PVS-2.10.5	PVS-2.10.4	193,94	193,57	58,55	58,55 2393,8	2393,86	2393,86 4191,70	
PVS-2.10.4	PVS-2.10.3	193,57	193,48	49,28	107,83	1797,84		
PVS-2.10.3	PVS-2.10.2	193,48	188,07	67,02	174,85	2366,57	6558,27	
PVS-2.7.4	PVS-2.10.2	191,66	188,07	52,25	52,25	1919,04	1919,04	
PVS-2.10.2	PVS-2.10.1	188,07	189,17	48,96	276,06	3279,00	11756,31	
PVS-2.10.1	PVS-2.10	189,17	188,90	54,15	330,21	3389,89	15146,20	
PVS-2.10	PVS-2.9	188,90	188,64	55,62	854,94	3196,05	37043,69	
PVS-2.9	PVS-2.8	188,640	188,330	95,42	950,36	4912,48	41956,17	
PVS-2.8.3	PVS-2.8.2	188,440	188,490	27,85	27,85	2914,21	2914,21	
PVS-2.8.2	PVS-2.8.1	188,490	188,350	38,26	66,11	66,11 4036,92		
PVS-2.8.1	PVS-2.8	188,350	188,330	19,87	85,98	1352,38	8303,51	
PVS-2.8	PVS-2.7	188,330	188,360	8,45	1044,79	245,49	50505,17	

Tabla a7: Cálculos de caudales

Pozo de	Pozo de visita		Elevación de terreno (m)		Long.		Área
Desde	Hasta	Inicial	Final	Lon. tramo (m)	tránsito(m)	Área local (m2)	acumulada (m2)
PVS-6.20	PVS-2.7.7	200,780	196,600	42,07	42,07	517,26	517,26
PVS-2.7.7	PVS-2.7.6	196,600	192,740	67,17	109,24	970,43	1487,69
PVS-2.10.5	PVS-2.7.6.1	193,940	193,560	37,55	37,55	1075,51	1075,51
PVS-2.7.6.1	PVS-2.7.6	193,560	192,740	87,03	124,58	1149,73	2225,24
PVS-2.7.6	PVS-2.7.5	192,740	192,410	57,09	290,91	893,84	4606,77
PVS-2.10.3	PVS-2.7.5	193,480	192,410	60,29	60,29	1871,51	1871,51
PVS-2.7.5	PVS-2.7.4	192,410	191,660	58,39	409,59	1510,13	7988,41
PVS-6.19	PVS-2.7.4	199,210	191,660	68,67	68,67	2405,36	2405,36
PVS-2.7.4	PVS-2.7.3	191,660	190,610	51,84	530,10	2086,31	12480,08
PVS-2.7.3	PVS-2.7.2	190,610	191,180	68,59	598,69	2890,31	15370,39
PVS-6.17	PVS-2.7.2	194,380	191,180	92,05	92,05	4433,79	4433,79
PVS-2.6.2	PVS-2.7.2.1	199,930	195,070	49,77	49,77	1989,95	1989,95
PVS-2.7.2.1	PVS-2.7.2	195,070	191,180	51,60	101,37	2096,57	4086,52
PVS-2.7.2	PVS-2.7.1	191,180	189,04	71,48	863,59	3423,43	27314,13
PVS-2.7.1	PVS-2.7	189,040	188,360	34,77	898,36	1699,23	29013,36
PVS-2.7	PVS-2.6	188,360	187,450	85,81	2028,96	2641,17	82159,70
PVS-2.6.3	PVS-2.6	193,120	187,450	48,31	48,31	3171,65	3171,65
PVS-2.6.2	PVS-2.6.1	199,930	197,740	47,48	47,48	1824,13	1824,13
PVS-2.6.1	PVS-2.6	197,740	187,450	51,39	98,87	2066,46	3890,59
PVS-2.6	PVS-2.5	187,450	186,590	44,87	2221,01	1064,22	90286,16

Tabla a8: Cálculos de caudales

Pozo de	e visita	Elevación de	e terreno (m)	Lon. tramo (m)	Long. tránsito(m)	Área local (m2)	Área acumulada
Desde	Hasta	Inicial	Final				(m2)
PVS-2.5	PVS-2.4	186,590	184,360	62,36	2283,37	1676,42	91962,58
PVS 4.3	PVS-2.4	192,850	184,360	44,14	44,14	1772,69	1772,69
PVS-2.4	PVS-2.3	184,360	183,170	41,33	2368,84	1885,02	95620,29
PVS-2.3	PVS-2.2	183,170	182,960	15,37	2384,21	816,92	96437,21
PVS-2.2	PVS-2.1	182,960	181,840	29,05	2413,26	1292,73	97729,94
PVS-2.1	PVS-2	181,840	181,770	29,77	2443,03	2646,36	100376,30
PVS-2	PVS-1	181,770	180,000	29,88	4919,70	2297,53	194570,08
PVS-1	PVS-1.1	180,000	179,390	39,15	4958,85	0,00	194570,08
PVS-1.1	PVS-1.2	179,390	178,620	43,11	5001,96	0,00	194570,08
PVS-1.2	PVS-1.3	178,620	177,860	51,02	5052,98	0,00	194570,08
PVS-1.3	PVS-1.4	177,860	177,370	53,10	5106,08	0,00	194570,08
PVS-1.4	PVS-1.5	177,370	177,120	52,41	5158,49	0,00	194570,08
PVS-1.5	CRS-1.6	177,120	176,790	51,39	5209,88	0,00	194570,08
PVS-1.6	CR-E	176,790	176,610	5,00	5214,88	0,00	194570,08

Tabla a9: Distribución de caudales

Pozo	de visita	Q medio Dom. Tramo (lps)	Q medio dom. acum. (lps)	Q máx (lps)	Q comercial (lps)	Q comercial acumulado	Q institucional (lps)	Q institucional acumulado	Q infiltració n (lps)	Qdis eño (lps)	Qdiseño (lps)
Desde	Hasta										
PVS-7.9	PVS-7.8	0,03	0,03	0,10	0,03	0,03	0,00	0,00	0,00	0,13	1,50
PVS-7.8	PVS-7.7	0,00	0,04	0,11	0,00	0,03	0,00	0,00	0,00	0,14	1,50
PVS-7.7	PVS-7.6	0,01	0,04	0,13	0,00	0,03	0,00	0,00	0,00	0,16	1,50
PVS-7.6	PVS-7.5	0,01	0,05	0,16	0,00	0,03	0,00	0,00	0,00	0,20	1,50
PVS-7.5	PVS-7.4	0,01	0,06	0,19	0,00	0,03	0,00	0,00	0,00	0,23	1,50
PVS-7.4	PVS-7.3	0,02	0,08	0,24	0,00	0,03	0,00	0,00	0,00	0,27	1,50
PVS-7.3	PVS-7.2	0,02	0,09	0,28	0,00	0,03	0,00	0,00	0,00	0,32	1,50
PVS- 7.2.1	PVS-7.2	0,04	0,04	0,12	0,00	0,00	0,00	0,00	0,00	0,12	1,50
PVS-7.2	PVS-7.1	0,09	0,22	0,67	0,00	0,03	0,00	0,00	0,01	0,71	1,50
PVS- 7.1.2	PVS-7.1.1	0,07	0,07	0,21	0,00	0,00	0,00	0,00	0,00	0,21	1,50
PVS- 7.1.1	PVS-7.1	0,03	0,10	0,30	0,00	0,00	0,00	0,00	0,00	0,30	1,50
PVS- 6.14	PVS-7.1	0,10	0,10	0,31	0,00	0,00	0,00	0,00	0,00	0,31	1,50
PVS-7.1	PVS-7	0,09	0,51	1,53	0,00	0,03	0,00	0,00	0,02	1,58	1,58

Tabla a10: Distribución de caudales

Pozo d	e Visita	Q medio Dom. Tramo (lps)	Q medio dom. Acum. (lps)	Q máx (lps)	Q comercial (lps)	Q comercial acumulado	Q institucional (lps)	Q institucional acumulado	Q infiltració n (lps)	Qdis eño (lps)	Qdiseño (lps)
Desde	Hasta										
PVS-7	PVS-6	0,05	0,56	1,69	0,03	0,06	0,00	0,00	0,02	1,77	1,77
PVS-7.9	PVS-6.25	0,01	0,01	0,04	0,06	0,06	0,05	0,05	0,00	0,15	1,50
PVS-6.25	PVS-6.24	0,01	0,02	0,05	0,00	0,06	0,00	0,05	0,00	0,17	1,50
PVS-6.24	PVS-6.23	0,01	0,03	0,08	0,00	0,06	0,00	0,05	0,00	0,20	1,50
PVS-6.23	PVS-6.22	0,01	0,04	0,11	0,00	0,06	0,00	0,05	0,00	0,22	1,50
PVS-6.22	PVS-6.21	0,01	0,04	0,13	0,00	0,06	0,00	0,05	0,00	0,25	1,50
PVS-6.21	PVS-6.20	0,01	0,06	0,17	0,00	0,06	0,00	0,05	0,00	0,29	1,50
PVS-6.20	PVS-6.19	0,03	0,09	0,26	0,00	0,06	0,00	0,05	0,00	0,38	1,50
PVS-6.19	PVS-6.18	0,04	0,13	0,38	0,03	0,10	0,00	0,05	0,01	0,53	1,50
PVS-6.18	PVS-6.17	0,04	0,17	0,50	0,00	0,10	0,00	0,05	0,01	0,66	1,50
PVS-7.6	PVS-6.17	0,09	0,09	0,26	0,00	0,10	0,00	0,00	0,00	0,36	1,50
PVS-6.17	PVS-6.16	0,06	0,31	0,93	0,00	0,10	0,00	0,05	0,01	1,09	1,50
PVS-6.16	PVS-6.15	0,05	0,36	1,08	0,00	0,10	0,00	0,05	0,01	1,24	1,50
PVS-7.2	PVS-6.15	0,10	0,10	0,31	0,00	0,00	0,05	0,05	0,00	0,36	1,50
PVS-2.6.2	PVS-6.15	0,10	0,10	0,31	0,00	0,00	0,00	0,00	0,00	0,32	1,50

Tabla a11: Distribución de caudales

Pozo o	de visita	Q medio Dom. Tramo (lps)	Q medio dom. Acum. (lps)	Q máx (lps)	Q comercial (lps)	Q comercial acumulado	Q institucional (lps)	Q institucional acumulado	Q infiltració n (lps)	Qdis eño (lps)	Qdiseño (lps)
Desde	Hasta										
PVS-6.15	PVS-6.14	0,10	0,67	2,01	0,03	0,13	0,00	0,10	0,02	2,26	2,26
PVS-4.2	PVS-6.14	0,11	0,11	0,32	0,03	0,03	0,00	0,00	0,00	0,36	1,50
PVS-6.14	PVS-6.13	0,05	0,83	2,49	0,00	0,16	0,00	0,10	0,03	2,78	2,78
PVS-6.13	PVS-6	0,06	0,89	2,66	0,00	0,16	0,00	0,10	0,03	2,95	2,95
PVS-6.12	PVS-6.11	0,06	0,06	0,18	0,03	0,03	0,00	0,00	0,00	0,21	1,50
PVS-6.11	PVS-6.10	0,06	0,12	0,36	0,00	0,03	0,00	0,00	0,00	0,39	1,50
PVS-6.10	PVS-6.9	0,05	0,16	0,49	0,00	0,03	0,00	0,10	0,00	0,63	1,50
PVS-6.9	PVS-6.8	0,03	0,20	0,59	0,00	0,03	0,00	0,10	0,01	0,73	1,50
PVS-6.8	PVS-6.7	0,02	0,22	0,66	0,00	0,03	0,00	0,10	0,01	0,79	1,50
PVS-6.7	PVS-6.6	0,03	0,25	0,75	0,00	0,03	0,00	0,00	0,01	0,78	1,50
PVS-6.6	PVS-6.5	0,02	0,27	0,81	0,00	0,03	0,00	0,00	0,01	0,85	1,50
PVS-6.5	PVS-6.4	0,02	0,29	0,87	0,00	0,03	0,00	0,00	0,01	0,91	1,50
PVS-6.4	PVS-6.3	0,05	0,34	1,03	0,00	0,03	0,00	0,00	0,01	1,07	1,50
PVS-6.3	PVS-6.2	0,02	0,36	1,09	0,00	0,03	0,00	0,00	0,01	1,14	1,50
PVS-6.2	PVS-6.1	0,02	0,38	1,14	0,00	0,03	0,00	0,00	0,01	1,19	1,50
PVS-6.1	PVS-6	0,03	0,41	1,22	0,00	0,03	0,00	0,00	0,01	1,26	1,50
PVS-6	PVS-5	0,05	1,90	5,71	0,00	0,26	0,00	0,10	0,06	6,13	6,13
PVS-5	PVS-4	0,05	1,96	5,87	0,00	0,26	0,00	0,10	0,07	6,29	6,29
PVS-2.6.1	PVS-4.4	0,03	0,03	0,08	0,00	0,00	0,00	0,00	0,00	0,08	1,50
PVS-4.4	PVS-4.3	0,02	0,05	0,15	0,03	0,03	0,00	0,00	0,00	0,18	1,50
PVS-4.3	PVS-4.2	0,05	0,10	0,31	0,00	0,03	0,00	0,00	0,01	0,34	1,50
PVS-2.6.2	PVS-4.2.1	0,04	0,04	0,11	0,00	0,00	0,00	0,00	0,00	0,12	1,50
PVS-4.2.1	PVS-4.2	0,04	0,08	0,24	0,00	0,00	0,05	0,05	0,00	0,30	1,50

Tabla a12: Distribución de caudales

Pozo d	e visita	Q medio Dom. Tramo (lps)	Q medio dom. acum. (lps)	Q máx (lps)	Q comercial (lps)	Q comercial acumulado	Q institucion al (lps)	Q institucional acumulado	Q infiltració n (lps)	Qdiseñ o (lps)	Qdiseñ o (lps)
Desde	Hasta										
PVS- 4.2	PVS- 4.1	0,08	0,26	0,79	0,00	0,03	0,00	0,05	0,01	0,88	1,50
PVS- 4.1	PVS-4	0,04	0,30	0,91	0,00	0,03	0,00	0,05	0,01	1,00	1,50
PVS-4	PVS-3	0,05	2,31	6,93	0,00	0,29	0,00	0,15	0,08	7,45	7,45
PVS-3	PVS-2	0,07	2,38	7,13	0,00	0,29	0,00	0,15	0,08	7,65	7,65
PVS- 2.13.2	PVS- 2.13.1	0,03	0,03	0,08	0,00	0,00	0,00	0,00	0,00	0,08	1,50
PVS- 2.13.1	PVS- 2.13	0,07	0,10	0,29	0,03	0,03	0,00	0,00	0,01	0,32	1,50
PVS- 2.14	PVS- 2.13	0,04	0,04	0,13	0,00	0,00	0,00	0,00	0,00	0,13	1,50
PVS- 2.13	PVS- 2.12	0,06	0,19	0,58	0,00	0,03	0,00	0,00	0,01	0,62	1,50
PVS- 2.12	PVS- 2.11	0,05	0,25	0,74	0,00	0,03	0,00	0,00	0,01	0,78	1,50
PVS- 2.13.2	PVS- 2.11.1	0,02	0,02	0,07	0,00	0,00	0,00	0,00	0,00	0,07	1,50
PVS- 2.11.1	PVS- 2.11	0,18	0,20	0,60	0,00	0,00	0,00	0,00	0,00	0,60	1,50
PVS- 2.11	PVS- 2.10	0,04	0,48	1,45	0,03	0,06	0,00	0,00	0,02	1,53	1,53
PVS- 2.10.5	PVS- 2.10.4	0,06	0,06	0,19	0,00	0,00	0,00	0,00	0,00	0,19	1,50
PVS- 2.10.4	PVS- 2.10.3	0,05	0,11	0,33	0,00	0,00	0,00	0,00	0,00	0,33	1,50
PVS- 2.10.3	PVS- 2.10.2	0,06	0,17	0,51	0,00	0,00	0,00	0,00	0,01	0,51	1,50
PVS- 2.7.4	PVS- 2.10.2	0,05	0,05	0,15	0,00	0,00	0,00	0,00	0,00	0,15	1,50
PVS- 2.10.2	PVS- 2.10.1	0,08	0,30	0,91	0,00	0,00	0,00	0,00	0,01	0,92	1,50
PVS- 2.10.1	PVS- 2.10	0,09	0,39	1,18	0,00	0,00	0,00	0,00	0,01	1,19	1,50
PVS- 2.10	PVS- 2.9	0,08	0,96	2,87	0,00	0,06	0,00	0,00	0,03	2,97	2,97
PVS- 2.9	PVS- 2.8	0,13	1,09	3,26	0,00	0,06	0,00	0,00	0,03	3,35	3,35

Tabla a13: Distribución de caudales

Pozo o	de visita	Q medio Dom. Tramo (lps)	Q medio dom. Acum. (lps)	Q máx (lps)	Q comercial (lps)	Q comercial acumulado	Q institucional (lps)	Q institucional acumulado	Q infiltració n (lps)	Qdis eño (lps)	Qdiseño (lps)
Desde	Hasta										
PVS-2.8.3	PVS-2.8.2	0,08	0,08	0,23	0,00	0,00	0,00	0,00	0,00	0,23	1,50
PVS-2.8.2	PVS-2.8.1	0,10	0,18	0,54	0,00	0,00	0,00	0,00	0,00	0,54	1,50
PVS-2.8.1	PVS-2.8	0,04	0,21	0,64	0,00	0,00	0,00	0,00	0,00	0,65	1,50
PVS-2.8	PVS-2.7	0,01	1,31	3,92	0,00	0,06	0,00	0,00	0,03	4,02	4,02
PVS-6.20	PVS-2.7.7	0,01	0,01	0,04	0,00	0,00	0,00	0,00	0,00	0,04	1,50
PVS-2.7.7	PVS-2.7.6	0,03	0,04	0,12	0,00	0,00	0,00	0,00	0,00	0,12	1,50
PVS- 2.10.5	PVS-2.7.6.1	0,03	0,03	0,08	0,00	0,00	0,00	0,00	0,00	0,08	1,50
PVS- 2.7.6.1	PVS-2.7.6	0,03	0,06	0,17	0,00	0,00	0,05	0,05	0,00	0,23	1,50
PVS-2.7.6	PVS-2.7.5	0,02	0,12	0,36	0,00	0,00	0,00	0,05	0,01	0,42	1,50
PVS- 2.10.3	PVS-2.7.5	0,05	0,05	0,15	0,00	0,00	0,00	0,00	0,00	0,15	1,50
PVS-2.7.5	PVS-2.7.4	0,04	0,21	0,62	0,00	0,00	0,00	0,05	0,01	0,68	1,50
PVS-6.19	PVS-2.7.4	0,06	0,06	0,19	0,00	0,00	0,00	0,00	0,00	0,19	1,50
PVS-2.7.4	PVS-2.7.3	0,05	0,32	0,97	0,00	0,00	0,00	0,05	0,02	1,04	1,50
PVS-2.7.3	PVS-2.7.2	0,07	0,40	1,19	0,00	0,00	0,05	0,10	0,02	1,31	1,50
PVS-6.17	PVS-2.7.2	0,11	0,11	0,34	0,00	0,00	0,00	0,00	0,00	0,35	1,50
PVS-2.6.2	PVS-2.7.2.1	0,05	0,05	0,15	0,00	0,00	0,05	0,05	0,00	0,21	1,50
PVS- 2.7.2.1	PVS-2.7.2	0,05	0,11	0,32	0,00	0,00	0,00	0,05	0,00	0,37	1,50
PVS-2.7.2	PVS-2.7.1	0,09	0,71	2,12	0,00	0,00	0,00	0,15	0,03	2,30	2,30
PVS-2.7.1	PVS-2.7	0,04	0,75	2,25	0,00	0,00	0,00	0,15	0,03	2,43	2,43
PVS-2.7	PVS-2.6	0,07	2,12	6,37	0,00	0,06	0,00	0,15	0,07	6,66	6,66
PVS-2.6.3	PVS-2.6	0,08	0,08	0,25	0,00	0,00	0,05	0,05	0,00	0,30	1,50
PVS-2.6.2	PVS-2.6.1	0,05	0,05	0,14	0,00	0,00	0,00	0,00	0,00	0,14	1,50

Tabla a14: Distribución de caudales

Pozo d	le visita	Q medio Dom. Tramo (lps)	Q medio dom. Acum. (lps)	Q máx (lps)	Q comercial (lps)	Q comercial acumulado	Q institucional (lps)	Q institucional acumulado	Q infiltració n (lps)	Qdis eño (lps)	Qdiseño (lps)
Desde	Hasta										
PVS-2.6.1	PVS-2.6	0,05	0,10	0,30	0,00	0,00	0,00	0,00	0,00	0,31	1,50
PVS-2.6	PVS-2.5	0,03	2,34	7,01	0,00	0,06	0,00	0,20	0,07	7,34	7,34
PVS-2.5	PVS-2.4	0,04	2,38	7,14	0,00	0,06	0,00	0,20	0,08	7,48	7,48
PVS 4.3	PVS-2.4	0,05	0,05	0,14	0,00	0,00	0,00	0,00	0,00	0,14	1,50
PVS-2.4	PVS-2.3	0,05	2,47	7,42	0,00	0,06	0,00	0,20	0,08	7,76	7,76
PVS-2.3	PVS-2.2	0,02	2,49	7,48	0,00	0,06	0,00	0,20	0,08	7,83	7,83
PVS-2.2	PVS-2.1	0,03	2,53	7,58	0,00	0,06	0,00	0,20	0,08	7,93	7,93
PVS-2.1	PVS-2	0,07	2,60	7,79	0,00	0,06	0,00	0,20	0,08	8,14	8,14
PVS-2	PVS-1	0,06	5,03	15,10	0,00	0,35	0,00	0,35	0,16	15,97	15,97
PVS-1	PVS-1.1	0,00	5,03	15,10	0,00	0,35	0,00	0,35	0,17	15,97	15,97
PVS-1.1	PVS-1.2	0,00	5,03	15,10	0,00	0,35	0,00	0,35	0,17	15,97	15,97
PVS-1.2	PVS-1.3	0,00	5,03	15,10	0,00	0,35	0,00	0,35	0,17	15,97	15,97
PVS-1.3	PVS-1.4	0,00	5,03	15,10	0,00	0,35	0,00	0,35	0,17	15,97	15,97
PVS-1.4	PVS-1.5	0,00	5,03	15,10	0,00	0,35	0,00	0,35	0,17	15,97	15,97
PVS-1.5	CRS-1.6	0,00	5,03	15,10	0,00	0,35	0,00	0,35	0,17	15,97	15,97
PVS-1.6	CR-E	0,00	5,03	15,10	0,00	0,35	0,00	0,35	0,17	15,97	15,97

ANEXO B: Cálculos de diseño hidráulico

Tabla b1: Cálculo de diseño hidráulico

	Tramo		Pend	liente			Pará	metros de d	iseño	
Desde	Hasta	Long.	Terreno	Tubería	Dián	netro	Rh2/3 /n	A hidr.	Caudal de diseño	Caudal Ileno
Desue	Пазіа	m	%	%	Pulg.	mm	m	m	l/s	l/s
PVS-7.9	PVS-7.8	8,77	1,37	1,37	6	150	12,45	0,02	1,50	25,73
PVS-7.8	PVS-7.7	9,97	5,42	5,25	6	150	12,45	0,02	1,50	50,40
PVS-7.7	PVS-7.6	15,86	5,67	5,50	6	150	12,45	0,02	1,50	51,59
PVS-7.6	PVS-7.5	25,85	0,93	1,00	6	150	12,45	0,02	1,50	22,00
PVS-7.5	PVS-7.4	20,61	1,36	1,50	6	150	12,45	0,02	1,50	26,94
PVS-7.4	PVS-7.3	31,49	8,32	8,00	6	150	12,45	0,02	1,50	62,22
PVS-7.3	PVS-7.2	34,89	10,20	10,00	6	150	12,45	0,02	1,50	69,56
PVS-7.2.1	PVS-7.2	15,87	1,51	2,00	6	150	12,45	0,02	1,50	31,11
PVS-7.2	PVS-7.1	99,8	6,22	6,20	6	150	12,45	0,02	1,50	54,77
PVS-7.1.2	PVS-7.1.1	27,51	0,04	5,00	6	150	12,45	0,02	1,50	49,19
PVS-7.1.1	PVS-7.1	35,70	-0,14	4,00	6	150	12,45	0,02	1,50	44,00
PVS-6.14	PVS-7.1	95,23	1,48	1,75	6	150	12,45	0,02	1,50	29,10
PVS-7.1	PVS-7	95,08	3,68	3,00	6	150	12,45	0,02	1,58	38,10
PVS-7	PVS-6	93,59	0,67	0,50	6	150	12,45	0,02	1,77	15,55
PVS-7.9	PVS-6.25	18,61	0,75	0,75	6	150	12,45	0,02	1,50	19,08
PVS-6.25	PVS-6.24	15,59	0,77	0,77	6	150	12,45	0,02	1,50	19,30
PVS-6.24	PVS-6.23	29,89	0,80	0,80	6	150	12,45	0,02	1,50	19,71
PVS-6.23	PVS-6.22	16,58	2,90	2,90	6	150	12,45	0,02	1,50	37,43
PVS-6.22	PVS-6.21	11,69	8,64	7,50	6	150	12,45	0,02	1,50	60,24
PVS-6.21	PVS-6.20	20,43	4,85	4,50	6	150	12,45	0,02	1,50	46,66
PVS-6.20	PVS-6.19	32,27	4,87	4,75	6	150	12,45	0,02	1,50	47,94
PVS-6.19	PVS-6.18	50,90	6,72	6,50	6	150	12,45	0,02	1,50	56,08

Tabla b2: Cálculo de diseño hidráulico

	Tramo		Pend	liente			Pará	metros de d	iseño	
		Long.	Terreno	Tubería	Diár	netro	Rh2/3 /n	A hidr.	Caudal de diseño	Caudal Ileno
Desde	Hasta	m	%	%	Pulg.	mm	m	m	l/s	l/s
PVS-6.18	PVS-6.17	55,62	2,54	2,50	6	150	12,45	0,02	1,50	34,78
PVS-7.6	PVS-6.17	76,13	10,27	10,00	6	150	12,45	0,02	1,50	69,56
PVS-6.17	PVS-6.16	57,36	-0,21	0,50	6	150	12,45	0,02	1,50	15,55
PVS-6.16	PVS-6.15	52,61	1,62	1,00	6	150	12,45	0,02	1,50	22,00
PVS-7.2	PVS-6.15	90,49	2,04	2,00	6	150	12,45	0,02	1,50	31,11
PVS-2.6.2	PVS-6.15	96,34	6,52	6,52	6	150	12,45	0,02	1,50	56,17
PVS-6.15	PVS-6.14	97,76	3,68	3,25	6	150	12,45	0,02	2,26	39,66
PVS-4.2	PVS-6.14	94,50	1,83	2,00	6	150	12,45	0,02	1,50	31,11
PVS-6.14	PVS-6.13	48,36	7,28	6,00	6	150	12,45	0,02	2,78	53,88
PVS-6.13	PVS-6	50,37	4,01	3,75	6	150	12,45	0,02	2,95	42,60
PVS-6.12	PVS-6.11	55,96	3,36	3,36	6	150	12,45	0,02	1,50	40,32
PVS-6.11	PVS-6.10	52,96	4,21	4,20	6	150	12,45	0,02	1,50	45,08
PVS-6.10	PVS-6.9	38,13	4,96	5,00	6	150	12,45	0,02	1,50	49,19
PVS-6.9	PVS-6.8	26,65	13,88	12,50	6	150	12,45	0,02	1,50	77,77
PVS-6.8	PVS-6.7	10,74	-6,80	0,50	6	150	12,45	0,02	1,50	15,55
PVS-6.7	PVS-6.6	15,93	2,07	0,50	6	150	12,45	0,02	1,50	15,55
PVS-6.6	PVS-6.5	9,79	-0,61	0,50	6	150	12,45	0,02	1,50	15,55
PVS-6.5	PVS-6.4	10,64	0,47	0,50	6	150	12,45	0,02	1,50	15,55
PVS-6.4	PVS-6.3	38,84	0,21	0,50	6	150	12,45	0,02	1,50	15,55
PVS-6.3	PVS-6.2	29,19	0,72	0,50	6	150	12,45	0,02	1,50	15,55
PVS-6.2	PVS-6.1	21,96	-3,42	0,50	6	150	12,45	0,02	1,50	15,55
PVS-6.1	PVS-6	30,44	2,50	0,50	6	150	12,45	0,02	1,50	15,55

Tabla b3: Cálculo de diseño hidráulico

	Tramo		Penc	liente			Pará	metros de d	iseño	
		Long.	Terreno	Tubería	Diár	netro	Rh2/3 /n	A hidr.	Caudal de diseño	Caudal Ileno
Desde	Hasta	m	%	%	Pulg.	mm	m	m	l/s	l/s
PVS-6	PVS-5	52,74	1,27	1,00	6	150	12,45	0,02	6,13	22,00
PVS-5	PVS-4	53,61	-0,09	0,50	6	150	12,45	0,02	6,29	15,55
PVS-2.6.1	PVS-4.4	55,75	5,33	5,50	6	150	12,45	0,02	1,50	51,59
PVS-4.4	PVS-4.3	48,71	3,94	3,75	6	150	12,45	0,02	1,50	42,60
PVS-4.3	PVS-4.2	49,69	2,15	2,15	6	150	12,45	0,02	1,50	32,26
PVS-2.6.2	PVS-4.2.1	48,21	7,90	8,00	6	150	12,45	0,02	1,50	62,22
PVS-4.2.1	PVS-4.2	55,00	7,89	8,00	6	150	12,45	0,02	1,50	62,22
PVS-4.2	PVS-4.1	67,84	7,90	7,75	6	150	12,45	0,02	1,50	61,24
PVS-4.1	PVS-4	30,92	6,08	6,00	6	150	12,45	0,02	1,50	53,88
PVS-4	PVS-3	54,74	-0,29	0,40	6	150	12,45	0,02	7,45	13,91
PVS-3	PVS-2	62,63	4,68	0,40	6	150	12,45	0,02	7,65	13,91
PVS-2.13.2	PVS-2.13.1	63,87	5,48	5,50	6	150	12,45	0,02	1,50	51,59
PVS-2.13.1	PVS-2.13	86,01	-1,77	0,60	6	150	12,45	0,02	1,50	17,04
PVS-2.14	PVS-2.13	38,52	2,99	3,00	6	150	12,45	0,02	1,50	38,10
PVS-2.13	PVS-2.12	52,20	1,99	0,50	6	150	12,45	0,02	1,50	15,55
PVS-2.12	PVS-2.11	49,17	1,59	0,50	6	150	12,45	0,02	1,50	15,55
PVS-2.13.2	PVS-2.11.1	46,03	0,43	0,50	6	150	12,45	0,02	1,50	15,55
PVS-2.11.1	PVS-2.11	94,91	3,79	4,00	6	150	12,45	0,02	1,50	44,00
PVS-2.11	PVS-2.10	38,40	0,70	0,50	6	150	12,45	0,02	1,53	15,55
PVS-2.10.5	PVS-2.10.4	58,55	0,63	0,65	6	150	12,45	0,02	1,50	17,74
PVS-2.10.4	PVS-2.10.3	49,28	0,18	0,50	6	150	12,45	0,02	1,50	15,55
PVS-2.10.3	PVS-2.10.2	67,02	8,07	8,00	6	150	12,45	0,02	1,50	62,22

Tabla b4: Cálculo de diseño hidráulico

	Tramo		Pend	diente			Para	metros de d	iseño	
		Long.	Terreno	Tubería	Diár	netro	Rh2/3 /n	A hidr.	Caudal de diseño	Caudal Ileno
Desde	Hasta	m	%	%	Pulg.	mm	m	m	l/s	l/s
PVS-2.7.4	PVS-2.10.2	52,25	6,87	7,00	6	150	12,45	0,02	1,50	58,20
PVS-2.10.2	PVS-2.10.1	48,96	-2,25	0,40	6	150	12,45	0,02	1,50	13,91
PVS-2.10.1	PVS-2.10	54,15	0,50	0,40	6	150	12,45	0,02	1,50	13,91
PVS-2.10	PVS-2.9	55,62	0,47	0,50	6	150	12,45	0,02	2,97	15,55
PVS-2.9	PVS-2.8	95,42	0,32	0,50	6	150	12,45	0,02	3,35	15,55
PVS-2.8.3	PVS-2.8.2	27,85	-0,18	0,50	6	150	12,45	0,02	1,50	15,55
PVS-2.8.2	PVS-2.8.1	38,26	0,37	0,50	6	150	12,45	0,02	1,50	15,55
PVS-2.8.1	PVS-2.8	19,87	0,10	0,50	6	150	12,45	0,02	1,50	15,55
PVS-2.8	PVS-2.7	8,45	-0,36	0,50	6	150	12,45	0,02	4,02	15,55
PVS-6.20	PVS-2.7.7	42,07	9,94	9,95	6	150	12,45	0,02	1,50	69,39
PVS-2.7.7	PVS-2.7.6	67,17	5,75	5,75	6	150	12,45	0,02	1,50	52,75
PVS-2.10.5	PVS-2.7.6.1	37,55	1,01	1,00	6	150	12,45	0,02	1,50	22,00
PVS-2.7.6.1	PVS-2.7.6	87,03	0,94	0,95	6	150	12,45	0,02	1,50	21,44
PVS-2.7.6	PVS-2.7.5	57,09	0,58	0,60	6	150	12,45	0,02	1,50	17,04
PVS-2.10.3	PVS-2.7.5	60,29	1,77	1,80	6	150	12,45	0,02	1,50	29,51
PVS-2.7.5	PVS-2.7.4	58,39	1,28	1,30	6	150	12,45	0,02	1,50	25,08
PVS-6.19	PVS-2.7.4	68,67	10,99	11,00	6	150	12,45	0,02	1,50	72,96
PVS-2.7.4	PVS-2.7.3	51,84	2,03	2,00	6	150	12,45	0,02	1,50	31,11
PVS-2.7.3	PVS-2.7.2	68,59	-0,83	0,50	6	150	12,45	0,02	1,50	15,55
PVS-6.17	PVS-2.7.2	92,05	3,48	3,50	6	150	12,45	0,02	1,50	41,15
PVS-2.6.2	PVS-2.7.2.1	49,77	9,76	10,00	6	150	12,45	0,02	1,50	69,56

Tabla b5: Cálculo de diseño hidráulico

	Tramo		Pend	liente			Pará	metros de d	iseño	
		Long.	Terreno	Tubería	Dián	netro	Rh2/3 /n	A hidr.	Caudal de diseño	Caudal Ileno
Desde	Hasta	m	%	%	Pulg.	mm	m	m	l/s	l/s
PVS-2.7.2.1	PVS-2.7.2	51,60	7,54	7,00	6	150	12,45	0,02	1,50	58,20
PVS-2.7.2	PVS-2.7.1	71,48	2,99	2,50	6	150	12,45	0,02	2,30	34,78
PVS-2.7.1	PVS-2.7	34,77	1,96	1,50	6	150	12,45	0,02	2,43	26,94
PVS-2.7	PVS-2.6	85,81	1,06	1,00	6	150	12,45	0,02	6,66	22,00
PVS-2.6.3	PVS-2.6	48,31	11,74	12,00	6	150	12,45	0,02	1,50	76,20
PVS-2.6.2	PVS-2.6.1	47,48	4,61	4,60	6	150	12,45	0,02	1,50	47,18
PVS-2.6.1	PVS-2.6	51,39	20,02	20,00	6	150	12,45	0,02	1,50	98,38
PVS-2.6	PVS-2.5	44,87	1,92	1,00	6	150	12,45	0,02	7,34	22,00
PVS-2.5	PVS-2.4	62,36	3,58	3,50	6	150	12,45	0,02	7,48	41,15
PVS 4.3	PVS-2.4	44,14	19,23	20,00	6	150	12,45	0,02	1,50	98,38
PVS-2.4	PVS-2.3	41,33	2,88	2,50	6	150	12,45	0,02	7,76	34,78
PVS-2.3	PVS-2.2	15,37	1,37	1,25	6	150	12,45	0,02	7,83	24,59
PVS-2.2	PVS-2.1	29,05	3,86	3,50	6	150	12,45	0,02	7,93	41,15
PVS-2.1	PVS-2	29,77	0,24	0,50	6	150	12,45	0,02	8,14	15,55
PVS-2	PVS-1	29,88	5,92	1,50	8	200	15,08	0,03	15,97	58,02
PVS-1	PVS-1.1	39,15	1,56	1,60	8	200	15,08	0,03	15,97	59,93
PVS-1.1	PVS-1.2	43,11	1,79	1,80	8	200	15,08	0,03	15,97	63,56
PVS-1.2	PVS-1.3	51,02	1,49	1,50	8	200	15,08	0,03	15,97	58,02
PVS-1.3	PVS-1.4	53,10	0,92	1,40	8	200	15,08	0,03	15,97	56,06
PVS-1.4	PVS-1.5	52,41	0,48	1,40	8	200	15,08	0,03	15,97	56,06
PVS-1.5	CRS-1.6	51,39	0,64	1,40	8	200	15,08	0,03	15,97	56,06
PVS-1.6	CR-E	5,00	3,60	1,40	8	200	15,08	0,03	15,97	56,06

Tabla b6: Cálculo de diseño hidráulico

Desde	Hasta	Velocidad Ilena	Velocidad de diseño	Rh	Tensión arrastre	angulo teta	Vd/VII	Qd/QII	d/D	Qd/QII	Tirante (d)
		m/s	m/s				-	-	•	-	mm
PVS-7.9	PVS-7.8	1,46	0,8	0,04	5,03	95,87	0,55	0,06	0,17	0,06	24,75
PVS-7.8	PVS-7.7	2,85	1,34	0,04	19,31	84,54	0,47	0,03	0,13	0,04	19,50
PVS-7.7	PVS-7.6	2,92	1,28	0,04	20,23	80,19	0,44	0,03	0,12	0,03	17,63
PVS-7.6	PVS-7.5	1,24	0,71	0,04	3,68	98,92	0,57	0,07	0,18	0,07	26,25
PVS-7.5	PVS-7.4	1,52	0,82	0,04	5,52	95,09	0,54	0,06	0,16	0,06	24,38
PVS-7.4	PVS-7.3	3,52	1,44	0,04	29,43	75,63	0,41	0,02	0,11	0,02	15,75
PVS-7.3	PVS-7.2	3,94	1,62	0,04	36,79	74,69	0,41	0,02	0,10	0,02	15,38
PVS-7.2.1	PVS-7.2	1,76	0,92	0,04	7,36	91,15	0,52	0,05	0,15	0,05	22,50
PVS-7.2	PVS-7.1	3,1	1,33	0,04	22,81	78,39	0,43	0,03	0,11	0,03	16,88
PVS-7.1.2	PVS-7.1.1	2,78	1,31	0,04	18,39	84,54	0,47	0,03	0,13	0,04	19,50
PVS-7.1.1	PVS-7.1	2,49	1,17	0,04	14,72	84,54	0,47	0,03	0,13	0,04	19,50
PVS-6.14	PVS-7.1	1,65	0,87	0,04	6,44	92,74	0,53	0,05	0,16	0,05	23,25
PVS-7.1	PVS-7	2,16	0,91	0,04	11,04	76,56	0,42	0,04	0,11	0,02	16,13
PVS-7	PVS-6	0,88	0,59	0,04	1,84	114,63	0,67	0,11	0,23	0,12	34,50
PVS-7.9	PVS-6.25	1,08	0,65	0,04	2,77	103,37	0,6	0,08	0,19	0,08	28,50
PVS-6.25	PVS-6.24	1,09	0,64	0,04	2,83	102,64	0,59	0,08	0,19	0,08	28,13
PVS-6.24	PVS-6.23	1,12	0,66	0,04	2,95	102,64	0,59	0,08	0,19	0,08	28,13
PVS-6.23	PVS-6.22	2,12	1,06	0,04	10,65	87,89	0,5	0,04	0,14	0,04	21,00
PVS-6.22	PVS-6.21	3,41	1,47	0,04	27,59	77,48	0,43	0,03	0,11	0,03	16,50

Tabla b7: Cálculo de diseño hidráulico

Desde	Hasta	Velocidad Ilena	Velocidad de diseño	Rh	Tensión arrastre	angulo teta	Vd/VII	Qd/QII	d/D	Qd/QII	Tirante (d)
		m/s	m/s				-	-	-	-	mm
PVS-6.21	PVS-6.20	2,64	1,21	0,04	6,12	82,82	0,46	0,03	0,13	0,03	18,75
PVS-6.20	PVS-6.19	2,71	1,25	0,04	14,14	81,95	0,46	0,03	0,12	0,03	18,38
PVS-6.19	PVS-6.18	3,17	1,36	0,04	8,42	77,48	0,43	0,03	0,11	0,03	16,50
PVS-6.18	PVS-6.17	1,97	0,99	0,04	9,57	87,89	0,5	0,04	0,14	0,04	21,00
PVS-7.6	PVS-6.17	3,94	1,58	0,04	64,82	73,74	0,4	0,02	0,10	0,02	15,00
PVS-6.17	PVS-6.16	0,88	0,55	0,04	1,10	109,10	0,63	0,10	0,21	0,10	31,50
PVS-6.16	PVS-6.15	1,24	0,71	0,04	5,77	98,92	0,57	0,07	0,18	0,07	26,25
PVS-7.2	PVS-6.15	1,76	0,92	0,04	7,49	91,15	0,52	0,05	0,15	0,05	22,50
PVS-2.6.2	PVS-6.15	3,18	1,37	0,04	8,45	77,48	0,43	0,03	0,11	0,03	16,50
PVS-6.15	PVS-6.14	2,24	1,21	0,04	11,41	94,31	0,54	0,06	0,16	0,06	24,00
PVS-4.2	PVS-6.14	1,76	0,92	0,04	7,49	91,15	0,52	0,05	0,15	0,05	22,50
PVS-6.14	PVS-6.13	3,05	1,65	0,04	21,06	94,31	0,54	0,05	0,16	0,06	24,00
PVS-6.13	PVS-6	2,41	1,37	0,04	21,63	98,92	0,57	0,07	0,18	0,07	26,25
PVS-6.12	PVS-6.11	2,28	1,07	0,04	9,93	84,54	0,47	0,04	0,13	0,04	19,50
PVS-6.11	PVS-6.10	2,55	1,17	0,04	5,71	82,82	0,46	0,03	0,13	0,03	18,75
PVS-6.10	PVS-6.9	2,78	1,25	0,04	25,66	81,07	0,45	0,03	0,12	0,03	18,00
PVS-6.9	PVS-6.8	4,4	1,76	0,04	81,02	73,74	0,4	0,02	0,10	0,02	15,00
PVS-6.8	PVS-6.7	0,88	0,55	0,04	1,10	109,10	0,63	0,10	0,21	0,10	31,50
PVS-6.7	PVS-6.6	0,88	0,53	0,04	1,52	103,37	0,6	0,10	0,19	0,08	28,50
PVS-6.6	PVS-6.5	0,88	0,55	0,04	1,10	109,10	0,63	0,10	0,21	0,10	31,50
PVS-6.5	PVS-6.4	0,88	0,55	0,04	1,10	109,10	0,63	0,10	0,21	0,10	31,50

Tabla b8: Cálculo de diseño hidráulico

Desde	Hasta	Velocidad Ilena	Velocidad de diseño	Rh	Tensión arrastre	angulo teta	Vd/VII	Qd/QII	d/D	Qd/QII	Tirante (d)
		m/s	m/s				-	•	-	-	mm
PVS-6.4	PVS-6.3	0,88	0,55	0,04	1,10	109,10	0,63	3 0,10		0,10	31,50
PVS-6.3	PVS-6.2	0,88	0,55	0,04	2,35	106,26	0,62	0,10	0,20	0,09	30,00
PVS-6.2	PVS-6.1	0,88	0,55	0,04	1,10	109,10	0,63	0,10	0,21	0,10	31,50
PVS-6.1	PVS-6	0,88	0,55	0,04	1,10	109,10	0,63	0,10	0,21	0,10	31,50
PVS-6	PVS-5	1,24	1,07	0,04	3,41	147,48	0,86	0,28	0,36	0,28	54,00
PVS-5	PVS-4	0,88	0,84	0,04	2,30	167,37	0,95	0,40	0,45	0,41	66,75
PVS-2.6.1	PVS-4.4	2,92	1,28	0,04	30,02	79,29	0,44	0,03	0,12	0,03	17,25
PVS-4.4	PVS-4.3	2,41	1,13	0,04	11,08	84,54	0,47	0,04	0,13	0,04	19,50
PVS-4.3	PVS-4.2	1,83	0,93	0,04	2,83	89,53	9,53 0,51 0		0,15	0,05	21,75
PVS-2.6.2	PVS-4.2.1	3,52	1,48	0,04	9,17	76,56	0,42	0,02	0,11	0,02	16,13
PVS-4.2.1	PVS-4.2	3,52	1,48	0,04	9,17	76,56	0,42	0,02	0,11	0,02	16,13
PVS-4.2	PVS-4.1	3,47	1,46	0,04	8,88	76,56	0,42	0,02	0,11	0,02	16,13
PVS-4.1	PVS-4	3,05	1,34	0,04	37,54	80,19	0,44	0,03	0,12	0,03	17,63
PVS-4	PVS-3	0,79	0,81	0,04	1,15	184,58	1,02	0,54	0,52	0,54	78,00
PVS-3	PVS-2	0,79	0,81	0,04	1,91	186,88	1,02	0,55	0,53	0,55	79,50
PVS-2.13.2	PVS-2.13.1	2,92	1,28	0,04	30,02	79,29	0,44	0,03	0,12	0,03	17,25
PVS-2.13.1	PVS-2.13	0,96	0,6	0,04	2,81	106,26	0,62	0,09	0,20	0,09	30,00
PVS-2.14	PVS-2.13	2,16	1,04	0,04	14,88	85,39	0,48	0,04	0,13	0,04	19,88
PVS-2.13	PVS-2.12	0,88	0,55	0,04	1,10	109,10	0,63	0,10	0,21	0,10	31,50
PVS-2.12	PVS-2.11	0,88	0,55	0,04	1,10	109,10	0,63	0,10	0,21	0,10	31,50
PVS-2.13.2	PVS-2.11.1	0,88	0,55	0,04	1,10	109,10	0,63	0,10	0,21	0,10	31,50

Tabla b9: Cálculo de diseño hidráulico

Desde	Hasta	Velocidad Ilena	Velocidad de diseño	Rh	Tensión arrastre	angulo teta	Vd/VII	Qd/QII	d/D	Qd/QII	Tirante (d)
		m/s	m/s				-	-	-	-	mm
PVS-2.11.1	PVS-2.11	2,49	1,15	0,04	5,44	82,82	0,46	0,03	0,13	0,03	18,75
PVS-2.11	PVS-2.10	0,88	0,56	0,04	1,68	109,80	0,64	0,10	0,21	0,10	31,88
PVS-2.10.5	PVS-2.10.4	1	0,61	0,04	3,56	104,82	0,61	0,09	0,20	0,08	29,25
PVS-2.10.4	PVS-2.10.3	0,88	0,55	0,04	1,10	109,10	0,63	0,10	0,21	0,10	31,50
PVS-2.10.3	PVS-2.10.2	3,52	1,48	0,04	9,17	76,56	0,42	0,02	0,11	0,02	16,13
PVS-2.7.4	PVS-2.10.2	3,29	1,41	0,04	9,07	77,48	0,43	0,03	0,11	0,03	16,50
PVS-2.10.2	PVS-2.10.1	0,79	0,51	0,04	2,16	111,89	0,65	0,11	0,22	0,11	33,00
PVS-2.10.1	PVS-2.10	0,79	0,51	0,04	2,16	111,89	0,65	0,11	0,22	0,11	33,00
PVS-2.10	PVS-2.9	0,88	0,69	0,04	1,21	132,84	0,78	0,19	0,30	0,20	45,00
PVS-2.9	PVS-2.8	0,88	0,7	0,04	2,59	136,57	0,8	0,22	0,32	0,22	47,25
PVS-2.8.3	PVS-2.8.2	0,88	0,55	0,04	1,10	109,10	0,63	0,10	0,21	0,10	31,50
PVS-2.8.2	PVS-2.8.1	0,88	0,55	0,04	1,10	109,10	0,63	0,10	0,21	0,10	31,50
PVS-2.8.1	PVS-2.8	0,88	0,55	0,04	1,10	109,10	0,63	0,10	0,21	0,10	31,50
PVS-2.8	PVS-2.7	0,88	0,74	0,04	2,26	143,88	0,84	0,26	0,35	0,26	51,75
PVS-6.20	PVS-2.7.7	3,93	1,61	0,04	30,06	75,63	0,41	0,02	0,11	0,02	15,75
PVS-2.7.7	PVS-2.7.6	2,99	1,32	0,04	31,38	79,29	0,44	0,03	0,12	0,03	17,25
PVS-2.10.5	PVS-2.7.6.1	1,24	0,71	0,04	5,77	98,92	0,57	0,07	0,18	0,07	26,25
PVS-2.7.6.1	PVS-2.7.6	1,21	0,7	0,04	3,70	100,42	0,58	0,07	0,18	0,07	27,00
PVS-2.7.6	PVS-2.7.5	0,96	0,6	0,04	2,81	106,26	0,62	0,09	0,20	0,09	30,00
PVS-2.10.3	PVS-2.7.5	1,67	0,89	0,04	10,63	92,74	0,53	0,05	0,16	0,05	23,25
PVS-2.7.5	PVS-2.7.4	1,42	0,8	0,04	4,78	97,40	0,56	0,06	0,17	0,06	25,50
PVS-6.19	PVS-2.7.4	4,13	1,65	0,04	71,30	73,74	0,4	0,02	0,10	0,02	15,00
PVS-2.7.4	PVS-2.7.3	1,76	0,92	0,04	7,49	91,15	0,52	0,05	0,15	0,05	22,50
PVS-2.7.3	PVS-2.7.2	0,88	0,55	0,04	1,10	109,10	0,63	0,10	0,21	0,10	31,50

Tabla b10: Cálculo de diseño hidráulico

Desde	Hasta	Velocidad Ilena	Velocidad de diseño	Rh	Tensión arrastre	angulo teta	Vd/VII	Qd/QII	d/D	Qd/QII	Tirante (d)
		m/s	m/s				-	-	-	-	mm
PVS-6.17	PVS-2.7.2	2,33	1,1	0,04	10,34	84,54	0,47	0,04	0,13	0,04	19,50
PVS-2.6.2	PVS-2.7.2.1	3,94	1,62	0,04	30,21	75,63	0,41	0,02	0,11	0,02	15,75
PVS-2.7.2.1	PVS-2.7.2	3,29	1,41	0,04	9,07	77,48	0,43	0,03	0,11	0,03	16,50
PVS-2.7.2	PVS-2.7.1	1,97	1,12	0,04	14,42	98,92	0,57	0,07	0,18	0,07	26,25
PVS-2.7.1	PVS-2.7	1,52	0,96	0,04	3,31	109,10	0,63	0,09	0,21	0,10	31,50
PVS-2.7	PVS-2.6	1,24	1,09	0,04	2,29	152,23	0,88	0,30	0,38	0,31	57,00
PVS-2.6.3	PVS-2.6	4,31	1,72	0,04	77,78	73,74	0,4	0,02	0,10	0,02	15,00
PVS-2.6.2	PVS-2.6.1	2,67	1,23	0,04	6,25	82,82	0,46	0,03	0,13	0,03	18,75
PVS-2.6.1	PVS-2.6	5,57	2,01	0,04	132,78	67,80	0,36	0,02	0,09	0,02	12,75
PVS-2.6	PVS-2.5	1,24	1,12	0,04	3,86	156,93	0,9	0,33	0,40	0,34	60,00
PVS-2.5	PVS-2.4	2,33	1,77	0,04	18,40	130,33	0,76	0,18	0,29	0,18	43,50
PVS 4.3	PVS-2.4	5,57	2,01	0,04	132,78	67,80	0,36	0,02	0,09	0,02	12,75
PVS-2.4	PVS-2.3	1,97	1,58	0,04	10,72	137,80	0,8	0,22	0,32	0,22	48,00
PVS-2.3	PVS-2.2	1,39	1,24	0,04	5,58	154,58	0,89	0,32	0,39	0,32	58,50
PVS-2.2	PVS-2.1	2,33	1,82	0,04	8,48	132,84	0,78	0,19	0,30	0,20	45,00
PVS-2.1	PVS-2	0,88	0,89	0,04	1,29	183,44	1,01	0,52	0,52	0,52	77,25
PVS-2	PVS-1	1,85	1,89	0,05	5,73	184,58	1,02	0,28	0,52	0,54	104,00
PVS-1	PVS-1.1	1,91	1,95	0,05	6,11	184,58	1,02	0,27	0,52	0,54	104,00
PVS-1.1	PVS-1.2	2,02	2,06	0,05	6,88	184,58	1,02	0,25	0,52	0,54	104,00
PVS-1.2	PVS-1.3	1,85	1,89	0,05	5,73	184,58	1,02	0,28	0,52	0,54	104,00
PVS-1.3	PVS-1.4	1,78	1,82	0,05	5,35	184,58	1,02	0,29	0,52	0,54	104,00
PVS-1.4	PVS-1.5	1,78	1,82	0,05	5,35	184,58	1,02 0,29		0,52	0,54	104,00
PVS-1.5	CRS-1.6	1,78	1,82	0,05	5,35	184,58	8 1,02 0,29		0,52	0,54	104,00
PVS-1.6	CR-E	1,78	1,82	0,05	5,35	184,58	1,02	0,29	0,52	0,54	104,00

ANEXO C: Cálculos de diseño topográfico

Tabla c1: Cálculos de diseño topográfico

Pozo o	le visita	Pendiente del tramo	Elevación	de corona	Elevació	n de invert	Profundidad de PVS
Desde	Hasta	%	Arriba	Abajo	Arriba	Abajo	m
PVS-7.9	PVS-7.8	1.37	202.26	202.14	202.110	201.990	1.65
PVS-7.8	PVS-7.7	5.25	202.11	203.10	201.960	201.437	1.68
PVS-7.7	PVS-7.6	5.50	201.56	202.20	201.407	200.534	1.69
PVS-7.6	PVS-7.5	1.00	200.65	201.96	200.504	200.246	1.70
PVS-7.5	PVS-7.4	1.50	200.37	201.68	200.216	199.907	1.74
PVS-7.4	PVS-7.3	8.00	200.03	199.06	199.877	197.357	1.80
PVS-7.3	PVS-7.2	10.00	197.47	195.50	197.324	193.835	1.74
PVS-7.2.1	PVS-7.2	2.00	194.24	195.50	194.090	193.773	1.65
PVS-7.2	PVS-7.1	6.20	195.47	189.29	193.805	187.618	1.76
PVS-7.1.2	PVS-7.1.1	5.00	187.75	189.24	187.900	186.525	1.35
PVS-7.1.1	PVS-7.1	4.00	189.21	189.29	186.495	185.067	2.75
PVS-6.14	PVS-7.1	1.75	189.26	189.29	189.110	187.443	1.65
PVS-7.1	PVS-7	3.00	189.26	185.79	185.037	182.184	4.25
PVS-7	PVS-6	0.50	185.76	185.16	182.154	181.686	3.64
PVS-7.9	PVS-6.25	0.75	202.26	202.12	202.110	201.970	1.65
PVS-6.25	PVS-6.24	0.77	202.09	202.09	201.940	201.820	1.68

Tabla c2: Cálculos de diseño topográfico

Pozo d	Pozo de visita		Elevación	de corona	Elevació	n de invert	Profundidad de PVS
Desde	Hasta	%	Arriba	Abajo	Arriba	Abajo	m
PVS-6.24	PVS-6.23	0.80	202.09	202.08	201.790	201.550	1.71
PVS-6.23	PVS-6.22	2.90	202.08	202.07	201.520	201.040	1.74
PVS-6.22	PVS-6.21	7.50	202.07	202.04	201.010	200.133	1.77
PVS-6.21	PVS-6.20	4.50	200.25	199.33	200.103	199.184	1.67
PVS-6.20	PVS-6.19	4.75	199.30	197.77	199.154	197.621	1.63
PVS-6.19	PVS-6.18	6.50	197.74	194.43	197.591	194.283	1.62
PVS-6.18	PVS-6.17	2.50	194.40	193.01	194.253	192.862	1.54
PVS-7.6	PVS-6.17	10.00	200.62	193.01	200.472	192.859	1.73
PVS-6.17	PVS-6.16	0.50	193.01	192.70	192.832	192.545	1.55
PVS-6.16	PVS-6.15	1.00	192.70	192.14	192.515	191.989	1.98
PVS-7.2	PVS-6.15	2.00	194.30	192.15	193.805	191.996	1.69
PVS-2.6.2	PVS-6.15	6.52	198.43	192.15	198.280	191.999	1.65
PVS-6.15	PVS-6.14	3.25	192.11	188.93	191.959	188.782	1.69
PVS-4.2	PVS-6.14	2.00	190.28	188.39	190.130	188.240	1.65
PVS-6.14	PVS-6.13	6.00	188.36	188.33	188.210	185.308	2.49
PVS-6.13	PVS-6	3.75	188.33	188.30	185.278	183.390	1.90

Tabla c3: Cálculos de diseño topográfico

Pozo d	le visita	Pendiente del tramo	Elevación	de corona	Elevación de invert		Profundidad de PVS
Desde	Hasta	%	Arriba	Abajo	Arriba	Abajo	m
PVS-6.12	PVS-6.11	3.36	193.25	191.37	193.100	191.220	1.65
PVS-6.11	PVS-6.10	4.20	191.34	190.64	191.190	188.965	1.68
PVS-6.10	PVS-6.9	5.00	190.64	190.62	188.935	187.029	1.70
PVS-6.9	PVS-6.8	12.50	190.62	190.58	186.990	183.659	1.76
PVS-6.8	PVS-6.7	0.50	190.58	190.58	183.629	183.575	1.42
PVS-6.7	PVS-6.6	0.50	190.58	190.57	183.545	183.465	2.24
PVS-6.6	PVS-6.5	0.50	183.59	183.54	183.435	183.386	2.01
PVS-6.5	PVS-6.4	0.50	183.51	185.46	183.356	183.303	2.15
PVS-6.4	PVS-6.3	0.50	183.42	185.38	183.273	183.079	2.19
PVS-6.3	PVS-6.2	0.50	183.20	185.17	183.049	182.903	2.33
PVS-6.2	PVS-6.1	0.50	183.02	185.92	182.873	182.763	2.30
PVS-6.1	PVS-6	0.50	182.88	185.16	182.733	182.581	3.19
PVS-6	PVS-5	1.00	185.16	185.15	181.656	181.129	3.50
PVS-5	PVS-4	0.50	185.15	185.14	181.099	180.831	3.39
PVS-2.6.1	PVS-4.4	5.50	196.24	193.17	196.090	193.024	1.65
PVS-4.4	PVS-4.3	3.75	193.14	192.85	192.994	191.167	1.78

Tabla c4: Cálculos de diseño topográfico

Pozo d	e visita	Pendiente del tramo	Elevación	de corona	Elevació	n de invert	Profundidad de PVS
Desde	Hasta	%	Arriba	Abajo	Arriba	Abajo	m
PVS-4.3	PVS-4.2	2.15	191.29	191.78	191.137	190.069	1.71
PVS-2.6.2	PVS-4.2.1	8.00	198.43	194.57	198.280	194.423	1.65
PVS-4.2.1	PVS-4.2	8.00	194.54	191.78	194.393	189.993	1.73
PVS-4.2	PVS-4.1	7.75	190.11	186.42	189.963	184.706	1.82
PVS-4.1	PVS-4	6.00	184.83	184.54	184.676	182.820	1.74
PVS-4	PVS-3	0.40	180.95	180.73	180.801	180.582	3.74
PVS-3	PVS-2	0.40	180.70	180.45	180.552	180.301	4.15
PVS-2.13.2	PVS-2.13.1	5.50	191.47	187.96	191.320	187.807	1.65
PVS-2.13.1	PVS-2.13	0.60	187.96	187.95	187.777	187.261	1.69
PVS-2.14	PVS-2.13	3.00	190.64	189.48	190.490	189.334	1.65
PVS-2.13	PVS-2.12	0.50	187.95	187.95	187.231	186.970	3.76
PVS-2.12	PVS-2.11	0.50	187.95	187.94	186.940	186.694	3.01
PVS-2.13.2	PVS-2.11.1	0.50	191.47	191.47	191.320	191.090	1.65
PVS-2.11.1	PVS-2.11	4.00	191.47	191.45	191.060	187.263	1.71
PVS-2.11	PVS-2.10	0.50	187.94	187.94	186.664	186.472	2.51
PVS-2.10.5	PVS-2.10.4	0.65	192.44	192.06	192.290	191.909	1.65
PVS-2.10.4	PVS-2.10.3	0.50	192.06	192.06	191.879	191.633	1.69
PVS-2.10.3	PVS-2.10.2	8.00	192.06	192.03	191.603	186.241	1.88
PVS-2.7.4	PVS-2.10.2	7.00	190.16	186.50	190.010	186.353	1.65

Tabla c5: Cálculos de diseño topográfico

Pozo d	le visita	Pendiente del tramo	Elevación	de corona	Elevació	n de invert	Profundidad de PVS
Desde	Hasta	%	Arriba	Abajo	Arriba	Abajo	m
PVS-2.10.2	PVS-2.10.1	0.40	186.50	186.50	186.323	186.127	1.75
PVS-2.10.1	PVS-2.10	0.40	186.50	186.50	186.097	185.880	3.07
PVS-2.10	PVS-2.9	0.50	187.94	187.93	185.850	185.572	3.05
PVS-2.9	PVS-2.8	0.50	187.93	187.93	185.542	185.065	3.10
PVS-2.8.3	PVS-2.8.2	0.50	186.94	186.80	186.790	186.651	1.65
PVS-2.8.2	PVS-2.8.1	0.50	186.77	186.58	186.621	186.429	1.87
PVS-2.8.1	PVS-2.8	0.50	186.55	186.55	186.399	186.300	1.95
PVS-2.8	PVS-2.7	0.50	187.93	187.92	185.035	184.993	3.30
PVS-6.20	PVS-2.7.7	9.95	199.28	195.09	199.130	194.944	1.65
PVS-2.7.7	PVS-2.7.6	5.75	195.09	195.07	194.944	191.082	1.66
PVS-2.10.5	PVS-2.7.6.1	1.00	192.44	192.06	192.290	191.915	1.65
PVS-2.7.6.1	PVS-2.7.6	0.95	192.06	192.06	191.915	191.088	1.65
PVS-2.7.6	PVS-2.7.5	0.60	192.06	192.05	191.058	190.715	1.68
PVS-2.10.3	PVS-2.7.5	1.80	191.98	190.89	191.830	190.745	1.65
PVS-2.7.5	PVS-2.7.4	1.30	192.05	192.05	190.685	189.926	1.72
PVS-6.19	PVS-2.7.4	11.00	197.71	190.16	197.560	190.006	1.65
PVS-2.7.4	PVS-2.7.3	2.00	192.05	192.03	189.896	188.859	1.76
PVS-2.7.3	PVS-2.7.2	0.50	192.03	192.03	188.829	188.486	1.78
PVS-6.17	PVS-2.7.2	3.50	192.88	189.66	192.730	189.508	1.65
PVS-2.6.2	PVS-2.7.2.1	10.00	198.43	193.45	198.280	193.303	1.65
PVS-2.7.2.1	PVS-2.7.2	7.00	193.45	193.43	193.273	189.661	1.80

Tabla c6: Cálculos de diseño topográfico

Pozo o	le visita	Pendiente del tramo	Elevación	de corona	Elevación de invert		Profundidad de PVS
Desde	Hasta	%	Arriba	Abajo	Arriba	Abajo	m
PVS-2.7.2	PVS-2.7.1	2.50	192.03	192.01	188.456	186.669	2.72
PVS-2.7.1	PVS-2.7	1.50	192.01	192.00	186.639	186.118	2.40
PVS-2.7	PVS-2.6	1.00	187.92	187.90	184.963	184.105	3.40
PVS-2.6.3	PVS-2.6	12.00	191.62	185.82	191.470	185.673	1.65
PVS-2.6.2	PVS-2.6.1	4.60	198.43	196.25	198.280	196.096	1.65
PVS-2.6.1	PVS-2.6	20.00	196.25	196.19	196.045	185.767	1.70
PVS-2.6	PVS-2.5	1.00	187.90	187.89	184.075	183.626	3.38
PVS-2.5	PVS-2.4	3.50	187.89	187.85	183.586	181.403	3.00
PVS 4.3	PVS-2.4	20.00	191.35	182.52	191.200	182.372	1.65
PVS-2.4	PVS-2.3	2.50	187.85	187.82	181.371	180.338	2.99
PVS-2.3	PVS-2.2	1.25	187.82	187.78	180.308	180.116	2.86
PVS-2.2	PVS-2.1	3.50	187.78	187.73	180.074	179.057	2.89
PVS-2.1	PVS-2	0.50	187.73	187.72	179.027	178.878	2.81
PVS-2	PVS-1	1.50	180.45	180.41	178.832	178.384	2.94
PVS-1	PVS-1.1	1.60	180.41	180.36	178.336	177.710	1.66
PVS-1.1	PVS-1.2	1.80	180.36	180.30	177.656	176.880	1.73
PVS-1.2	PVS-1.3	1.50	180.30	180.26	176.834	176.068	1.79
PVS-1.3	PVS-1.4	1.40	180.26	180.22	176.026	175.283	1.83
PVS-1.4	PVS-1.5	1.40	180.22	180.17	175.241	174.507	2.13
PVS-1.5	CRS-1.6	1.40	180.17	180.13	174.465	173.746	2.65
PVS-1.6	CR-E	1.40	180.13	180.09	173.704	173.634	3.09

ANEXO D: Cálculo de sistema de tratamiento de aguas residuales

Tabla d1: Cálculos de canal de entrada

	Tabla de diseño de canal de entrada									
Parámetros	Simbología	Ecuaciones	Datos	Criterios						
Población	Р	5176	hab.							
Dotación	DOT	105	lppd	Consumo histórico						
Ancho de canal	В	0.3	m	0.30 m - 0.70 m						
Pendiente a lo largo del canal	S	0.005	m/m	Asumido						
Coeficiente de Manning	N	0.013		Concreto						
Borde libre	BL	0.2	m	0.20 m - 0.3 m						

Tabla d2: Cálculos de canal de entrada

	Criterios de diseño											
Parámetros	Simbología	Ecuaciones	Datos	Unidades	Criterios							
Caudal medio	QM	$Q_m = \frac{P * Dot * 0.8}{86400 \ seg/dia}$	5.0322	lt/seg								
Caudal de	QD	Qd = Qmax + Qinf + Qcom + Qins	0.0050 15.9750	m3/s m3/s								
diseño		2	0.0160	m3/s								
Altura máxima	HMAX	$\frac{Q_d * n}{\sqrt{S}} = H_{m\acute{a}x} * B \left[\frac{H_{m\acute{a}x} * B}{B + 2H_{m\acute{a}x}} \right]^{\frac{2}{8}}$	0.0730	m								
Altura media	HMED	$\frac{Q_m * n}{\sqrt{S}} = H_m * B \left[\frac{H_m * B}{B + 2H_m} \right]^{\frac{2}{8}}$	0.0305	m								
Velocidad máxima	VMAX	$V_{m\acute{a}x} = \frac{Q_d}{B*H_{m\acute{a}x}}$	0.7295	m/s	0.40-0.75m/seg,cumple							
Velocidad media	VM	$V_m = \frac{Q_m}{B * H_m}$	0.5500	m/s	0.40-0.75m/seg,cumple							
Área mojada	AT	$A_t = B * H_{m\acute{a}x}$	0.0219	m^2								
Altura del canal	HCANAL		0,5	m								

Comprobación con software Hcanales

Lugar: Comala Tramo:	pa, Chontales	Proyecto: Ptar	
Datos: Caudal (Q): Ancho de solera (b): Talud (Z): Rugosidad (n): Pendiente (S):	0.01598 m3/s 0.3 m 0.013 0.005 m/m		_т
Resultados: Tirante normal (y): Area hidráulica (A): Espejo de agua (T): Número de Froude (F): Tipo de flujo:	0.0730 m 0.0219 m2 0.3000 m 0.8619	Perímetro (p): Radio hidráulico (R): Velocidad (v): Energía específica (E):	0.4460 m 0.0491 m 0.7295 m/s 0.1001 m-Kg/Kg
	a S		

Tabla d3: Cálculos de rejas

	Criterios de diseño de rejas									
Parámetros	Simbología	Datos	Unidades	Criterios						
Población	Р	5176	hab							
Dotación	Dot.	105	lppd	0- 5000 Hab. → 100 lppd (INAA)						
Factor de forma de las barras	β	1.79		Circular = 1.79, Rectangular = 2.42						
Inclinación de reja	θ	45	o	45º - 60º con la Horizontal						
Separación entre barra	а	3.0	cm	2.50 cm - 5.00 cm						
Espesor barra	t	0.75	cm	0.50 cm - 1.50 cm						
Ancho de canal	В	0.3	m	0.30 m - 0.70 m						
Ancho de reja	b	0.3	m	Asumido						
Pendiente a lo largo del canal	S	0.005	m/m	Asumido						
Coeficiente de Manning	n	0.013		Concreto						
Borde libre	BL	0.2	m	0.20 m - 0.3 m						

Tabla d4: Cálculos de rejas

		Diseño de rejas			
Parámetros	Simbología	Ecuaciones	Datos	Unidades	Criterios
Cantidad de barras			8	unid	
Longitud de las barras	LB		0.42	m	
Caudal medio	Qm	$Q_m = \frac{P * Dot * 0.8}{86400 \text{ seg/dia}}$	5.032	l/s	
Caudai medio	QIII	$Q_m = \frac{1}{86400 \text{ seg/dia}}$	0.0050	m^3/s	
Caudal de diseño	Qd	Qd = Qmax + Qinf + Qcom + Qins	15.975	l/s	
	3	que quem r que r que r que	0.0160	m^3/s	
Altura máxima	Hmax	$\frac{Q_d*n}{\sqrt{S}} = H_{m\acute{a}x}*b \left[\frac{H_{m\acute{a}x}*b}{b+2H}\right]^{\frac{2}{5}}$	0.07300	m	
Altura media de agua antes de rejas	Hmed	$\frac{Q_m * n}{\sqrt{S}} = H_m * b \left[\frac{H_m * b}{b + 2H} \right]^{\frac{2}{5}}$	0.03050	m	
Velocidad máxima antes de reja	Vmáx	$V_{m\acute{a}x} = rac{Q_d}{B*H_{m\acute{a}x}}$	0.7295	m/s	0.40-0.75m/segundo, cumple
Velocidad media antes de reja	Vm	$V_m = rac{Q_m}{B * H_m}$	0.5500	m/s	0.40-0.75m/segundos, cumple
Área total mojada	At	$A_t = b * H_{m\acute{a}x}$	0.0219	m^2	
Eficiencia	E	$E = \frac{a}{a+t}$	0.8000		0.6 - 0.85 (CEPIS)
Área Útil	Au	$A_u = A_t * E$	0.0175	m^2	
Velocidad de Paso	Vp	$V_p = rac{Q_d}{A_u}$	0.6830	m/seg	0.40-0.75m/segundos, cumple

Tabla d5: Cálculos de rejas

	Verificación de la Velocidad Media									
Área Total por Velocidad Media	At´	$A'_{t} = b * H_{med}$	0.0092	m2						
Área Útil por Velocidad Media	Au´	$A'_{u} = A'_{t} * E$	0.0073	m2						
Velocidad Media	V'm	$V'_m = \frac{Q_m}{A'_u}$	0.6875	m/seg	0.40-0.75m/segundo,cumple					
Pérdida de Carga en Rejas Limpias	Hf	$H_f = \beta * \left(\frac{t}{a}\right)^{\frac{4}{3}} * \sin \theta * \frac{V_m^2}{2g}$	0.0093	m	<0.15,cumple					
Pérdida de Carga en Rejas (Parcialmente Obstruída)	Hfo	$h_{fo} = \left(\frac{E}{E_o}\right)^2 * H_f = \left(\frac{E}{0.75 * E}\right)^2 * H_f$	0.0166	m	<0.15,cumple					
	Eo	0.75 E	0.6000		(0.5 - 0.75), (0.75 = Parcialmente Obstruido)					
Altura del Canal	Hcanal	$H_{canal} = H_{m\acute{a}x} + h_{fo} + BL$	0.5	m						

Tabla d 6: Cálculos de desarenador

Criterio de diseño del desarenador									
Parámetros	Simbología	Datos	Unidades	Criterios					
Carga superficial	Cs	1200	m3/m2/día	700 - 1600					
Caudal de diseño	Qd	0.01598	m3/seg						
Velocidad de flujo	V	0.3	m/seg	Valor sugerido por INAA					
Diámetro de partícula	Ø	0.2	mm	> 0.2 mm, CEPIS					
Velocidad de sedimentación	Vs	0.021	m/seg	cepis					
Número de desarenadores	No	1	unid						
Fiempo de retención de sedimento en tolva	Т	15	días	Por Mantenimiento					

Tabla d 7: Cálculos de desarenador

Parámetros	Simbología	Ecuaciones	Datos	Unidades	Criterios
Altura del agua en zona de sedimentación			0.268	m	
Área superficial	AS		1.150	m^2	
Longuitud teorica del desarenador	L		3.83	m	Según cepis
Ancho	b		0.30	m	Usar B de Canal de Entrada
Altura de Agua en el Canal de Llegada	Hagua	$\frac{Q_d}{b*V}$	0.18	m	
Borde libre	BL		0.20	m	Asumido
Largo	L	$\frac{V*H_{agua}*86400}{C_s}$	3.83	m	
Altura calculada del desarenador (Hc)			1.10	m	
Radio Hidráulico	Rh	A/P	0.0813	m	
		Rh2/3	0.1877		
Pendiente Longitudinal del Desarenador	S	$S = \left(\frac{n * V}{Rh^{2/3}}\right)^{2}$	0.7752	%	
Pérdidas en el desarenador	Hf	S*L	0.0297	m	

Tabla d8: Cálculos de desarenador

	Zona de Lodos										
Parámetros	Simbología	Ecuaciones	Datos	Unidades	Criterios						
Cantidad de material retenido	Cant.retenida		0.029	Its/m3	Zona Residancial, OPS/OMS/CEPIS						
Volumen Sedimentado	Vsed	Q * Cant.retenida * t	600.404	Its							
Volumen requerido de tolva	Vol.Req.Tolva	Vsed	0.600	m3							
Altura de Tolva propuesta	Htolva		0.60	m							
Ancho	b		0.30	m							
Largo	L		3.83	m							
Volumen propuesto de tolva	Vtolva	$H_{Tolva} * b * L$	0.690	m3	≥Vol.Req.tolva, Cumple						
Altura Total del Desarenador	Htotal	Σ Hagua + Htolva + BL	0.98	m							

Tabla d 9: Selección de canaleta Parshall

Parámetros	Simbología	Datos	Unidades	Criterios
Caudales de Diseño	Qmin	0.00101	m3/seg	> 0.0008
	Qd	0.01598	m3/seg	< 0.0538
Ancho de Canal	В	0.30	m	
Ancho de Garganta	W'	0.15	m	1/3 - 1/2 de B
Ancho de Garganta Seleccionado	W	0.076	m	
	A	0.467	m	
	2/3 A	0.311	m	-
	Wc	0.198	m	-
	В	0.457	m	-
	С	0.178	m	-
	D	0.259	m	-
	E	0.61	m	-
	F	0.152	m	-
	G	0.305	m	-
	К	0.025	m	-
Dimensiones de Canal Parshall Seleccionado	N	0.057	m	
	R	0.406	m	-
	M	0.305	m	-
	Р	0.768	m	-
	X	0.025	m	
	Y	0.038	m	_
	k	0.1765		1
	n	1.547		1

Tabla d10: Selección de canaleta Parshall

Parámetros	Simbología	Ecuaciones	Datos	Unidades	Criterios
Carga piezométrica en Wc (Tramo convergente)	На	ⁿ √Qmax/k	0.21	m	Despejando Q = KHn
carga piezométrica en tramo contraído	Hb	ⁿ √Qmn/k	0.04	m	
Ahogamiento		Hb Ha	16.74	%	< 60 %, Cumple
Velocidad en la sección Wc	Vo	Q Wc * Ha	0.38	m/seg	
Carga total en la sección Wc	Нс	$\frac{\text{Vo}^2}{2\text{g}} + \text{Ha} + \frac{\text{M}}{4}$	0.30	m	
Caudal específico en W	Q	$\frac{Q}{W}$	0.21	m³/m/seg	

Tabla d11: Selección de canaleta Parshall

Angulo θ	Θ		1.57	rad	
Velocidad antes del resalto	V ₁	$2\left[\left(\frac{2g*Eo}{3}\right)^{0.5}*\cos\left(\frac{\emptyset}{3}\right)\right]$	2.41	m/seg	2.5 m/seg - 3 m/seg
Altura de Agua antes del resalto	h ₁	<u>q</u> V1	0.09	m	
Fronde	F	$\frac{V1}{\sqrt{g*h1}}$	2.6		Régimen Supercrítico
Altura de Agua en el resalto	h ₂	$\frac{h1}{2}\Big[\sqrt{(1+8f^2)}-1\Big]$	0.28	Э	h1 < h2, 0K!!
Velocidad en el resalto	V ₂	Q W * h2	0.75	m/seg	
Altura de agua en la salida del canal	h ₃	h2 – (N – k)	0.25	m	
Velocidad en la sección de salida	V ₃	Q C * h3	0.36	m/seg	
Pérdidas	Hf	$\frac{(h2 - h1)^3}{4 * h2 * h1}$	0.07	m	

Tabla d12: Selección de canaleta Parshall

Ahoga	miento	ŀ	Hb/Ha < 60 %	%					Hb/Ha < 70) %			
L	n	7	15	22	30	45	60	90	120	150	180	210	240
W (cm)	7.6	15.2	22.9	30.5	45.7	61	91.5	121.9	152.4	182.9	213.4	243.8
A (0	cm)	46.7	62.1	88	137.2	144.8	152.4	167.6	182.9	198.1	213.4	228.6	243.8
2/3 A	(cm)	31.1	41.4	58.7	91.4	96.5	101.6	11.8	121.9	132.1	142.3	152.4	162.6
Wc	cm	19.8	31.5	46	66.5	83.6	120.3	135.3	169.8	204.3	238.8	273.3	307.7
В	cm	45.7	61	86.4	134.3	134.3	149.5	164.5	179.4	194.3	209.2	224.2	239.1
C	cm	17.8	39.4	38.1	61	76.2	91.4	121.9	152.4	182.9	213.4	243.8	274.3
Do	cm	25.9	39.7	57.5	84.5	102.6	149.9	157.2	193.7	230.2	266.7	333.2	339.7
E	cm	61	61	76.2	91.4	91.4	91.4	91.4	91.4	91.4	91.4	91.4	91.4
F	cm	15.2	30.5	30.5	61	61	61	61	61	61	61	61	61
G	cm	30.5	61	45.7	91.4	91.4	91.4	91.4	91.4	91.4	91.4	91.4	91
K	cm	2.5	7.6	7.6	7.6	7.6	7.6	7.6	7.6	7.6	7.6	7.6	7.6
N o	cm	5.7	11.4	11.4	22.9	22.9	22.9	22.9	22.9	22.9	22.9	22.9	22.9
R	cm	40.6	40.6	40.6	50.8	50.8	50.8	50.8	61	61	61	61	61
М	cm	30.5	30.5	30.5	38.1	38.1	38.1	38.1	45.7	45.7	45.7	45.7	45.7
Po	cm	76.8	90.2	108	149.2	167.6	185.4	222.3	171.1	308	344.2	381	417.2
Χd	cm	2.5	7.6	7.6	7.6	7.6	7.6	7.6	7.6	7.6	7.6	7.6	7.6
Y	cm	3.8	7.6	7.6	7.6	7.6	7.6	7.6	7.6	7.6	7.6	7.6	7.6
Caudal	Minimo	0.0008	0.0014	0.0025	0.0031	0.0042	0.0119	0.0173	0.0368	0.0453	0.0736	0.085	0.0991
de Flujo Libre	Maximo	0.0538	0.1104	0.252	0.4559	0.6966	0.9373	1.4272	1.9227	2.4239	2.9308	3.4377	3.9502

Tabla d13: Selección de canaleta Parshall

	Valores de calibración							
W cm	k	n						
7.6	0.1765	1.547						
15.2	0.381	1.58						
22.9	0.535	1.53						
30.5	0.69	1.522						
45.7	1.054	1.538						
61	1.426	1.55						
92.5	2.182	1.556						
122	2.935	1.578						
152.5	3.728	1.587						
183.2	4.515	1.595						
213.5	5.306	1.601						
244	6.101	1.606						
30 - 240	Q = 0.372 * W * (3.281 Ha)) ^{1.568} W ^{0.026}						

Tabla d14: Cálculo de tanque Imhoff

Parámetros	Simbología	Ecuaciones	Datos	Unidades	Criterios
Población	Р		5,176.00	hab	
Dotación	Dot		105.00	lppd	Consumo Historico
Sólidos en suspensión	SS		435.00	mg/lt	Caract. Santo Ch.
DBO5 afluente	So		411.00	mg/lt	Caract. Santo Ch.
Caudal medio	Qm	$Q_m = \frac{P * Dot * 0.8}{86400 \text{ seg/dia}}$	0.0050	m3/seg	
Course man aémite de DDOS	-	So x (Dot x 0.8)	34.52	grDBO/hab/día	
Carga per cápita de DBO5	q		0.035	KgDBO/hab/día	
Carga diaria de DBO	СТА	q*P	178.70	KgDBO/día	
Coliformes fecales en el afluente	CFA		7,670,000.00	NMP/100 ml	Asumido
Porcentaje de remoción de DBO	R	DBO por día Qm	50.00	%	40% - 60 %, CEPIS
Concentración de DBO5 en afluente	So		411.00	mg /lt	Comprobación de "So" dado por Laboratoio UNI 1999
Concentración DBO en efluente	S	So- (R *So)	205.50	mg /lt	
Remoción de coliformes			50.00	%	
Coliformes fecales en efluente	CFE	CFA-50% CFA	3,835,000.00	NMP / 100 ml	

Tabla d15: Cálculos de tanque Imhoff

	Cámara de sedimentación									
Parámetros	Simbología	Datos	Unidades	Criterios						
Carga superficial	Cs	1.35	m3/m2/hr	1.0 - 1.7, INAA						
Carga sobre el vertedero efluente		15.00	m3/m/hr	7 - 25, INAA						
Tiempo de retención	Trs	2.00	hr	2-4, INAA						
Velocidad horizontal del flujo	Vflujo	30.00	cm/min	INAA						
Relación	ΔL	4.00		INAA						
longitud/Ancho (ΔL/Δb)	Δb	1.00		INAA						
Pendiente del fondo	Δh	1.00		INIAA						
del sedimentador	Δν	1.00]	INAA						
Abertura de comunicación entre cámaras		25.00	cm	15 - 30, INAA						
Proyección horizontal del saliente		25.00	cm	15 - 30, INAA						
Número tanques	Ns	1.00								
Número de sedimentadores	Ns	1.00								

Tabla d16: Cálculos de tanque Imhoff

Parámetros	Simbología	Ecuaciones	Datos	Unidades	Criterios
Volumen total de sedimentación	Vs	Qm*Trs	36.23	m3	
Volumen por sedimentador	Vsu	V_s/N_s	36.23	m3	
Área superficial mínima del sedimentador	As	$Q_m/_{Cs}$	13.42	m2	
Área superficial mínima por sedimentador	Asu	$^{As}/_{Ns}$	13.42	m2	
Ancho de sedimentador	Bs	$\sqrt{^{Asu}/_{\Delta L}}$	1.83	m	
Longitud de sedimentador	Ls	$Bs * \Delta L$	7.33	m	
Área transversal triangular de sedimentador	Ats	$\frac{Bs}{2} * Hts$	0.84	m2	
Altura triangular de sedimentador	Hts	$\frac{Bs}{2} * h$	0.92	m	
Área transversal rectangular de sedimentador	Ars	$\frac{\mathit{Vsu} - (\mathit{Ats} * \mathit{Ls})}{\mathit{Ls}}$	2.24	m2	
Altura rectangular de sedimentador	Hrs	Ars/ _{Bs}	1.22	m	
Área transversal total de cada sedimentador	ATS	Ars + Ats	3.08	m2	
Altura total de cada sedimentador	HTS	Hrs + Hts	2.14	m	
Longitud minima del vertedero salida	Lv	lv: Qmax/ chv	0.06	m3 / m*dia	
Revisión de velocidad horizontal del flujo	Vflujo	$\frac{Qm}{ATS*Ns}$	9.80	cm/min	< 30 cm/min, Cumple

Tabla d17: Cálculos de tanque Imhoff

	Deflector	de espuma									
Parámetros	Simbología	Datos	Unidades	Criterios							
Por debajo de la superficie		30.00	cm	25-40 cm INAA							
Por encima de la superficie		30.00	aw	INAA							
Borde libre	BL	50.00	cm	45 - 60, INAA							
	Zona de Ventilación de Gases										
Parámetros	Simbología	Datos	Unidades	Criterios							
Anchura de abertura		0.60	m	45-75 m							
Separación entre sedimentadores		1.00	m	> 1.00 m Cepis							
Porcentaje		25.4%	%	15-30%							
	Cámara c	le Digestión									
Parámetros	Simbología	Datos	Unidades	Criterios							
Temperatura de agua	Та	26.40	°C								
Factor de capacidad relativa	fcr	0.50		Ver Cuadro D-2-1b							
Tiempo de retención de lodos	Trc	30.00	días	Ver Cuadro D-2-1a							
Pendiente del fondo	Δα	2.00		INAA							
Pendiente dei fondo	Δb	1.00		IINAA							
Tubería de extracción de lodos	Ф	25.00	cm	20 - 30, INAA							
i uperia de extracción de iodos		0.25	m	Al fondo de tanque							
Número de cámaras	Nc	1.00	und								
Altura trapezoidal	Htc	0.83	m	Htc=[(BM-Bm)/2]*Pfc							

Tabla d18: Cálculos de tanque Imhoff

Parámetros	Simbología	Ecuaciones	Datos	Unidades	Criterios
Carga Hidraulica Sobre El Vertedero	Chv		250.00	m3/ m*dia	125-500
Longitud de cada Cámara	Lc	Ic= Is/2	7.33	m	
Volumen por Cámara	Vcu	70 * P * fcr 1000	181.16	m3	OPS, CEPIS, 05 163, UNATSABAR
Base Mayor de Cámara de Lodos	ВМс	- 2Pa 2(Anghang da Ahantang)	4.33	m	
Base Menor de Cámara de Lodos	Bmc	= 2Bs + 2(Anchura de Abertura) + Separación entre Sedimentadores	1.00	m	
Altura en Zona Trapezoidal	Htc	$\frac{BMc - Bmc}{2*a}$	0.83	m	
Volumen en Zona Trapezoidal	Vtc	$\left(\frac{Htc}{3} * \left[(BMc * Lc) + Bmc^2 + \sqrt{(BMc * Lc) + Bmc^2} \right] \right) / Nc$	10.65	m3	
Volumen en Zona Recta de cada Cámara	Vrc	Vcu – Vtc	170.51	m3	
Altura de Lodos en Zona Recta de cada Cámara	Hrc	$\frac{Vrc}{Lc*BMc}$	5.37	m	
Distancia Libre hasta el nivel de Lodos			0.30	m	0.30-0.90 INAA
Altura total de la camara de digestion			6.51	m	
Altura Total del Tanque	HT		9.15	m	7.25 - 9.5, INAA

Tabla d19: Cálculos de lecho de Secado

		LECHO DE SEC	ADO		
Parámetros	Simbología	Datos	Unidades	Criterios	.
Densidad de los lodos	plodo	1.04	Kg/lt	CEPIS	
Solidos contenidos en los lodos	% Solidos	10.00	%	CEPIS	
Altura del lecho	HI	0.40	m	0.2 - 0.4 m, C	EPIS I
Parámetros	Simbología	Ecuaciones	Datos	Unidades	Criterios
Carga de sólidos que ingresa al sedimentador	С	$Q_m * SS$	189.13	Kg de SS/día	
Masa de sólidos que conforman los sólidos	Msd	0.325 * C	61.47	Kg de SS/día	
Volumen diario de lodos digeridos	Vld	$\frac{M_{sd}}{\rho_{lodos} * \left(\frac{\% S \'olidos}{100}\right)}$	591.03	lts/día	
Volumen de lodos a extraerse del tanque	V extracción	$V_{ld} * Trc$	17.73	m3	
Área del lecho de secado	Als	$\frac{V_{extracción}}{Hl}$	44.33	m2	
Ancho del lecho de secado	Bls		6.00	m	(3-6) m Cepis
Largo del lecho de secado	Lls	Als Bls	7.39		

Tabla d20: Cálculos de lecho de Secado

Temperatura de agua ºC	Tiempo de digestión en días	Factor de capacidad relativa
5.00	110.00	2.00
10.00	76.00	1.40
15.00	55.00	1.00
20.00	40.00	0.70
> 25	30.00	0.50

Tabla d21: Cálculos de biofiltro #1

Parámetros	Simbología	Ecuaciones	Datos	Unidades	Criterios
Coliformes Fecales en el	CFA		3.84E+06	NMP/100 ml	
Coliformes Fecales en el Efluente	CFE		1.87E+04	NMP/100 mlpar	> 1.00E+03, No Cumple
Coliformes Fecales	CFremov.		99.51	%	
DBO5 Afluente	So		205.50	mg/lt	
DBO5 Efluente Esperado	S		1.000	mg /lt	< 110, Cumple
DBO5 Removido	DBO5remov.		99.51	%	
Caudal Medio	3		0.00503	m3/seg	
Caudai Medio	Qm		434.7840	m3/día	
Medio Filtrante		Grava			
Porosidad	η		0.34		
Conductividad Hidráulica	Ks		8000	m/día	
Profundidad Media del Humedal	Hm		0.72	m	0.60 - 0.85 m
Temperatura del Agua en el Mes más Frío	Та	$10.443 + (0.688 * T_{aire})$	25.6	°C	
Constante de Biodegradación de la Materia Orgánica a 20°C	K20°C	$1.839 * 37.31 * \eta^{4.172}$	0.762	d-1	
Constante de Reacción de Primer Orden a Temperatura Ambiente	Kd(Ta)	$K_{20^{\circ}c} * 1.06^{(T_a - 20^{\circ}c)}$	1.054	d-1	

Tabla d22: Cálculos de biofiltro #1

Superficie Requerida										
Parámetros	Simbología	Ecuaciones	Datos	Unidades	Criterios					
Área Superficial Requerida	As	$\frac{Q_m * [\ln(S_o) - \ln(S)]}{K_{d(Ta)} * H_m * \eta}$	8972	m2						
Tiempo de Retención Hidráulica	Tr	$\frac{A_s*H_m*\eta}{Q_m}$	5.05	días						
Carga Orgánica	Lorg	$\frac{S_o * H_m * \eta}{T_r}$	99.58	KgDBO/ha*día	< 112, Cumple					
Carga Hidráulica	СН	$Q_m/_{A_s}$	484.59	m3/ha*d	470-1870, Cumple					

Tabla d23: Cálculos de biofiltro #1

	Diseño geométrico										
Parámetros	Simbología	Ecuaciones	Datos	Unidades	Criterios						
Número de Biofiltros	N	$A_s/_N$	1	unid							
Superficie Unitaria	Asu		8972	m2							
Caudal Unitario	Qmu	$Q_m/_N$	434.784	m3/día							
Pendiente del Fondo del Lecho	i		0.010	m/m	0.05-0.01						
Relacion Largo/Ancho	L/B		0.900								
Ancho Unitario	В	$\sqrt{\left(\frac{A_{su}}{N}\right)}$	100	m							
Largo Unitario	L	A_{su}/B	90	m							
Espesor de Tierra Superficial	Ht		0.10	m	0.05 - 0.15 m						
Altura de Borde Libre	BL		0.20	m	0.2 - 0.9 m						
Espesor del Lecho Filtrante en la Entrada del Biofiltro	H1	$H_m - \left(\frac{L}{2} * i\right)$	0.27	m							

Tabla d24: Cálculos de biofiltro #1

	Diseño geométrico								
Parámetros	Simbología	Ecuaciones	Datos	Unidades	Criterios				
Profundidad del Humedal en la Entrada del Biofiltro	He	$H_t + BL + H_l$	0.57	m					
Espesor del Lecho Filtrante en la Salida del Biofiltro	H2	$H_m + (L/2 * i)$	1.17	m					
Profundidad de Salida del Humedal	Hs	$H_t + BL + H_s$	1.47	m					
Talud a lo largo	zL		2/3						
Margen Extra de Longitud a la Entrada del Humedal	Le	$H_s/_{zL}$	0.86	m					
Margen Extra de Longitud a la Salida del Humedal	Ls	$H_s/_{zL}$	2.20	m					
Longitud Total de Biofiltro	Lt	$L + L_s + L_s$	93	m					
Talud de Entrada del Humedal	zB		2/3						
Margen Extra de la Base del Humedal	Bm	$H_e/_{zB}$	0.86	m					
Talud a lo ancho de la Salida del Humedal	zB'	$^{H_s}/_{B_m}$	4/7						

Tabla d25: Cálculos de biofiltro #2

	Diseño geométrico									
Parámetros	Simbología	Ecuaciones	Datos	Unidades	Criterios					
Número de Biofiltros	N		1	unid						
Superficie Unitaria	Asu	$A_s/_N$	8972	m2						
Caudal Unitario	Qmu	$Q_m/_N$	434.784	m3/día						
Pendiente del Fondo del Lecho	i		0.010	m/m	0.05-0.01					
Relacion Largo/Ancho	L/B		1							
Ancho Unitario	В	$\sqrt{\left(\frac{A_{su}}{N}\right)}$	100	m						
Largo Unitario	L	A_{su}/B	90	m						

Tabla d26: Cálculos de biofiltro #2

Diseño geométrico								
Parámetros	Simbología	Ecuaciones	Datos	Unidades	Criterios			
Espesor de Tierra Superficial	Ht		0.10	m	0.05 - 0.15 m			
Altura de Borde Libre	BL		0.20	m	0.2 - 0.9 m			
Espesor del Lecho Filtrante en la Entrada del Biofiltro	H1	$H_m - (L/2 * i)$	0.27	m				
Profundidad del Humedal en la Entrada del Biofiltro	Не	$H_t + BL + H_l$	0.57	m				
Espesor del Lecho Filtrante en la Salida del Biofiltro	H2	$H_m + (L/2 * i)$	1.17	m				
Profundidad de Salida del Humedal	Hs	$H_t + BL + H_s$	1.47	m				
Talud a lo largo	zL		2/3					
Margen Extra de Longitud a la Entrada del Humedal	Le	$H_e/_{zL}$	0.86	m				
Margen Extra de Longitud a la Salida del Humedal	Ls	$H_s/_{zL}$	2.20	m				
Longitud Total de Biofiltro	Lt	$L+L_e+L_s$	93	m				
Talud de Entrada del Humedal	zB		2/3					
Margen Extra de la Base del Humedal	Bm	$H_s/_{zB}$	0.86	m	_			
Talud a lo ancho de la Salida del Humedal	zB'	$H_s/_{B_m}$	4/7					

Tabla d27: Cálculos de laguna facultativa secundaria

Parámetros	Simbología	Ecuaciones	Datos	Unidades	Criterios
Población	Р		5.176	hab	
Dotación.	Dot		105,00	lppd	
Aporte de Agua Residual			0,80		
			5,032	Its/seg	
Caudal Medio	Qm		434784	lts/día	
			434,784	m³/día	
DBO₅ Afluente	So	S _o * Dot * 0.8	205,50	mg/lt	
Carga Percápita de DBO₅ Afluente	q		17,262	gr/hab*día	
Coliformes Fecales en el Afluente.	CFA		3,84E+06	NMP/100ml	
Parámetros	Simbología	Ecuaciones	Datos	Unidades	Criterios
Carga Total Aplicada de DBO5	СТА	$S_o * Q_m$	89,348	KgDBO/día	
Temperatura del Aire en el Mes más Frio.	T _{aire}		22,0	°C	
Temperatura del Agua en el Mes más Frío	Та	$10.443 + (0.688 * T_{airs})$	25,6	ů	
Carga Superficial Máxima	$CS_{máx}$	$357.4 * (1.085^{(T_a-20^{\circ}C)})$	478,583	KgDBO/Ha*di a	CEPIS
Carga Superficial Aplicada	CSA	0.4*CS _{máx}	191,433	KgDBO/Ha*di a	(70-90%)CS _{máx}
Ánna Tatal da Lammaa Facultatinaa	۸	OTA/004	0,467	На	
Área Total de Lagunas Facultativas	A_t	CTA/CSA	4667,322	m ²	
Número de Laguna	N		2	unid.	
Área Requerida por Laguna	A_u	$\frac{A_t}{N}$	2333,661	m²	

Tabla d28: Cálculos de laguna facultativa secundaria

Dimensionamiento por Laguna									
Parámetros	Simbología	Ecuaciones	Datos	Unidades	Criterios				
Altura de Agua	Н		1,800	m	1.5 - 2.5 m				
Relación Largo/Ancho	n	L/B	2	m	2:1 - 4:1				
Ancho en Superficie de Agua	В	$\sqrt{\left(\frac{A_u}{n}\right)}$	34,159	m					
Longitud en Superficie de Agua	L	n*B	68,318	m					
Talud Interno de Laguna	z	1/3	1/3						
Ancho Interior	b	$B-\left(2*H/_{Z}\right)$	23,359	m					
Longitud Interior	I	$L-\left(2*H/_{Z}\right)$	57,518	m					
Volumen de Laguna	V	$\frac{H}{6}*[B(2L+l)+b(2l+L)]$	3274,501	m^3					
Período Retención	Pr	$\frac{V}{Q_m/N}$	15,063	dias	7 - 15 días, Cumple				
		Borde Libre							
Parámetros	Simbología	Ecuaciones	Datos	Unidades	Criterios				
Aumento de largo y Ancho del perimetraje superior (L y B)	BL		2,000	m					
Ancho Total	Bt	B + BL	36,159	m	2542,614648				
Longitud Total	Lt	L + BL	70,318	m	0,254261465				
Altura Total	Ht	H + (BL * z)	2,133	m					

Tabla d29: Cálculos de laguna facultativa secundaria

1. Remocion de Materia Oraganica DBO5								
Parámetros	Simbología	Ecuaciones	Datos	Unidades	Criterios			
Constante de Biodegradación de la Materia Orgánica a 20°C	K _{20°C}	$\frac{P_r}{-14.77 + 4.46 * P_r}$	0,287	d ⁻¹				
Constante de Reacción de Primer Orden a Temperatura Ambiente	$K_{d(Ta)}$	$K_{20^{\circ}C} * 1.085^{(T_a+20^{\circ}C)}$	0,453	d ⁻¹				
		a. Marais Chow						
Parámetros	Simbología	Ecuaciones	Datos	Unidades	Criterios			
DBO Remanente en el Efluente	S	$\frac{S_o}{1 + (K_d * P_r)}$	26,264	mg/lt	< 30 mg/lt, Cumple			
Porcentaje Remanente de DBO5 en el Efluente	%S	100 * (^S / _{So})	12,781	%				
Porcentaje Removido DBO5 del Afluente		100 - %S	87,219	%				

Tabla d30: Cálculos de laguna facultativa secundaria

b. Cepis (Dr. Yänez)									
Parámetros	Simbología	Ecuaciones	Datos	Unidades	Criterios				
Carga superficial removida	CSremov	7.67 + (0.8063 * CSA)	162,023	kgDBO/Ha*dí a					
Carga superficial remanente	CSreman	$CSA - CS_{reman.}$	29,411	kgDBO/Ha*dí a					
Porcentaje remanente DBO5 en el efluente	%CSreman	$100 * \left({^{CS}_{reman.}}/_{CSA} \right)$	15,363	%					
Porcentaje removido DBO5 del afluente		$100-\% CS_{reman.}$	84,637	%					
Carga total aplicada en el efluente	CTA _{efluente}	$\mathit{CS}_{reman.}*A_t$	13,727	KgDBO/día					
Concentración DBO5 en el efluente	S	$rac{CTA_{efluente}}{Q_m}$	31,572	mg/lt	No Cumple				

Tabla d31: Cálculos de laguna facultativa secundaria

c. Thirmurty								
Parámetros	Simbología	Ecuaciones	Datos	Unidades	Criterios			
Factor geométrico	x	n	2					
Factor de dispersión	d	$\frac{x}{-0.26118 + 0.25392 x + 1.01368 x^2}$	0,465					
Factor "a" de DBO5	а	$\sqrt{1+\left(4*K_{d(T_a)}*d*P_r\right)}$	3,700					
DBO remanente en el efluente	s	$\frac{S_o * 4 * a * e^{\left(\frac{1-a}{2d}\right)}}{(1+a)^2}$	7,547	mg/lt	< 30 mg/lt, Cumple			
Porcentaje remanente DBO en el efluente	%S	100*(S/S _o)	3,672	%				
Porcentaje Removido DBO del Afluente		100 - %S	96,328	%				

Tabla d32: Cálculos de laguna facultativa secundaria

Remocion de Coliformes Fecales a. Marais Chow					
Coeficiente de Mortandad de Coliformes Fecales	Kb	$0.84*1.07^{(T_a-20)}$	1,225		
Coliformes Fecales Remanente en el Efluente	CFE	$\frac{CFA}{1+K_b+P_r}$	1,97E+05	NMP /100 ml	No Cumple
Porcentaje de Coliformes Fecales Remanente en el Efluente	%CFE	100 * (^{CFE} / _{CFA})	5,140	%	
Porcentaje de Coliformes Fecales Removido del Afluente		100-%CFE	94,860	%	
		c. Thirmurty	•		
Parámetros	Simbología	Ecuaciones	Datos	Unidades	Criterios
Factor "a"	а	$\sqrt{1+(4*K_b*d*P_r)}$	5,943	Adim	
Coliformes Fecales Remanente en el Efluente	CFE	$\frac{CFA*4*a*e^{\left(\frac{1-a}{2d}\right)}}{(1+a)^2}$	9,291E+0 3	NMP*/100ml	No Cumple
Porcentaje de Coliformes Fecales Remanente en el Efluente	%CFE	100 * (^{CFE} / _{CFA})	0,242	%	
Porcentaje de Coliformes Fecales Removido del Afluente		100-%CFE	99,758	%	

Tabla d33: Cálculos de laguna facultativa terciaria

Parámetros	Simbología	Ecuaciones	Datos	Unidades	Criterios
			5,032	lps	
Caudal Medio	Qm	Qm	434784,000	lpd	
			434,784	m3/d	
		Marais Chow	26,264	mg/l	< 30 mg/lt, Cumple
DBO₅ Afluente (Efluente de Lag. Fac. Sec.)	So	CEPIS	31,572	mg/l	No Cumple
g		Thirimurty	7,547	mg/l	< 30 mg/lt, Cumple
Coliformes Fecales Afluentes (Efluente de	CFA	Marais Chow	1,971E+05	NMP/100ml	No Cumple
Lag. Fac. Sec.)	CFA	Thirimurty	9,291E+03	NMP/100ml	No Cumple
Carga Total Aplicada	СТА		11,419	Kg/día	
(según Marais Chow, CEPIS y Thirimurty,			13,727	Kg/día	
respectivamente)		S _o * Dot * 0.8	3,281	Kg/día	
Área Total de Lagunas		Área Tatal da Lara Fara Oca	0,467	На	
Aeróbias	A_{t}	Área Total de Lag. Fac. Sec.	4667,322	m²	
Número de Lagunas	N		1,000	unid.	
Área Requerida por			0,467	На	
Laguna	Au		4667,322	m²	
Carga Superficial Aplicada			24,467	Kg DBO/Ha*d	< 150, Cumple
(según Marais Chow y Thirimurty, respectivamente)	CSA	CTA / A _t	7,030	Kg DBO/Ha*d	< 150, Cumple

Tabla d34: Cálculos de laguna facultativa terciaria

Dimensionamiento por Laguna										
Parámetros	Simbología	Ecuaciones	Datos	Unidades	Criterios					
Altura de Agua	Н		1,500	m	1.00 - 1.50 m					
Relación Largo/Ancho	n	L/B	2	m	2:1 - 4:1					
Ancho en Superficie de Agua	В	$\sqrt{\left(\frac{A_u}{n}\right)}$	48,308	m						
Longitud en Superficie de Agua	L	n * B	96,616	m						
Talud Interno de Laguna	Z	1/3	1/3							
Ancho Interior	b	$B-\left(2*H/z\right)$	39,308	m	0,344400692					
Longitud Interior	I	$L-\left(2*H/z\right)$	87,616	m	3444,006923					
Volumen de Laguna	V	$\frac{H}{6} * [B(2L+l) + b(2l+L)]$	6063,247	m³						
Período Retención	Pr	$\frac{V}{Q_m/N}$	13,945	dias	7 - 20, Cumple					
		Borde Libre								
Parámetros	Simbología	Ecuaciones	Datos	Unidades	Criterios					
Aumento de largo y Ancho del perimetraje superior (L y B)	BL		2,000	m						
Ancho Total	Bt	B + BL	50,308	m						
Longitud Total	Lt	L + BL	98,616	m						
Altura Total	Ht	H + (BL * z)	1,833	m						

Tabla d35: Cálculos de laguna facultativa terciaria

		Canal de Pantallas Deflectora	as		
Parámetros	Simbología	Ecuaciones	Datos	Unidades	Criterios
Ancho de Canal	B_{disp}	B/n	24,154	m	
Longitud de Canal	L_{disp}	nL	193,232	m	
		Remocion de Materia Oraganica	DBO5		
Parámetros	Simbología	Ecuaciones	Datos	Unidades	Criterios
Constante de Biodegradación de la Materia Orgánica a 20°C	K _{20°C}	$\frac{P_r}{-14.77 + 4.46 * P_r}$	0,294	d ⁻¹	
Temperatura del Aire en el Mes más Frio.	T_{aire}		22,0	°C	
Temperatura Superficial del Agua.	Та	$10.443 + (0.688 * T_{aire})$	25,6	°C	
Constante de Reacción de Primer Orden a Temperatura Ambiente	$\mathbf{K}_{d(Ta)}$	$K_{20^{\circ} c} * 1.085^{(T_a + 20^{\circ} c)}$	0,464	d ⁻¹	
		a. Marais Chow			
Parámetros	Simbología	Ecuaciones	Datos	Unidades	Criterios
DBO Remanente en el Efluente	S	$\frac{S_o}{1 + (K_d * P_r)}$	3,519	mg/lt	< 30 mg/lt, Cumple
Porcentaje Remanente de DBO5 en el Efluente	%S	100 * (^S / _{So})	13,398	%	
Porcentaje Removido DBO5 del Afluente		100 - %S	86,602	%	

Tabla d 36: Cálculos de laguna facultativa terciaria

	b. Cepis (Dr. Yänez)										
Parámetros	Simbología	Ecuaciones	Datos	Unidades	Criterios						
Carga Superficial Aplicada de Lag. Facultativa Primaria	CSA _{Lag.} Fac. Prim		191,433	Kg DBO₅/Ha*d							
Relación DBO _{total} /DBO _{Soluble}		DBO _{total} /DBO _{Soluble}	2,10		Ver Cuadro D-3-2a al final						
Carga Superficial Remanente en Lag. Facultativa Primaria	CS _{reman.} Lag. Fac. Prim.		29,411	Kg DBO₅/Ha*d							
Carga Superficial Aplicada (según CEPIS)	CSA (CEPIS)	(DBO _{total} /DBO _{Soluble}) * CS _{reman. Lag. Fac. Prim.}	62	Kg DBO₅/Ha*d	< 150, Cumple						
Carga Superficial Removida	CS _{remov}	0.765*CSA (CEPIS) - 0.8	46,448	Kg DBO₅/Ha*d							
Carga Superficial Remanente	CS _{reman}	CSA (CEPIS) - CS _{remov}	15,314	Kg DBO₅/Ha*d							
Carga Total en el Efluente	CTA _{efluente}	CS _{reman} * A _t	7,148	Kg/día							
Concentración de DBO5 en el Efluente	S	CTA _{efluente} /Qm	16,439	mg/l	< 30 mg/lt, Cumple						

Tabla d37: Cálculos de laguna facultativa terciaria

	c. Thirmurty									
Parámetros	Simbología	Ecuaciones	Datos	Unidades	Criterios					
Factor Geométrico	х	$L_{ m disp}/B_{ m disp}$	8							
Factor de dispersión	d	$\frac{x}{-0.26118 + 0.25392 x + 1.01368 x^2}$	0,120							
Factor "a" de DBO5	а	$\sqrt{1+\left(4*K_{d(T_a)}*d*P_r\right)}$	2,026							
DBO Remanente en el Efluente	S	$\frac{S_o * 4 * a * e^{\left(\frac{1-a}{2d}\right)}}{(1+a)^2}$	0,093	mg/lt	< 30 mg/lt, Cumple					
Porcentaje Remanente DBO en el Efluente	%S	100*(S/S _o)	1,234	%						
Porcentaje Removido DBO del Afluente		100 - %S	98,766	%						

Tabla d38: Cálculos de laguna facultativa terciaria

	2. Remocion de coliformes fecales									
a. Marais Chow										
Parámetros	Simbología	Ecuaciones	Datos	Unidades	Criterios					
Coeficiente de mortandad de coliformes fecales	Kb	$0.84 * 1.07^{(T_a-20)}$	1,225	mg/lt	< 30 mg/lt, Cumple					
Coliformes fecales remanente en el efluente	CFE	$\frac{CFA}{1+K_b+P_r}$	1,09E+04	NMP/100 ml	No Cumple					
Porcentaje de coliformes fecales remanente en el efluente	%CFE	100 * (^{CFE} / _{CFA})	5,529	%						
Porcentaje de coliformes fecales removido del afluente		100-%CFE	94,471	%						
		c. Thirmurty								
Parámetros	Simbología	Ecuaciones	Datos	Unidades	Criterios					
Factor "a"	а	$\sqrt{1+(4*K_b*d*P_r)}$	3,034	Adim						
Coliformes fecales remanente en el efluente	CFE	$\frac{CFA*4*a*e^{\left(\frac{1-a}{2d}\right)}}{(1+a)^2}$	1,451E+00	NMP/100ml	< 1.00E+3, Cumple					
Porcentaje de coliformes fecales remanente en el efluente	%CFE	100 * (^{CFE} / _{CFA})	0,001	%						
Porcentaje de coliformes fecales removido del afluente		100-%CFE	99,999	%						

ANEXO E: Costos y presupuesto del proyecto

Tabla e1: Costo de alcantarillado sanitario

ETAPA	SUB ETAPA	DESCRIPCION	U/M	CANTIDAD	COSTO C\$		
					UNITARIO	TOTAL	
1	1	Preliminares	Glb			90,211.8	
	1.1	Limpieza Inicial	m²	352.00	15.6	5,491.2	
	1.2	Trazo y Nivelación	m	5,220.00	16.23	84,720.6	
2	2	Sistema de Recolectoras	Glb				
	2.1	Tuberías de 6"				4,583,259.77	
	2.1.1	Excavación, Relleno y compactación	m³				
	2.1.1.1	Profundidad de 1.65 a 2.00 m	m³	7,390.465	198.97	1,470,480.82	
	2.1.1.2	Profundidad de 2.00 a 2.50 m	m³	2,500.07	208.92	522,314.62	
	2.1.1.3	Profundidad de 2.50 a 3.00 m	m³	1,917.73	219.36	420,673.25	
	2.1.1.4	Profundidad de 3.00 a 3.50 m	m³	1,526.165	230.33	351,521.58	
	2.1.1.5	Profundidad de 3.50 a 4.00 m	m³	767.44	241.85	185,605.36	
	2.1.1.6	Profundidad de 4.00 a 4.50 m	m³	103.21	253.94	26,209.14	

Tabla e2: Costo de alcantarillado sanitario

	SUB ETAPA	DESCRIPCION	U/M	CANTIDAD	COSTO C\$		
ETAPA	DESCRIPCION	U/IVI	CANTIDAD	UNITARIO	TOTAL		
2	2.1.1.7	Profundidad de 4.50 a 5.00 m	m³	0	266.64	0	
	2.1.1.8	Profundidad de 5.00 a 5.50 m	m³	0	279.97	0	
	2.1.1.9	Profundidad de 5.50 a 6.00 m	m³	0	293.97	0	
	2.1.1.10	Profundidad de 6.00 a 6.50 m	m³	0	308.67	0	
	2.1.2	Suministro e instalación de tubería.	m	5,220.00	294.00	1,534,680.00	
	2.1.3	Prueba de Tuberías	m	5,220.00	13.75	71,775.00	
3	3	Obras de Registro			1,222,669.86		
	3.1	Pozos de Visita Sanitario					
	3.1.1	Profundidad de 1.65 a 2.00 m	C/U	77	9,685.00	745,745.00	
	3.1.2	Profundidad de 2.00 a 2.50 m	C/U	9	10,584.46	95,260.14	
	3.1.3	Profundidad de2.50 a 3.00 m	C/U	9	12,933.96	116,405.64	
	3.1.4	Profundidad de 3.00 a 3.50 m	C/U	9	18,116.96	163,052.64	
	3.1.5	Profundidad de 3.50 a 4.00 m	C/U	3	19,326.42	57,979.26	
	3.1.6	Profundidad de 4.00 a 4.50 m	C/U	2	22,113.59	44,227.18	
	3.1.7	Profundidad de 4.50 a 5.00 m	C/U	0	0	0	
	3.1.8	Profundidad de 5.00 a 5.50 m	C/U	0	0	0	
	3.1.9	Profundidad de 5.50 a 6.00 m	C/U	0	0	0	
	3.1.10	Profundidad de 6.00 a 6.50 m	C/U	0	0	0	

Tabla e3: Costo de alcantarillado sanitario

	SUB ETAPA	DESCRIPCION	U/M	CANTIDAD	COS	STO C\$
ETAPA	SSS ETALA	,	CANTIDAD	UNITARIO	TOTAL	
4	4	Conexiones Domiciliares	C/U	390		1,425,534.00
_	4.1	A Colector de 6"				
-	4.1.1	Conexiones Cortas (0.0 - 3.5 m)	C/U	240	265	63,600.00
_	4.1.2	Conexiones Largas (3.5 - 5.5 m)	C/U	150	433	64,950.00
_	4.2	Cajas de Registro				
-	4.2.1	Cajas de Concreto	C/U	390	3,325.60	1,296,984.00
5	5	Rotura y Reposición de Carpeta				717,458.85
-	5.1	Adoquinado	m²	5,314.51	135	717,458.85
6	6	Mitigación de Impactos				32,000.00
_	6.1	Medidas de Prevención de Accidentes	Glb	1	32,000.00	32,000.00
7	7.1	Limpieza Final	m²	5,220.00	126	657,720.00

Tabla e4: Costo de alcantarillado sanitario

d) Total	C\$8,728,854.3
e) Costo unitario directo	C\$8,728,854.3
f) Costo unitario directo (15% d)	C\$1,309,328.1
g) Costo unitario de administración y utilidad (10% d)	C\$872,885.4
h) Precio de venta sin impuesto (d+f+g)	C\$10,911,067.9
i) Impuesto a la Alcaldía (1% de h)	C\$109,110.7
j) Impuesto general de venta (15% de h+i)	C\$1,636,660.2
k) Precio de venta con impuesto (h+i+j)	C\$12,656,838.7

Tabla e5: Preliminares

ETAPA	SUB-ETAPA	DESCRIPCION	CANTIDAD	UNIDAD	COSTO (C\$)		
					UNITARIO	TOTAL	
1.0	1	Limpieza Inicial		Global		6,625,173.52	
	1.1	Limpieza general de todo el campo de tratamiento	9,778.20	m²	13	127,116.60	
	1.2	Trazado y nivelación de obras preliminares	361.06	m	21	7,582.26	
	1.3	Excavación, relleno y compactación	39,576.07	m³	164	6,490,474.66	
2.0	2	Construcción del canal				6,963.91	
	2.1	Cemento	9.00	Bolsas	295	2,655.00	
	2.2	Arena	0.71	m³	765	545.78	
	2.3	Grava	0.95	m³	980	930.57	
	2.4	Varilla de Acero de 3/8"	43.00	Lbs	18	774.00	
	2.5	Varilla de Acero de 1/4"	3.00	Lbs	18	54.00	
	2.6	Alambre de acero No 18	3.00	Lbs	27	81.00	
	2.7	Formaleta	1.32	m²	228	300.96	
	2.8	Mano de Obra	4.27	m²	380	1,622.60	

Tabla e6: Preliminares

ETAPA	SUB-ETAPA	DESCRIPCION	CANTIDAD	UNIDAD	COSTO (C\$)		
					UNITARIO	TOTAL	
3.0	3	Construcción de reja				13,143.76	
	3.1	Cemento	7.00	Bolsas	295	2,065.00	
	3.2	Arena	0.49	m³	765	374.85	
	3.3	Grava	0.67	m³	980	653.66	
	3.4	Varilla de Acero de 3/8"	13.00	Lbs	18	234.00	
	3.5	Varilla de Acero de 1/5"	8.00	Lbs	18	144.00	
	3.6	Platina metálica de 3/4 * 3/16	1.42	Unidad	872	1,238.24	
	3.7	Lámina metálica de 1/4"	558.00	pulg ²	14	7,812.01	
	3.8	Electrodos soldadores	1.00	Caja	545	545.00	
	3.9	Mano de obra	1.00	Unidad	77	77.00	
4.0	4	Construcción del desarenado				44,402.72	
	4.1	Cemento	37.00	Bolsas	295	10,915.00	
	4.2	Grava	3.10	m³	765	2,371.50	
	4.3	Arena	4.11	m³	980	4,027.80	
	4.4	Varilla de Acero de 3/8"	192.19	Lbs	18	3,459.42	
	4.5	Varilla de Acero de 1/4"	400.00	Lbs	18	7,200.00	
	4.6	Alambre de amarre No 18	23.00	Lbs	27	621.00	
	4.7	Formaleta	36.00	m²	228	8,208.00	
	4.8	Mano de Obra	20.00	m²	380	7,600.00	

Tabla e7: Preliminares

ETAPA	SUB-ETAPA	DESCRIPCION	CANTIDAD	UNIDAD		COSTO (C\$)
					UNITARIO	TOTAL
5.0	5	Medidor Parshall				31,855.91
	5.1	Cemento	12.00	Bolsas	295	3,540.00
	5.2	Arena	0.83	m³	765	634.95
	5.3	Grava	1.10	m³	980	1,078.00
	5.4	Varilla de Acero de 3/8"	162.62	Lbs	18	2,927.16
	5.5	Varilla de Acero de 1/4"	76.00	Lbs	18	1,368.00
	5.6	Formaleta	11.00	m²	228	2,508.00
	5.7	Mano de Obra	10.71	m²	380	4,069.80
	5.8	Medidor Parshall prefabricado	1.00	Unidad	15730	15,730.00
6.0	6	Caja de Recolección y distribución				10,999.46
	6.1	Bloque de (0.40*0.15*17)	10.00	Unidad	17	170.00
	6.2	Cemento	12.00	Bolsas	295	3,540.00
	6.3	Arena	0.82	m³	765	627.30
	6.4	Grava	1.55	m³	980	1,519.00
	6.5	Varilla de Acero de 3/8"	139.50	Lbs	18	2,511.00
	6.6	Varilla de Acero de 1/4"	83.70	Lbs	18	1,506.60
	6.7	Formaleta	2.62	m²	228	597.36
	6.8	Mano de Obra	1.39	m²	380	528.20

Tabla e8: Preliminares

ETAPA	SUB-ETAPA	DESCRIPCION	CANTIDAD	UNIDAD	COSTO (C\$)		
					UNITARIO	TOTAL	
7.0	7	Canal de Evacuación de Agua				1,022,207.66	
	7.1	Cemento	403.08	Bolsas	295	118,909.19	
	7.2	Arena	41.96	m³	765	32,099.40	
	7.3	Grava	33.57	m³	980	32,900.56	
	7.4	Ladrillo Cuarterón	8,258.00	Unidad	7	57,806.00	
	7.5	Varilla de Acero de 3/8"	20,751.42	Lbs	18	373,525.56	
	7.6	Varilla de Acero de 1/4"	19,584.03	Lbs	18	352,512.54	
	7.7	Alambre de acero No 18	2,016.83	Lbs	27	54,454.41	
8.0	8	Operación y Acabado				849,881.75	
	8.1	Malla Ciclón	6.00	Unidad	2500	15,000.00	
	8.2	Tubo de Acero 4" Galvanizado	265.00	Unidad	2020	535,300.00	
	8.3	Cemento	57.00	Bolsas	295	16,815.00	
	8.4	Arena	5.63	m³	765	4,306.95	
	8.5	Grava	6.26	m³	980	6,134.80	
	8.6	Piedra Cantera	940.00	Unidad	40	37,600.00	
	8.7	Varilla de Acero de 3/8"	1,355.00	Lbs	18	24,390.00	
	8.8	Varilla de Acero de 1/4"	1,873.00	Lbs	18	33,714.00	
	8.9	Alambre de acero No 18	68.00	Lbs	27	1,836.00	
	8.10	Electrodos soldadores	10.00	Caja	550	5,500.00	
	8.11	Alambre de Púas	5.00	Unidad	763	3,815.00	
	8.12	Arborización	1.00	Global	2500	2,500.00	
	8.13	Limpieza Final	32,594.00	m²	5	162,970.00	

Tabla e9: Preliminares

d) Costo Total Directo	C\$	8,604,628.69
e) Costos Indirectos (15% * d)	C\$	1,335,185.11
f) Utilidades (10% * d)	C\$	890,123.41
g) Precio de venta sin impuesto (d+e+f)	C\$	11,126,542.61
h) Impuesto a la Alcaldía (1% de g)	C\$	111,265.43
i) Impuesto (15% de g+h)	C\$	1,685,671.20
j) Precio de venta con impuesto (g+h+i)	C\$	12,923,479.24

Tabla e10: Tanque Imhoff

ETAPA	SUB-ETAPA	DESCRIPCION	CANTIDAD	UNIDAD	COSTO (C\$)	
					UNITARIO	TOTAL
1.0	1	Mano de Obra				158,899.75
	1.1	Trazado y Nivelación	65.36	m	21	1,372.56
	1.2	Operador de Excavadora	14.00	Hrs	40	560.00
	1.3	Operador de Vibro compactadora	6.00	Hrs	40	240.00
	1.4	Operador de Mezcladora	194.01	Hrs	40	7,760.52
	1.5	Operador de Compactadora Manual	131.56	Hrs	35	4,604.60
	1.6	Oficial Carpintero	167.35	Hrs	42	7,028.70
	1.7	Ayudante Carpintero	167.35	Hrs	28	4,685.80
	1.8	Ayudante Armador	3,337.91	Hrs	35	116,826.85
	1.9	Oficial Fontanero	20.00	Hrs	42	840.00
	1.10	Oficial Albañil	187.26	Hrs	50	9,362.95
	1.11	Ayudante Albañil	187.26	Hrs	30	5,617.77

Tabla e11: Tanque Imhoff

ETAPA	SUB-ETAPA	DESCRIPCION	CANTIDAD	UNIDAD	COSTO (C\$)	
					UNITARIO	TOTAL
2.0	2	Materiales				680,417.53
	2.1	Formaleta	510.11	m²	228	116,305.99
	2.2	Cemento	332.00	Bolsas	295	97,940.00
	2.3	Arena	28.00	m³	765	21,420.00
	2.4	Grava	37.00	m³	980	36,260.00
	2.5	Varilla de Acero de 3/8"	174.64	Lbs	18	3,143.54
	2.6	Varilla de Acero de 1/2"	3,701.00	Lbs	21	77,721.00
	2.7	Varilla de Acero de 5/8"	5,862.52	Lbs	25	146,563.00
	2.8	Alambre de Acero No 18	3,562.00	Lbs	27	96,174.00
	2.9	Motobomba	1.00	Unidad	62500	62,500.00
	2.1	Tubo PVC SDR 41 8"	4.00	Unidad	1984	7,936.00
	2.11	Camisa de 8"	3.00	Unidad	918	2,754.00
	2.12	Yee 8"	1.00	Unidad	1000	1,000.00
	2.13	Codo 45 8"	1.00	Unidad	200	200.00
	2.14	Válvula de pase 8"	1.00	Unidad	10500	10,500.00

Tabla e12: Tanque Imhoff

ETAPA	SUB-ETAPA	DESCRIPCION	CANTIDAD	UNIDAD	COSTO (C\$)	
					UNITARIO	TOTAL
3.0	3	Equipos				138,800.91
	3.1	Vibro compactadora	6.00	Hrs	850	5,100.00
	3.2	Mezcladora	194.01	Hrs	485	94,096.31
	3.3	Compactadora Manual	131.56	Hrs	35	4,604.60
	3.4	Excavadora	14.00	Hrs	2500	35,000.00

Tabla e13: Tanque Imhoff

d) Costo Total Directo	C\$	978,118.19
e) Costos Indirectos (15% * d)	C\$	146,717.73
f) Utilidades (10% * d)	C\$	97,811.81
g) Precio de venta sin impuesto (d+e+f)	C\$	1,222,647.73
h) Impuesto a la Alcaldía (1% de g)	C\$	12,226.48
i) Impuesto (15% de g+h)	C\$	185,231.13
j) Precio de venta con impuesto (g+h+i)	C\$	1,420,105.34

Tabla e14: Lecho de secado

ETAPA	SUB-ETAPA	DESCRIPCION	CANTIDAD	UNIDAD	COSTO (C\$)	
					UNITARIO	TOTAL
1.0	1	Mano de Obra				9,404.27
	1.1	Trazado y Nivelación	28.28	m	38	1,074.64
	1.2	Operador de Tractor	12.05	Hrs	42	506.10
	1.3	Auxiliar de Operador de tractor	12.05	Hrs	31	373.55
	1.4	Operador de Carga Frontal	7.28	Hrs	38	276.64
	1.5	Operador de Camión Volquete	36.01	Hrs	38	1,368.38
	1.6	Operador de Mezcladora	32.79	Hrs	38	1,246.02
	1.7	Ayudante de Excavación	12.71	Hrs	31	394.01
	1.8	Oficial Albañil	7.26	Hrs	46	333.96
	1.9	Ayudante Albañil	7.26	Hrs	31	225.06
	1.10	Oficial Fontanero	15.08	Hrs	46	693.68
	1.11	Ayudante Fontanero	15.08	Hrs	31	467.48
	1.12	Oficial Armador	24.49	Hrs	46	1,126.54
	1.13	Ayudante Armador	24.49	Hrs	31	759.19
	1.14	Oficial Carpintero	7.26	Hrs	46	333.96
	1.15	Ayudante Carpintero	7.26	Hrs	31	225.06

Tabla e 15: Lecho de secado

ETAPA	SUB-ETAPA	DESCRIPCION	CANTIDAD	UNIDAD	COSTO (C\$)	
					UNITARIO	TOTAL
2.0	2	Materiales				88,587.55
	2.1	Cemento	46.19	Bolsas	295	13,626.05
	2.2	Arena	3.84	m³	765	2,937.60
	2.3	Grava	5.57	m³	980	5,458.60
	2.4	Hormigón Rojo Semi-Cribado	3.94	m³	1418	5,586.92
	2.5	Ladrillo Rojo Cuarteron (23 cm*5cm*11cm)	1400.8	Unidad	8	11,206.40
	2.6	Varilla de Acero de 3/8"	1692.99	Lbs	18	30,473.82
	2.7	Alambre de Amarre No 18	84.65	Lbs	18	1,523.70
	2.8	Formaleta	46.53	m²	382	17,774.46
3.0	3	Equipos				83,680.75
	3.1	Tractor de Oruga	13.39	Hrs	1960	26,244.40
	3.2	Cargador Frontal	8.05	Hrs	1472	11,849.60
	3.3	Camión Volquete	38.5	Hrs	895	34,457.50
	3.4	Mezcladora	23.43	Hrs	475	11,129.25

Tabla e16: Lecho de secado

d) Costo Total Directo	C\$	181,672.57
e) Costos Indirectos (15% * d)	C\$	27,250.89
f) Utilidades (10% * d)	C\$	18,167.26
g) Precio de venta sin impuesto (d+e+f)	C\$	227,090.71
h) Impuesto a la Alcaldía (1% de g)	C\$	2,270.91
i) Impuesto (15% de g+h)	C\$	34,404.24
j) Precio de venta con impuesto (g+h+i)	C\$	263,765.86

Tabla e17: Biofiltro

ETAPA	SUB-ETAPA	DESCRIPCION	CANTIDAD	UNIDAD		COSTO (C\$)
					UNITARIO	TOTAL
1.0	1	Mano de Obra				108,314.86
	1.1	Trazado y Nivelación	404.12	М	38.00	15,356.56
	1.2	Operador de Tractor D6R XL	109.45	Hrs	38.00	4,159.10
	1.3	Auxiliar de Operador de tractor	109.45	Hrs	31.00	3,392.95
	1.4	Operador de Carga Frontal	121.02	Hrs	38.00	4,598.76
	1.5	Operador de Camión Volquete	169.63	Hrs	38.00	6,445.94
	1.6	Operador de Motoniveladora	82.08	Hrs	38.00	3,119.04
	1.7	Auxiliar de Motoniveladora	82.08	Hrs	31.00	2,544.48
	1.8	Operador de Compactadora	117.66	Hrs	38.00	4,471.08
	1.9	Operador de Cisterna	65.72	Hrs	38.00	2,497.36
	1.10	Operador de Mezcladora	0.58	Hrs	38.00	22.04
	1.11	Ayudante de Excavación	85.76	Hrs	31.00	2,658.56
	1.12	Oficial Albañil	723.99	Hrs	46.00	33,303.54
	1.13	Ayudante Albañil	723.99	Hrs	31.00	22,443.69
	1.14	Oficial Fontanero	17.15	Hrs	46.00	788.90
	1.15	Ayudante Fontanero	17.15	Hrs	31.00	531.65
	1.16	Oficial Armador	25.73	Hrs	46.00	1,183.58
	1.17	Ayudante Armador	25.73	Hrs	31.00	797.63
2.0	2	Materiales				3,811,367.33
	2.1	Piedra Volcánica	244.21	m³	525.00	128,207.63
	2.2	Hormigón Rojo sin Cribar	430.40	m³	470.00	202,288.00
	2.3	Geo membrana	10,350.47	m²	330.00	3,415,655.10
	2.4	Tubo PVC SDR 41 6"	17.00	Unidad	1,640.00	27,880.00
	2.5	Tee PVC SDR 41 6"	2.00	Unidad	330.00	660.00
	2.6	Cemento	14.00	Unidad	295.00	4,130.00
	2.7	Arena	1.28	m³	765.00	979.20
	2.8	Grava	1.73	m³	980.00	1,695.40
	2.9	Ladrillo de 2*4*12	420.00	Unidad	8.00	3,360.00

Tabla e 18: Biofiltro

ETAPA	SUB-ETAPA	DESCRIPCION	CANTIDAD	UNIDAD	COSTO (C\$)		
					UNITARIO	TOTAL	
2.0	2.10	Varilla de Acero de 1/4"	12.00	Lbs	18.00	216.00	
	2.11	Varilla de Acero de 3/8"	38.00	Lbs	18.00	684.00	
	2.12	Alambre de Acero No 18	4.00	Lbs	28.00	112.00	
	2.13	Brida 6"	2.00	Unidad	197.00	394.00	
	2.14	Tapón 6"	4.00	Unidad	435.00	1,740.00	
	2.15	Manguera Flexible 6"	1.00	m	95.00	95.00	
	2.16	Césped de Carrizo	7,757.00	Unidad	3.00	23,271.00	
3.0	3	Equipos				997,721.90	
	3.1	Tractor de Oruga	139.06	Hrs	1,960.00	272,557.60	
	3.2	Cargador Frontal	165.05	Hrs	1,470.00	242,623.50	
	3.3	Camión Volquete	231.35	Hrs	895.00	207,058.25	
	3.4	Motoniveladora	111.94	Hrs	895.00	100,186.30	
	3.5	Compactadora	160.47	Hrs	610.00	97,886.70	
	3.6	Camión Cisterna	89.63	Hrs	860.00	77,081.80	
	3.7	Mezcladora	0.69	Hrs	475.00	327.75	

Tabla 115: Biofiltro

d) Costo Total Directo	C\$	9,834,808.17
e) Costos Indirectos (15% * d)	C\$	1,475,221.23
f) Utilidades (10% * d)	C\$	983,480.82
g) Precio de venta sin impuesto (d+e+f)	C\$	12,293,510.21
h) Impuesto a la Alcaldía (1% de g)	C\$	122,935.10
i) Impuesto (15% de g+h)	C\$	1,862,466.80
j) Precio de venta con impuesto (g+h+i)	C\$	14,278,912.11

Tabla e19: Laguna facultativa

ETAPA	SUB-ETAPA	UB-ETAPA DESCRIPCION	CANTIDAD	UNIDAD	COSTO (C\$)		
					UNITARIO	TOTAL	
1.0	1	Laguna Facultativa				3649183.95	
	1.1	Excavación	12,149.07	m³	70.00	850435.11	
	1.2	Cemento	1,324.92	Bolsas	295.00	390851.4	
	1.3	Arena	98.39	m³	765.00	75268.35	
	1.4	Grava	170.29	m³	980.00	166884.2	
	1.5	Botado Tierra	13,354.67	m³	130.00	1736107.1	
	1.6	Acabado	5,891.57	m²	7.00	41240.99	
	1.7	Geomembrana	1,176.96	m²	330.00	388396.8	
2.0		Mano de Obra				108296.95	
	2.1	Operador de Tractor	197.48	Hrs	38.00	7504.24	
	2.2	Auxiliar de Operador de Tractor	197.48	Hrs	31.00	6121.88	
	2.3	Operador de Mezcladora	54.07	Hrs	38.00	2054.66	
	2.4	Operador de Carga Frontal	215.51	Hrs	38.00	8189.38	
	2.5	Operador de Camión Volquete	398.58	Hrs	38.00	15146.04	

Tabla e20: Laguna facultativa

ETAPA	SUB-ETAPA	DESCRIPCION	CANTIDAD	UNIDAD	COST	O (C\$)
					UNITARIO	TOTAL
2.0	2.6	Oficial Albañil	899.75	Hrs	46.00	41388.5
	2.7	Ayudante Albañil	899.75	Hrs	31.00	27892.25
3.0	3	Equipos				941578.65
	3.1	Tractor de Oruga	197.48	Hrs	1,960.00	387060.8
	3.2	Cargador Frontal	215.51	Hrs	1,470.00	316799.7
	3.3	Mezcladora	54.07	Hrs	895.00	48392.65
	3.4	Camión Volquete	398.58	Hrs	475.00	189325.5

Tabla e21: Laguna facultativa

d) Costo Total Directo	C\$	9,398,119.10
e) Costos Indirectos (15% * d)	C\$	1,409,717.87
f) Utilidades (10% * d)	C\$	939,811.91
g) Precio de venta sin impuesto (d+e+f)	C\$	11,747,648.88
h) Impuesto a la Alcaldía (1% de g)	C\$	117,476.49
i) Impuesto (15% de g+h)	C\$	1,779,768.80
j) Precio de venta con impuesto (g+h+i)	C\$	13,644,894.17

Fuente: Elaboración propia

Tabla e22: Laguna aerobia terciaria

ETAPA	SUB-ETAPA	DESCRIPCION	CANTIDAD	UNIDAD	COSTO (C\$)	
					UNITARIO	TOTAL
4.0	4	Laguna Anaerobia				4,508,212.10
	4.1	Excavación	9,238.53	m³	70.00	646,697.10
	4.2	Cemento	740.00	Bolsas	295.00	218,300.00
	4.3	Arena	69.00	m³	765.00	52,785.00
	4.4	Grava	120.00	m³	980.00	117,600.00

Tabla e23: Laguna aerobia terciaria

TAPA	SUB-	DESCRIPCION	CANTIDAD	UNIDAD	COSTO (C\$)	
	ETAPA				UNITARIO	TOTAL
4.0	4.5	Botado Tierra	10,800.00	m³	130.00	1,404,000.00
	4.6	Acabado	6,090.00	m²	7.00	42,630.00
	4.7	Geomembrana	6,140.00	m²	330.00	2,026,200.00
5.0		Mano de Obra				75,995.71
	5.1	Operador de Tractor	99.09	Hrs	38.00	3,765.42
	5.2	Auxiliar de Operador de Tractor	99.09	Hrs	31.00	3,071.79
	5.3	Operador de Mezcladora	43.01	Hrs	38.00	1,634.38
	5.4	Operador de Carga Frontal	117.49	Hrs	38.00	4,464.62
	5.5	Operador de Camión Volquete	196.42	Hrs	38.00	7,463.96
	5.6	Oficial Albañil	722.02	Hrs	46.00	33,212.92
	5.7	Ayudante Albañil	722.02	Hrs	31.00	22,382.62
6.0		Equipos				497,313.85
	6.1	Tractor de Oruga	98.38	Hrs	1,960.00	192,824.80
	6.2	Cargador Frontal	117.48	Hrs	1,470.00	172,695.60
	6.3	Camión Volquete	196.42	Hrs	475.00	93,299.50
	6.4	Mezcladora	43.01	Hrs	895.00	38,493.95

Tabla e24: Laguna aerobia terciaria

C\$	5,081,521.66
C\$	762,228.25
C\$	508,152.17
C\$	6,351,902.08
C\$	63,519.02
C\$	962,313.16
C\$	7,377,734.26
	C\$ C\$ C\$ C\$

ANEXO F: Estudio socioeconómico



Encuesta a población

Universidad Nacional de Ingeniería.

I. Introducción

Nosotros como estudiantes de la carrera de ingeniería civil, estamos aplicando este estudio para conocer la opinión de la población sobre la realización de un Diseño de la red de alcantarillado sanitario y del sistema de tratamiento de agua residual para el municipio de Comalapa, departamento de Chontales.

Objetivo de encuesta

 Aplicar una encuesta a la población de Comalapa que determine los datos que aporten a la Implementación de la Red de alcantarillado sanitario y del sistema de tratamiento de agua residual en la comunidad, asimismo, el comportamiento socio-demográfico, también, el índice habitacional en base a los valores poblacionales.

Instrucción

 Responda los datos generales con cifras exactas, ya que, sus datos influirán directamente en la viabilidad del proyecto para la ciudadanía.

Datos generales

Desarrollo

1. ¿Sexo de pers	sona encuestada?
Hombre	Mujer
2. ¿Años de pers	sonas encuestadas?

15-25 años
26-35 años
36-45 años
46-55 años
56-65 años
66 o más
3. Parentesco con el jefe de hogar
Esposa
Padre madre
Hijo hija
Yerno / nuera
Ayudante doméstico
Ninguna
Jefe de hogar
4. ¿jefe de hogar?
Hombre
Mujer
5. ¿Edad jefe de hogar?
15-25 años
26-35 años
36-45 años
46-55 años

56-65 años

66 o más

6. ¿Educación predominante?

Primaria completa

Secundario completo

Técnico educación

Educación superior completa

Ninguna

No sabe / No contesta

7. ¿Ingresos mensuales?

2000 a 3000

3000 a 5000

5000 a 10,000

10000 a mas

No sabe / No aplica8.

8. ¿Está de acuerdo a conectarse al sistema de alcantarillado y pagar el mantenimiento de la misma?

Si

No

Resultados de encuesta

Este informe refleja los resultados de la Encuesta realizada en la ciudad de Comalapa, Chontales antes del diseño del sistema de alcantarillado y tratamiento de aguas residuales de la misma ciudad.

El documento refleja las respuestas obtenidas del análisis estadístico (SPSS) en tablas y en orden numérico de acuerdo al orden aplicado. Con las tablas, se realiza un breve análisis considerado de mayor interés para la ejecución.

La encuesta se realizó durante el período del 14 al 19 de enero de 2020 en los barrios de la ciudad de Comalapa con un equipo de 3 personas.

Para la muestra, se determinó un total de 150 encuestas aprobadas por La Alcaldía de Comalapa con un nivel de confianza del 95% y un margen de error del 7.75%. En la ejecución de campo, se realizaron un total de 131 encuestas, ya que en algunas viviendas no nos recibieron.

Los datos que se quieren mostrar en el presente estudio son las características de la población, el nivel de aceptación de la población antes de la construcción del sistema de alcantarillado y la planta de tratamiento de aguas residuales, así como su capacidad y disposición para pagar el mantenimiento de ambos elementos.

Los datos relevantes a destacar son: Voluntad o aceptabilidad de los usuarios para tener la conexión del sistema de alcantarillado, lo que resultó en el 96.9% de los encuestados.

El ingreso promedio de las viviendas encuestadas se encontró en un rango de 10,000 a ms córdobas, lo que representa el 32,1% de las viviendas.

96,9% de los encuestados aceptan la posesión de un sistema de tratamiento de aguas residuales para la ciudad.

TABLAS DE RESUMEN DE LOS RESULTADOS

Las tablas en los siguientes capítulos reflejan las frecuencias o cantidades de las respuestas dadas por la población encuestada de acuerdo con las preguntas consultada.

1. CARACTERÍSTICAS DE LA POBLACIÓN ENCUESTA

Resultado 1

Sexo	Frecuencia	Porcentaje
Hombre	62	47,3
Mujer	69	52.7
Total	131	100,0

En el resultado 1 puede ser observado que, del total de los encuestados, el 52,7% aproximadamente son mujeres, lo que, valida aún más la información contenida en este estudio, ya que en la mayoría de los hogares nicaragüenses las mujeres permanecen más en casa y dominan la información consultada.

Resultado 2

Años	Frecuencia	Porcentaje
15-25 años	12	9,2
26-35 años	31	23,7
36-45 años	24	18,3
46-55 años	31	23,7
56-65 años	24	18,3
66 o más	9	6,9
Total	131	100,0

La edad predominante en los encuestados resultó en el rango de 26 a 35 años y 46-55. Siendo un 23,6% de la muestra.

Resultado 3

Parentesco	Frecuencia	Porcentaje
Esposa	65	49,6
Padre madre	7	5,3
Hijo hija	11	8,4
Yerno / nuera	9	6,9
Ayudante doméstico	2	1.5
Ninguna	18	13.7
Jefe de hogar	19	14,5
Total	131	100,0

En el resultado 3 se puede observar el parentesco de la persona con el jefe de hogar.

Resultado 4

Género / jefe de hogar	Frecuencia	Porcentaje
Hombre	39	29,8
Mujer	92	70,2
Total	131	100,0

Se ratifica el predominio de la mujer como cabeza de familia con un 70,2%.

Resultado 5

Edad / jefe de hogar	Frecuencia	Porcentaje
15-25 años	4	3,1
26-35 años	35	26,7
36-45 años	41	31,3
46-55 años	37	28,2
56-65 años	14	10,7
66 o más	-	0
Total	131	100,0

Las edades predominantes de mujeres jefas de hogar oscilan entre 36 y 45 años, lo que representa el 31,3% de la población encuestada.

Resultado 6

Enseñanza	Frecuencia	Porcentaje
Primaria completa	22	16,8
Secundario completo	45	34,4
Técnico educación	49	37,4
Educación superior completa	10	7,6
Ninguna	5	3,8
No sabe / No contesta	-	0
Total	131	100,0

En el resultado 6, se puede ver que la educación técnica es la predominante con un 37,4%, seguida de Secundaria completo con un 34,4% y primaria completa un 16,8%. En general, el 96,8% de los encuestados tiene algún conocimiento en términos de cómo leer y escribir.

Resultado 7

Ingresos mensuales	Frecuencia	Porcentaje
2000 a 3000	17	13
3000 a 5000	24	18,3
5000 a 10000	31	23,7
10000 a mas	42	32,1
No sabe / No aplica	17	13
Total	131	100,0

En el resultado 7 se puede observar el nivel de ingresos mensuales por familia encuestada lo cual predomina ingresos de 10,000 a mas debido ala ganadera y agricultura del municipio.

Resultado 8

Respuesta	Frecuencia	Porcentaje
Si	127	96,9
No	4	3,1
Total	131	100,0

ANEXO G: Estudios de suelo

ESTUDIO DE SUELO

Contenido natural del agua (Humedad)

El contenido de humedad del suelo, se define como la cantidad de agua presente en la muestra al momento de efectuar el ensaye, relacionado al peso de su fase sólida. Una vez obtenidas las 4 muestras del campo y debidamente identificadas, se procedió a obtener el peso de las taras a utilizar y una muestra representativa del suelo para evaluar sus porcentajes de humedad. El cual dio como resultado la siguiente tabla.

Tabla g1: Contenido de humedad

Peso de Tara + Muestra Húmeda				
Muestra	Tara	Peso Tara (gr)	Peso de Tara + Muestra (gr)	
H-V-1	A-42	21.5	NP	
	A-R	28.5	NP	
M-1	A-33	21.5	38.1	
	H-17	21.8	37.5	
	R-128	21.3	32.3	
M-189	B-02	21.4	31.5	
	R-108	21.6	33.6	
M-X	B-04	21.4	29.3	
	D-132	21.8	31.6	

Fuente: Laboratorios GEONIC ingenieros

Una vez obtenido los pesos, las muestras fueron ingresadas al horno por 24 horas a una temperatura de 110°C. Una vez Transcurrido ese período de tiempo, se procedió a pesar nuevamente las taras. Dando los siguientes resultados

Tabla g2: Contenido de humedad

	Peso tara + Muestra seca			
Muestra	Tara	Peso Tara (gr)	Peso de Tara +Muestra (gr)	
H-V-1	A-42	21.5	NP	
	A-R	28.5	NP	
M-1	A-33	21.5	32.7	
	H-17	21.8	32.4	
	R-128	21.3	28.8	
M-189	B-02	21.4	30.4	
	R-108	21.6	33.6	
M-X	B-04	21.4	26.5	
	D-132	21.8	28.2	

Fuente: Laboratorios GEONIC ingenieros

Para el cálculo de los porcentajes de humedad, fue necesario obtener los pesos de las muestras sin tara. Como se muestran a continuación.

Tabla g3: Contenido de humedad

Muestra	Tara	Peso Tara (gr)	Profundidad (m)	Peso de tara -	· Muestra (gr)
				Humedad	Seco
H-V-1	A-42	21.5	1.2	NP	NP
	A-R	28.5	1.2	NP	NP
M-1	A-33	21.5	1.8	16.6	11.2
	H-17	21.8	1.8	15.7	10.6
	R-128	21.3	1.8	11	7.5
M-189	B-02	21.4	1.2	10.1	9
	R-108	21.6	1.2	12	12
M-X	B-04	21.4	1.75	7.9	5.1
	D-132	21.8	1.75	9.8	9.8

Fuente: Laboratorios GEONIC ingenieros

Tabla g4: Contenido de humedad

Muestra	Tara	Peso Tara (gr)	Profundidad (m)	%W
H-V-1	A-42	21.5	1.2	NP
	A-R	28.5	1.2	NP
M-1	A-33	21.5	1.8	48.21
	H-17	21.8	1.8	48.11
	R-128	21.3	1.8	46.66
M-189	B-02	21.4	1.2	36.48
	R-108	21.6	1.2	36.36
M-X	B-04	21.4	1.75	54.94
	D-132	21.8	1.75	53.12

Fuente: Laboratorios GEONIC ingenieros

Determinación del Análisis Granulométrico de los Suelos (Método Mecánico). (ASTM D-422)

Para determinar el tamaño de los granos del suelo, se realizó a través del método mecánico, consistió en cribar el suelo por medio de los tamices 3/4", 1/2", 3/8", No.4 No.10, No.40, llegando hasta la malla Nº200 (0.074 mm), los pesos retenidos en cada malla se pesaron, obteniendo así el porcentaje en peso con respecto a la muestra total.

En este estudio se requirió el cálculo de los coeficientes de curvatura y uniformidad

para los suelos gruesos y determinar su clasificación, para ello se necesita construir la curva de distribución granulométrica, pero estos datos solo pueden ser calculados cuando los porcentajes pasan del 60, 30 y 10%. Esta gráfica se dibuja con los porcentajes como ordenadas y tamaños de las partículas como abscisas.

Se obtuvieron como primer paso los pesos del material mayor al tamiz N° 4.

Análisis mecánico con material mayor que el tamiz No 4

Tabla g5: Análisis granulométrico

Tamiz No.	Muestra H-V-1 PRP (gr)	Muestra M-1 PRP (gr)	Muestra M-189 PRP (gr)	Muestra MX PRP (gr)
3/4 "	128	65	30	0
1/2"	68	132	30	47
3/8"	47	117	31	26
No.4	124	177	169	59
Pasa No.4	587	546	725	653
SUMA	954	1037	985	785

Fuente: Laboratorios GEONIC ingenieros

Tabla g6: Análisis granulométrico

_	Muestra H-V-1 Material Grueso							
Tamiz No.	Peso Retenido Parcial (gr)	% Retenido Parcial	%Retenido Acumulado	% Que pasa por el Tamiz				
3/4 "	128	13	13	87				
1/2"	68	7	20	80				
3/8"	47	5	25	75				
No.4	124	13	38	65				
Pasa No.4	587	62	100	0				
SUMA	954	100						

Tabla g7: Análisis granulométrico

	Muestra M-1 Material Grueso							
Tamiz No.	Peso Retenido Parcial (gr)	% Retenido Parcial	%Retenido Acumulado	% Que pasa por el Tamiz				
3/4 "	65	6	6	94				
1/2"	132	13	19	81				
3/8"	117	11	30	70				
No.4	177	17	47	53				
Pasa No.4	546	53	100	0				
SUMA	1037	100						

Fuente: Laboratorios GEONIC ingenieros

Tabla g8: Análisis granulométrico

	Muestra M-189 Material Grueso							
Tamiz No.	Peso Retenido Parcial (gr)	% Retenido Parcial	%Retenido Acumulado	% Que pasa por el Tamiz				
3/4 "	30	3	3	97				
1/2"	30	3	6	94				
3/8"	31	3	9	91				
No.4	169	17	26	74				
Pasa No.4	725	74	100	0				
SUMA	985	100						

Tabla g9: Análisis granulométrico

	Muestra MX Material Grueso							
Tamiz No.	Peso Retenido Parcial (gr)	% Retenido Parcial	%Retenido Acumulado	% Que pasa por el Tamiz				
3/4 "	0	0	0	0				
1/2"	47	6	6	94				
3/8"	26	3	9	91				
No.4	59	8	17	83				
Pasa No.4	653	83	100	0				
SUMA	785	100						

Se obtuvieron los pesos del material menor al tamiz N° 4, con un valor en peso representativo de cada muestra. Después haber saturado las muestras por 24 horas y lavarlas en el tamiz N° 200 para luego ser sometidas a una temperatura de 100°C por 24 horas.

Análisis granulométrico

Peso sucio y lavado de las muestras							
Observación Muestra H-V-1 Muestra M-1 Muestra M-189							
Ws sucio (gr)	954	1037	985	785			
Ws lavado-seco (gr)	104.2	106.8	103.3	108			

Fuente: Laboratorios GEONIC ingenieros

Los resultados obtenidos por cada muestra se detallan a continuación.

Tabla g10: Análisis granulométrico

	Análisis mecánico con material menor que el tamiz N°4							
	Muestra 1	Muestra 2	Muestra 3	Muestra 4				
Tamiz No.	H-V-1	M-1	M-189	MX				
	PRP (gr)	PRP (gr)	PRP (gr)	PRP (gr)				
10	7.4	9.8	20.7	0.9				
40	22.3	17.4	25.2	2.6				
200	21.6	24.1	15.4	6.3				
Pasa la #200	52.9	55.5	42	98.2				
SUMA	104.2	105.5	103.3	105				

Los resultados obtenidos por cada muestra se detallan a continuación.

Tabla g11: Análisis granulométrico

Muestra H-V-1 Material Fino						
Tamiz	Peso Retenido Parcial (gr)	%Retenido Parcial	% Retenido Acumulado	% Que pasa por e Tamiz		
10	7.4	4	4	58		
40	22.3	13	17	45		
200	21.6	13	30	32		
Pasa No. 200	52.9	32	62	0		
SUMA	104.2	62				

Fuente: Laboratorios GEONIC ingenieros

Tabla g12: Análisis granulométrico

	Muestra M-1 Material Fino						
Tamiz	Peso Retenido Parcial (gr)	%Retenido Parcial	% Retenido Acumulado	% Que pasa por el Tamiz			
10	9.8	5	5	48			
40	17.4	9	14	39			
200	24.1	12	26	27			
Pasa No. 200	55.5	27	53	0			
SUMA	106.8	53					

Fuente: Laboratorios GEONIC ingenieros

Tabla g13: Análisis granulométrico

Muestra M-189 Material Fino						
Tamiz	Peso Retenido Parcial (gr)	%Retenido Parcial	% Retenido Acumulado	% Que pasa por el Tamiz		
10	20.7	15	15	59		
40	25.2	18	33	41		
200	15.4	11	44	30		
Pasa No. 200	42	30	74	0		
SUMA	103.3	74				

Tabla g14: Análisis granulométrico

	Muestra MX Material Fino							
Tamiz	%Retenido Parcial				% Retenido Acumulado	% Que pasa por el Tamiz		
10	0.9	1	1	82				
40	2.6	2	3	80				
200	6.3	5	8	75				
Pasa No. 200	98.2	75	83	0				
SUMA	108	83						

Se efectuó la presentación gráfica de los resultados obtenidos por medio de la curva granulométrica, con el fin de encontrar la coeficiente uniformidad del suelo, así como el coeficiente de curvatura, sin embargo el predominio de material fino en las muestras alcanzo valores mucho mayores al 50% de material que pasa por la malla N°200, por lo que se procedió a la clasificación de los suelos de granos finos a través de la carta de plasticidad del Sistema Unificado de Clasificación de Suelos (SUCS).

Para una mejor visualización de lo anteriormente expuesto, a continuación, se presentas las curvas correspondientes para cada estrato del sondeo, la curva representa la relación del porcentaje que pasa los tamices vs tamaño de la partícula en mm.

Gráfico g1: Curva Granulométrica Muestra-1

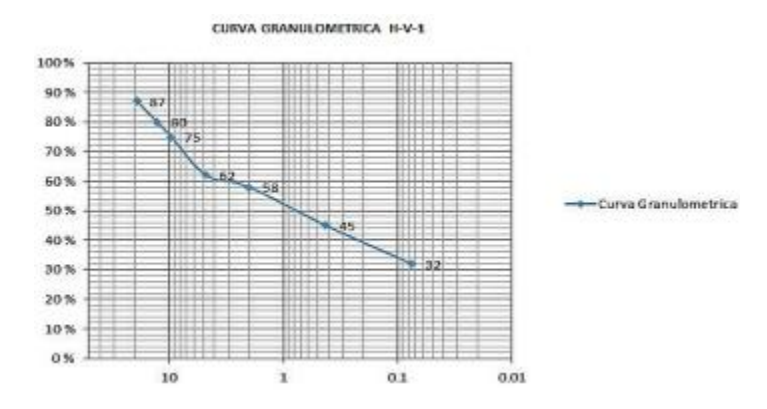


Gráfico g2: Curva Granulométrica - Muestra 2

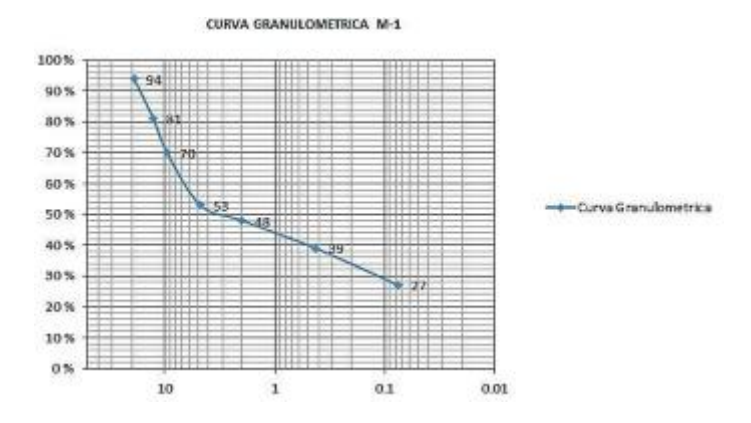
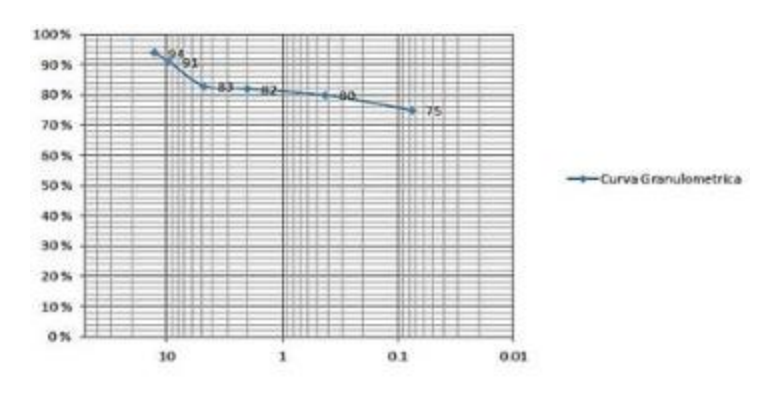


Gráfico g3: Curva Granulométrica - Muestra 3



Fuente: Laboratorios GEONIC ingenieros

Gráfico g4: Curva Granulométrica - Muestra 4



Determinación de Limites de consistencia o de Atterberg de los Suelos. (ASTM D4318)

Limite Líquido

Para la determinación del límite líquido se realizó el ensaye de laboratorio utilizando la copa de Casagrande, obteniendo los siguientes resultados.

Límites de Atterberg

Tabla g15: Límite líquido de las muestras

Muestra	Tara	W Tara (gr)	Wh (T+M) (gr)	Ws (T+M) (gr)	No. Golpes	Wh Muestra	Ws Muestra	%W	LL	
H-V-1	A-42	21.5	NP	NP		NP			NP	
H-V-1	A-R	21.8	NP	NP		NP			NP	
M-1	A-33	21.5	38.1	32.7	12	16.6	11.2	48.21	44.11	46.26
M-1	H-17	21.8	37.5	32.4	22	15.7	10.6	48.11	47.38	
M-1	R-128	21.3	32.3	28.8	28	11	7.5	46.66	47.31	
M-189	B-02	21.4	31.5	28.8	22	10.1	9	36.48	35.93	36.3
M-189	R-108	21.6	33.6	30.4	27	12	12	36.36	36.68	
M-X	B-04	21.4	29.3	26.5	23	7.9	5.1	59.9	54.35	64.1
M-X	D-132	21.8	31.6	28.2	28	9.8	9.8	53.12	53.68	

Tabla g16: Límite líquido

Limite Liquido M-1						
No de Golpes (N)	12	22	28			
Tara No	A-33	H-17	R-128			
PW +Tara (1)	38.1	37.5	32.3			
PS +Tara (2)	32.7	32.4	28.8			
Agua: (1)-(2) (3)	5.4	5.1	3.5			
Peso de Tara (4)	21.5	21.8	21.3			
PS: (2)-(4) (5)	11.2	10.6	7.5			
% de agua:(100) * (3) / (5) (6)	48.21	48.11	46.66			
Factor(K)	0.915	0.985	1.014			
Limite Liquido:(6) * (K)	44.11	47.38	47.31	46.26		

Tabla g17: Límite líquido

	Limite Liquido M-189					
No de Golpes (N)	22	27				
Tara No	B-02	R-108				
PW +Tara (1)	31.5	33.6				
PS +Tara (2)	28.8	30.4				
Agua: (1)-(2) (3)	2.7	3.2				
Peso de Tara (4)	21.4	21.6				
PS: (2)-(4) (5)	7.4	8.8				
% de agua:(100) * (3) / (5) (6)	36.48	36.36				
Factor(K)	0.985	1.009				
Limite Liquido:(6) * (K)	35.93	36.68	36.3			

Tabla g18: Límite líquido

Limite Liqui	do M-X		
No de Golpes (N)	23	28	
Tara No	B-04	D-132	
PW +Tara (1)	29.3	31.6	
PS +Tara (2)	26.5	28.2	
Agua: (1)-(2) (3)	2.8	3.4	
Peso de Tara (4)	21.4	21.8	
PS: (2)-(4) (5)	5.1	6.4	
% de agua:(100) * (3) / (5) (6)	54.9	53.12	
Factor(K)	0.99	1.014	
Limite Liquido:(6) * (K)	54.35	53.86	54.1

Límite Plástico

Para este ensaye los rollos de 3mm no fueron posibles formarlos, ya que el suelo se agrietaba muy fácilmente al rodarlo con la mano sobre la superficie absorbente por la poca plasticidad de las muestras. Los resultados obtenidos fueron los siguientes:

Resultado límite plástico de las muestras

Tabla g19: Límite plástico de las muestras

Muestra	Tara	W Tara (gr)	Wh (T+M) (gr)	Ws (T+M) (gr)	Wh Muestra	Ws Muestra	%W	Δ%W	LP	LP
H-V-1	R-111	NP	NP	NP	NP	NP	NP	NP	NP	NP
H-V-1	A-21	141	141	141	131	141		141	141	141
M-1	H-10	21.4	32.8	29.9	11.4	8.5	34.12	0.54	34.11	34.38
M-1	A-111	21.6	35.2	31.7	13.6	10.1	34.65		34.65	
M-189	R-122	21.5	45.6	40.9	24.1	19.4	24.23	0.82	24.22	23.81
M-189	A-13	21.8	39.2	35.9	17.4	14.1	23.4		23.4	
M-X	A-39	21.6	39.2	34.7	17.6	13.1	34.35	2.21	34.35	33.245
M-X	R-101	21.4	36.2	32.6	14.8	11.3	32.14		32.14	

Tabla g20: Límite plástico

Limite Plástico M-1						
Tara No H-111						
PW +Tara (8)	32.8	35.2				
PS +Tara (9)	29.9	31.7				
Agua: (8)-(9) (10)	2.9	3.5				
Peso de Tara (11)	21.4	21.6				
PS: (9)-(11) (12)	8.5	10.1				
Limite plástico: (100) *(10) / (12)	34.11	34.65				

Tabla g21: Límite plástico

Limite Plástico M-189					
Tara No	R-122	A-13			
PW +Tara (8)	45.6	39.2			
PS +Tara (9)	40.9	35.9			
Agua: (8)-(9) (10)	4.7	3.3			
Peso de Tara (11)	21.5	21.8			
PS: (9)-(11) (12)	19.4	14.1			
Limite plástico: (100) *(10) / (12)	24.22	23.4			

Fuente: Laboratorios GEONIC ingenieros

Tabla g22: Límite plástico

Limite Plástico M-X				
Tara No	A-39	R-101		
PW +Tara (8)	39.2	36.2		
PS +Tara (9)	34.7	32.6		
Agua: (8)-(9) (10)	4.5	3.6		
Peso de Tara (11)	21.6	21.4		
PS: (9)-(11) (12)	13.1	11.2		
Limite plástico: (100) *(10) / (12)	34.35	32.14		

Índice de Plasticidad

Una vez obtenidos los Límites Líquidos y Plásticos, al calcular su diferencia esta corresponde al Índice de Plasticidad. A continuación, se describe el correspondiente a cada muestra encontrada en el campo.

Tabla g23: Índice de plasticidad muestra M-1

	Resultados	
Limite Liquido (%)	Limite Plástico (%)	Índice Plástico (%)
46.26	34.36	11.9

Fuente: Laboratorios GEONIC ingenieros

Tabla g24: Índice de plasticidad M-189

	Resultados	
Limite Liquido (%)	Limite Plástico (%)	Índice Plástico (%)
36.3	23.81	12.49

Fuente: Laboratorios GEONIC ingenieros

Tabla g25: Índice de plasticidad M-X

	Resultados	
Limite Liquido (%)	Limite Plástico (%)	Índice Plástico (%)
54.105	33.24	20.865

Tabla g 26: Clasificación de suelos (SUCS)

	Clasificación por método unificado de suelos (SUCS)								
N° muestra	%PASA POR LA MALLA			L. A	L. ATTERBERG			Tipo de suelo	
	NUM.4	NUM.40	NUM.200	L.L.	L.P.	I.P.	Símbolo	ripo de suelo	
H-V-1	65	45	32	NP	NP	NP	ML	Limo de baja plasticidad	
M-1	53	39	27	46.26	34.38	11.9	ML	Limo de baja plasticidad	
M-189	74	41	30	36.3	23.81	12.49	CL	Arcilla de baja plasticidad	
M-X	83	30	75	54.1	33.24	20.86	СН	Orgánica de alta plasticidad	

La siguiente tabla muestra la descripción de las muestras de suelo con su correspondiente ubicación.

Tabla g27: Clasificación general del suelo (SUCS)

Muestra	Sitio	Tipo de suelo
HV-1	Red de alcantarillado	Limo de baja plasticidad
M-1	Red de alcantarillado	Limo de baja plasticidad
M-189	Red de alcantarillado	Arcilla de baja plasticidad
M-X	Planta de Tratamiento	Orgánica de alta plasticidad

ANEXO H: Calidad de agua

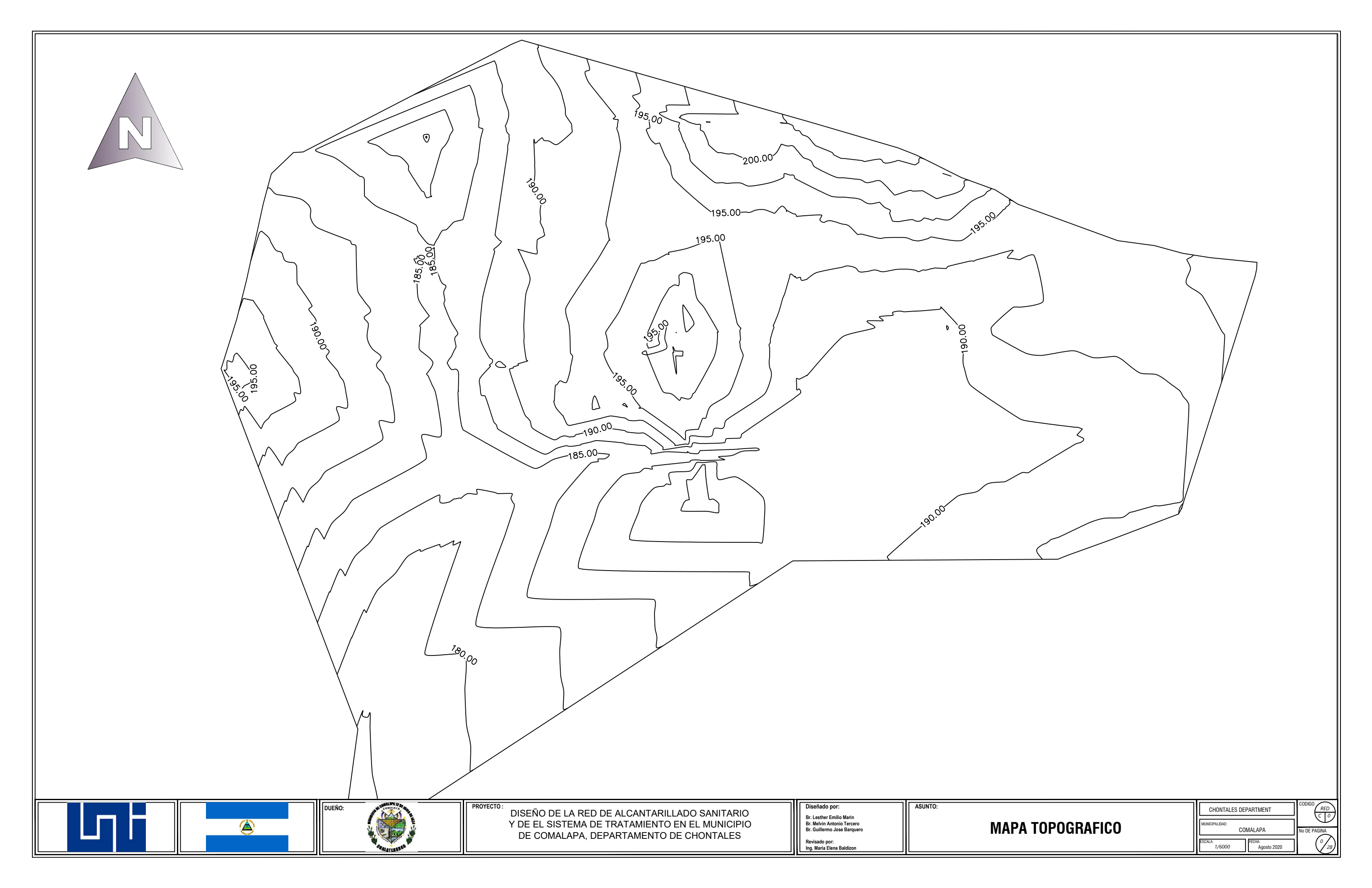
Parámetros de diseño

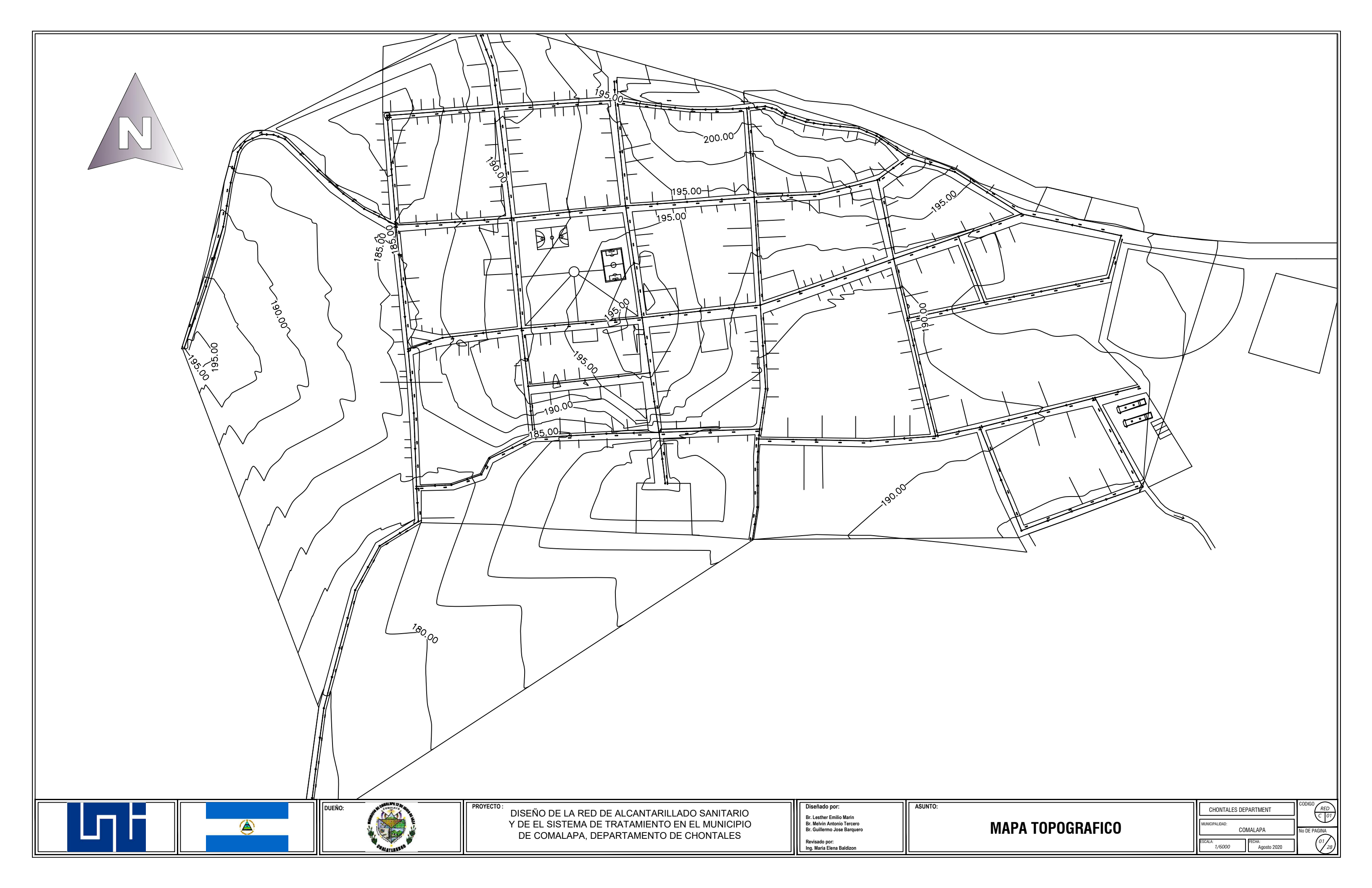
Se tomaron los parámetros de diseño de la planta de tratamiento de Santo Tomas, Chontales ya que tiene bastante similitud a la población de diseño tomada en cuenta en el municipio de Comalapa, Chontales.

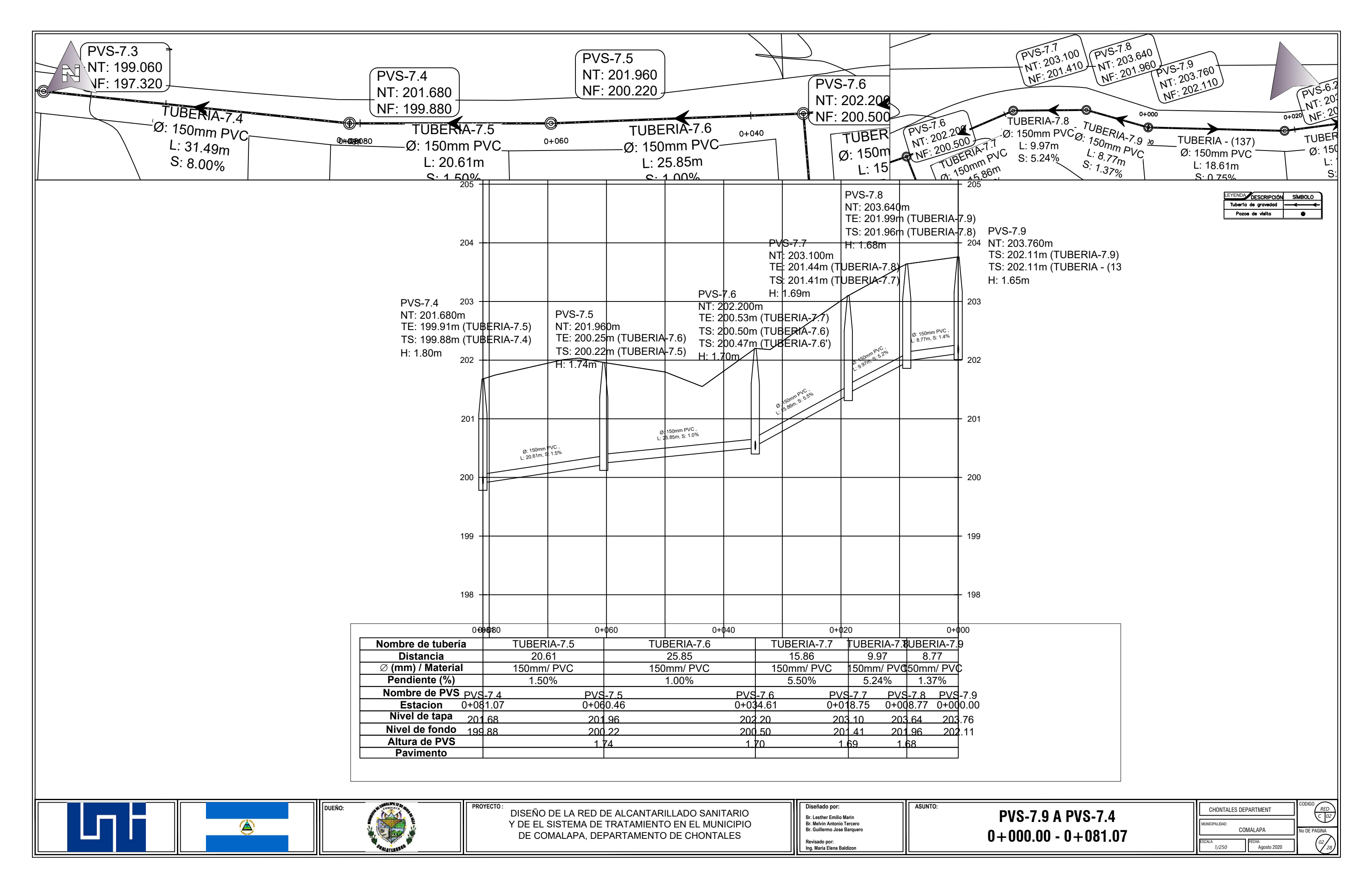
	CALIDAD DEL AFLUEN	ITE PARA PLANTA DE	TRATAMIENTO	"Santo Tomas"	Poblacion	
Sea del Puebloi	Parámetros	Simbología	Datos	Unidades	conectada para el primer año'Santo Tomas''	Poblacion "Comalapa"
A compressed the comp	Sólidos en suspensión	SS	435	mg/lt	2400	2362
Press Negar	DBO5	S0	411	mg/lt	2400	2302
Property of the state of the st	Coliformes fecales	CFA	7,670,000.00	NMP/100 ml	38	
					Difere	ncia

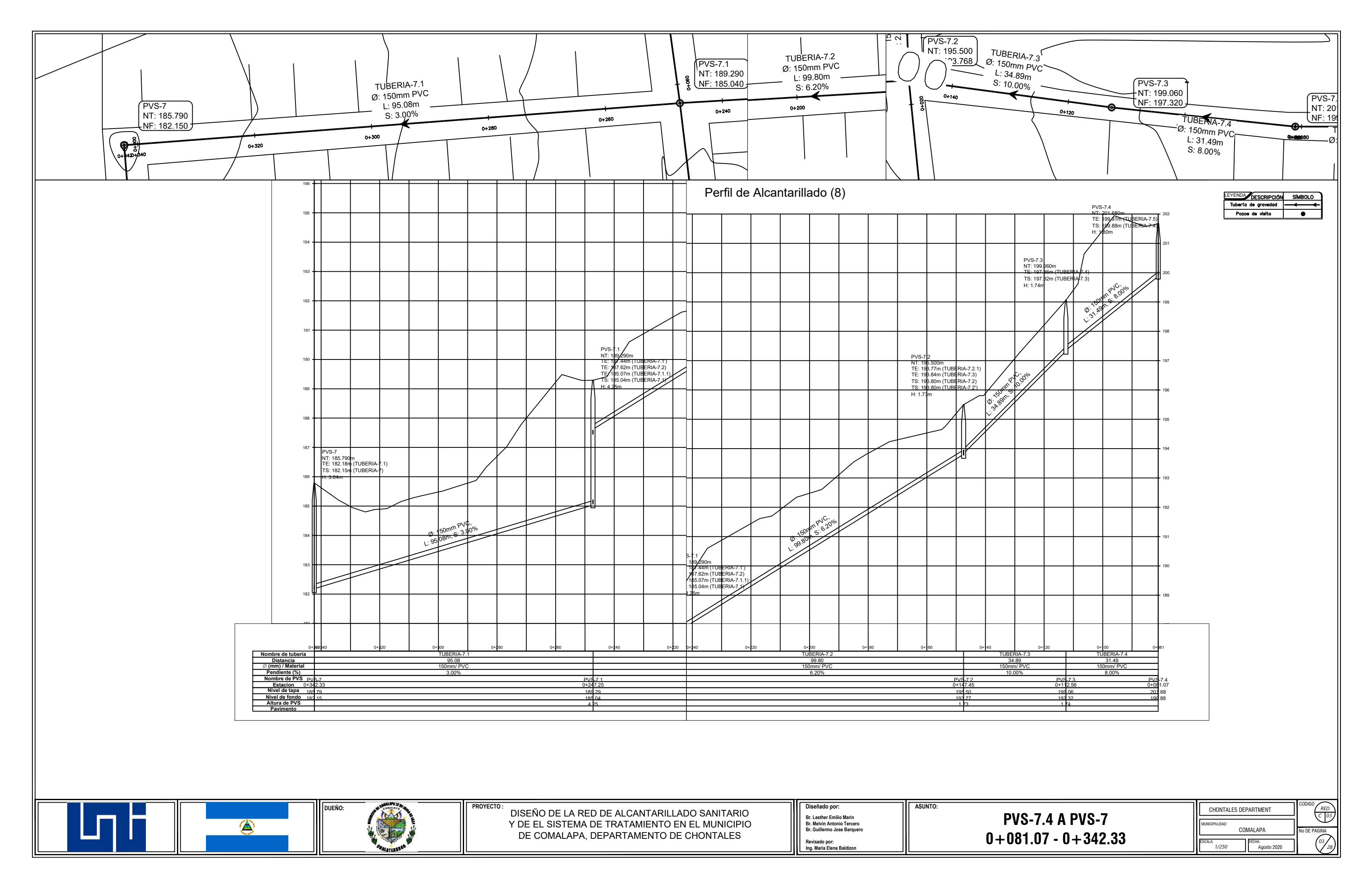
 \bigcirc

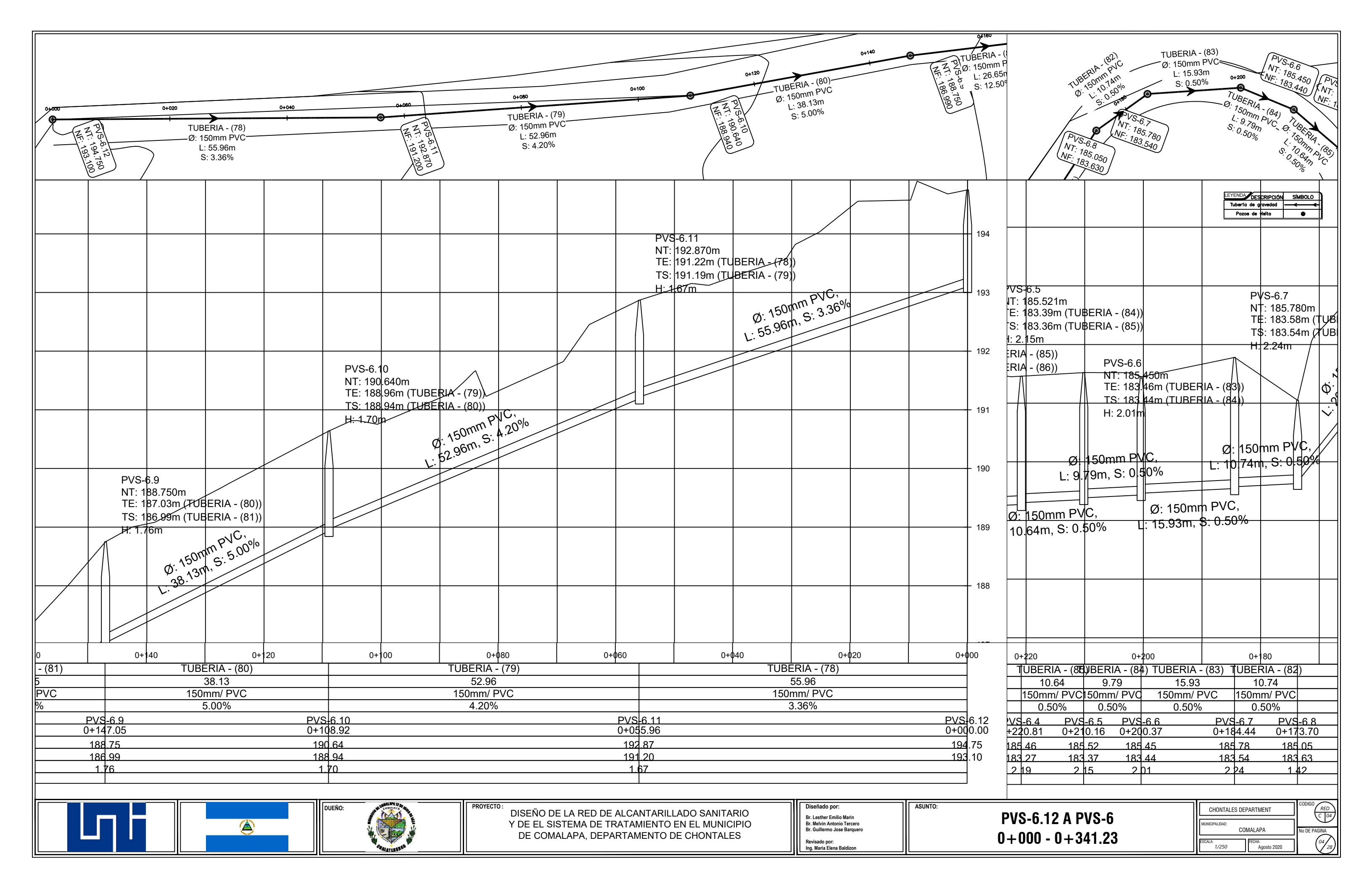
RED DE ALCANTARILLADO SANITARIO

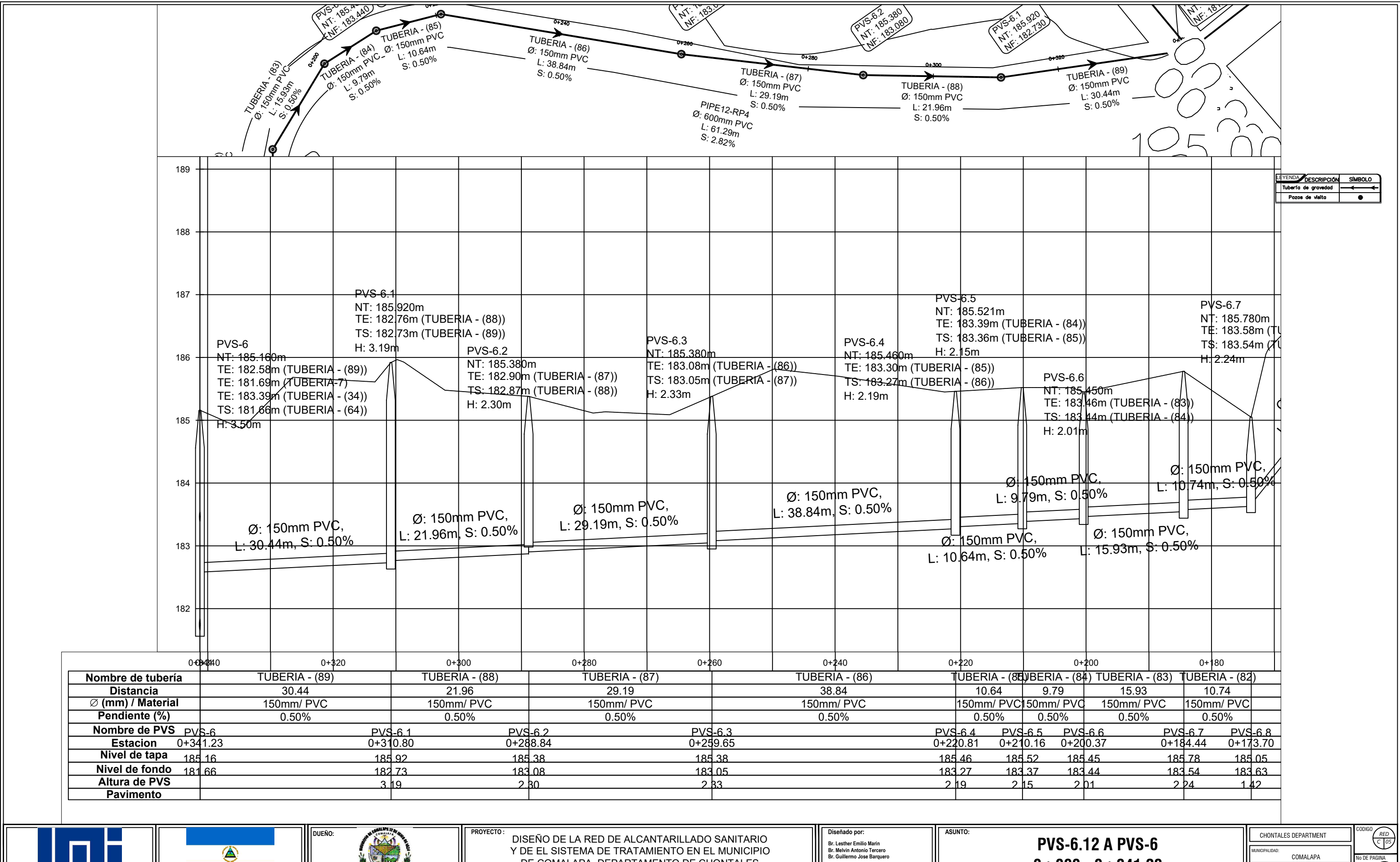












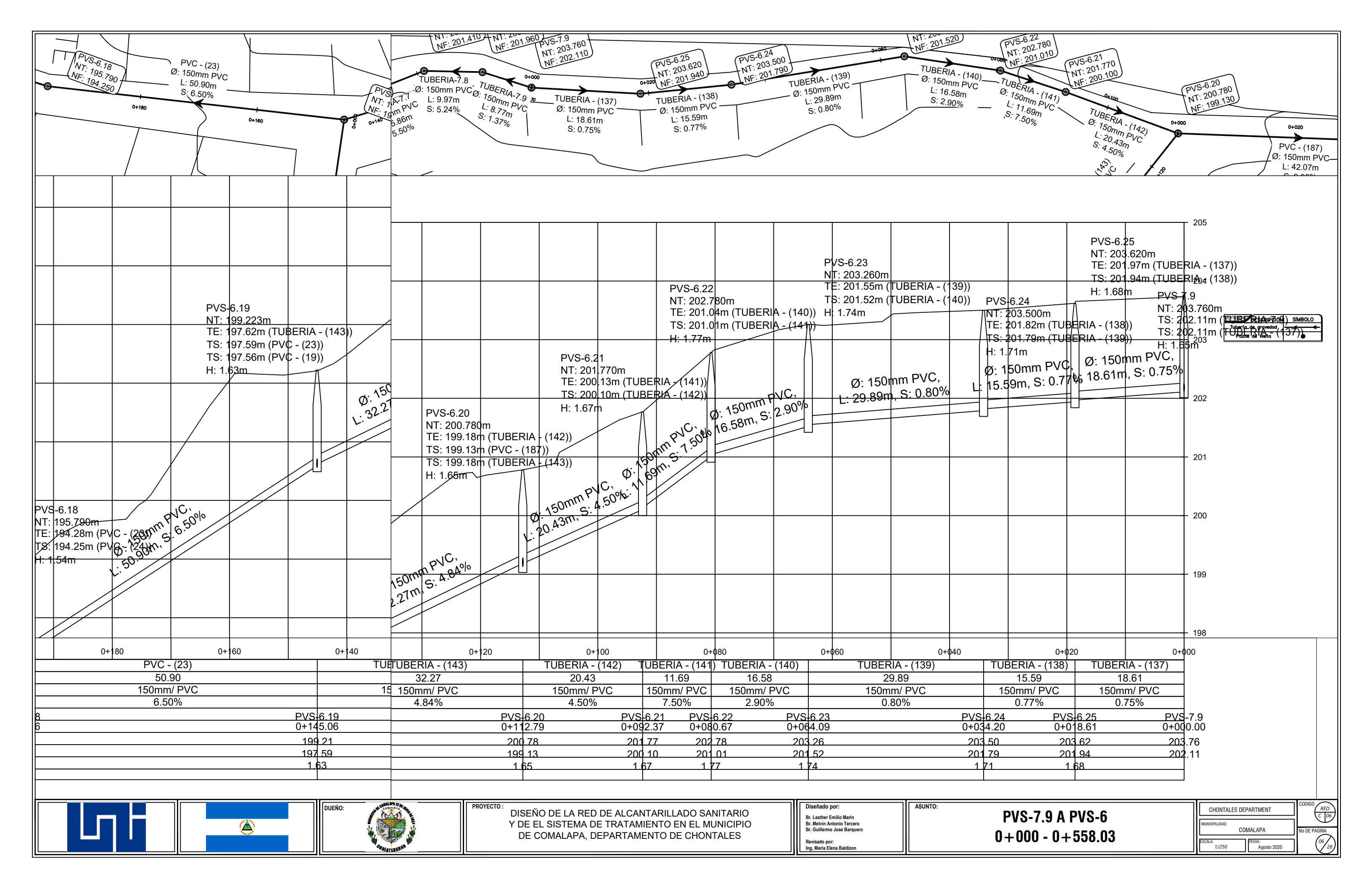


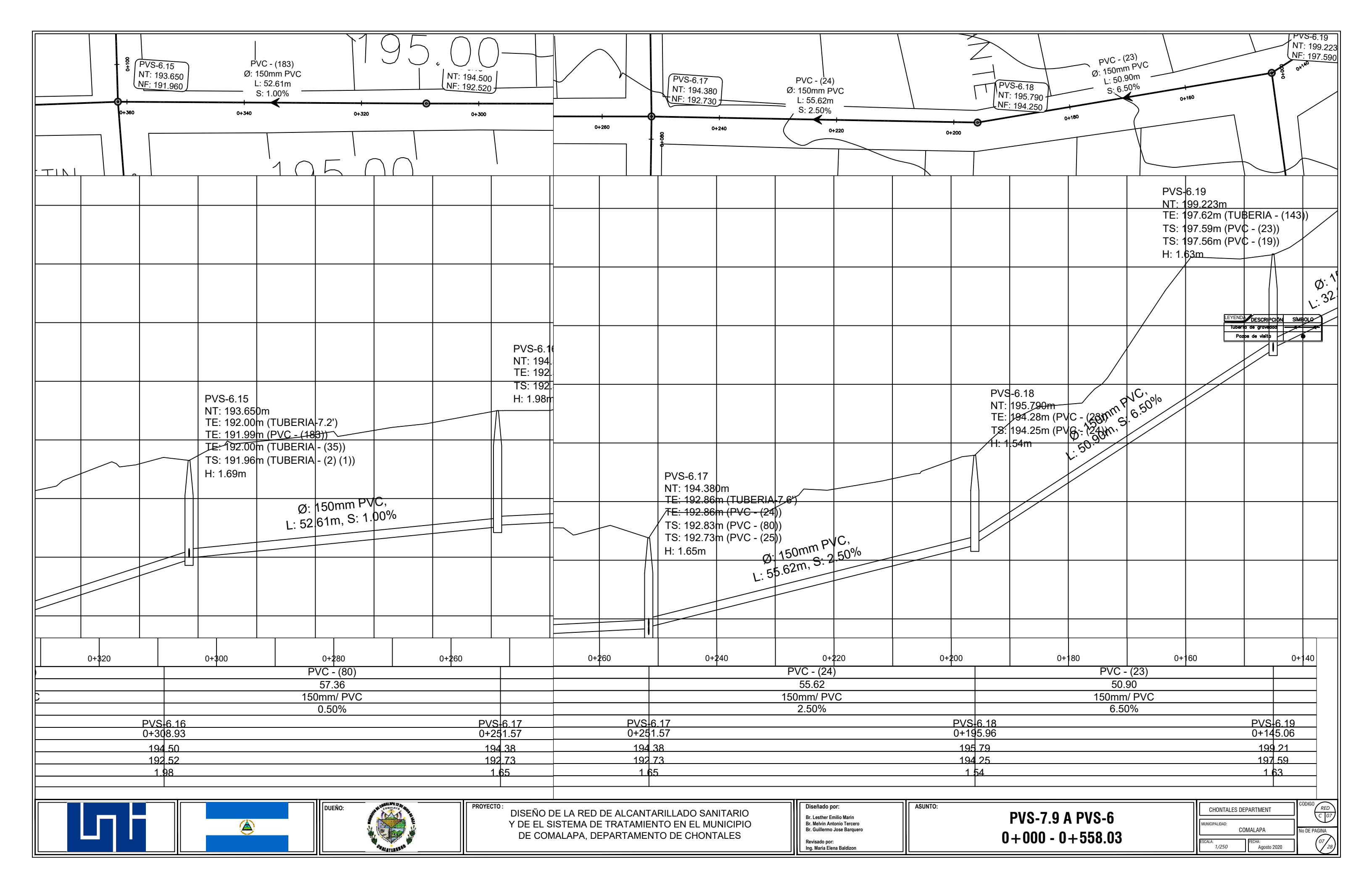


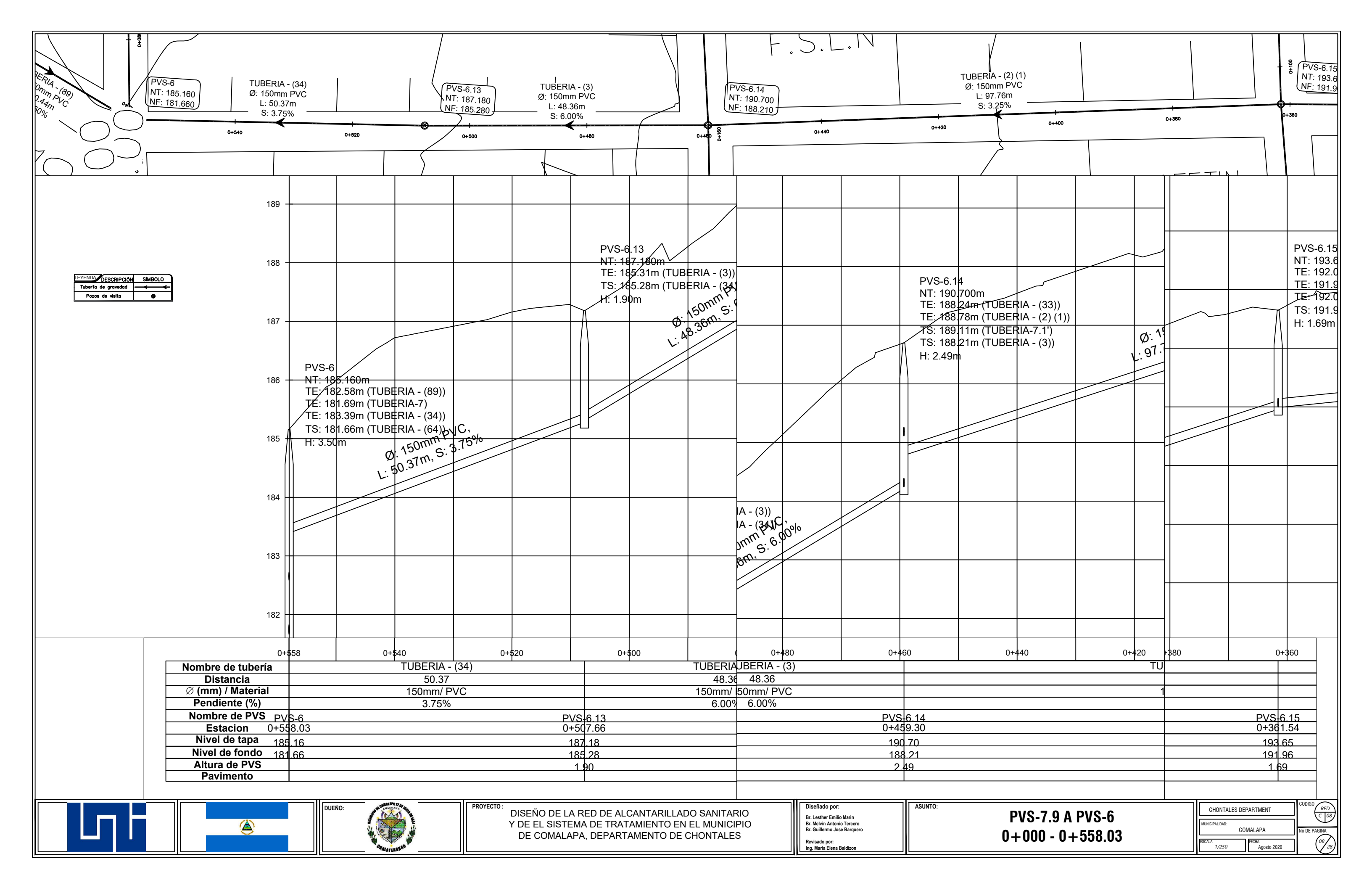


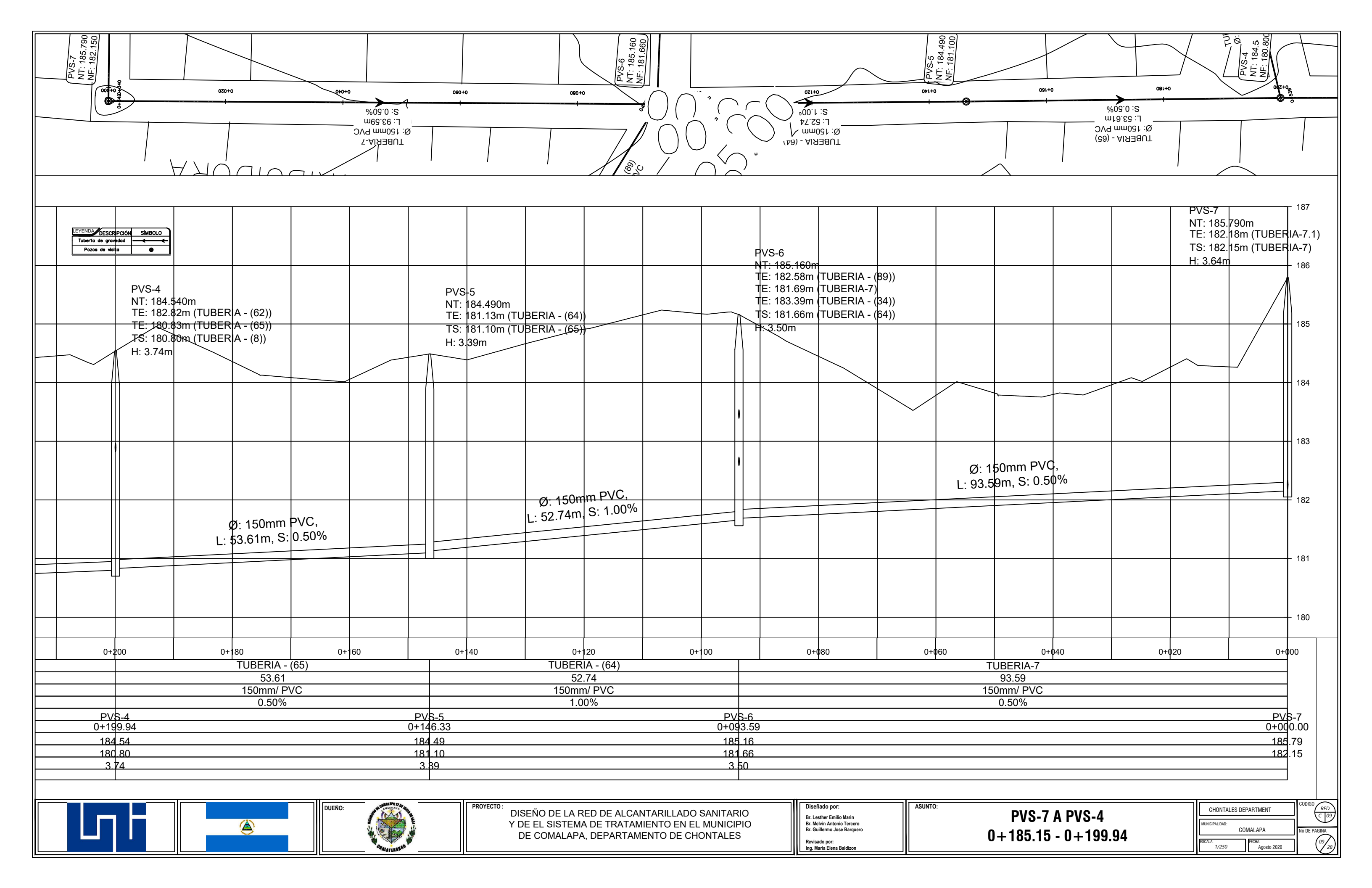
DE COMALAPA, DEPARTAMENTO DE CHONTALES

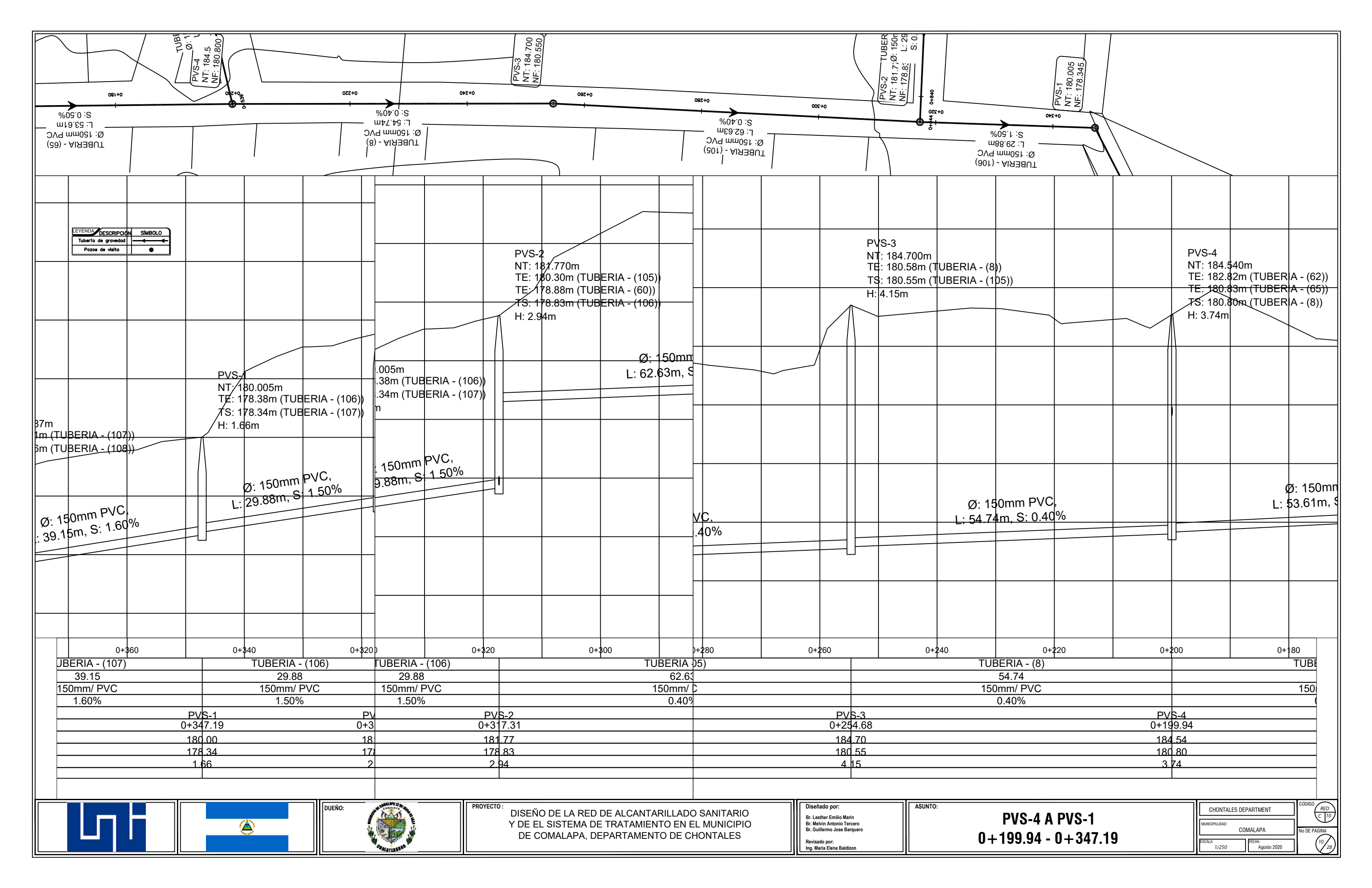
0+000-0+341.23

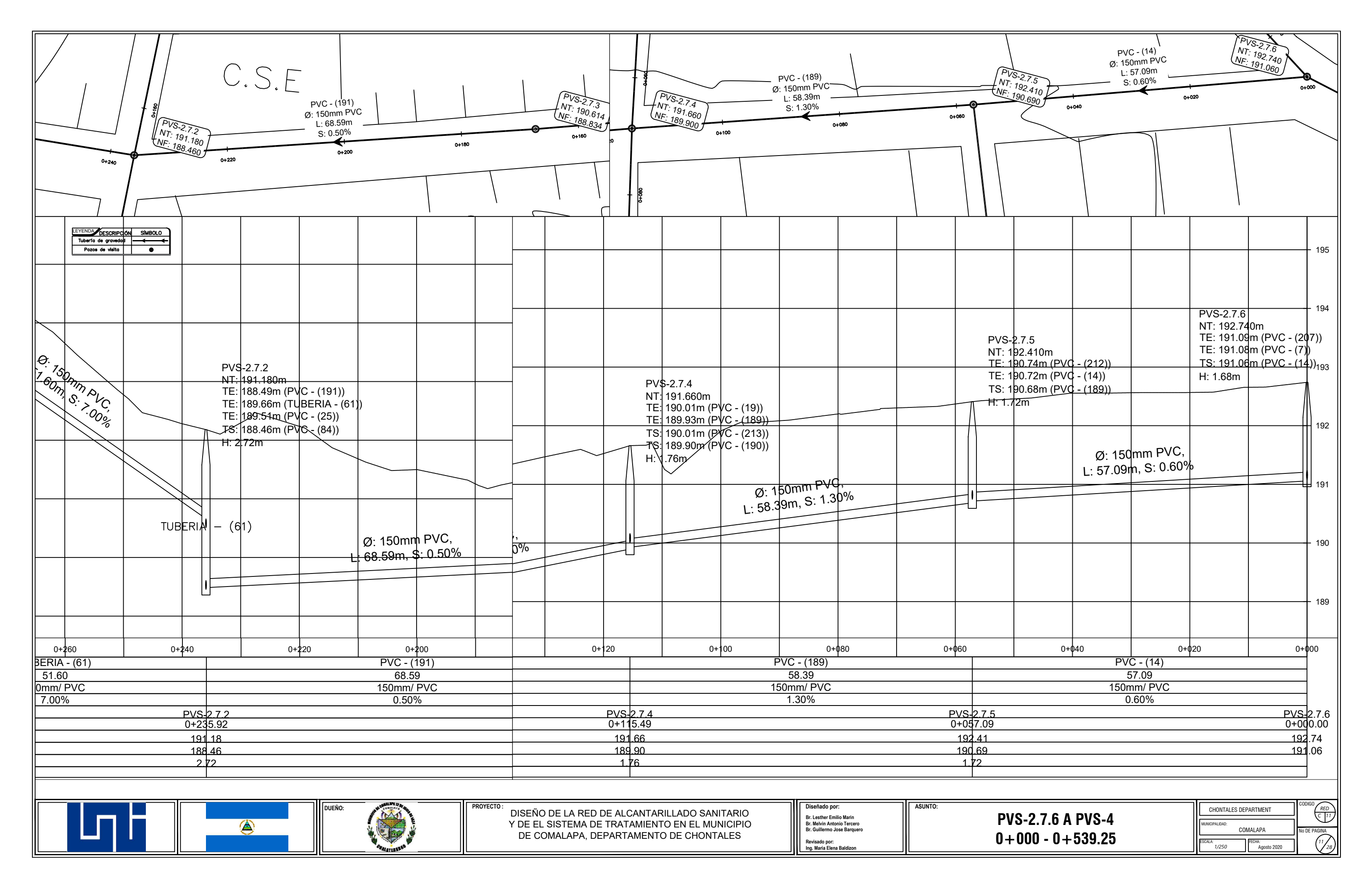


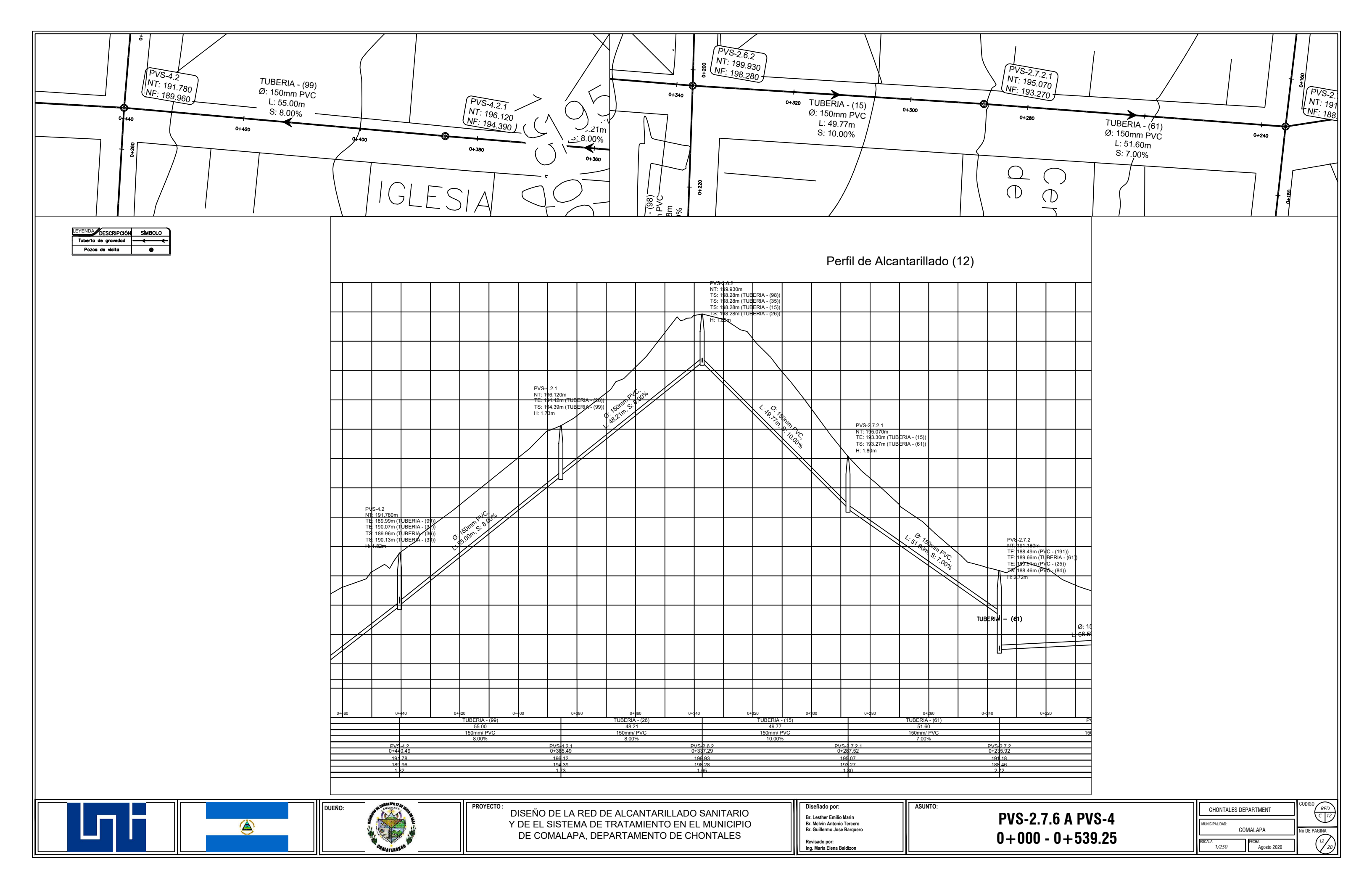


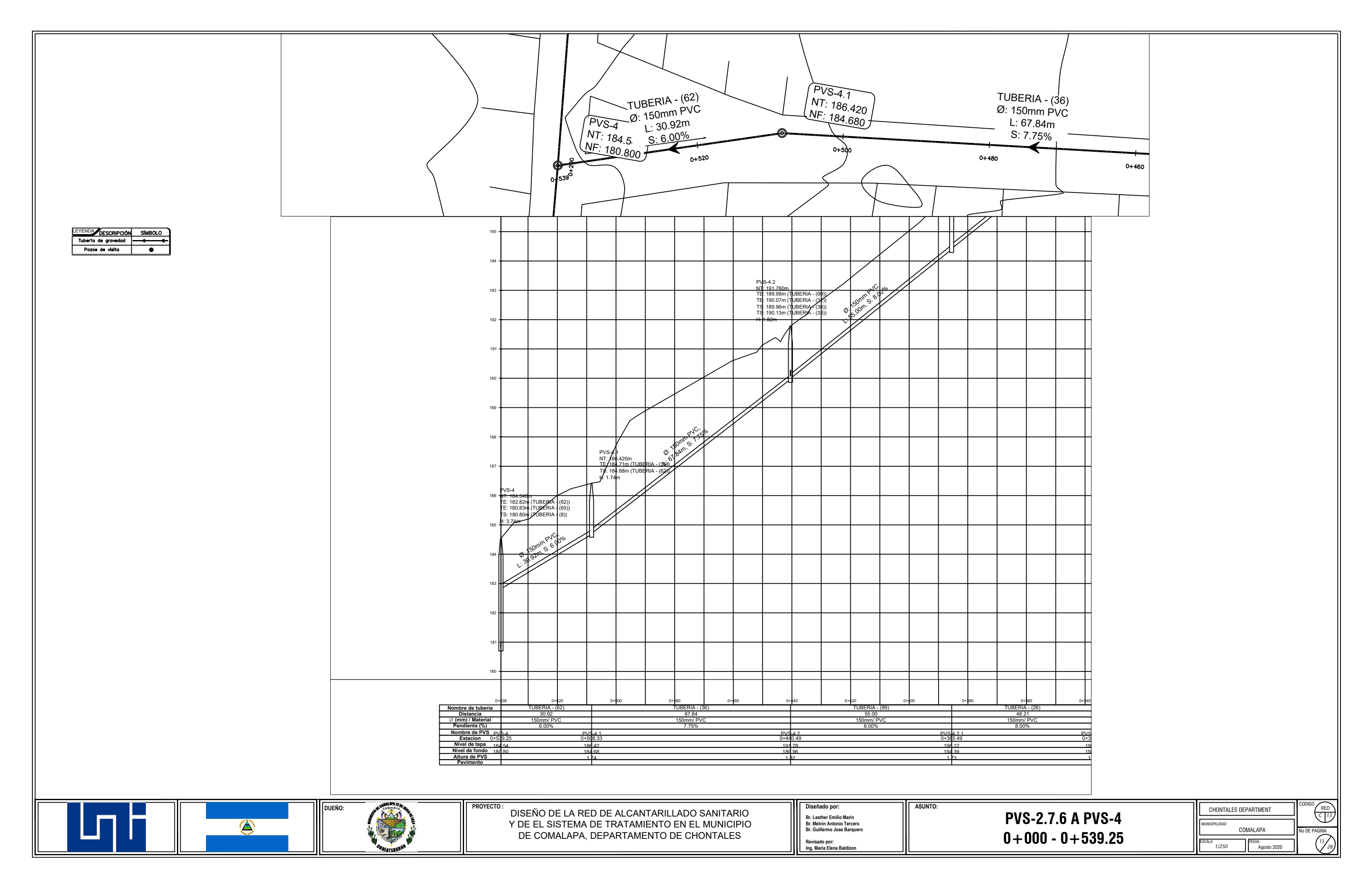


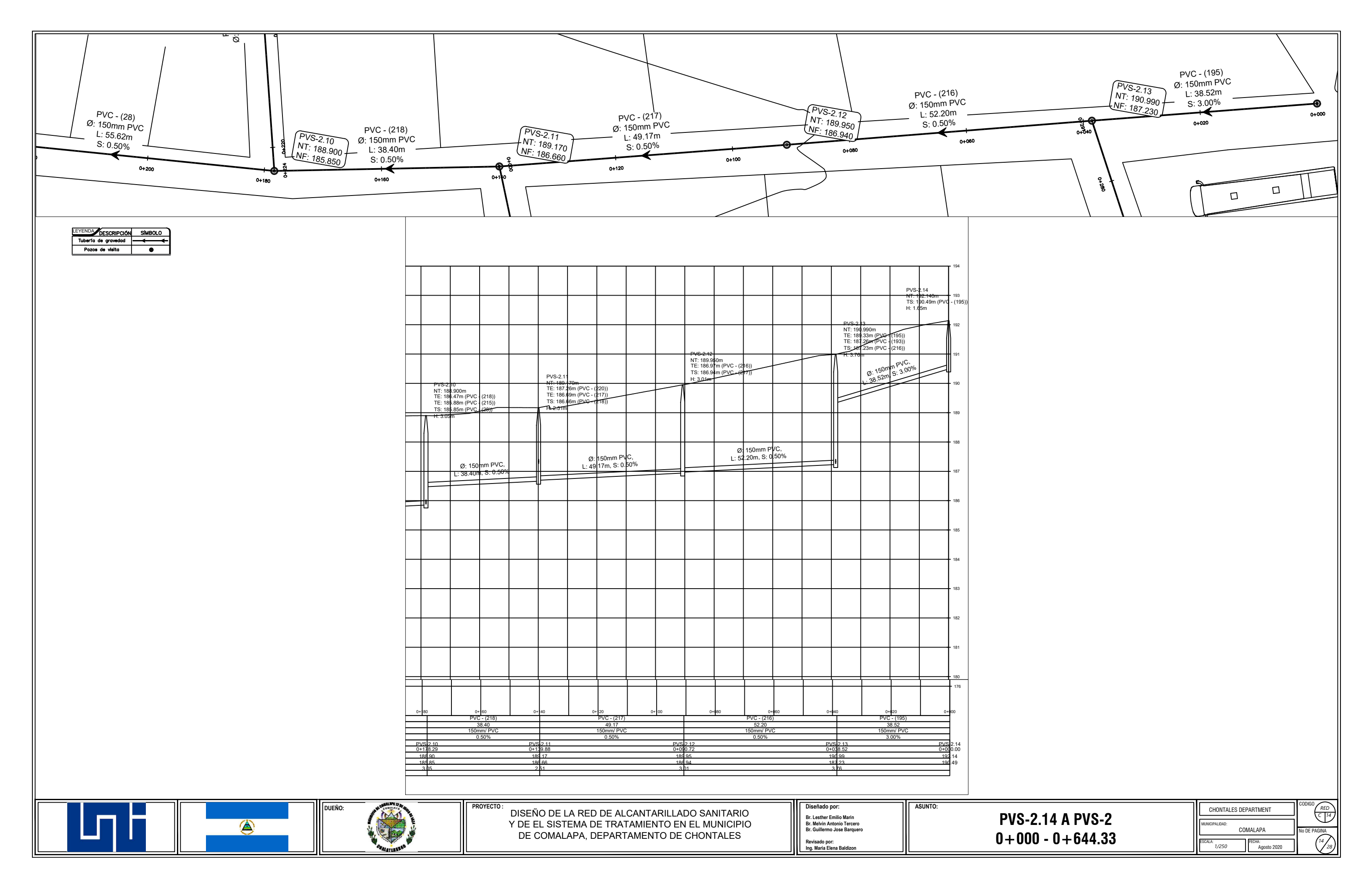


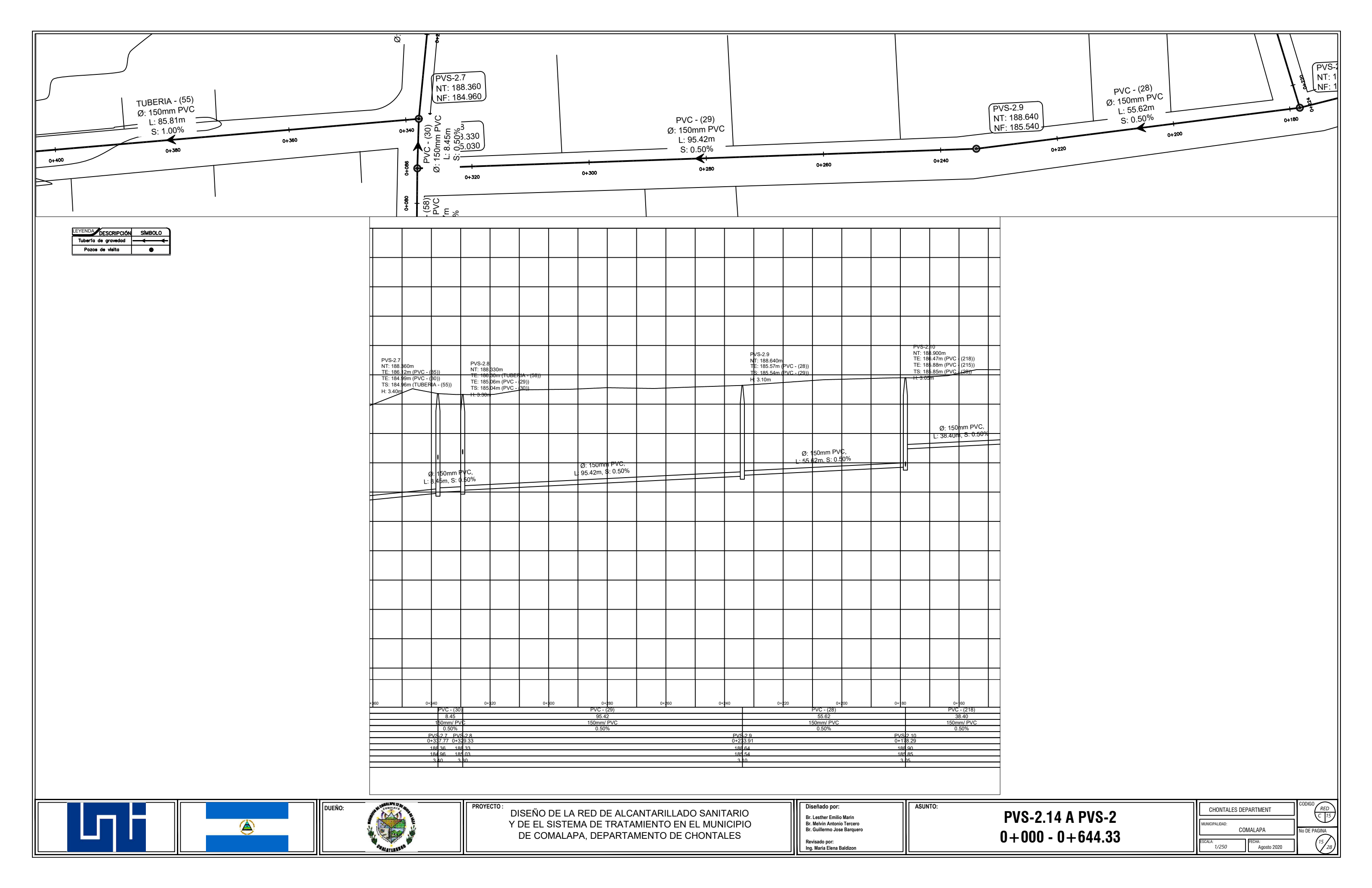


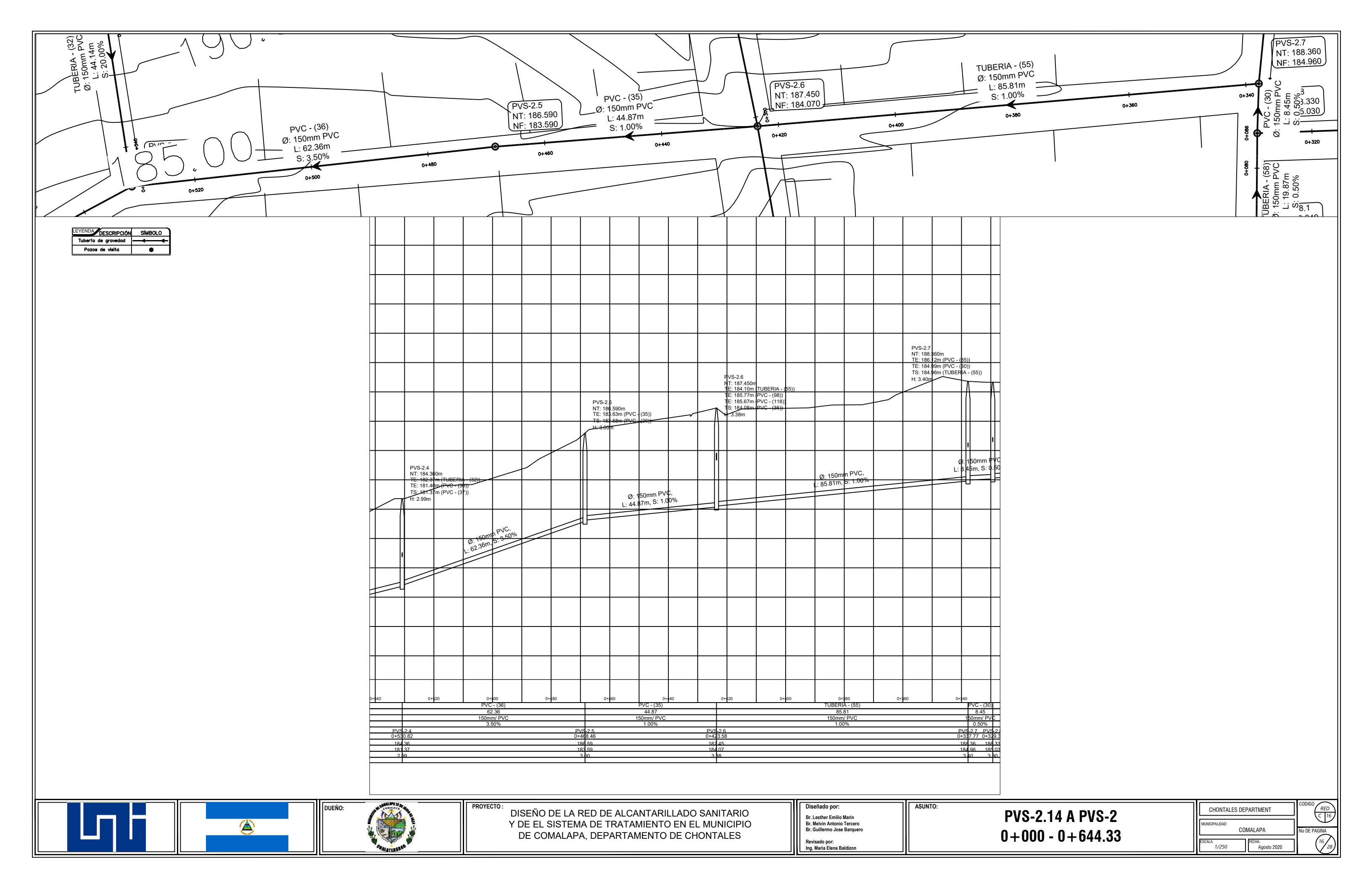


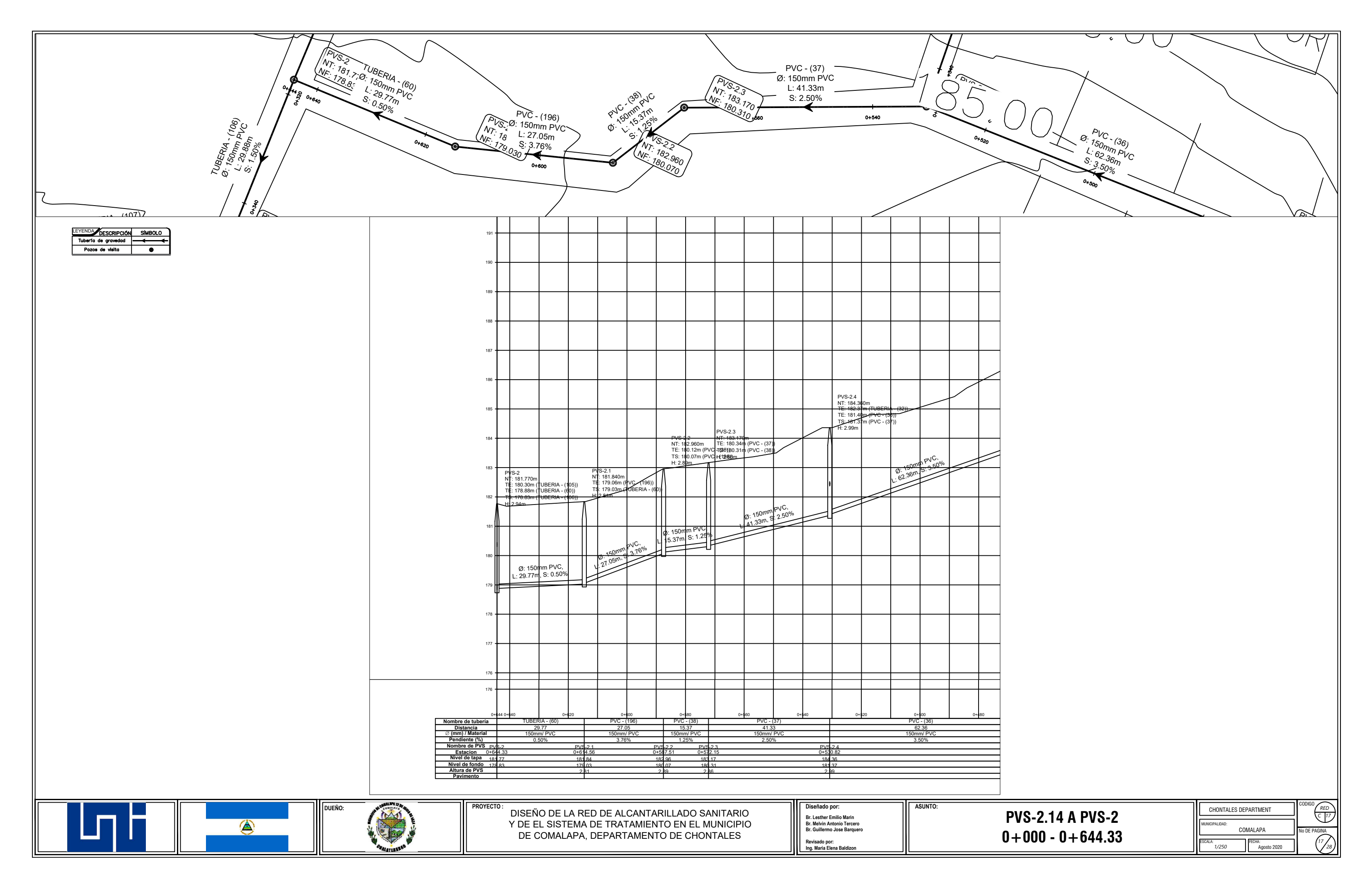


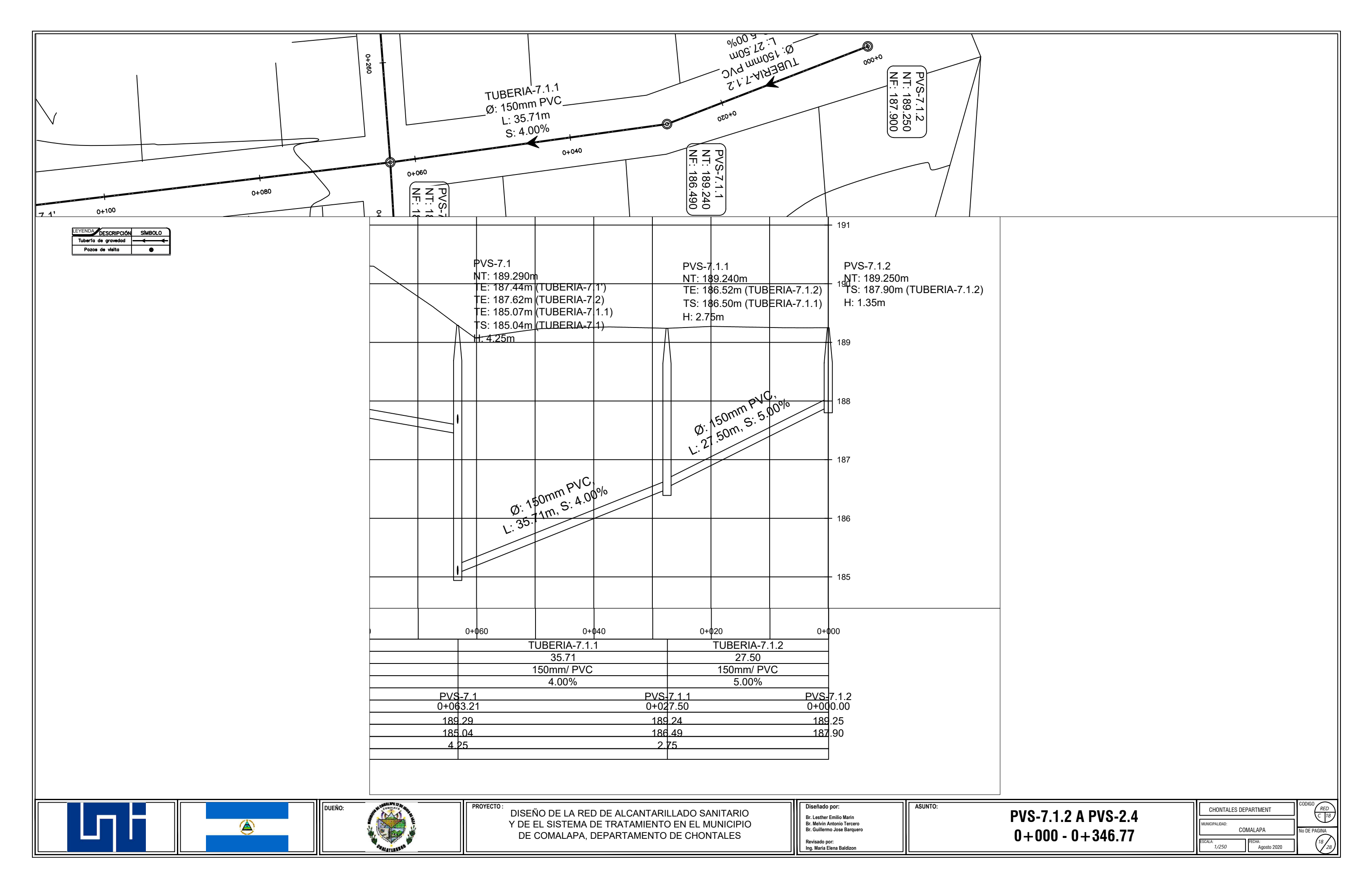


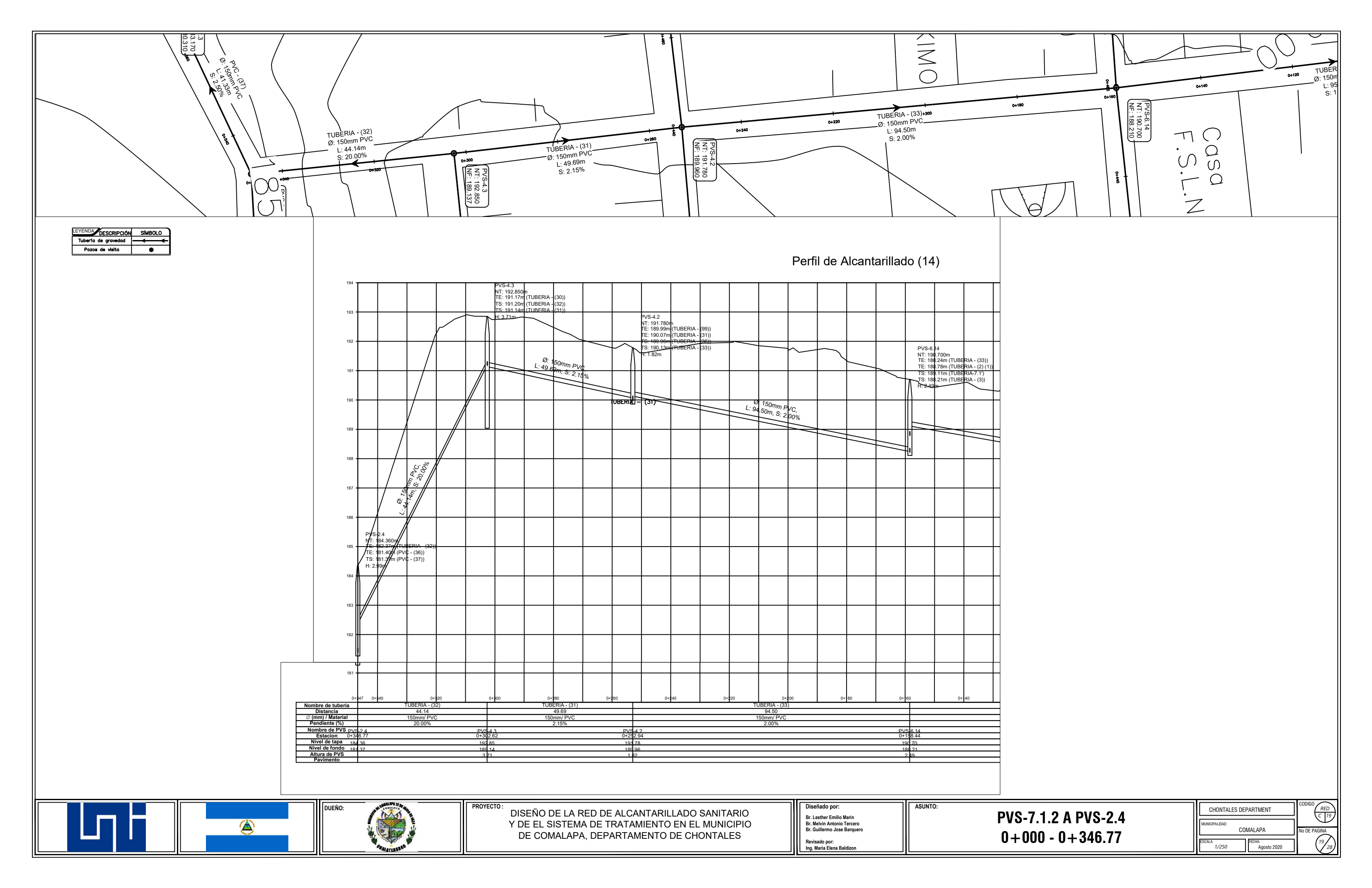


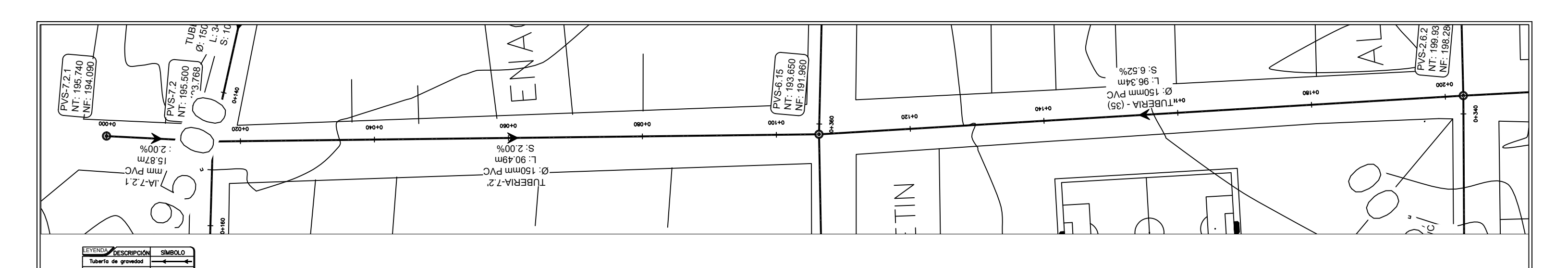


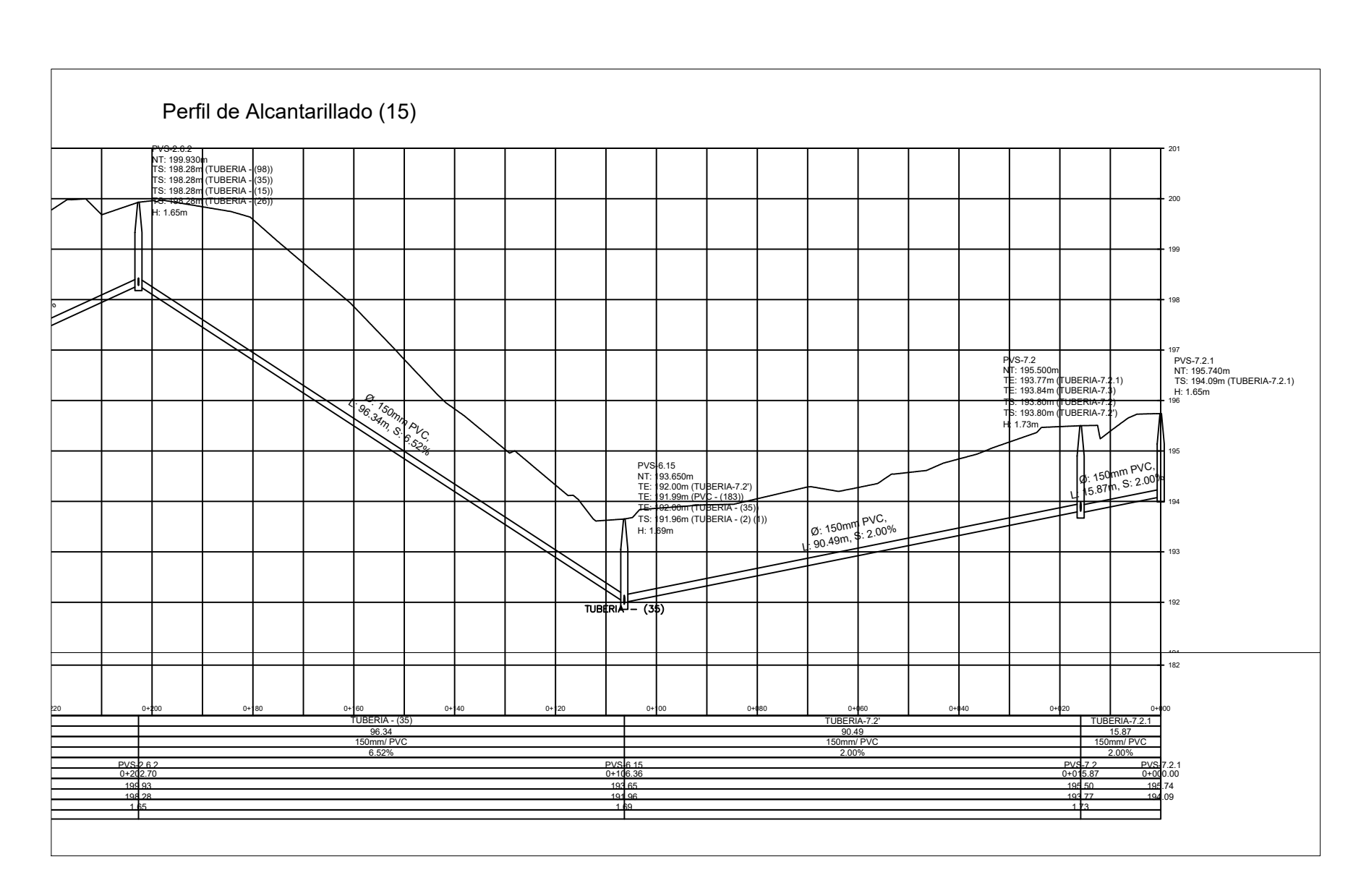


















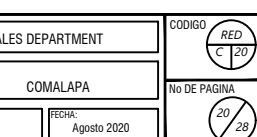
DISEÑO DE LA RED DE ALCANTARILLADO SANITARIO Y DE EL SISTEMA DE TRATAMIENTO EN EL MUNICIPIO DE COMALAPA, DEPARTAMENTO DE CHONTALES

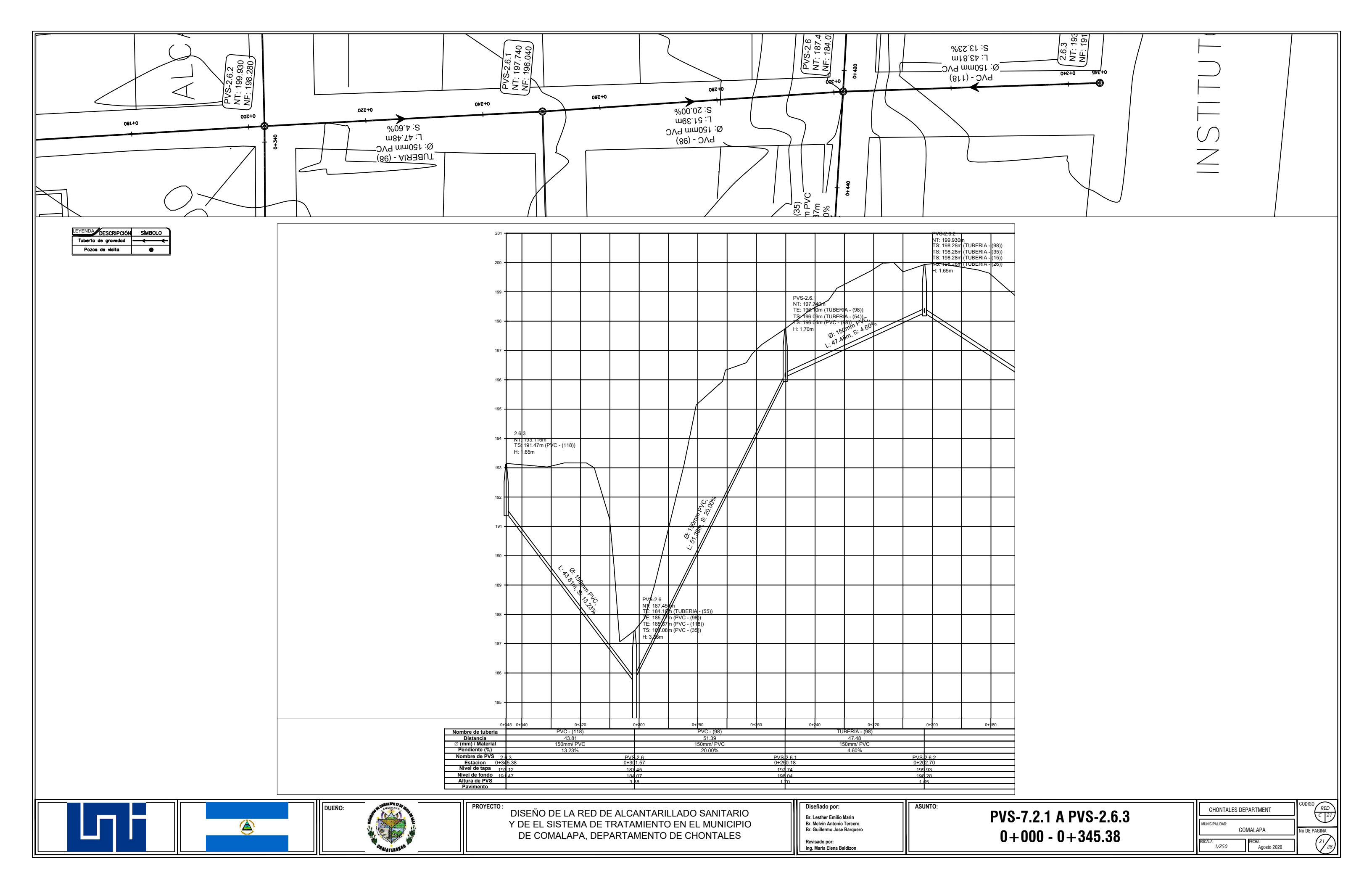
Br. Lesther Emilio Marin Br. Melvin Antonio Tercero Br. Guillermo Jose Barquero

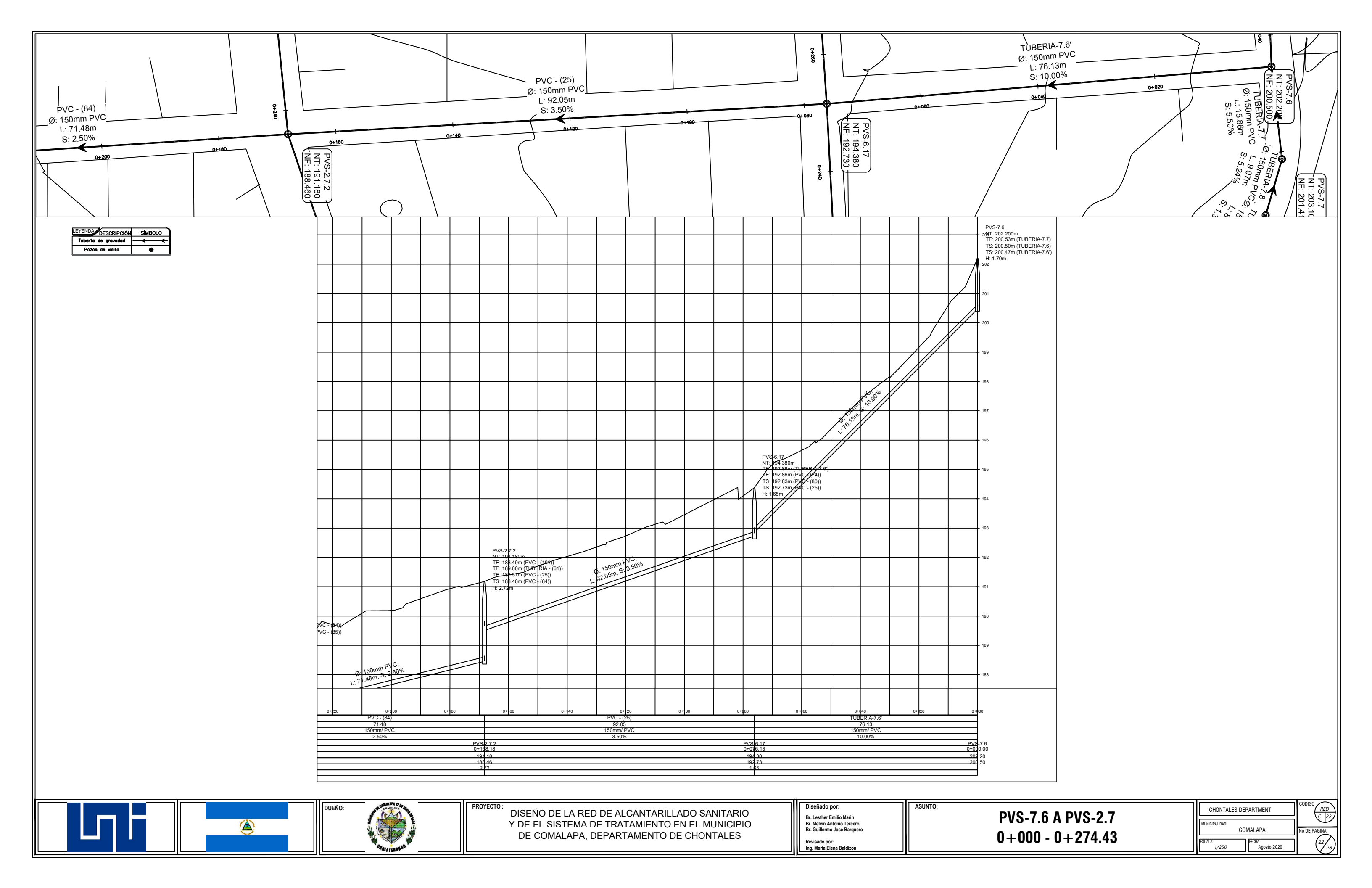
ASUNTO:

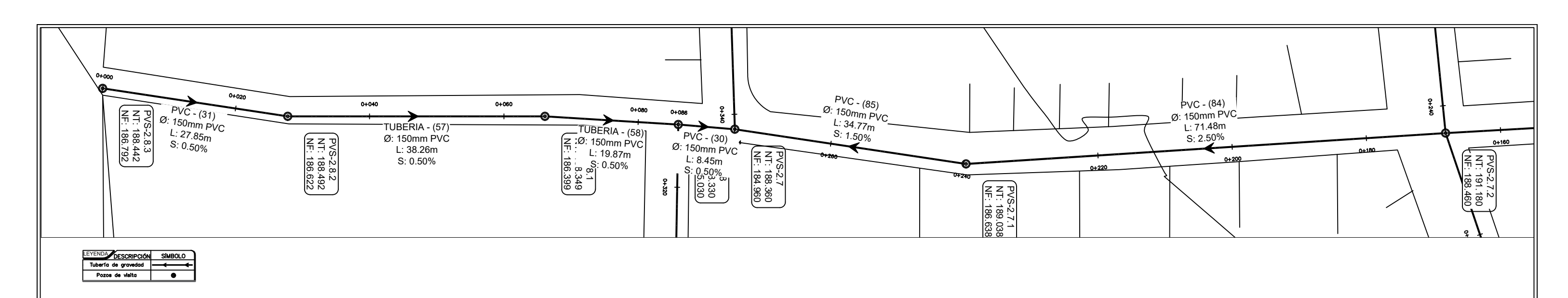
PVS-7.2.1 A PVS-2.6.3 0+000-0+345.38

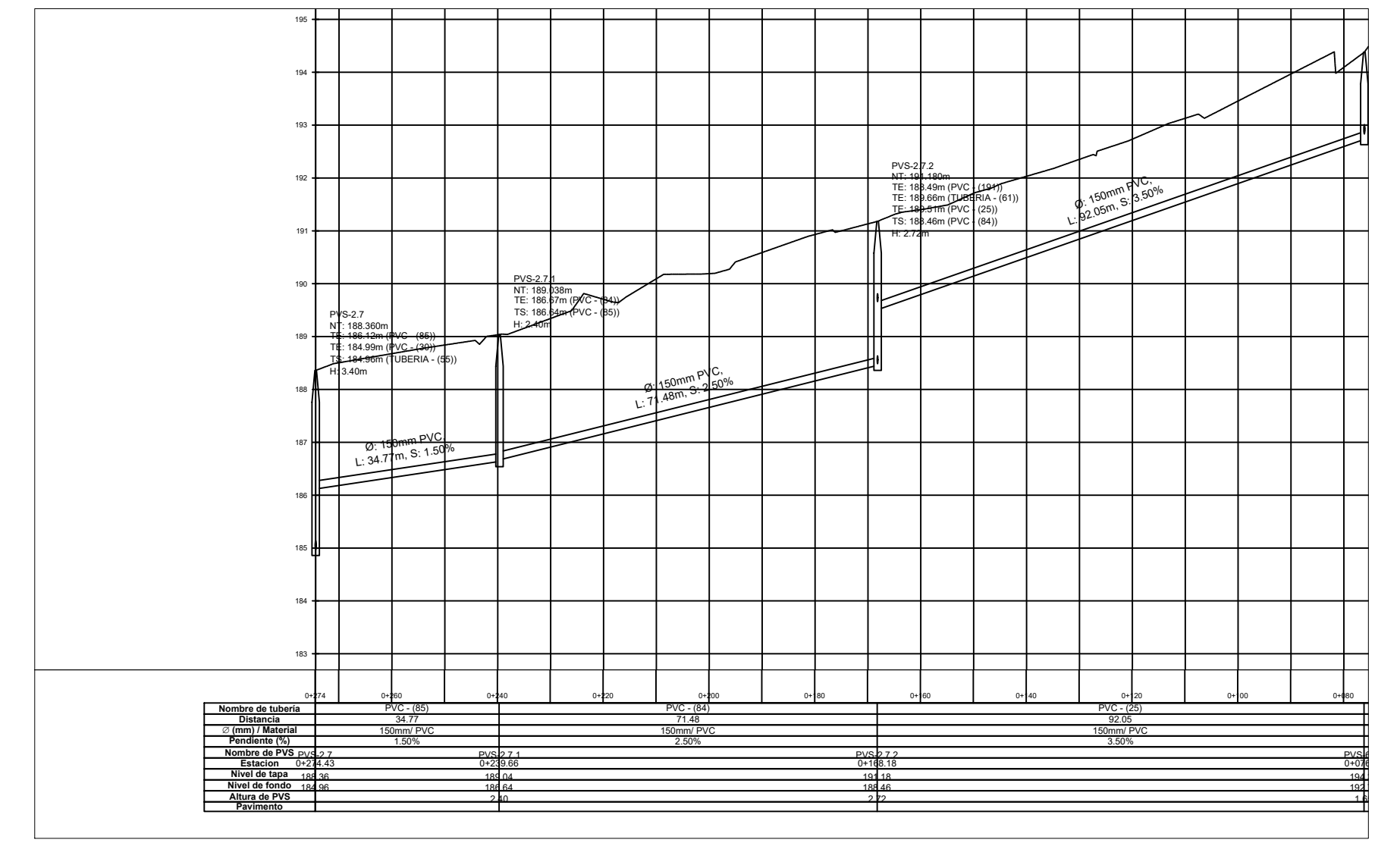


















DISEÑO DE LA RED DE ALCANTARILLADO SANITARIO Y DE EL SISTEMA DE TRATAMIENTO EN EL MUNICIPIO DE COMALAPA, DEPARTAMENTO DE CHONTALES

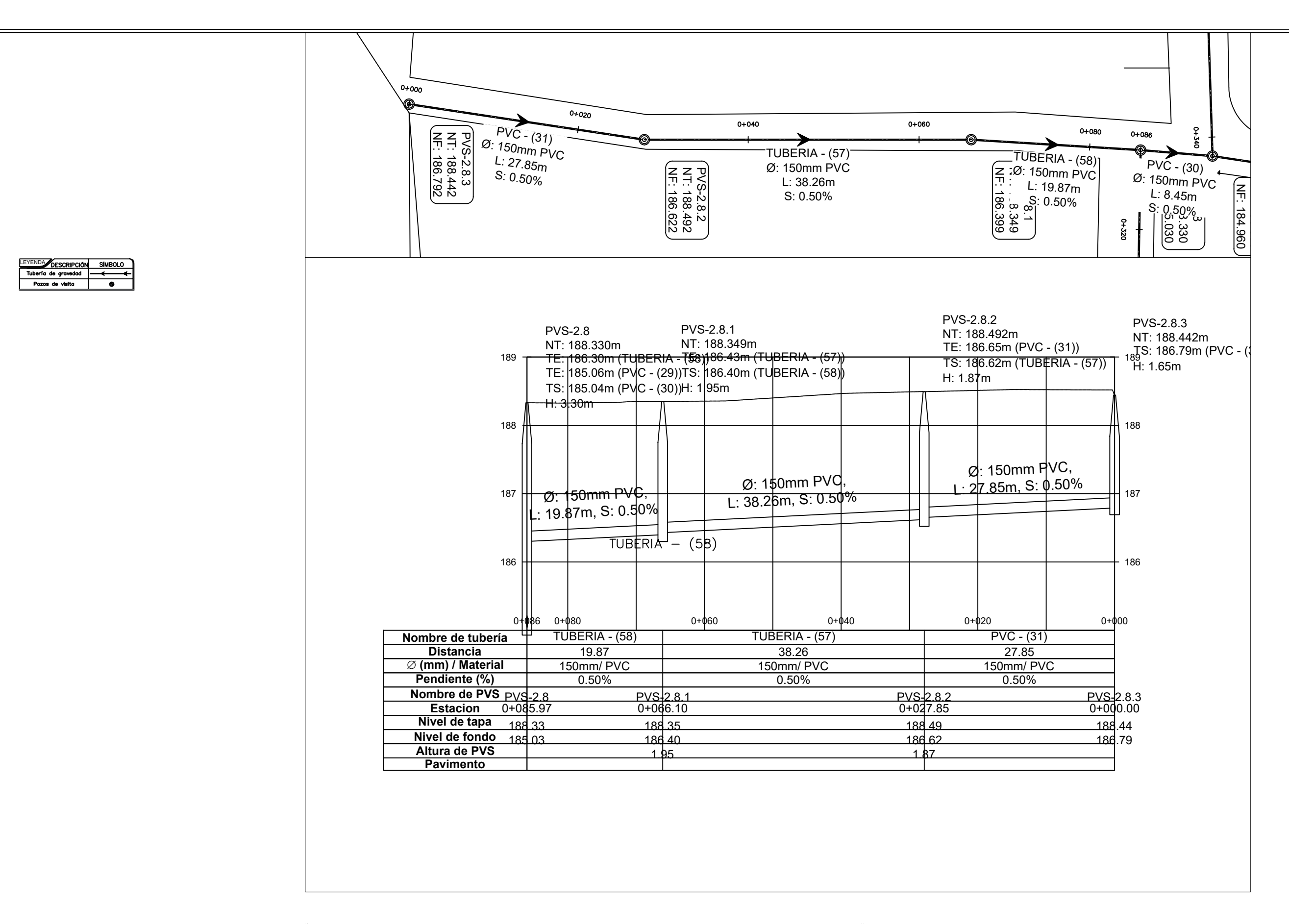
Diseñado por: Br. Lesther Emilio Marin Br. Melvin Antonio Tercero Br. Guillermo Jose Barquero ASUNTO:

PVS-7.6 A PVS-2.7 0+000-0+274.43



GO RED C 23

CHONTALES DEPARTMENT o DE PAGINA





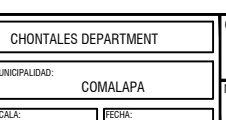


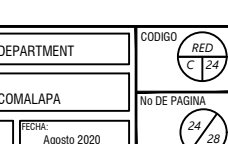


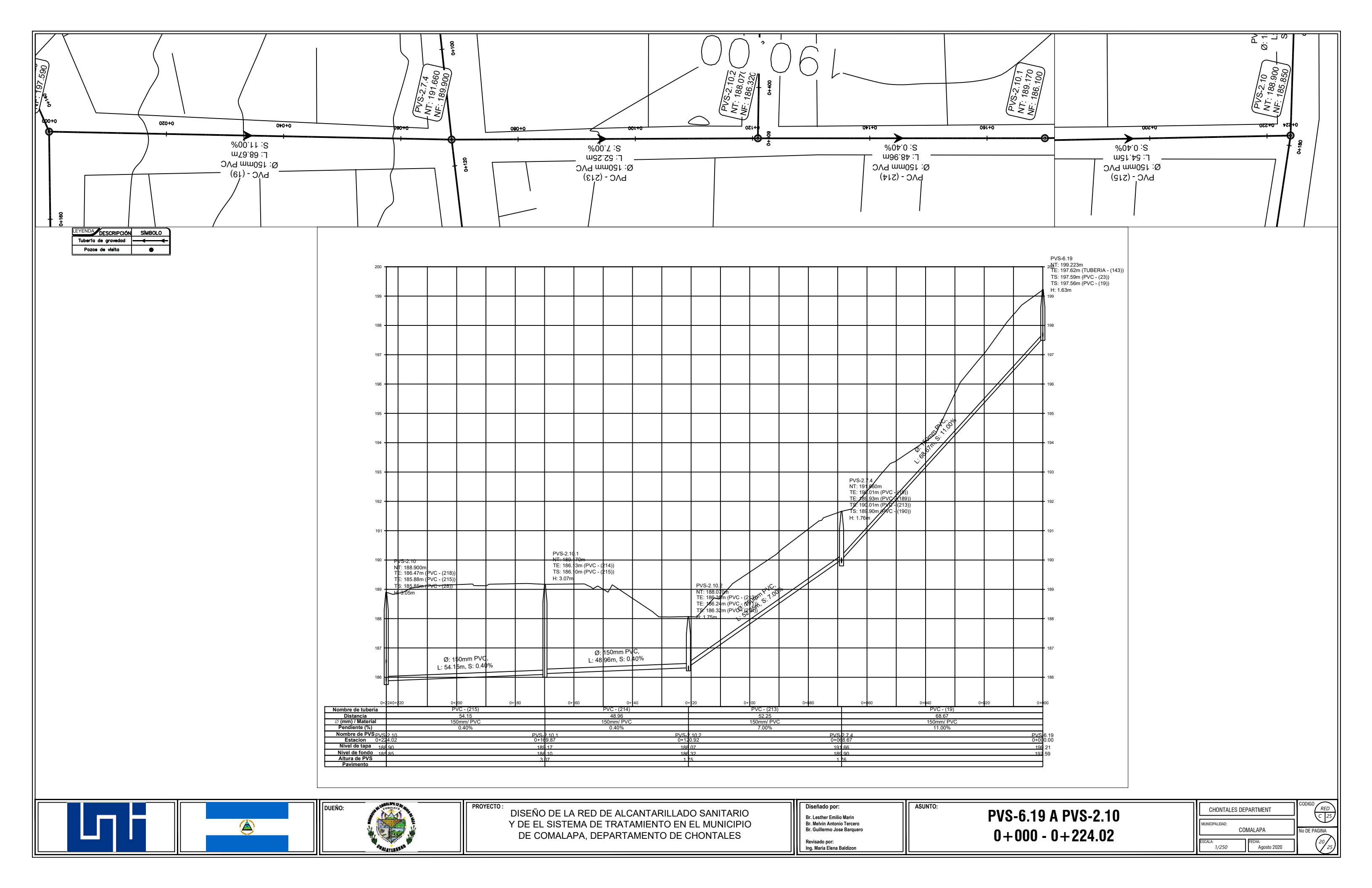
DISEÑO DE LA RED DE ALCANTARILLADO SANITARIO Y DE EL SISTEMA DE TRATAMIENTO EN EL MUNICIPIO DE COMALAPA, DEPARTAMENTO DE CHONTALES

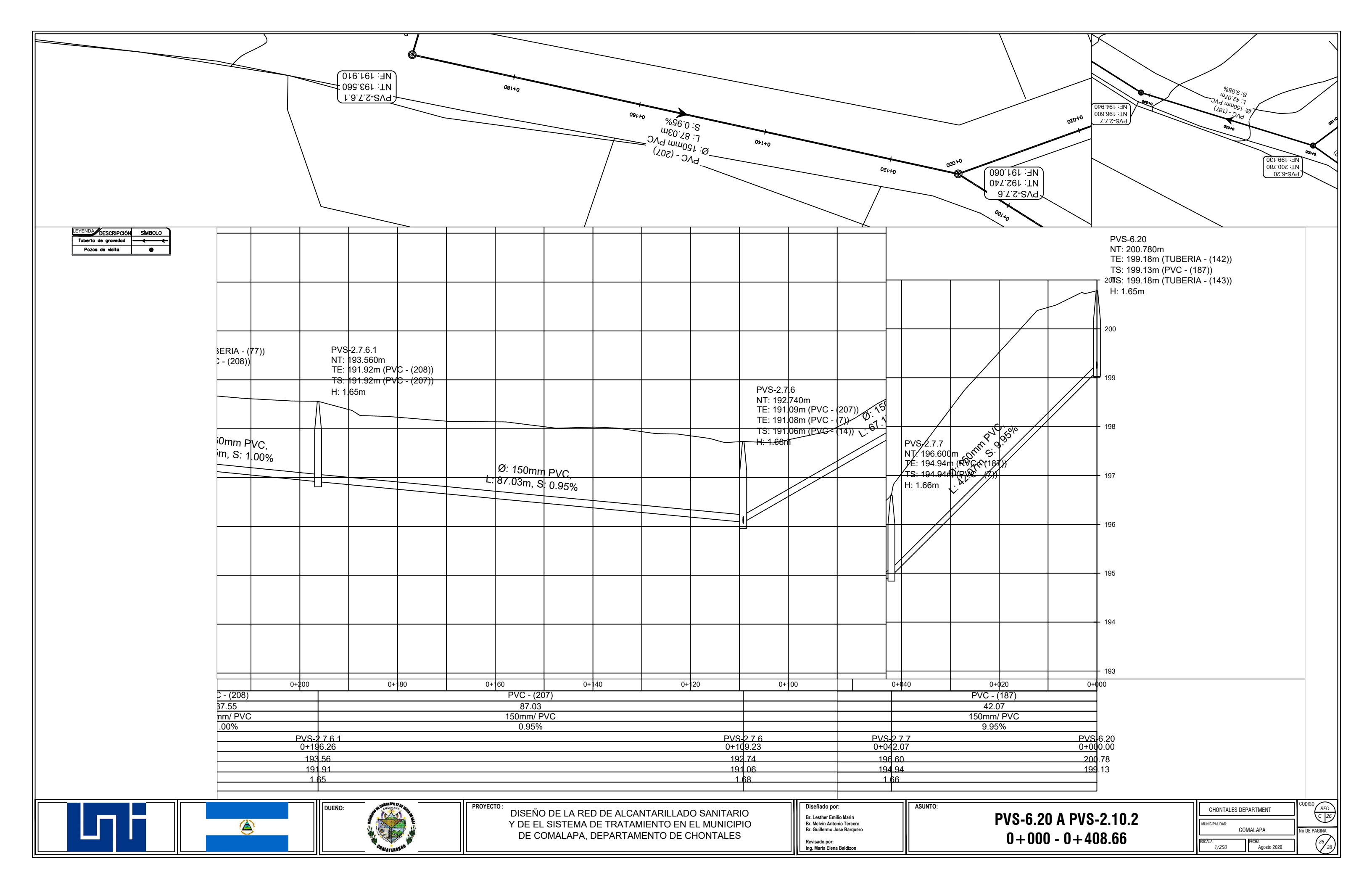
Diseñado por: Br. Lesther Emilio Marin Br. Melvin Antonio Tercero Br. Guillermo Jose Barquero ASUNTO:

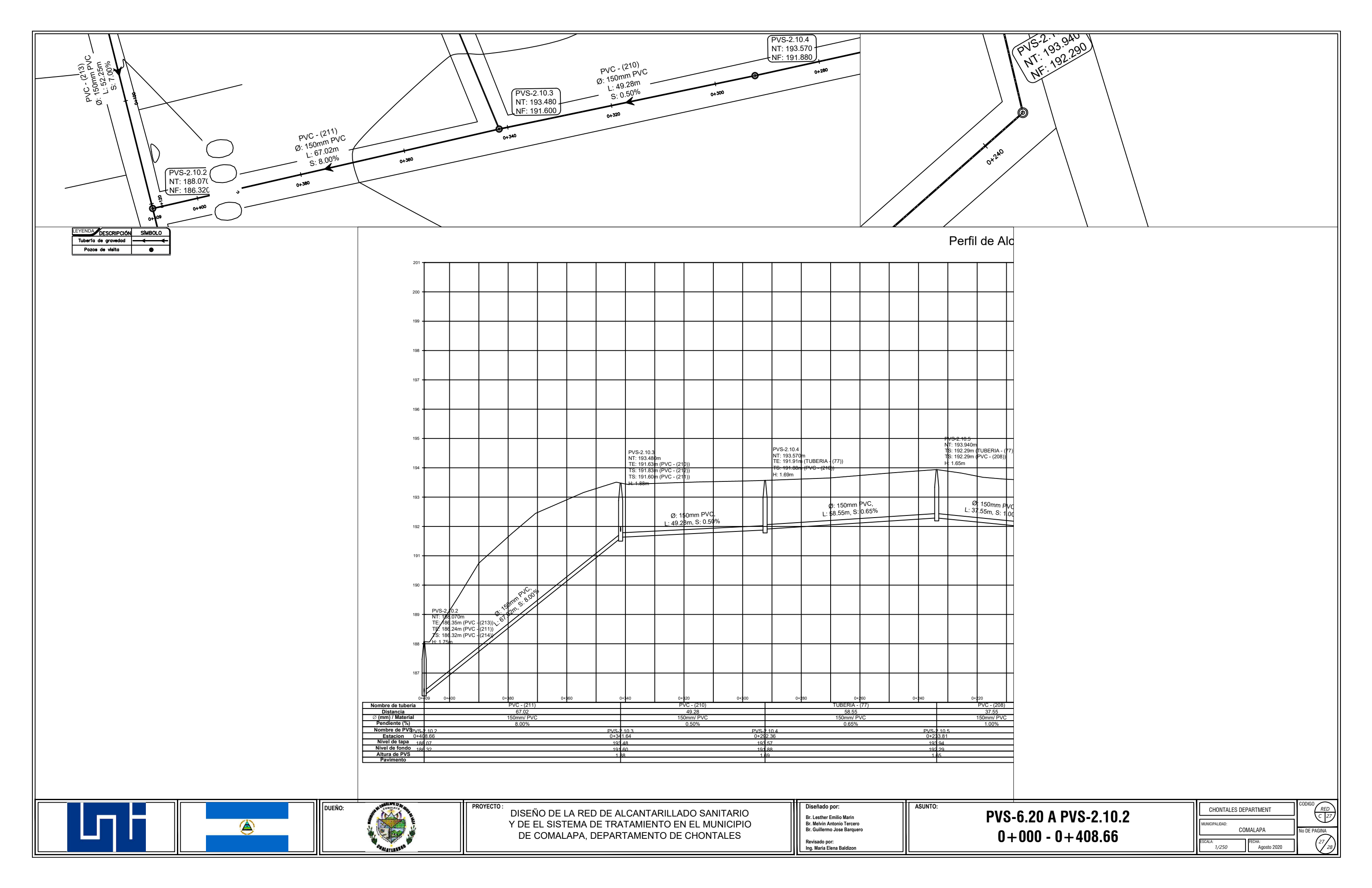
PVS-2.8.3 A PVS-2.8 0+000-0+085.97

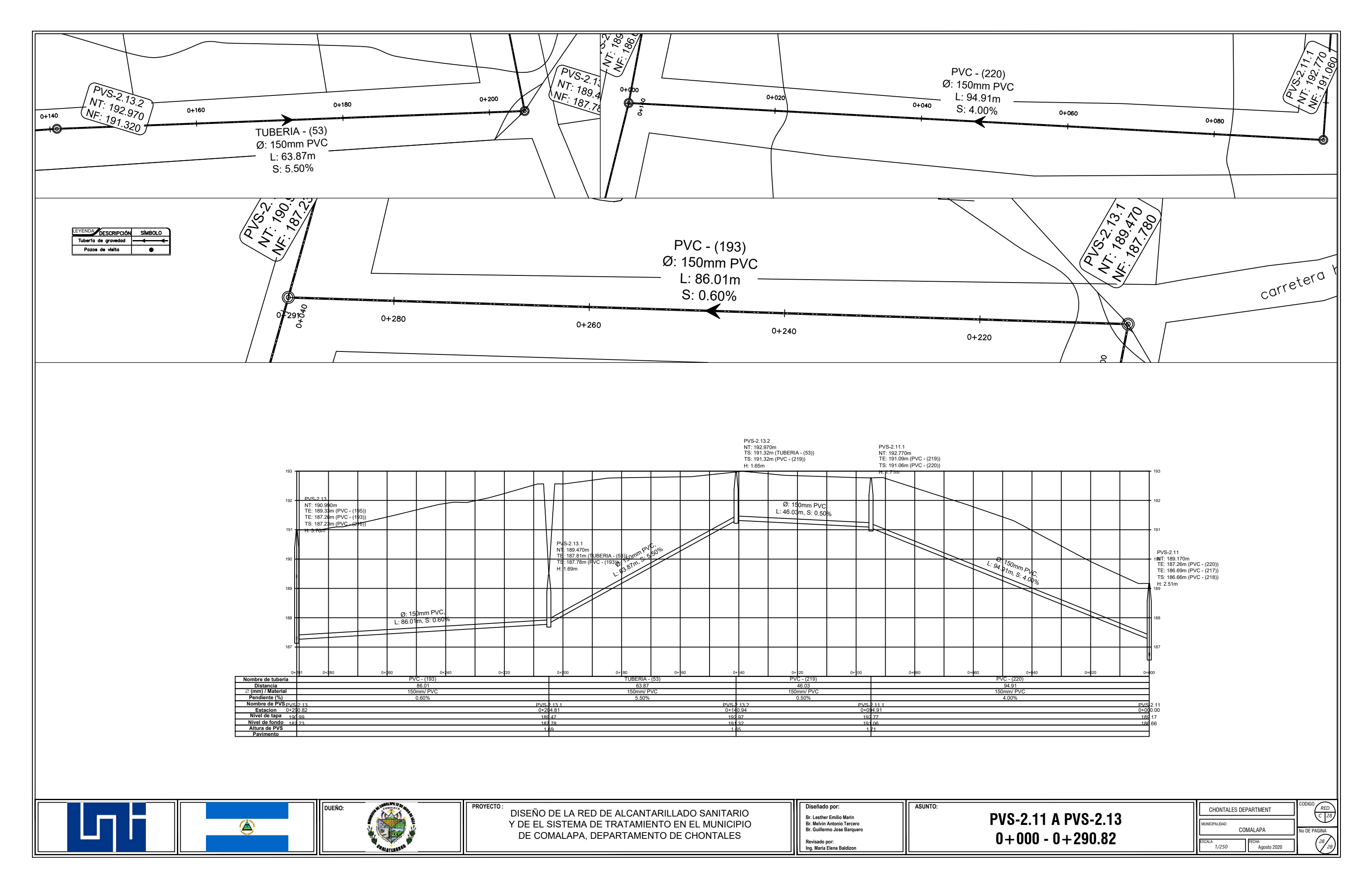


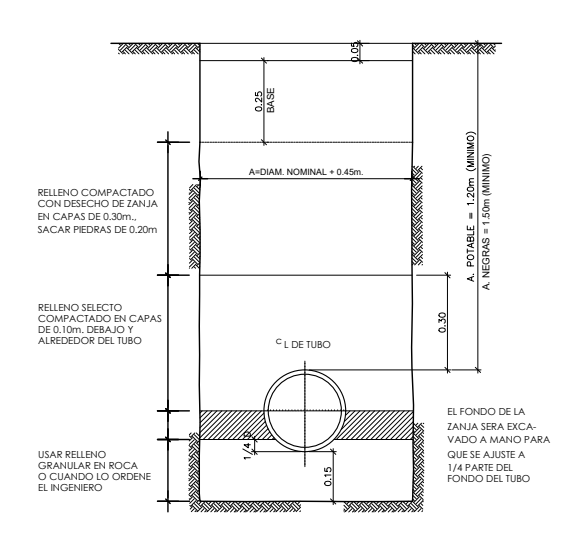




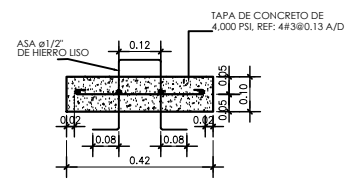




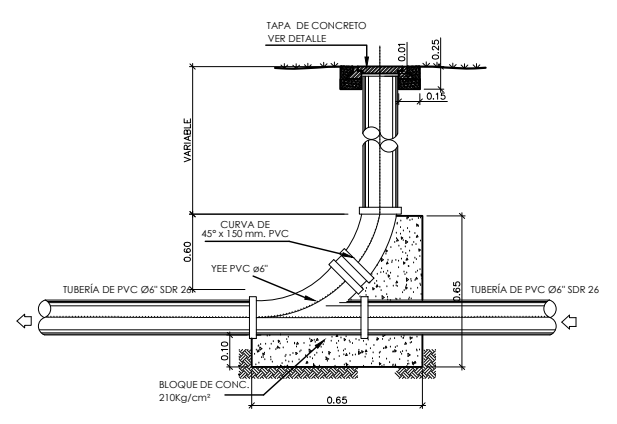




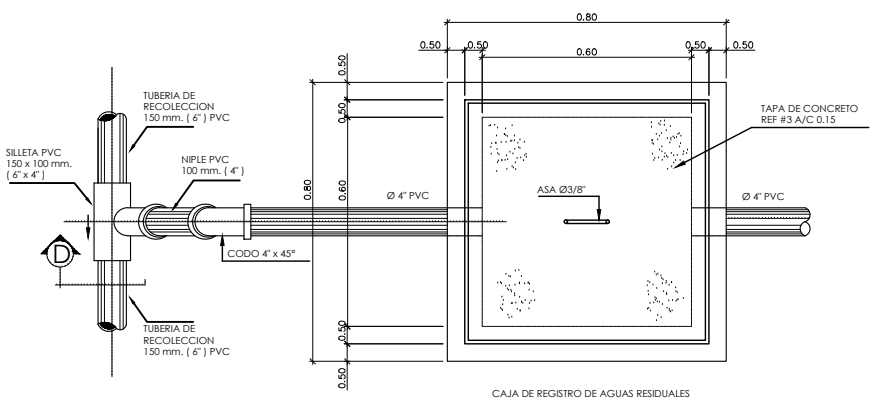
Det.tipico zanja para tuberia



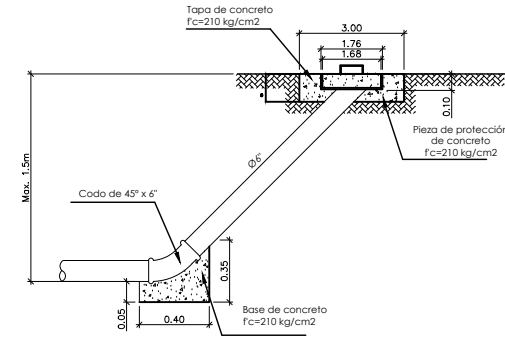
Detalle de tapa



Detalle de boca de inspección para línea de conducción



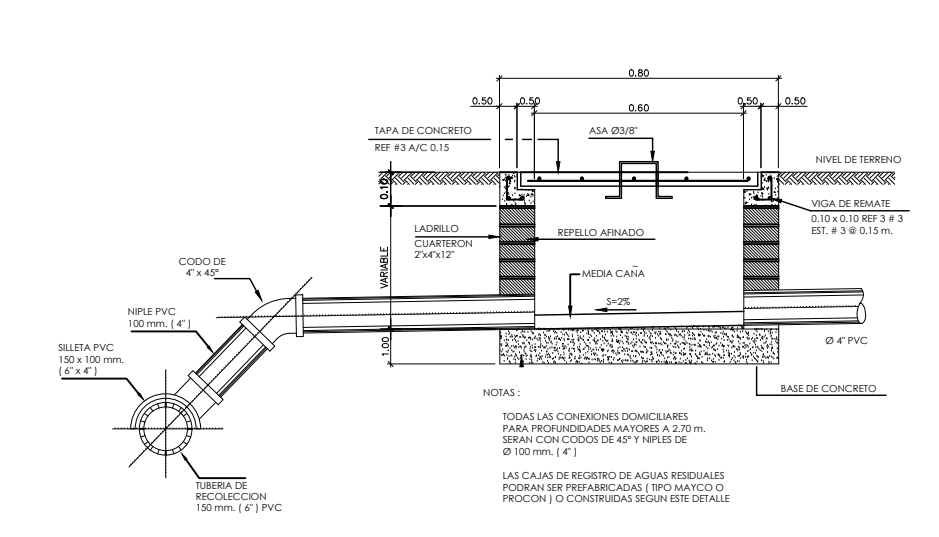
Detallle de conexion domiciliar (Planta) para profundidades menores de 2.50 m



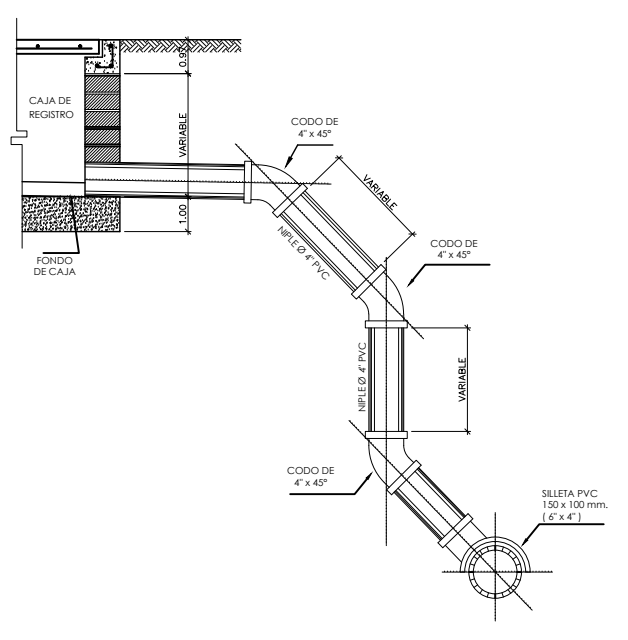
Detalle de terminal de limpieza

NOTAS GENERALES AGUAS NEGRAS

- 1. TODAS LAS DIMENSIONES ESTAN EXPRESADAS EN METROS.
- 2. EN GENERAL EL EJE DE LAS TUBERIAS DEBERAN QUEDAR LOCALIZADO A 2.50 m. AL OESTE DE LA LINEA CENTRAL EN LAS AVENIDAS Y A 2.50 m. AL NORTE DE LA LINEA EN LAS
- 3. LA PROFUNDIDAD DEL TENDIDO A NIVEL DE CORONA SERA A 1.5 m. DEL NIVEL DE LA CALLE, COMO MÍNIMO.
- 4. EL ANCHO TOTAL DE LA ZANJA NO DEBERA EXCEDER EL DIAMETRO NOMINAL DEL TUBO + 0.45 m.
- 5. LOS TUBOS DEBERAN SER PVC, CEDULA SDR-41
- 6. PRUEBAS DE CAMPO : DESPUES DE INSTALADA LA TUBERIA DEBERAN EFECTUARSE PRUEBAS DE ALINEAMIENTO, DE PENDIENTE Y EXFILTRACION, SEGUN ESPECIFICACIONES TECNICAS VIGENTES DEL INAA.
- 7. LAS ESPECIFICACIONES TECNICAS DEL INAA PREVALECEN SOBRE CUALQUIER OTRA.
- 8. EN TODA LA LONGITUD DE TUBERIA QUE LA PROFUNDIDAD SEA MENOR DE 1.20 m. SE PROTEGERA EN ESA LONGITUD POR UNA LOSA DE CONCRETO SIMPLE CON ESPESOR DE 0.15 x 0.30 m. DE ANCHO.



Detallle de conexion domiciliar (seccion) para profundidades menores de 2.50 m



Detalle de conexion domiciliar profunda para profundidades mayores de 2.50 m.



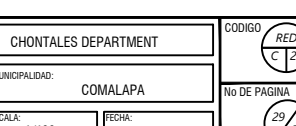






DISEÑO DE LA RED DE ALCANTARILLADO SANITARIO Y DE EL SISTEMA DE TRATAMIENTO EN EL MUNICIPIO DE COMALAPA, DEPARTAMENTO DE CHONTALES

Detalles de conexiones domiciliares y zanja para tuberías

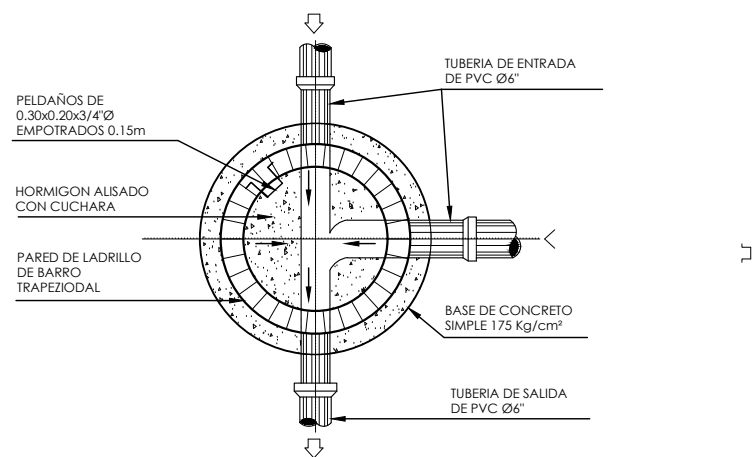




FIJAR MARCO EN LECHO DE MORTERO: 1: CEMENTO, 2: ARENA TAPA Y ARO DE H°F° LADRILLO DE BARRO BASE DE CONC. 210 Kg/cm²

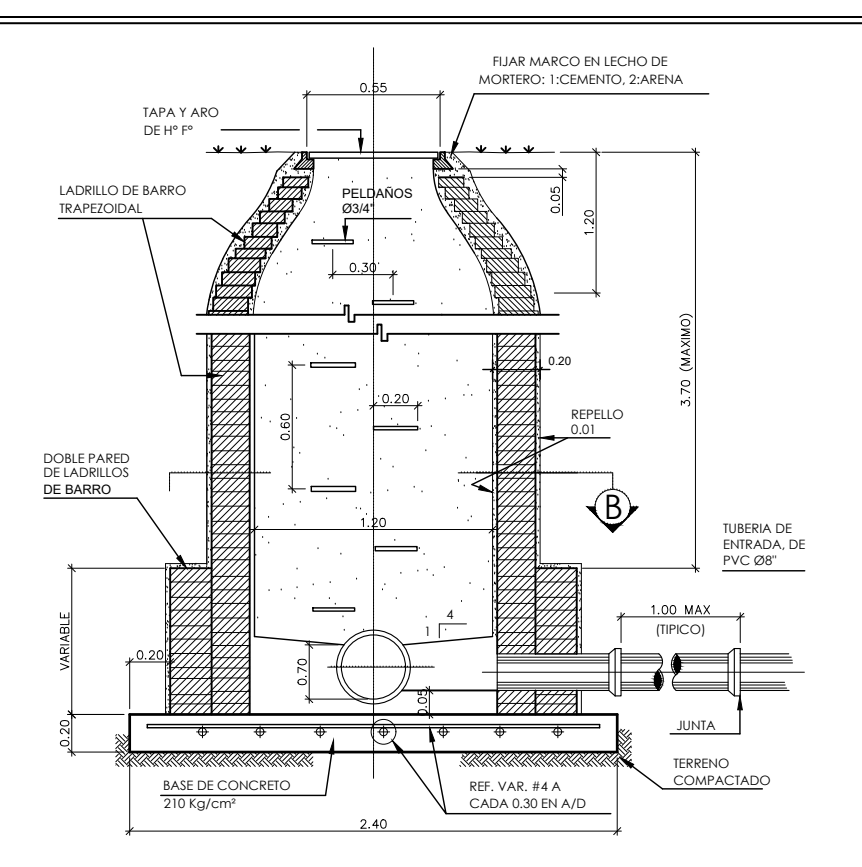
Det.Pozo de visita para profundidades menores de 3.70 m

ESCALA:NE

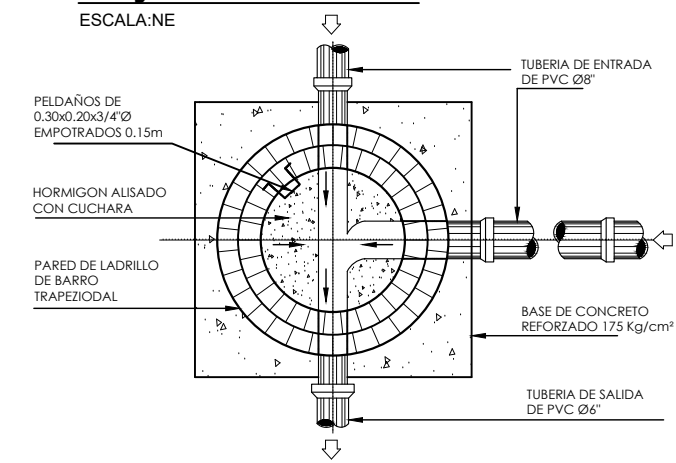


Seccion pozo de visita ESCALA:NE

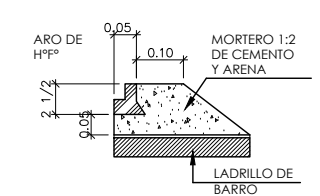




Det.Pozo de visita para profundidades mayores de 3.70 m

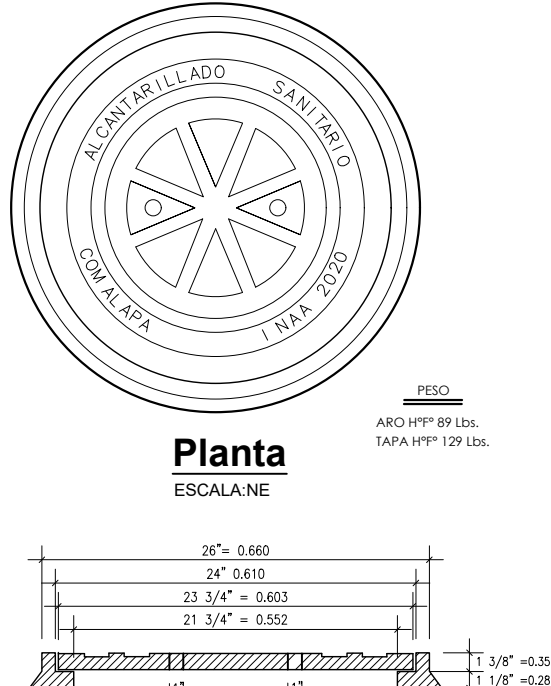


Seccion pozo de visita (B) ESCALA:NE



Det.viga perimetral

ESCALA:NE



Detalle de tapa de pozo de visita

sección





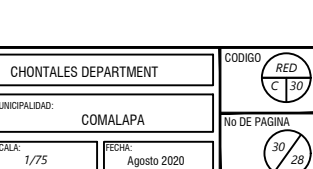


DISEÑO DE LA RED DE ALCANTARILLADO SANITARIO Y DE EL SISTEMA DE TRATAMIENTO EN EL MUNICIPIO DE COMALAPA, DEPARTAMENTO DE CHONTALES

Br. Lesther Emilio Marin Br. Melvin Antonio Tercero Br. Guillermo Jose Barquero

ASUNTO:

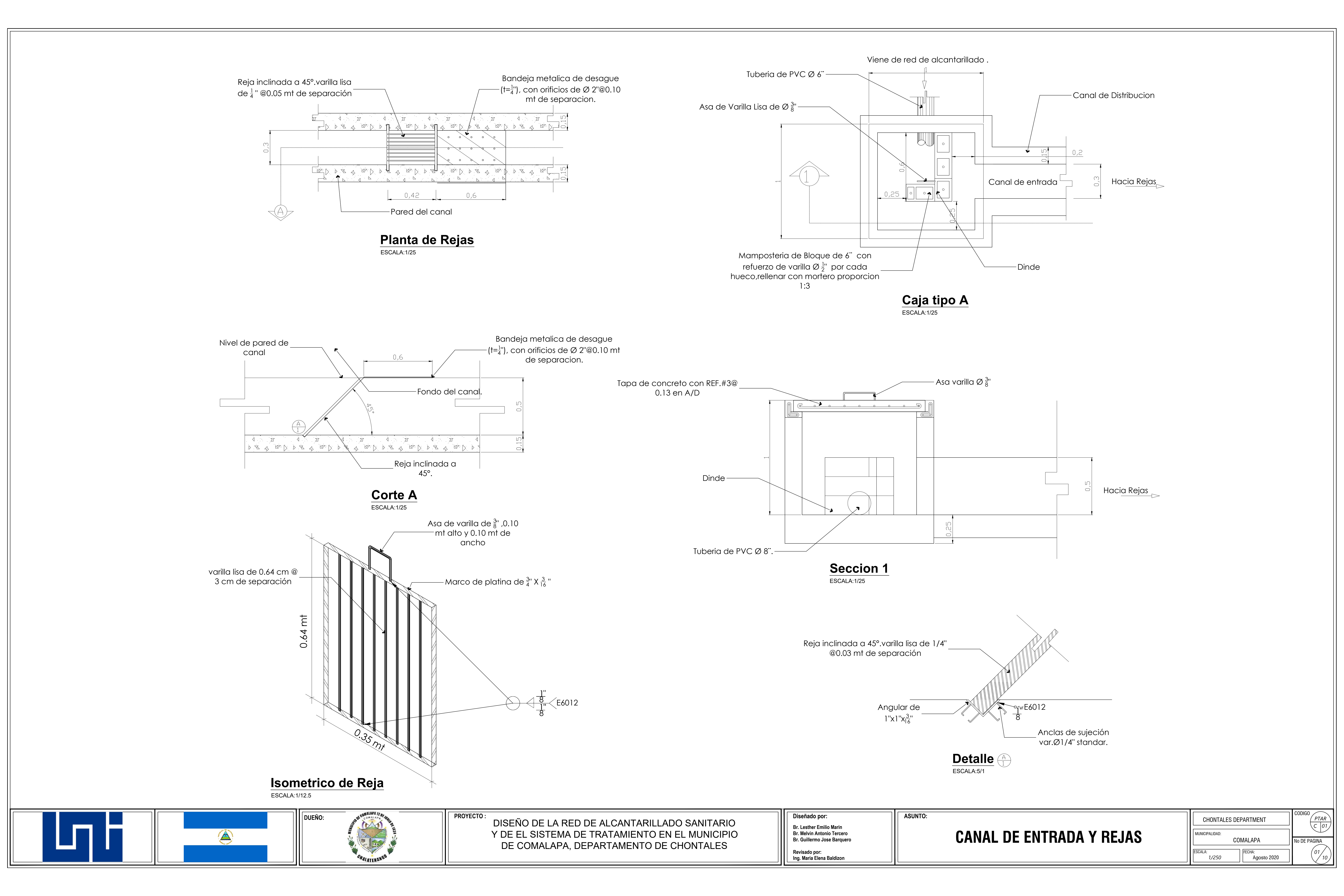
Detalles de pozos de visita

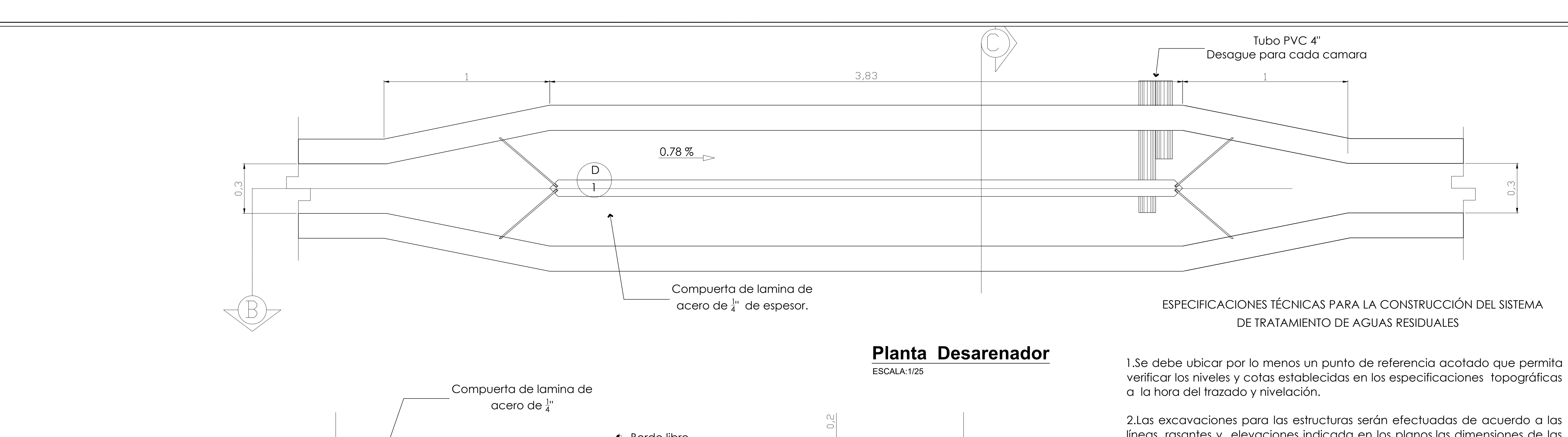


Detalles de media caña S = NONE No hay nivel de diferencia (Alineación de la parte superior del tubo) Diferencia de nivel Planta Planta 2T+B Sección A - A Sección A - A Sección B - B Sección B - B 2T+B 2T+B 2T+B CHONTALES DEPARTMENT DISEÑO DE LA RED DE ALCANTARILLADO SANITARIO Y DE EL SISTEMA DE TRATAMIENTO EN EL MUNICIPIO Detalles de pozos de visita DE COMALAPA, DEPARTAMENTO DE CHONTALES

 \bigcirc

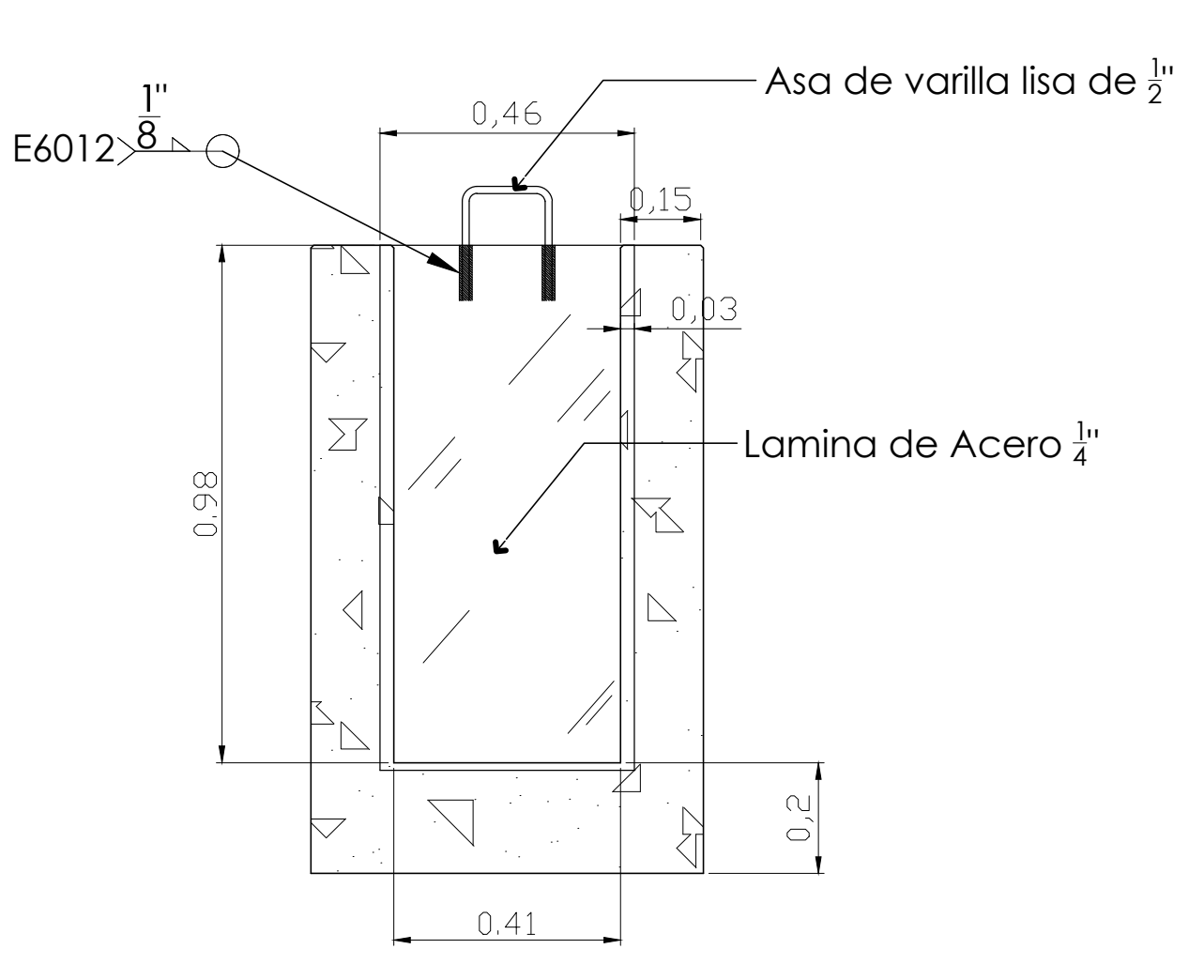
PLANTA DE TRATAMIENTO DE AGUAS RESIDUALES

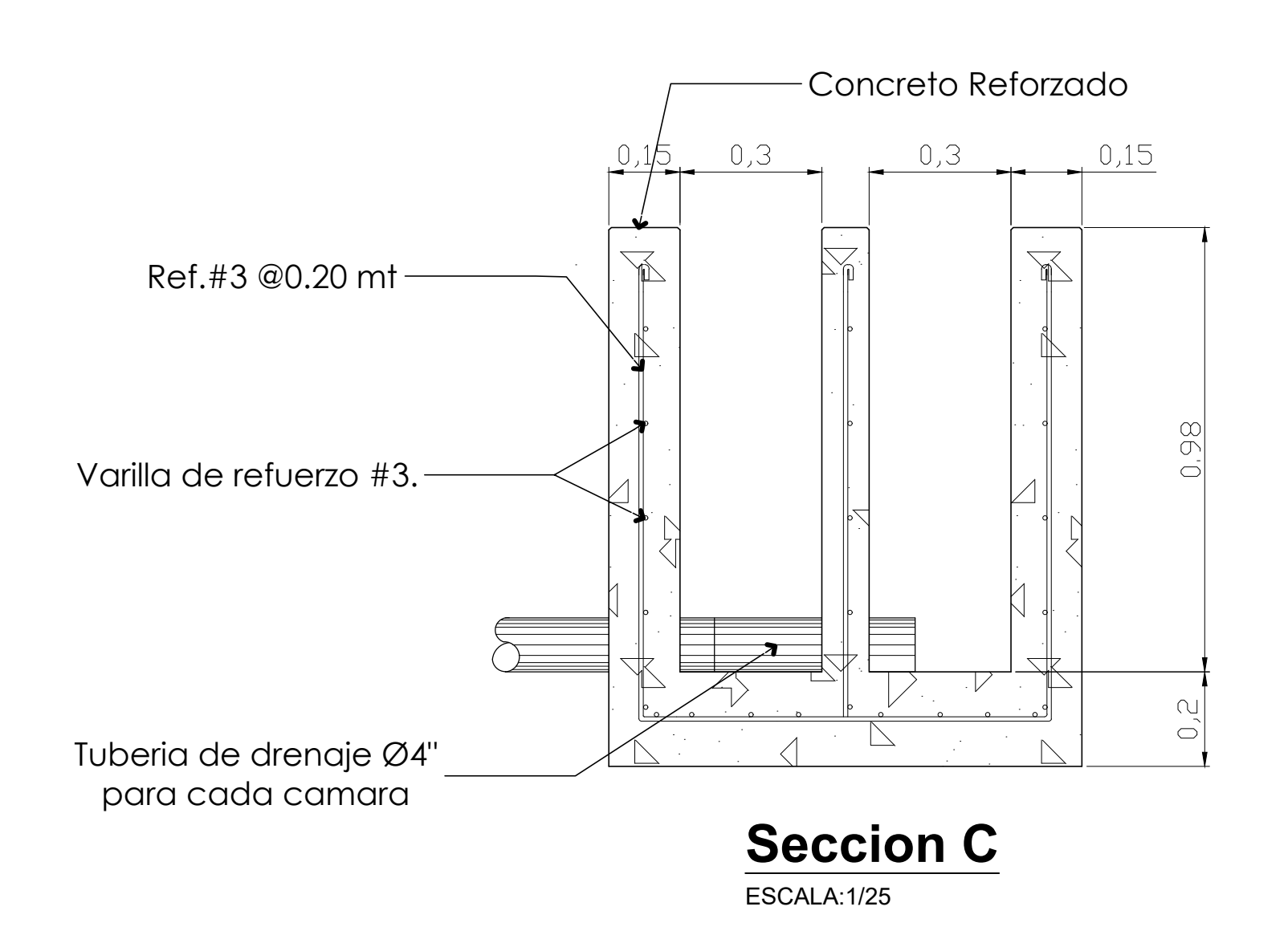




Compuerta de lamina de acero de 4 hamina de acero de 4 hamina de acero de 4 hamina de acero de 5 hamina de acero de 6 hamina de acero de 5 hamina de 5 ha

ESCALA:1/25





Compuerta del Desarenador

ESCALA:1/25

2.Las excavaciones para las estructuras serán efectuadas de acuerdo a las líneas, rasantes y elevaciones indicada en los planos.las dimensiones de las excavaciones serán tales que permitan colocar en todas sus dimensiones las estructuras correspondientes. Ademas al iniciar con el proceso de excavación se debe tener muy en claro el lugar en donde se estará colocando el suelo que se vaya extrayendo, el cual deberá estar lejos de la zona de trabajo.

3.Los trabajos de concreto se ejecutaran de conformidad a las especificaciones técnicas establecidas por la ASTM.

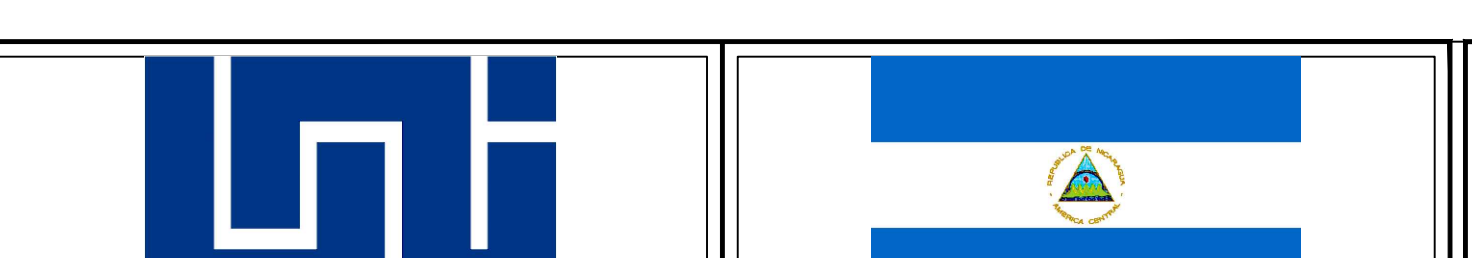
4. Para la construcción de las estructuras de pretratamiento, el concreto tendrá unas proporciones de 1:2:3 de cemento, arena y grava respectivamente.

5.La impermeabilización de las paredes internas de las estructuras de concreto consistirá en dos capas:la primera de 1cm de espesor ,preparada con mortero de cemento y arena en proporción 1:3 y el aditivo impermeabilizante,la segunda con mortero 1:1 preparado igualmente con el aditivo.

6.Antes de proceder al enlucido interior, la estructura será sometida a la prueba hidráulica para constatar su impermeabilidad, para ello será llenada con agua hasta su nivel máximo por un lapso de 24 horas como minimo. en caso que no se presenten filtraciones se ordenara descargarlo y enlucirlo. En caso que la prueba no sea satisfactoria, se repetirá después de haber efectuado las reparaciones tantas veces como sea necesario para conseguir su impermeabilidad total.

7.El préstamo de material procederá cuando no se encuentre cantidad y calidad suficiente de material adecuado proveniente de la excavación de acuerdo con las alineaciones y rasantes.

8.NOTA: Al finalizar la obra se harán los planos de replanteo que reflejen todas las modificaciones autorizadas. Estos planos serán fundamentales para la operación y mantenimiento de la planta de tratamiento.





DISEÑO DE LA RED DE ALCANTARILLADO SANITARIO Y DE EL SISTEMA DE TRATAMIENTO EN EL MUNICIPIO DE COMALAPA, DEPARTAMENTO DE CHONTALES Diseñado por:

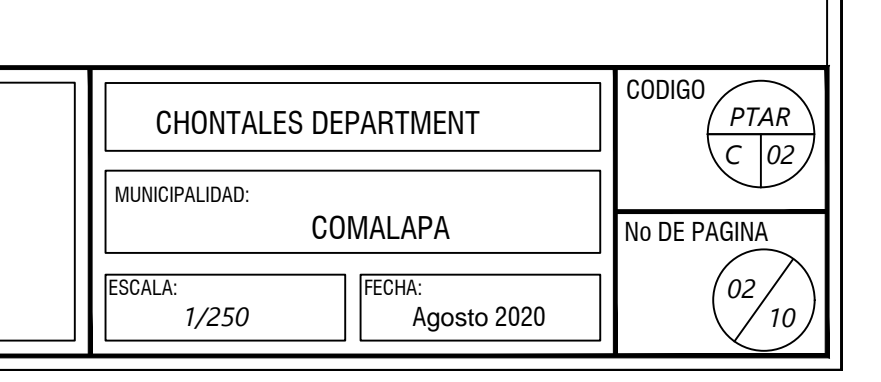
Br. Lesther Emilio Marin
Br. Melvin Antonio Tercero
Br. Guillermo Jose Barquero

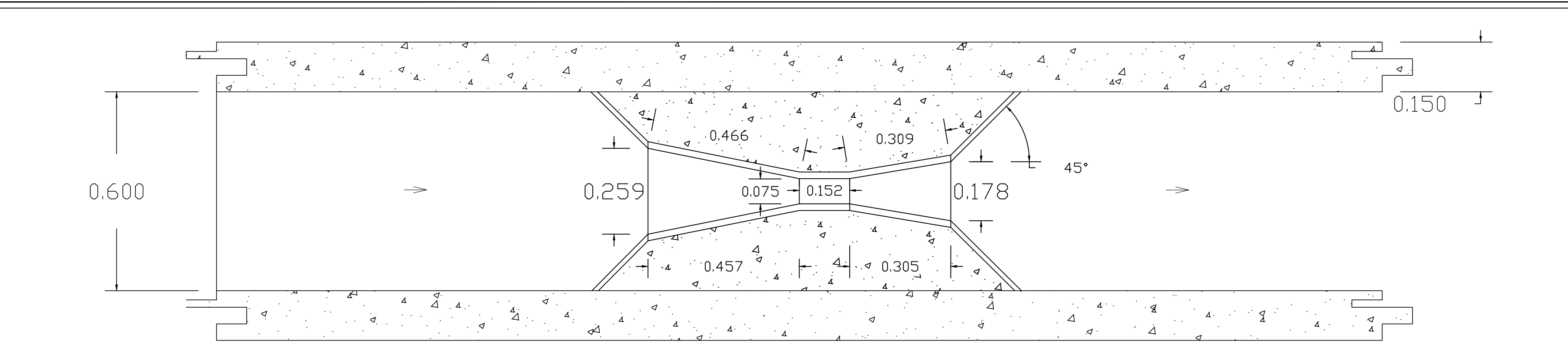
Revisado por:

Ing. Maria Elena Baldizon

ASUNTO:

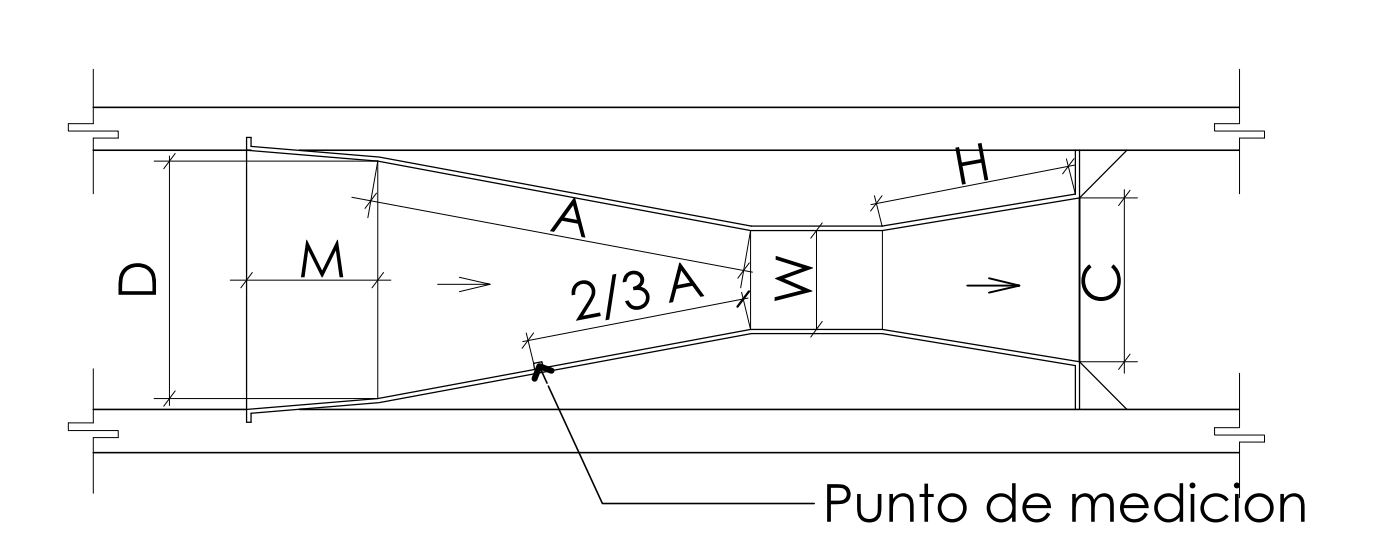
DESARENADOR





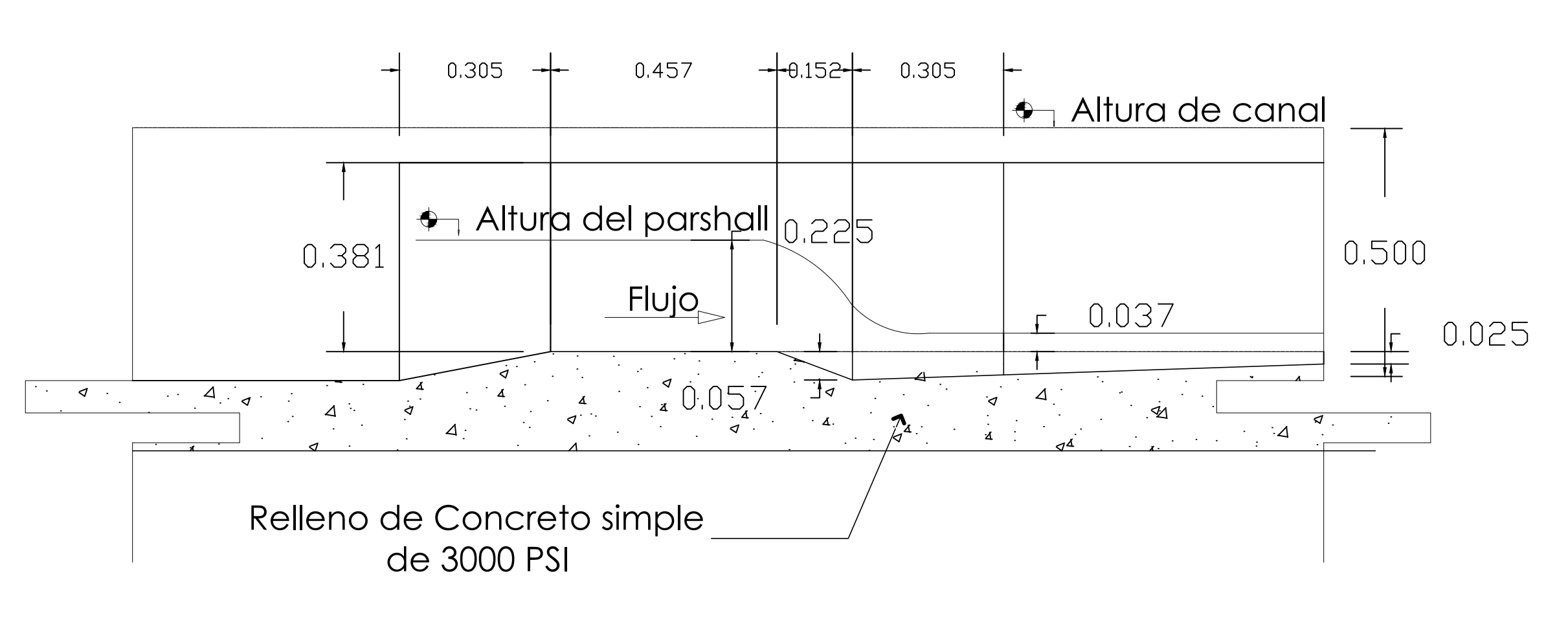
Detalle de Medidor Parshall

ESCALA:1/15



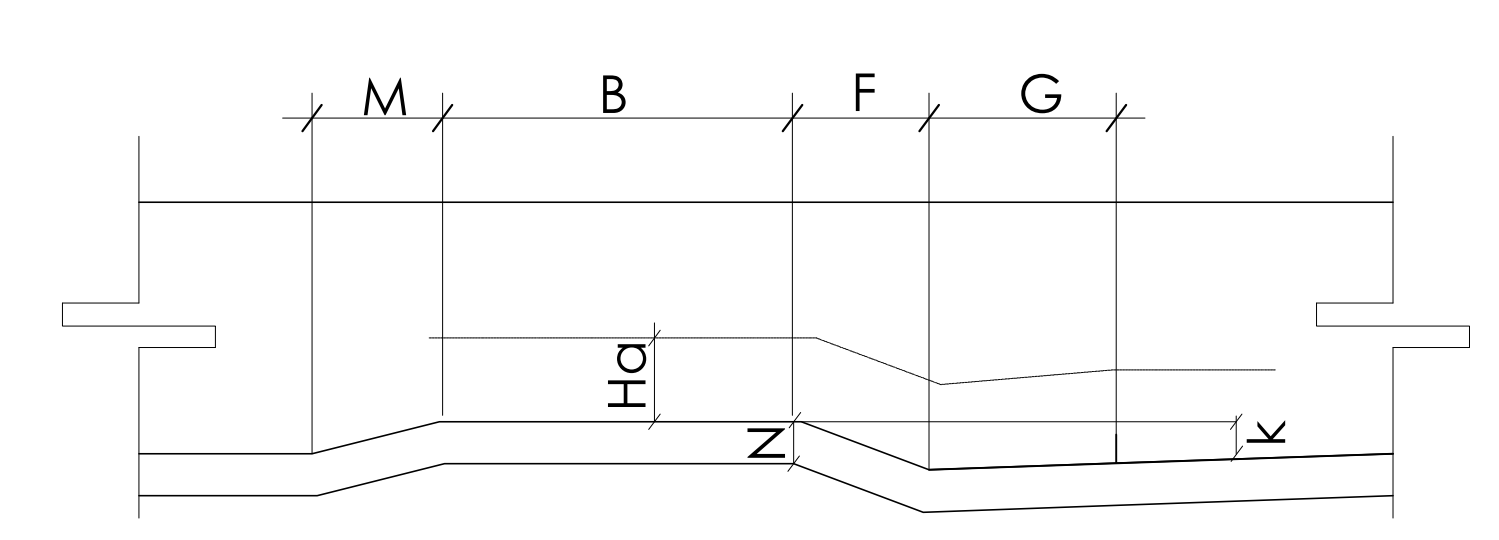
Simbologia tipica de Parshall

ESCALA:1/15



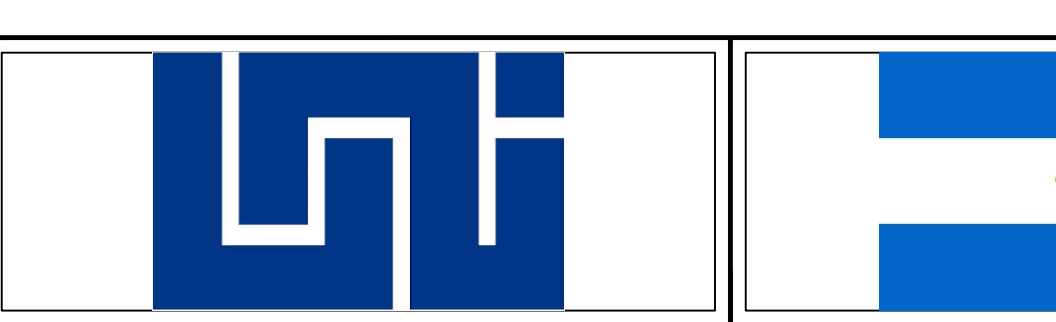
Canaleta Parshall W=0.076 m A=0.466 m A`=0.31 m B=0.457 mC=0.178 m D=0.259 m E=0.381 m F=0.152 mG=0.305 m H=0.309 m K=0.025 m M=0.305 mN=0.057 m P=0.768 m R=45°

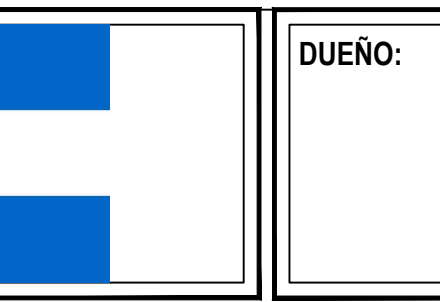
Seccion D ESCALA: 1/15



Seccion tipica de Parshall

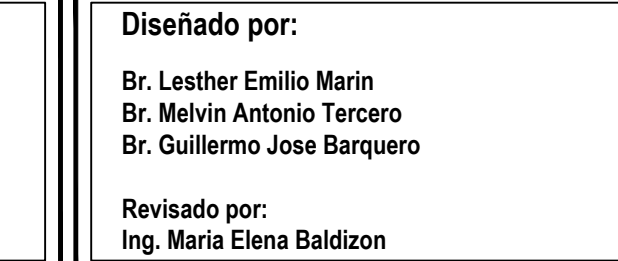
ESCALA:1/20





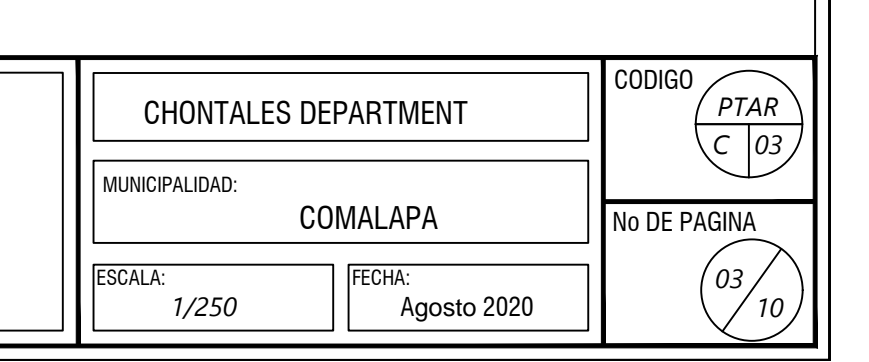


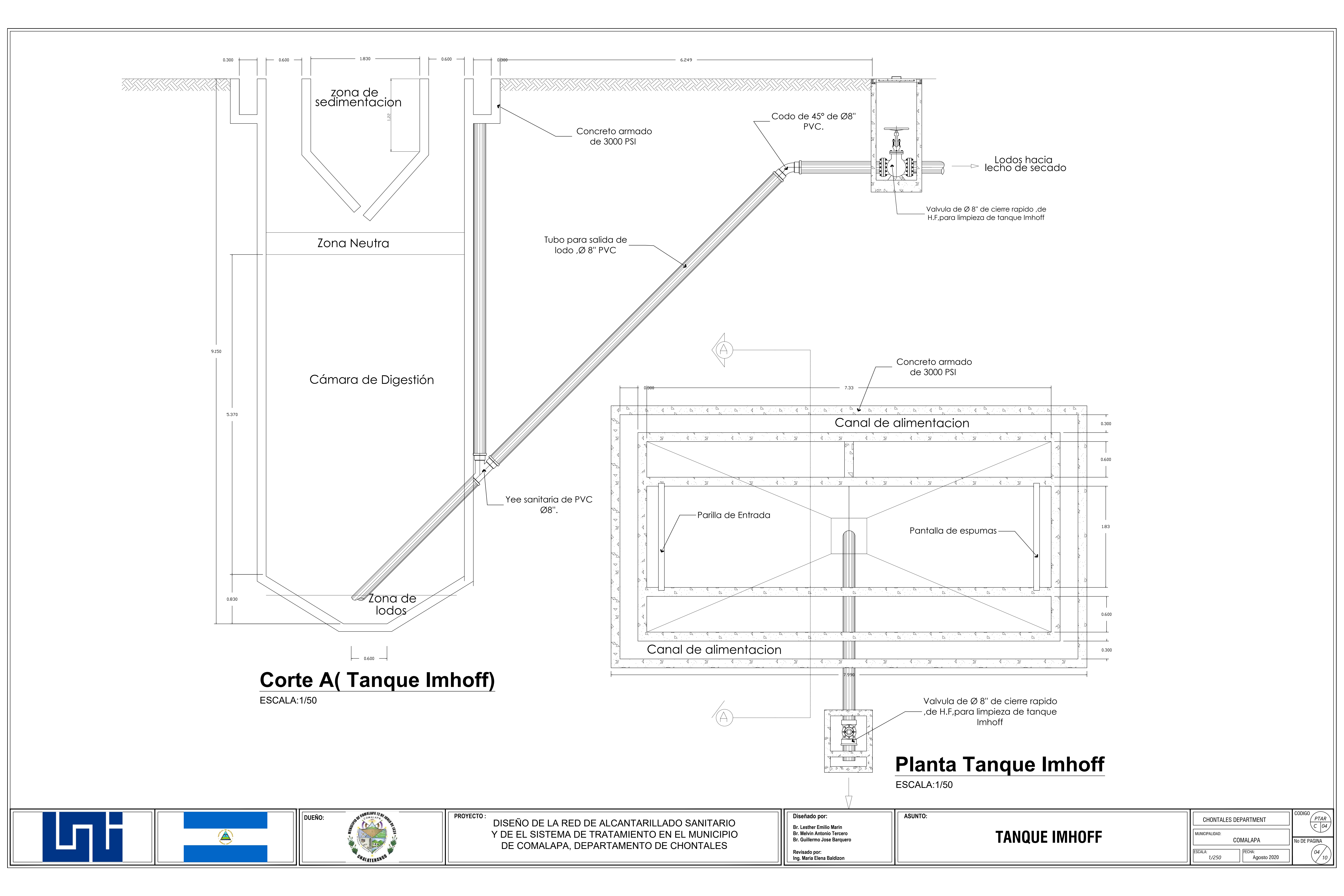
DISEÑO DE LA RED DE ALCANTARILLADO SANITARIO
Y DE EL SISTEMA DE TRATAMIENTO EN EL MUNICIPIO
DE COMALAPA, DEPARTAMENTO DE CHONTALES



ASUNTO:

CANAL PARSHALL





-Codo PVC 4" 0.1% Caja de registro de concreto reforzado. tipo B — Tuberia recolectora 4" PVC —Llave de pase 4" -Tuberia de 4" de diametro Viene de Tanque Imhoff

Planta Lecho de secado

ESCALA:1/50

ESPECIFICACIONES TÉCNICAS PARA LA CONSTRUCCIÓN DEL SISTEMA DE TRATAMIENTO DE AGUAS RESIDUALES

1.Se debe ubicar por lo menos un punto de referencia acotado que permita verificar los niveles y cotas establecidas en los especificaciones topográficas a la hora del trazado y nivelación.

2. Para la construcción del tanque Imhoff, el concreto tendrá unas proporciones de 1:2:3 de cemento, arena y grava, respectivamente y suficiente agua para que la mezcla quede bastante rígida.

3.En el lecho de secado de lodos ,el medio filtrante de arena tendra un tamaño efectivo de 0.3 a 1.3 mm y un coeficiente de uniformidad entre 2 y 5 y grava graduada entre 1.6 y 51 mm($\frac{1}{6}$ " y 2").

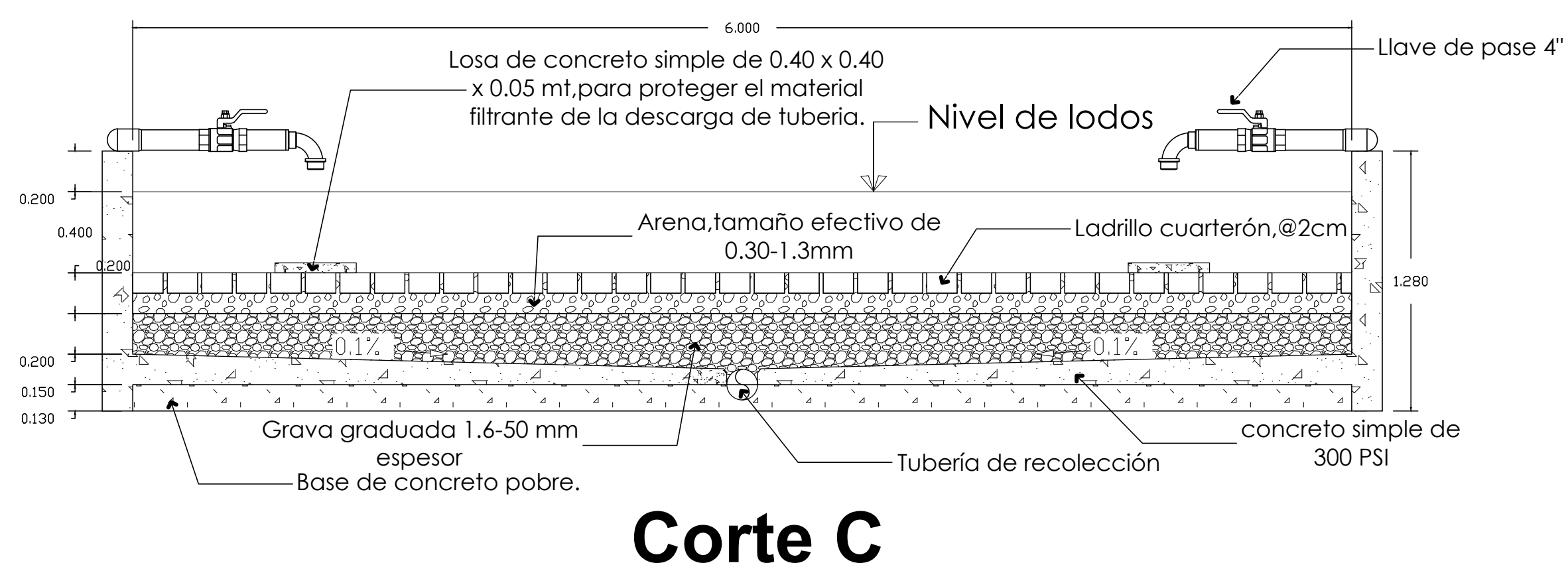
4.Las excavaciones para las estructuras serán efectuadas de acuerdo a las líneas, rasantes y elevaciones indicada en los planos.las dimensiones de las excavaciones serán tales que permitan colocar en todas sus dimensiones las estructuras correspondientes. Ademas al iniciar con el proceso de excavación se debe tener muy en claro el lugar en donde se estará colocando el suelo que se vaya extrayendo, el cual deberá estar lejos de la zona de trabajo.

5.Los trabajos de concreto se ejecutaran de conformidad a las especificaciones técnicas establecidas por la ASTM.

6.La impermeabilización de las paredes internas de las estructuras de concreto consistirá en dos capas:la primera de 1cm de espesor ,preparada con mortero de cemento y arena en proporción 1:3 y el aditivo impermeabilizante,la segunda con mortero 1:1 preparado igualmente con el aditivo.

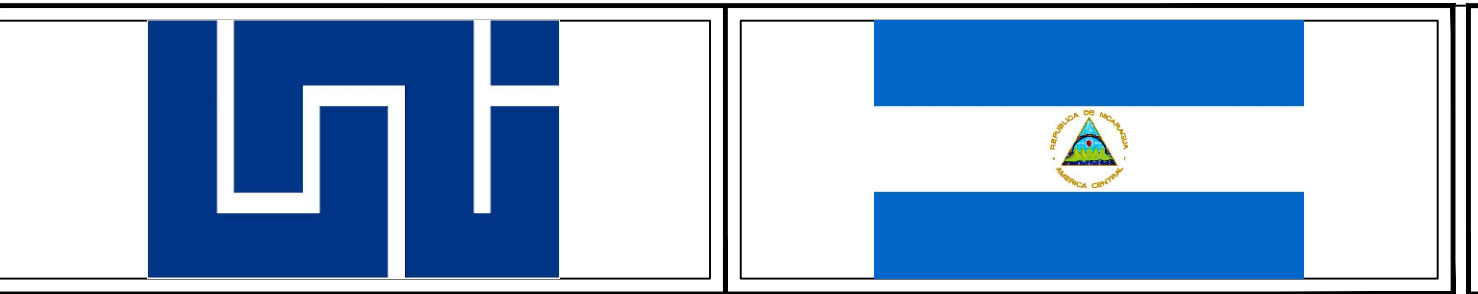
7.El préstamo de material procederá cuando no se encuentre cantidad y calidad suficiente de material adecuado proveniente de la excavación de acuerdo con las alineaciones y rasantes.

8.NOTA: Al finalizar la obra se harán los planos de replanteo que reflejen todas las modificaciones autorizadas. Estos planos serán fundamentales para la operación y mantenimiento de la planta de tratamiento.



ESCALA: 1/50

ASUNTO:





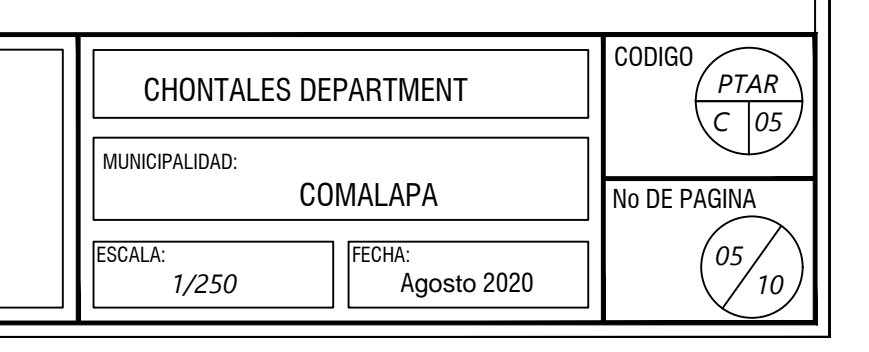
DISEÑO DE LA RED DE ALCANTARILLADO SANITARIO Y DE EL SISTEMA DE TRATAMIENTO EN EL MUNICIPIO DE COMALAPA, DEPARTAMENTO DE CHONTALES Diseñado por:

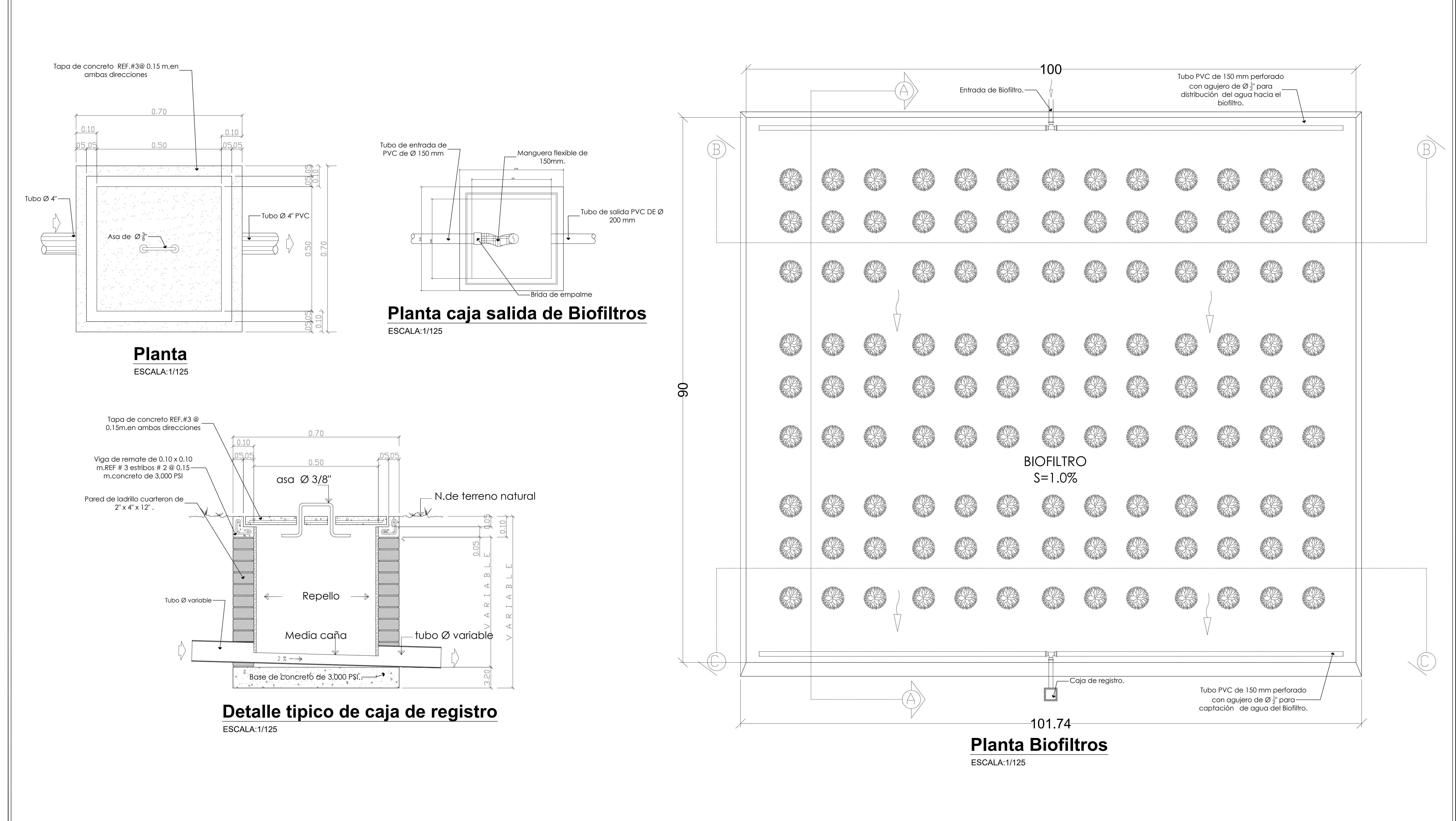
Br. Lesther Emilio Marin
Br. Melvin Antonio Tercero
Br. Guillermo Jose Barquero

Revisado por:

Ing. Maria Elena Baldizor

LECHO DE SECADO











DISEÑO DE LA RED DE ALCANTARILLADO SANITARIO
Y DE EL SISTEMA DE TRATAMIENTO EN EL MUNICIPIO
DE COMALAPA, DEPARTAMENTO DE CHONTALES

Diseñado por:

Br. Lesther Emilio Marin
Br. Melvin Antonio Tercero
Br. Guillermo Jose Barquero

Revisado por:

Ing. Maria Elena Baldizon

ASUNTO:

BIOFILTRO

CHONTALES DEPARTMENT

MUNICIPALIDAD:

COMALAPA

FECHA:

1/250

CODIGO

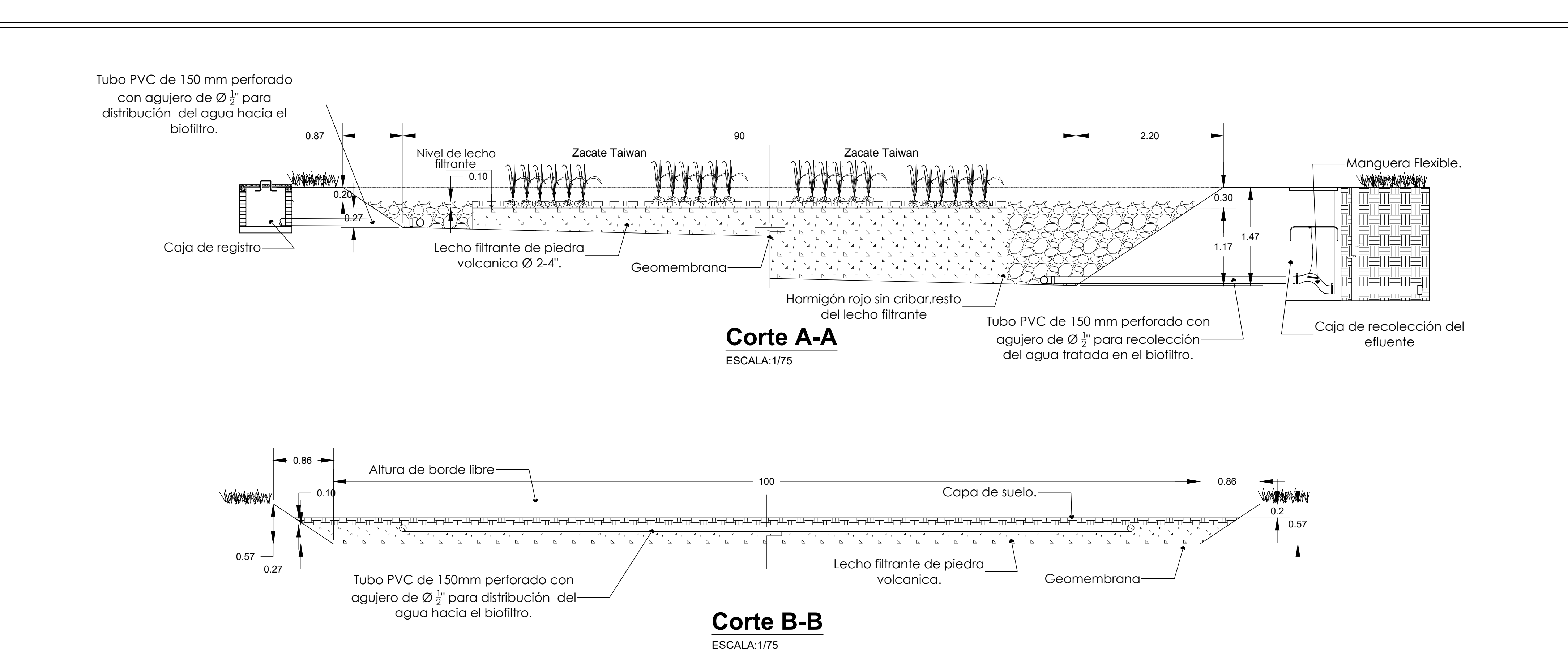
PTAR

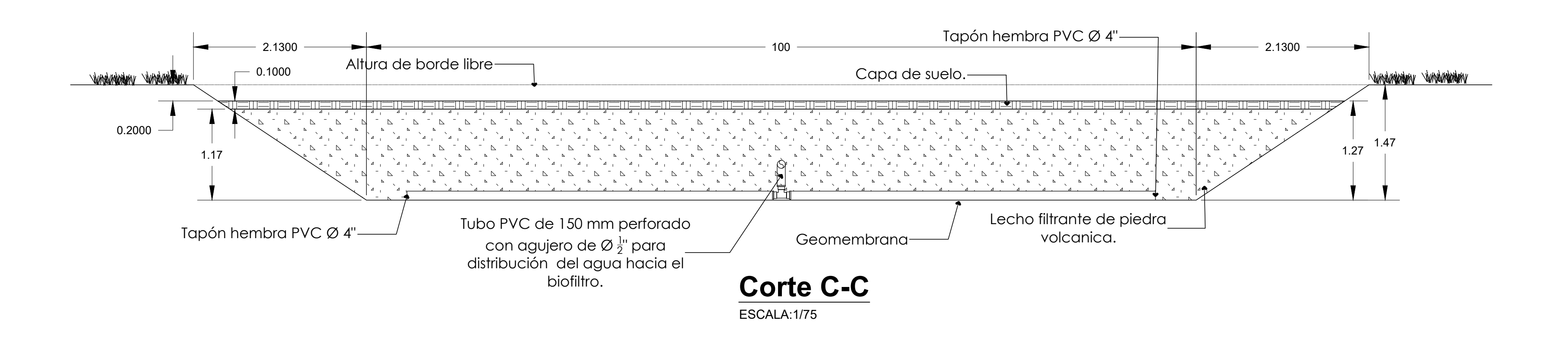
C 06

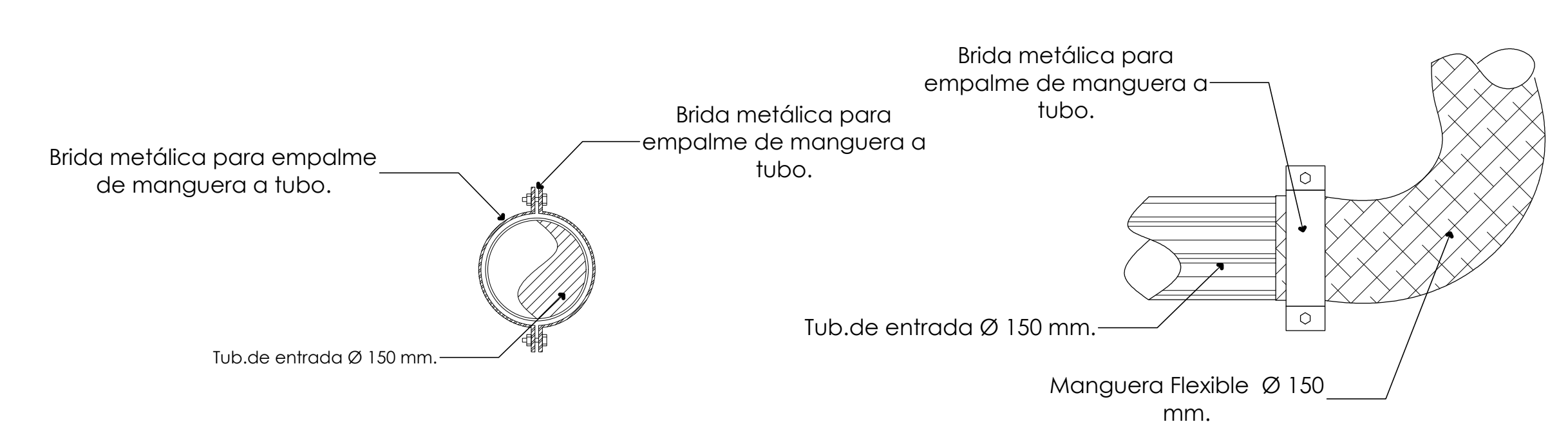
No DE PAGINA

06

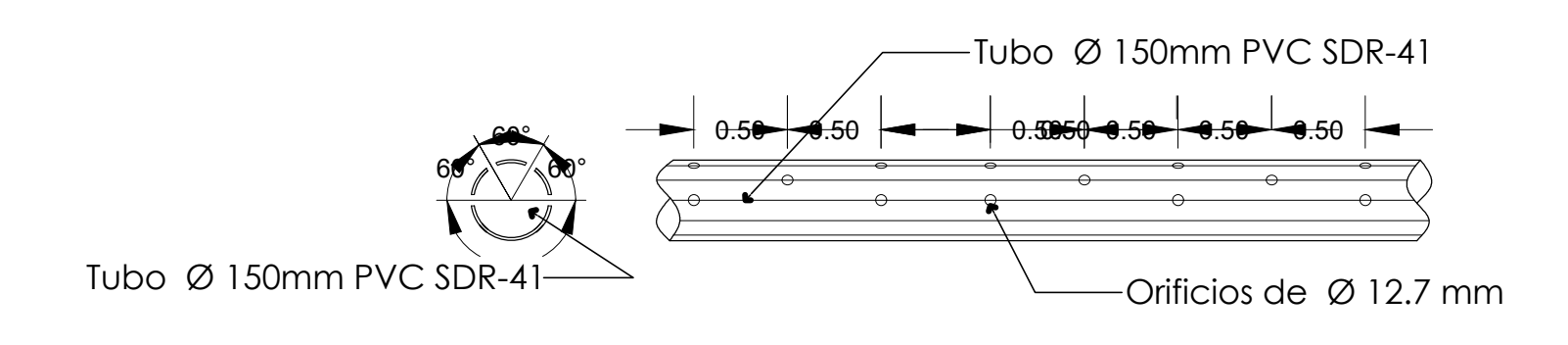
10







Union de manguera flexible a tubería de recolección de aguas tratadas ESCALA:1/75



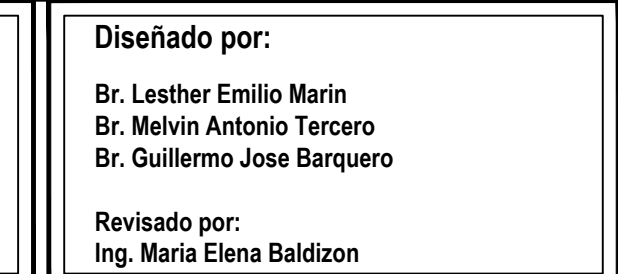
ASUNTO:

Detalle de tubería de recolección ESCALA:1/75

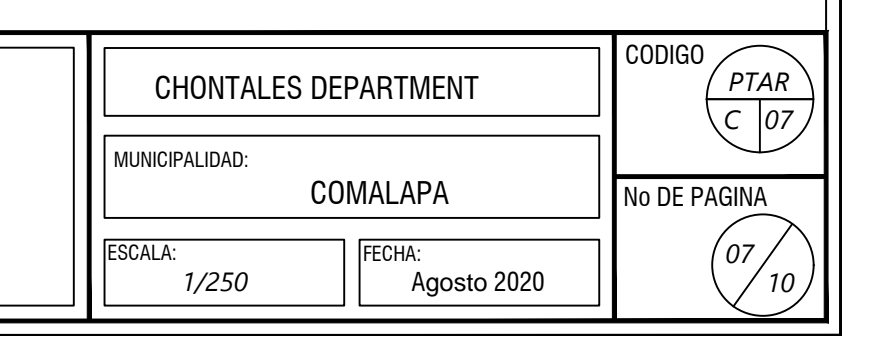


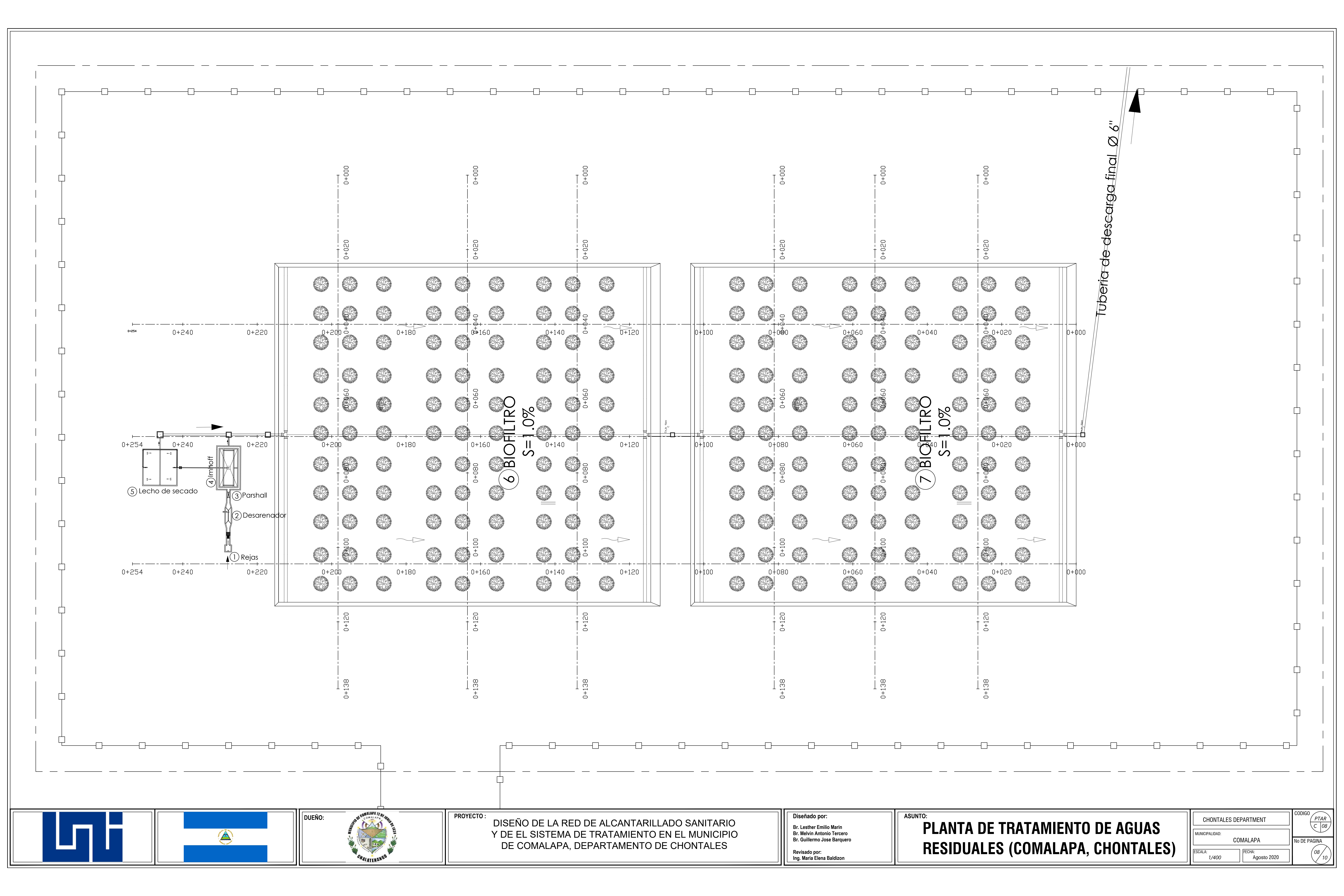


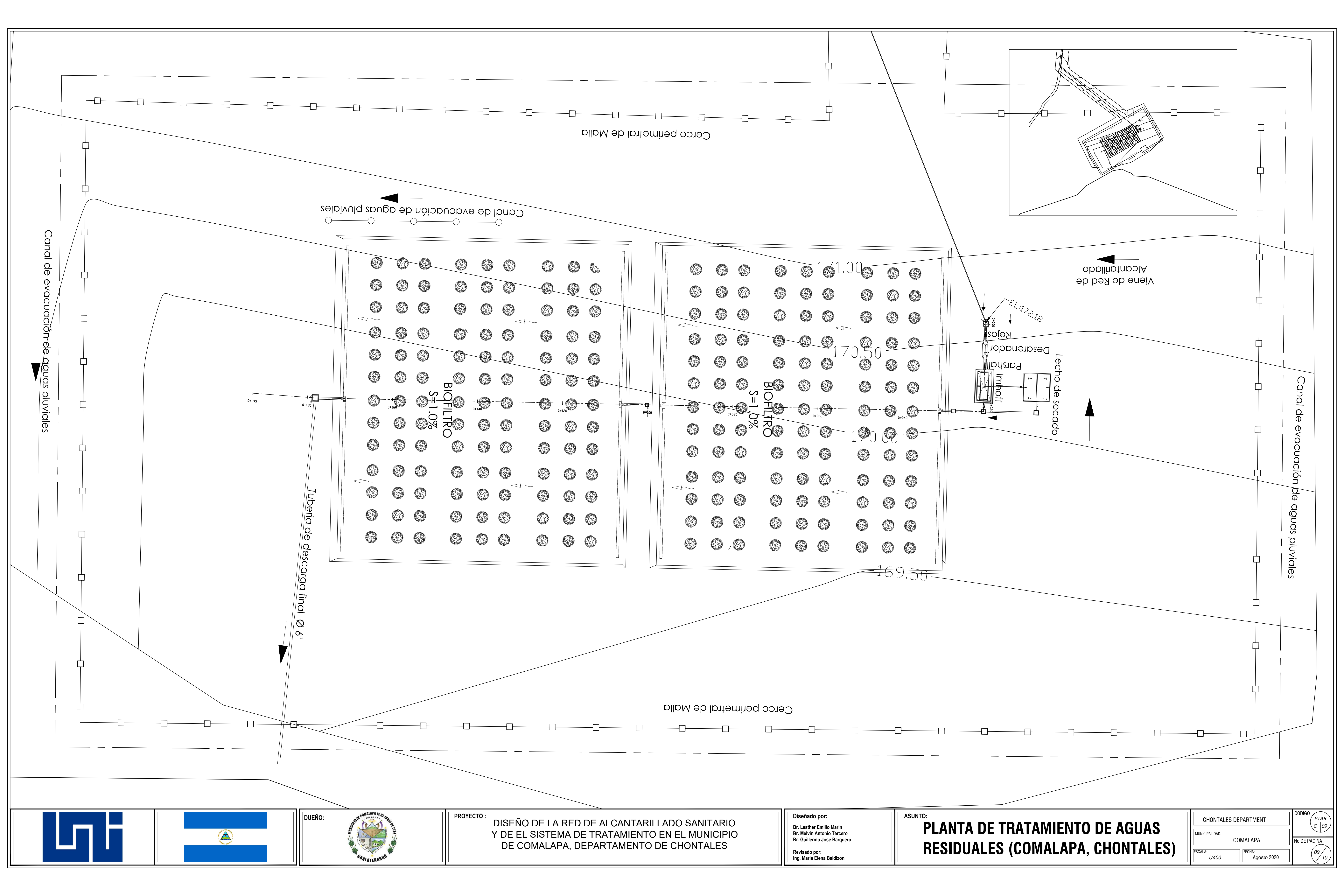
DISEÑO DE LA RED DE ALCANTARILLADO SANITARIO
Y DE EL SISTEMA DE TRATAMIENTO EN EL MUNICIPIO
DE COMALAPA, DEPARTAMENTO DE CHONTALES

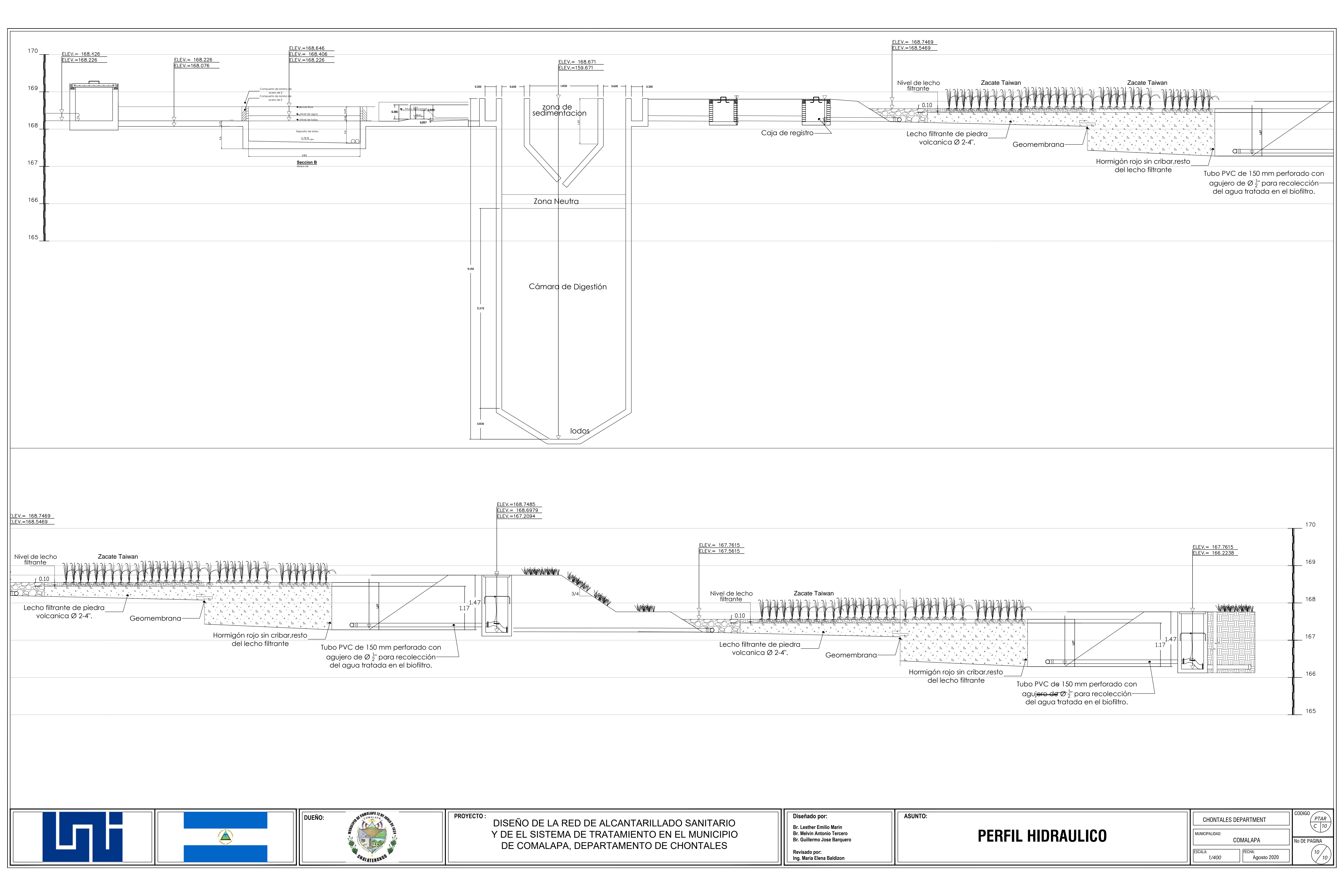


CORTES "BIOFILTROS"











UNIVERSIDAD NACIONAL DE INGENIERÍA UNIVERSIDAD NACIONAL DE INGENIERIA FACULTAD DE TECNOLOGÍA DE LA CONTRUCCIÓN SECRETARIA **SECRETARIA**

SECRETARÍA DE FACULTAD

F-8: CARTA DE EGRESADO

El Suscrito Secretario de la FACULTAD DE TECNOLOGÍA DE LA CONTRUCCIÓN hace constar que:

BARQUERO SEVILLA GUILLERMO JOSE

2011-38771J Turno Diurno Plan Estudios 2015 de conformidad con el Reglamento Académico vigente en la Universidad, es EGRESADO de la Carrera de INGENIERIA CIVIL.

DE EGRESADO, Se extiende la presente CARTA a solicitud del interesado en la ciudad de Managua, a los veintitrés días del mes de Marzo del año dos mil veinte.

Atentamente

Dr. Francisco Efraín

Secretario

IMPRESO POR SISTEMA DE REGISTRO ACADEMICO EL 23-Mar-2020



UNIVERSIDAD NACIONAL DE INGENIERÍA FACULTAD DE TECNOLOGÍA DE LA CONTRUCCIÓN SECRETARIA

SECRETARÍA DE FACULTAD

F-8: CARTA DE EGRESADO

El Suscrito Secretario de la FACULTAD DE

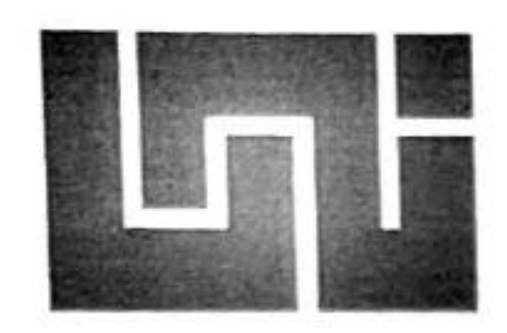
TECNOLOGÍA DE LA CONTRUCCIÓN hace constat que i

MARIN DUARTE LESTER EMILIO

Carne: 2012-43381 Turno Diurno Plan de Estudios 2015 de conformidad con el Reglamento Académico vigente en la Universidad, es EGRESADO de la Carrera de INGENIERIA CIVIL.

Se extiende la presente CARTA DE EGRESADO, a solicitud del interesado en la ciudad de Managua, a los veinticinco dias del mes de Mayo del año des mil veinte.

Dr. Francisco Efraín Chambres Efandón Secretario de Facultad



UNIVERSIDAD NACIONAL DE INGENIERÍA FACULTAD DE TECNOLOGÍA DE LA CONTRUCCIÓN SECRETARIA

SECRETARÍA DE FACULTAD

F-8: CARTA DE EGRESADO

El Suscrito Secretario de la FACULTAD DE

TECNOLOGÍA DE LA CONTRUCCIÓN hace constar que:

TERCERO TABLADA MELVIN ANTONIO

Carne: 2012-43279 Turno Diurno Flan de Estudios 2015 de conformidad con el Reglamento Académico vigente en la Universidad, es EGRESADO de la Carrera de INGENIERIA CIVIL.

Se extiende la presente CARTA DE EGRESADO, a solicitud del interesado en la ciudad de Managua, a los dieciséis días del mes de Marzo del año dos mil veinte.

Atentamente,

Dr. Francisco Efrain

Secretario de Facultadamo Nicaragua



UNIVERSIDAD NACIONAL DE INGENIERÍA UNI REGION CENTRAL JUIGALPA SECRETARIA ACADEMICA

HOJA DE MATRICULA AÑO ACADEMICO 2020

No. Recibo 11133 No. Inscripción 147									
NOMBRES Y APELLIDOS: Guillermo Jose Barquero Sevilla									
CARRERA: INGENIERIA CIVIL			CARNET: 2011-3	8771	TURNO:				
plan	DE ESTUDIO:	97		SEMESTRE: SEGUNDO SEMESTRE FECHA: 25/08/2020 2020					
No.		ASIGNATURA		GRUPO	AULA	CRED.	F	R	
1			— ULTIMA LINEA						
								æ.	
F:Fre	cuencia de inscripciones d	de Asignatura R: Retiro de Asignatu	Ira. Soli HACIONAL OF A						
_	KYMARTINE		REGISTED						
	GRABADO	R	FIRMA Y SELLO	DEL		FTDM	A DET		

FUNCIONARIO

CC:ORIGINAL:ESTUDIANTE - COPIA:EXPEDIENTE.

IMPRESO POR SISTEMA DE REGISTRO ACADEMICO EL 25-ago.-2020

FIRMA DEL

ESTUDIANTE



UNIVERSIDAD NACIONAL DE INGENIERÍA UNI REGION CENTRAL JUIGALPA SECRETARIA ACADEMICA

HOJA DE MATRICULA AÑO ACADEMICO 2020

No.	No. Recibo 11152 No. Inscripción 148					8		
NOMBRES Y APELLIDOS: Lester Emilio Marín Duarte								
CARRERA: INGENIERIA CIVIL			CARNET : 2012-4	3381	TU	RNO:		
PLAN DE ESTUDIO: 2015			SEMESTRE: SEGUNDO SEMESTRE F 2020			ECHA: 25/08/2020		
No.		ASIGNATURA		GRUPO	AULA	CRED.	F	R
1			- ULTIMA LINEA					
F:Fred	uencia de inscripciones de	Asignatura R: Retiro de Asignatura.	July Mark	mai o				
	KYMARTINEZ		Kode Steels	RO				
GRABADOR FIRE		RMA Y SELLO	DEL			A DEL		

IMPRESO POR SISTEMA DE REGISTRO ACADEMICO EL 25-ago.-2020



cc:ORIGINAL:ESTUDIANTE - COPIA:EXPEDIENTE.

IMPRESO POR SISTEMA DE REGISTRO ACADEMICO EL 25-ago.-2020

UNIVERSIDAD NACIONAL DE INGENIERÍA UNI REGION CENTRAL JUIGALPA SECRETARIA ACADEMICA

HOJA DE MATRICULA ANO ACADEMICO 2020

No. Recibo 10676 No. Inscripción 146								
NOMB	RES Y APELLIDO	os: Melvin Antonio Tercero	Tablada					
CARRERA: INGENIERIA CIVIL		CARNET: 2012-4	CARNET: 2012-43279		TURNO:			
PLAN DE ESTUDIO: 2015		SEMESTRE: SEGUNDO SEMESTRE 1 2020			ECHA: 25/08/2020			
No.		ASIGNATURA		GRUPO	AULA	CRED.	F	R
1			- ULTIMA LINEA					
F:Frec	cuencia de Inscripciones de KYMARTINEZ	Asignatura R: Retiro de Asignatura.	NACIONAL DE LA REGISTATION DE					
		IRMA Y SELLO DEL FIRMA FUNCIONARIO ESTUDIA						

UNIVERSIDAD NACIONAL DE INGENIERÍA FACULTAD DE TECNOLOGÍA DE LA CONSTRUCCIÓN

SOLVENCIA ECONÓMICA

Fecha: 26 05 2020
Nombre del estudiante: 6011181 Dose Borquero Sevilla
Numero de carnet: 2011 - 38 7 7 1
•
Carrera: Ing-civil
Taller Monográfico: Servicios monográficos - UNI - Juigarpa 2020.
UNIVERSITY OF THE PROPERTY OF
DELEGATOUR MANTE PRATIVO
A CONTRACTOR STORY OF THE PARTY
UNIVERSIDAD NACIONAL DE INGENIERÍA
FACULTAD DE TECNOLOGÍA DE LA CONSTRUCCIÓN SOLVENCIA ECONÓMICA
Fecha: 26 05/2020
Nombre del estudiante: Lester Emilio Marin Duarte
Numero de carnet: 2012 - 4 3 38 L
Carrera: Ing - civil
Taller Monográfico: (101) ci 05 marganacional se una del a 10 co 20 7 070
THING I Tecnologia de la Construcción
DELEGADD ADMINISTRATIVO
Delegade Administrativo
UNIVERSIDAD NACIONAL DE INGENIERÍA
FACULTAD DE TECNOLOGÍA DE LA CONSTRUCCIÓN
SOLVENCIA ECONÓMICA
Nombre del estudio es Martino 0 1
Nombre del estudiante: Melvin Antonio Tercero Tablada
Numero de carnet: 2017 - 43279
Carrera: Ing - civil
Taller Mono fico Servicios MONDESIDAD VACIUNAL DE INGENERA PO COLO
region Centra
DELEGAD NATION TRATIVO